

# GM 64906

COMPTE-RENDU DES TRAVAUX D'EXPLORATION 2008, PROJET MINOWEAN

Documents complémentaires

*Additional Files*



Licence



Licence

Cette première page a été ajoutée  
au document et ne fait pas partie du  
rapport tel que soumis par les auteurs.

Énergie et Ressources  
naturelles

Québec 

1. Titre

Ressources naturelles et Faune, Québec

19 MARS 2010

Service de la Géoinformation

*Projet Minowean*  
*Compte-rendu des travaux d'exploration 2008*

GM 6 4 9 0 6

Fosse du Labrador, Québec, Canada

Juin à septembre 2008

Feuillet SNRC 24C07, 24C08, 24C09, 24C10

REÇU AU MRNF

04 FEV. 2010

Direction du développement minéral

Janvier 2010

MRNFP - SECTEUR DES MINES

REÇU LE

03 FEV. 2010

Bureau régional - Montréal

Préparé par Areva Québec Inc.  
pour  
Uranor Inc.

275 A, Boul. Pierre Le Gardeur, Le Gardeur (Québec) Canada J5Z 3A7

1004137

## 2. TABLE DES MATIÈRES

	<b>Page</b>
1. TITRE	1
2. TABLE DES MATIÈRES	2
3. RÉSUMÉ	7
4. INTRODUCTION	7
5. RECOURS À D'AUTRES SPÉCIALISTES	8
5.1 Travaux de terrain	8
5.2 Travaux de laboratoire	8
6. DESCRIPTION, EMPLACEMENT DU TERRAIN	8
7. ACCESSIBILITÉ, CLIMAT, RESSOURCES LOCALES, INFRASTRUCTURES ET GÉOGRAPHIE PHYSIQUE	11
7.1 Accessibilité	11
7.2 Climat	11
7.3 Ressources locales	11
7.4 Infrastructures	11
7.5 Géographie physique	11
8. HISTORIQUE	12
8.1 Historique régional	12
8.2 Historique de la propriété	14
9. CONTEXTE GÉOLOGIQUE	23
9.1 Cadre géologique régional	23
9.2 Stratigraphie	23
9.2.1 Socle archéen	23
9.2.2 Groupe de Seward	24
9.2.3 Groupe de Pistolet	24
9.2.4 Groupe de Montagnais	26
9.2.5 Brèches	26
9.3 Altérations	27
9.3.1 Grès	27
9.3.2 Roches mafiques	27
9.4 Géologie structurale	28
10. MODÈLE DE GISEMENT	30
11. MINÉRALISATIONS	31
11.1 Indice Racine	38
11.2 Indice Ferme Nord	42
11.3 Indice Ferme Sud	43
11.4 Minéralisations épigénétiques et autres	43
11.5 Train de blocs minéralisés	44

	Page
<b>12. EXPLORATION</b>	44
12.1 Choix des cibles d'exploration	46
12.2 Choix des cibles d'échantillonnage de ruisseau	51
12.3 Plans-compteurs et grilles spectrométriques	51
12.4 Décapages	51
12.5 Rainurages	51
<b>13. FORAGES</b>	55
<b>14. MÉTHODOLOGIE DE L'ÉCHANTILLONNAGE ET APPROCHE</b>	55
<b>15. PRÉPARATION DES ÉCHANTILLONS, ANALYSE ET SÉCURITÉ</b>	55
<b>16. VÉRIFICATION DES DONNÉES</b>	55
<b>17. PROPRIÉTÉS ADJACENTES</b>	55
<b>18. TESTS MÉTALLURGIQUES</b>	56
<b>19. RESSOURCES MINÉRALES ET ESTIMATION DES RESSOURCES</b>	56
<b>20. AUTRE DONNÉE ET INFORMATION</b>	56
<b>21. INTERPRÉTATION ET CONCLUSION</b>	56
<b>22. RECOMMANDATIONS</b>	57
<b>23. RÉFÉRENCES</b>	58
<b>24. DATE ET SIGNATURE</b>	59

## FIGURES

Figure 1 :	Localisation du projet Minowean 2008	9
Figure 2 :	Localisation des claims actifs d'Uranor Inc. et de la concurrence (en date du 29 mai 2009)	10
Figure 3 :	Carte de la localisation des différents indices uranifères de la propriété de Minowean	13
Figure 4 :	Carte géophysique teneur apparente U (ppm) de Minowean	15
Figure 5 :	Carte géophysique champ magnétique résiduel de Minowean	16
Figure 6 :	Carte des cibles anomaliques de Minowean	17
Figure 7 :	Carte d'échantillonnage de ruisseau de Minowean	18
Figure 8 :	Carte des géotraverses de Minowean 2005	19
Figure 9 :	Carte des géotraverses de Minowean 2007	20
Figure 10 :	Carte des géotraverses de Minowean 2008	21



Figure 11 :	Carte des géotraverses SPPy de Minowean 2008	22
Figure 12 :	Carte géologique SIGÉOM modifiée de la propriété de Minowean suite aux travaux de la campagne 2008	25
Figure 13 :	Carte géologique SIGÉOM modifiée de la zone indicielle de Minowean avec coupe géologique	29
Figure 14 :	Coupes structurales schématiques montrant le chevauchement des gabbros/basaltes sur les formations de la plate-forme	30
Figure 15 :	Plan-compteur indice Ferme-Nord	32
Figure 16 :	Plan-compteur indice Ferme-Nord avec localisation des rainures	33
Figure 17 :	Géologie et structure Ferme-Nord (Grille 1) avec grille spectrométrique	34
Figure 18 :	Géologie et structure Ferme-Nord (Grille 2) avec grille spectrométrique	35
Figure 19 :	Plan-compteur indice Racine	36
Figure 20 :	Géologie et structure Racine (L3 à L6 Sud) avec grille spectrométrique	37
Figure 21 :	Géologie et structure Racine (L17 Sud) avec profil spectrométrique	37
Figure 22 :	Profil spectrométrique de la ligne L5 Sud de l'indice Racine	39
Figure 23 :	Profil spectrométrique de la ligne L6 Sud de l'indice Racine	40
Figure 24 :	Profil spectrométrique de la ligne L17 Sud de l'indice Racine	41
Figure 25 :	Photographie d'une lame mince contenant de la minéralisation (Pechblende)	42
Figure 26 :	Carte géologique indicielle de Minowean	45
Figure 27 :	Carte géologique détaillée de l'indice Ferme Nord	47
Figure 28 :	Coupe géologique de la ligne L3+00N passant par l'indice Ferme Nord	48
Figure 29 :	Coupe géologique de la ligne L4+00N au nord de l'indice Ferme Nord	49
Figure 30 :	Carte quaternaire de la propriété de Minowean	50
Figure 31 :	Schéma et coupe géologique, ainsi que profil spectrométrique de la rainure 1908-7001	52
Figure 32 :	Schéma et coupe géologique, ainsi que profil spectrométrique de la rainure 1908-7002	53
Figure 33 :	Schéma et coupe géologique, ainsi que profil spectrométrique de la rainure 1908-7003	54

**ANNEXE I : PLANCHES PHOTOGRAPHIQUES****Géologie**

- Photo 1 : Affleurement de gabbro du côté de la faille d'Argencourt avec plan de faille
- Photo 2 : Veine de carbonate dans un grès quartzitique rive est du lac Minowean
- Photo 3 : Contact entre grès quartzitique et siltite de la formation d'Alder
- Photo 4 : Affleurement de siltite avec plans de schistosité et débit en frite à l'est de la rivière Swampy Bay
- Photo 5 : Lits à texture conglomératique sur un affleurement de grès dolomitique (claste de carbonate) à l'est du lac Minowean.

**Structure**

- Photo 6 : Stratification entrecroisée dans le grès dolomitique rive est du lac Minowean
- Photo 7 : Veinules de quartz recoupant la schistosité dans un basalte du côté de la faille d'Argencourt
- Photo 8 : Litage (ou stratification) dans un grès quartzitique.
- Photo 9 : Veines de quartz orientées dans un affleurement de grès quartzitique à patine grise et rougeâtre (hématisé).
- Photo 10 : Plan de faille dans un affleurement de grès quartzitique anomalique
- Photo 11 : Grès tectonisé et hématisé sur presque toute sa surface, et contenant également des substances jaunes (Indice Ferme Nord)
- Photo 12 : Minéralisation d'uranium suivant un plan de cisaillement sur l'indice Ferme Nord
- Photo 13 : Contact entre le grès quartzitique micacé, le grès quartzitique cisailé et le grès dolomitisé et bréchifié (Ferme Nord)
- Photo 14 : Contact entre une petite zone minéralisée broyée, et le grès à matrice complètement altérée (oxydée) sur l'indice Racine.
- Photo 15 : Morceaux détachés de la partie de grès quartzitique fortement altérée (débit rappelant une texture conglomératique) sur l'indice Racine

**Quaternaire**

- Photo 16 : Champ de boulders composés de grès quartzitique dans un terrain quaternaire

**Décapage et rainurage**

- Photo 17 : Opération de décapage de l'indice Ferme Nord
- Photo 18 : Rainurage sur l'indice Ferme Nord

**ANNEXE II : TABLEAUX**

Tableau 1	Claims de Minowean 2008 couverts par une moyenne densité de travaux
Tableau 2	Claims de Minowean 2008 couverts par une forte densité de travaux
Tableau 3	Claims de Minowean 2008 couverts par des travaux de détail
Tableau 4	Échantillons de terrain Minowean 2008 (et analyses suggérées)
Tableau 5	Résultats d'analyse chimique des rainurages
Tableau 6	Vérification des cibles aérogéophysiques anormales Minowean 2008

**ANNEXE III (volume 2)**

Tableau 7	Tableau synoptique des traverses géologiques de Minowean 2008
-----------	---

### 3. RÉSUMÉ

Les indices du Lac Minowean sont situés dans la fosse du Labrador qui, large de 100 km, s'étend sur 800 km de long. Elle débute par une sédimentation continentale ou de plate-forme et évolue vers un milieu plus profond et distal accompagné d'une activité volcanique. La collision des blocs archéens du Supérieur et du Churchill a provoqué l'orogénèse hudsonienne. Cet événement a entraîné un chevauchement du domaine distal vers l'ouest et un pic métamorphique à 1.84 Ga. La région du lac Minowean se trouve près de la limite ouest du domaine des nappes allochtones, délimitée à l'est, par la faille d'Argencourt. Les nouvelles observations de terrain laissent croire en l'existence d'un nouveau segment de nappe impliquant des roches volcaniques, d'âge Paléoproterozoïque, dans le secteur du lac Minowean. La compilation des données structurales et stratigraphiques suggère également que ce style tectonique ait grandement contribué à la genèse des minéralisations en U-Cu de la région.

Au lac Minowean, la minéralisation est localisée dans la formation d'Alder, le sommet de la série continentale et de plate-forme du premier cycle tectono-sédimentaire reparti à la bordure ouest de la Fosse du Labrador. Dans le détail, elle est constituée de plusieurs petits cycles sédimentaires qui montrent une décroissance de la granulométrie des grès, du rapport grain/ciment et du rapport silice/dolomie. On retrouve la formation de Lace Lake en-dessous, constituée de shale et de siltite gris à vert. Ces deux formations dont l'épaisseur cumulée est supérieure à 500 m sont caractérisées par des couleurs sombres, la présence de matière organique abondante et de sulfures.

La campagne d'exploration 2008 avait pour objectif principal de dresser l'inventaire des zones affleurantes sur toute la propriété, du lac Minowean au sud, jusqu'au lac Patu, situé à l'extrémité nord de la propriété. Le second objectif était d'évaluer sur le terrain des cibles anormales établies lors du relevé aérogéophysique et géochimique afin d'y découvrir d'autres indices uranifères similaires aux indices déjà repérés. Finalement, le dernier objectif de notre campagne était la quête d'une meilleure compréhension de la géologie locale au niveau des indices, qui se suivent sur plus de 5 km dans un corridor de cisaillement d'environ 800 m de large. Pour y arriver, des traverses de géologie de détail ont été effectuées sur l'indice Ferme Nord, avec positionnement des affleurements avec GPS de précision par rapport à la grille réalisée durant la campagne 2007. Deux plans compteurs sur les indices de Ferme Nord et Racine ont été réalisés, avec décapage de deux tranchées sur chacun de ces indices, et finalement, trois échantillonnages par rainurage ont été effectués sur l'indice de Ferme Nord.

### 4. INTRODUCTION

Le format du présent rapport a été établi selon la norme 43-101, créée par l'Ordre des Géologues du Québec en 2005. Elle vise l'uniformisation de la forme afin d'assurer la qualité des rapports statutaires publiés au Québec. Areva Québec Inc. s'engage donc à respecter cette initiative dans le but de parfaire ses rapports et d'assurer la qualité dans l'acquisition et le traitement des données.

Le projet Minowean 2008 s'inscrit dans un vaste programme de mise en valeur des terrains d'âge Protérozoïque dans l'est du Canada. Son principal objectif consiste en mettre en valeur les indices d'uranium connus, par la poursuite du programme de travaux de prospection entamé en 2005 et d'approfondir les connaissances géologiques, le modèle structural et le mode de mise en place des minéralisations. Le présent rapport fait entre autre sommairement état des travaux réalisés depuis les premiers travaux de cartographie régionaux. Les résultats de ces travaux sont tous disponibles au Ministère des Ressources Naturelles et de la Faune (MRNF). Ils consistent en des monographies, des rapports géologiques gouvernementaux, des rapports divers de levés et de sondages au diamant, des cartes géologiques, des données de géophysique aéroportée et de géochimie de sédiments de ruisseaux. Ce rapport comprend également les résultats de la campagne de levés géologiques et scintillométriques au sol, plans-compteurs et rainurages dirigée par Areva Québec Inc. sur les 512 claims travaillés (Tableau 1, 2 & 3) d'Uranor Inc., du 12 juin au 21 septembre 2008.

## 5. RECOURS À D'AUTRES SPÉCIALISTES

### 5.1 Travaux de terrain

La qualité de l'information géologique est assurée par l'expertise de trois géologues d'Areva Québec Inc. et membres de l'Ordre des Géologues du Québec. L'équipe a également bénéficié des services de Jean-Louis Feybesse, expert en géologie structurale d'Areva NC pour sa participation à l'analyse structurale, et de Sébastien Hocket d'Areva NC pour le traitement des données des scintillomètres SPPy (produit d'Areva) et ses recommandations pour les travaux de cartographie. Areva Québec Inc. a de plus bénéficié de l'expertise d'Elena Konstantinovskaya, chercheur du Centre Eau-Terre-Environnement de l'Institut National des Recherches Scientifiques (INRS ÉTÉ, Québec), experte en géologie structurale.

### 5.2 Travaux de laboratoire

Le nettoyage, le sciage, l'emballage et l'envoi des échantillons (Tableau 4) ont été effectués dans les laboratoires par Areva Québec Inc. Les lames minces polies ont été produites à l'Atelier pétrographique du Saguenay a/s Louis Fortin au 1017, Rue Edmond Massicotte, Ste-Foy (Québec), Canada, G1X 4M3, Tél : (418) 864-0538. Les analyses chimiques sur 20 échantillons de rainurage ont été analysées au SRC Geoanalytical Laboratories au 125 – 15 Innovation Blvd., Saskatoon, Saskatchewan, S7N 2X8, Tel : (306) 933-8118, Fax : (306) 933-5656, Courriel : [geolab@src.sk.ca](mailto:geolab@src.sk.ca). Les 237 échantillons de ruisseau ont été analysés par Activation Laboratories Ltd (<http://www.actlabsint.com>), 1336 Sandhill Drive, Ancaster, Ontario L9G 4V5, Tel : (905) 648-9611, Fax : (905) 648-9613, Courriel : [ancaster@actlabsint.com](mailto:ancaster@actlabsint.com). Le personnel qualifié de ces établissements assure la qualité des analyses et la propreté de l'équipement utilisé.

## 6. DESCRIPTION, EMPLACEMENT DU TERRAIN

Les 512 claims détenus par Uranor Inc. dans la région du lac Minowean sont situés dans une région à 200 km au sud de Kuujuaq et à 200 km au nord de Schefferville (Figure 1), dans le territoire du Nunavik, au Québec et sont rassemblés en un seul bloc solidaire, occupant une superficie totale de 242,2 km<sup>2</sup> (Figure 2). Les principaux repères géographiques sont les lacs Cambrien, Castignon et Otelnuk, ainsi que les rivières Caniapiscau et Swampy Bay. Le positionnement du bloc de claims correspond aux feuillets SNRC 24C/07, 08, 09 et 10. Le centre du bloc est localisé approximativement à 56°52' N de latitude et 68°53' W de longitude. La première prise de position a été acceptée le 24 septembre 2004. Uranor inc. est responsable à 100% de ses claims, tous actifs depuis le 16 février 2007.

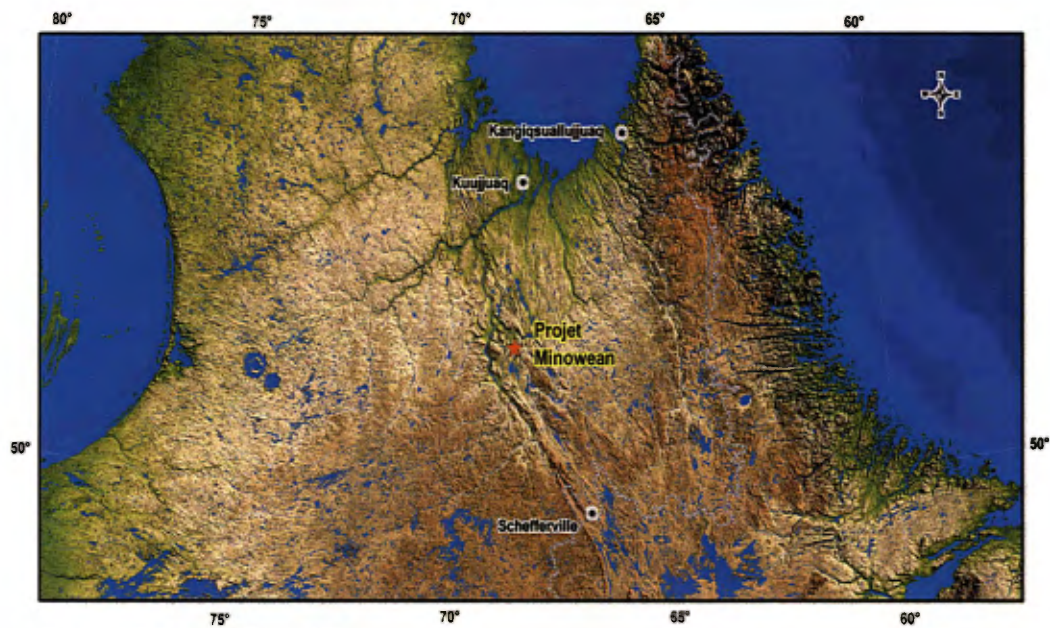
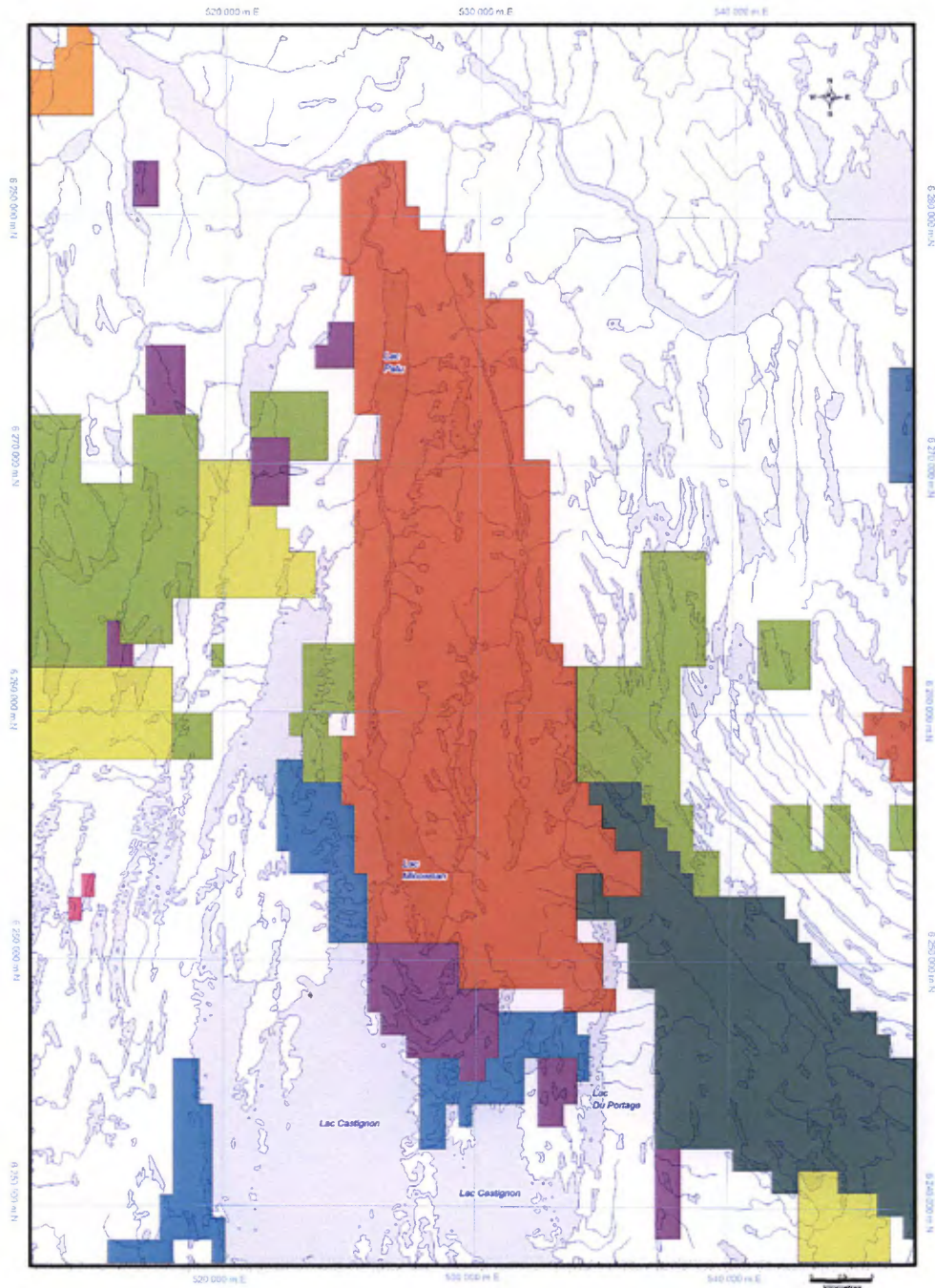


Figure 1. Localisation du projet Minowéan 2008



Légende

- |   |  |
|---|--|
| <span style="color: red;">■</span> Uranor Inc                 | <span style="color: red;">■</span> Gemme Manicouagan inc           |
| <span style="color: yellow;">■</span> 2073090 CANADA INC      | <span style="color: blue;">■</span> Commerce Resources Corporation |
| <span style="color: green;">■</span> Waseco Resources inc     | <span style="color: orange;">■</span> Josephine Iron Mines Inc.    |
| <span style="color: purple;">■</span> Matamec Exploration Inc | <span style="color: green;">■</span> Peter Ferretber               |
| <span style="color: blue;">■</span> Everton Resources inc     | <span style="color: lightblue;">■</span> Lacs et rivières          |

Localisation des claims d'Uranor Inc de la propriété Minowean et de la concurrence, en date du 1 Mai 2009



Figure 2 : Localisation des claims d'Uranor Inc. De la propriété Minowean et de la concurrence en date du 1<sup>er</sup> mai 2009



## **7. ACCESSIBILITÉ, CLIMAT, RESSOURCES LOCALES, INFRASTRUCTURES ET GÉOGRAPHIE PHYSIQUE**

### **7.1 Accessibilité**

L'emplacement du bloc de claims ne bénéficie d'aucun moyen d'accès par voie terrestre. En effet, aucune route n'assure de liaison entre le Lac Minowean et les infrastructures les plus proches. Aucune piste d'atterrissage pour avion sur roues n'a été aménagée. Le seul moyen d'accès à la propriété est l'hydravion ou l'hélicoptère à partir de Schefferville, Kuujjuaq ou le lac Pau. Ce dernier est situé à l'extrémité est de la route trans-taïga à quelques 700 km à l'est de Radisson. La base aérienne du lac Pau est aménagée pour accueillir des appareils sur roues ou équipés de flotteurs. Ces avions sont conçus pour transporter des passagers ou des marchandises. La propriété est en partie occupée par des lacs suffisamment grands pour l'atterrissage d'un hydravion. La densité du couvert végétal limite toutefois l'accès par hélicoptère de certains secteurs. La présence de petites aires marécageuses peuvent parfois servir d'héliport dans les zones à relief plat.

### **7.2 Climat**

La région se trouve dans la zone climatique subarctique. La période de dégel s'opère généralement en juin, alors que la période de gel débute en octobre. Les températures oscillent entre 4°C et 20°C entre juin et août. Le mois de juillet est généralement le mois le plus doux de l'année. Il est possible de ressentir des chutes drastiques de température en quelques heures et des gelées nocturnes les nuits d'été. La région est un véritable microclimat, comme en témoigne l'omniprésence de précipitations, alors que cette situation ne s'applique pas ailleurs aux mêmes latitudes. Les vents d'ouest sont souvent forts rendant la navigation aérienne et nautique très dangereuse.

### **7.3 Ressources locales**

Les ressources naturelles, ainsi que les activités relatives à la chasse et la pêche sont les seuls intérêts économiques de la région. Plusieurs lacs abritent des camps de pourvoyeur et camps de brousse. L'exploration minière est, en ce moment, très active dans la région où plusieurs substances minérales sont prospectées comme l'or, le fer, les métaux de base, les métaux précieux et l'uranium. Aucune mine, ni aucune installation hydroélectrique n'est en opération dans la région.

### **7.4 Infrastructures**

Les infrastructures urbaines se trouvent dans les municipalités de Kuujjuaq et Scherfferville, toutes deux à 200 km de la propriété Minowean, accessibles en une heure en hélicoptère. On y retrouve, par ailleurs, les services administratifs régionaux, les dispensaires médicaux, ainsi que les commodités et les services de tous genres offerts à des coûts élevés.

Sur la propriété même, l'équipe dispose d'un camp pouvant confortablement héberger jusqu'à 30 personnes. Areva Québec Inc. a signé un bail de 5 ans en 2007 pour la location du site, une ancienne pourvoirie appartenant à la communauté autochtone Naskapi. Le camp comprend une cuisine équipée, une toilette, de cinq bâtiments de bois en mauvaise condition, d'un bâtiment récent complètement isolé pour l'hiver et de quelques tentes dortoirs. Le camp possède également un accès à une plage de galets pouvant servir de port d'accostage aux embarcations nautiques et hydravions.

### **7.5 Géographie physique**

L'altitude moyenne de la région se situe entre 600 et 900 pieds (180 à 270 mètres). Les plus hautes altitudes se trouvent sur des plateaux situés 10 km à l'est et 20 km à l'ouest du lac Minowean et dont la hauteur varie de 1600 à 2000 pieds (480 à 600 mètres). La zone des claims fait partie d'une vaste dépression d'environ 20 km de largeur qui converge vers les lacs Castignon et Minowean. Les hauts reliefs sont principalement contrôlés par la résistance à l'érosion des lithologies, limitée par les réseaux de fracturation. Ces hauts reliefs ont résisté à l'érosion des glaciers, les roches les plus tendres donnent les secteurs avec une altitude plus basse. Les reliefs les plus bas ou plats sont souvent remplis de dépôts d'origine glaciaire et post-glaciaire.



En général, le réseau de drainage dans le secteur du lac Minowean montre un écoulement vers le nord qui est plus ou moins parallèle à la structure du socle. L'existence de la plupart des lacs et rivières est principalement due aux dépressions créées par les glaciers et à l'érosion des cœurs de plis régionaux (par exemple, les lacs Minowean et Castignon). Les processus glaciaires et post-glaciaires ont finalement façonnés l'aspect actuel de la région, et sont également à l'origine de la surélévation de certains lacs (lac Doutreleau), de leur modification morphologique (lacs Miskumayikan, du Camp et Savigny) et de la modification de certains tracés hydrologiques (déversoir du lac Savigny).

Le lac Minowean fait partie du bassin de drainage (environ 17 000 km<sup>2</sup>) de la vallée de la rivière Caniapiscou, et qui la rejoint au nord du lac Cambrien. Une ligne de partage des eaux d'environ 230 km de longueur, représentée par une large crête rocheuse, sépare la zone de drainage du lac Minowean de la vallée de la rivière Caniapiscou. Cette ligne de séparation des eaux est à l'ouest des claims.

La forêt, particulièrement dense pour cette latitude, est principalement peuplée de résineux et de quelques feuillus. Les proportions entre les divers résineux et les feuillus sont variables et dépendent ici des zones dévastées par les feux de forêt. Les résineux sont composés majoritairement d'épinettes et de mélèzes. Ils se développent préférentiellement sur des sols sablonneux à silteux qui sont à drainage moyen. Les feuillus sont majoritairement des aulnes et des bouleaux. Ces derniers préfèrent les endroits dégagés de résineux et/ou récemment brûlés et aux sols plus pauvres, c'est-à-dire des sols grossiers et caillouteux fortement drainés. Les forêts de résineux sont relativement clairsemées et la visibilité atteint souvent 50 mètres de distance. Les feuillus (principalement les aulnes) forment des barrières visuelles et physiques le long des lacs et rivières et sur le flanc des collines.

## 8. HISTORIQUE

### 8.1 Historique régional

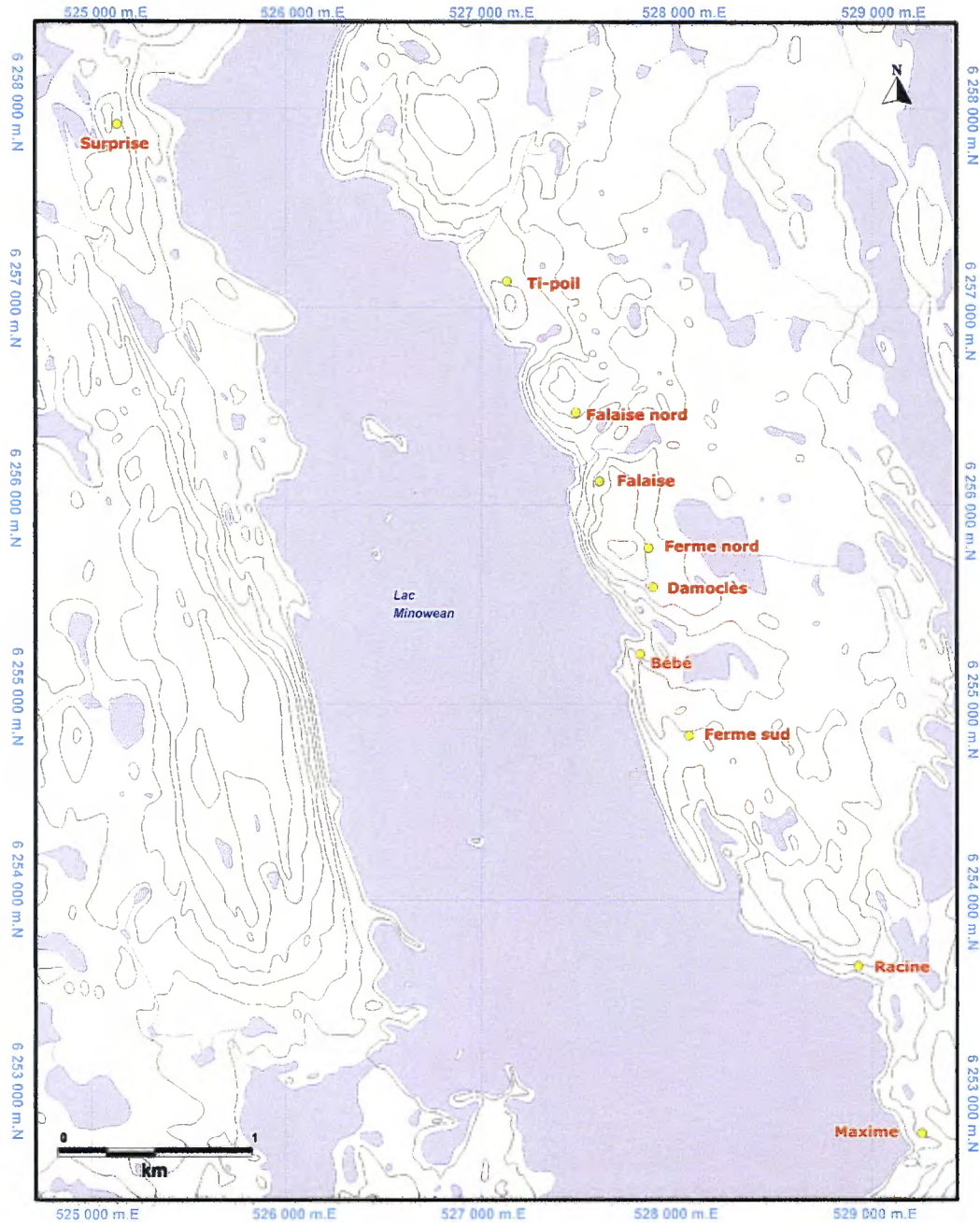
La difficulté d'accès de cette partie du Québec est à l'origine du nombre restreint d'études sur la géologie de la Fosse du Labrador. Les premiers travaux d'identification des lithologies dans leur ensemble sont attribués à E. Dimroth et B. Dressler dans les années 1960 et 1970. Ces travaux font toujours office de référence pour leurs qualités en termes de descriptions de faciès et d'interprétation sédimentologique et paléogéographique. Quelques articles apportent un éclairage supplémentaire à la compréhension de la géologie de la Fosse du Labrador, dont celui de R.J. Wardle et D.G. Bailey en 1981 et celui de C.J. Le Gallais et S. Lavoie en 1982.

La compilation de données utiles à la planification de la campagne de terrain rassemble les données des produits Sigéom, des rapports gouvernementaux, des rapports statutaires ainsi que les documents internes d'Areva Québec Inc. La planification de la campagne de terrain a été programmée, en partie, en fonction de ces données. La conception de cartes thématiques de géochimie des sédiments de fond de lacs et de ruisseaux dont les données proviennent de Sigéom et des rapports statutaires a permis de reconnaître des secteurs anomaux. L'identification de ces secteurs a nécessité l'assemblage des cartes topographiques au 1:50 000. Cet assemblage a été conçu à partir des cartes Canmatrix de la BNDT (Banque Nationale De Topographie). La numérisation et la digitalisation des cartes issues des rapports gouvernementaux, des rapports statutaires ou de photos aériennes ont permis de compiler l'information relative à la stratigraphie, la tectonique et les aires de roches affleurantes déjà référencées.

Les travaux de reconnaissance géologique dans la partie centrale de la Fosse du Labrador résultent essentiellement de l'exploration pour le fer au milieu du 20<sup>e</sup> siècle et pour l'uranium dans les années 70 et 80. Un levé géochimique des sédiments de ruisseau, commandité par Shell Canada, a été entrepris en 1976 dans le secteur des lacs Castignon et Oteluk auquel appartient le lac Minowean (Cant *et al.*, 1976 ; GM-39047). Cette campagne visait à évaluer le potentiel cuprifère de cette zone et les éléments analysés dans les sédiments de ruisseau ont été Cu, Zn, Pb, Mo, Ni, U, Sb, Ag, Mn et Co.

Les compagnies Uranerz et Eldorado Nucléaire Ltée ont été les plus actives dans la prospection de l'uranium. La découverte de huit indices uranifères au lac Minowean – Ferme Nord, Ferme Sud, Racine, Falaise Nord, Falaise, Surprise, Bébé et Maxime – est attribuée à Eldorado Nucléaire Ltée., dans les années 80, et en 2005 s'est rajouté les indices Ti-poil et Damoclès découverts par Oméga (Figure 3). Les travaux d'Eldorado consistaient en la réalisation de levés spectrométriques sur près de 80 % de la Fosse du Labrador. Les résultats de ces levés ont conduit à l'identification de plus de 200 anomalies regroupées en

25 amas (Lafontaine, 1984). La zone du lac Minowean représente un de ces amas, lequel a fait l'objet de travaux permettant la découverte des indices uranifères. Les travaux au sol ont été réalisés entre 1980 et 1983, avant que la compagnie décide de se retirer de la région. Les rapports statutaires faisant état de ces levés n'ont pas été retrouvés. Les seuls résultats d'exploration disponibles sur la propriété sont les données de sondage, la cartographie de tranchées et les résultats d'analyse chimique sur les sites indiciaires.



Localisation des différents indices uranifères de la propriété Minowean



Figure 3 : Carte de la localisation des différents indices uranifères de la propriété de Minowean

## 8.2 Historique de la propriété

A la suite de la découverte d'anomalies spectrométriques, les travaux effectués sur une grille réalisée à l'est du lac Minowean ont permis d'identifier et localiser les dix (10) indices alignés le long d'une structure cisailante. Cette structure serait porteuse de la minéralisation en pechblende et de ses dérivées supergènes, ainsi que des associations à sulfures de Co, Ni, Cu, Fe, arséniure de Co et des oxydes de Ti et V (Lafontaine, 1984). Des forages ont été entrepris sur les indices Ferme Nord et Ferme Sud totalisant 501 m de carotte. Sur ces mêmes indices ainsi que sur l'indice Racine, des tranchées ont été excavées sur 330 mètres. Les observations et les analyses géochimiques pratiquées révèlent un horizon cisailé minéralisé sub-concordant avec la stratification, au contact entre un grès quartzeux et un grès dolomitique. Cette interface est localement marquée par une brèche polygénique siliceuse. La zone cisailée, hôte de la minéralisation, possède une puissance maximale de 2 mètres et affecte les roches de la Formation d'Alder. Cette première phase de prospection a permis la découverte de teneurs très encourageantes sur des échantillons choisis atteignant 7,44 % d'U et a conduit aux recommandations positives du chef de projet (Lafontaine M.). Toutefois, la compagnie, alors devenue Ressources Eldor Ltée, s'est retirée du secteur.

En 1985 et 1986, un projet initié par l'INRS-Géoressources et s'inscrivant dans un programme du Ministère de l'Énergie et des Ressources a été amorcé dans le but de caractériser le cadre géologique des indices uranifères et de concevoir une carte géologique au 1 : 20 000 du secteur compris entre les lacs Castignon, du Portage et Minowean (Brouillette, 1989). Cette étude a été suivie par une maîtrise réalisée par Boulanger (1989) sur la minéralogie des indices uranifères.

En 2005, Omégalpha Inc. est retourné dans le secteur du lac Minowean pour des travaux de reconnaissance (Figure 8). Cette courte campagne a permis de répertorier les indices d'Eldorado Nucléaire Ltée, mais aussi la découverte de deux nouveaux sites minéralisés : Damoclès et Ti-Poil (Figure 3). Des travaux de nettoyage de tranchées préexistantes ont été entamés sur les indices Racine et Ferme Sud. Les résultats de cette campagne et le détail des découvertes d'Eldorado Nucléaire Ltée. sont disponible dans le rapport publié pour Uranor Inc. en 2005 (GM 624971).

En 2007, Areva Québec Inc. a poursuivi les travaux de terrains visant à répertorier les affleurements sur la zone des indices découverts par Eldorado Nucléaire Ltée., à l'est du lac Minowean, ainsi que des travaux ayant pour but une meilleure compréhension de la géologie locale, et l'appréciation de son potentiel uranifère (GM 64155 et Figure 9). En 2008, les travaux consistaient en une campagne de géophysique aéroportée couvrant la totalité de la propriété (Figures 4, 5 et 6), une cartographie complète de la région couverte par les claims, incluant un prélèvement d'échantillons de géochimie de ruisseau (Figures 7, 10, et 11), d'une étude structurale de la région et d'une étude de la géologie de détail des indices Ferme Nord et Racine, avec décapage et rainurage (pour Ferme-Nord seulement). Deux rapports ont été déposés en 2009 par Areva Québec au MNRF pour la géochimie de ruisseau, et la géophysique aéroportée.

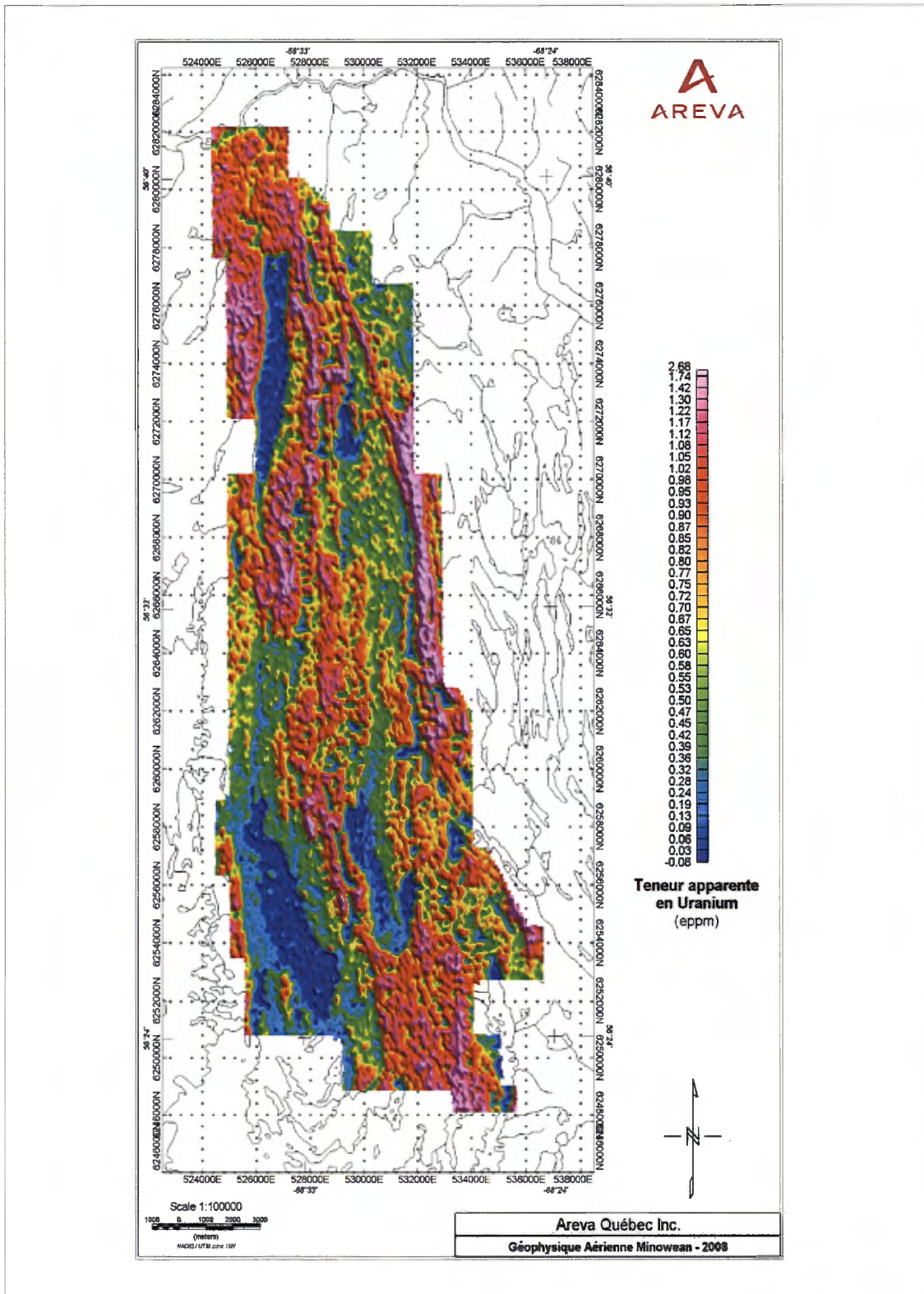


Figure 4 : Carte géophysique de la teneur apparente U (eppm) de Minowean



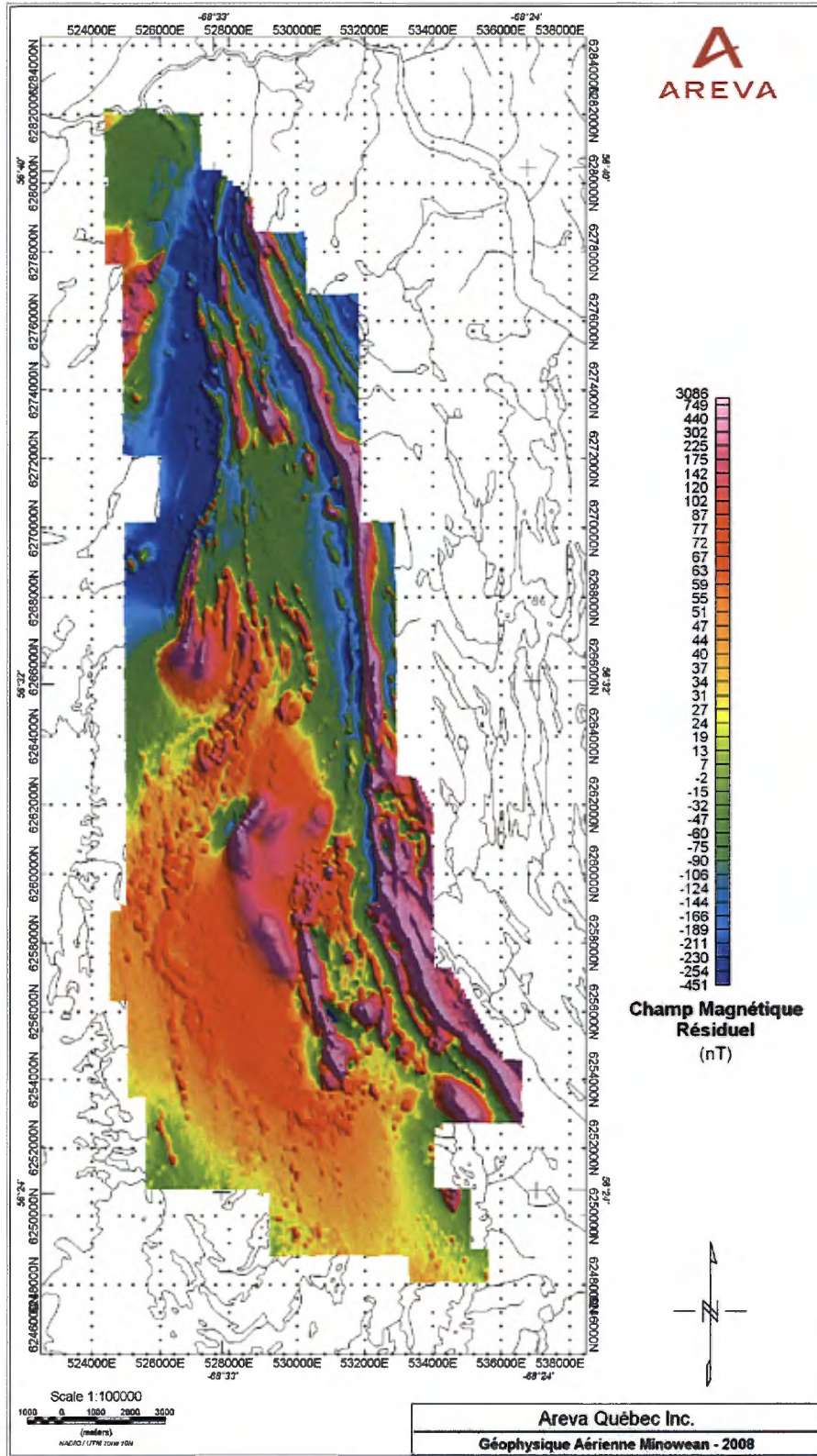


Figure 5 : Carte géophysique champ magnétique résiduel de Minowean

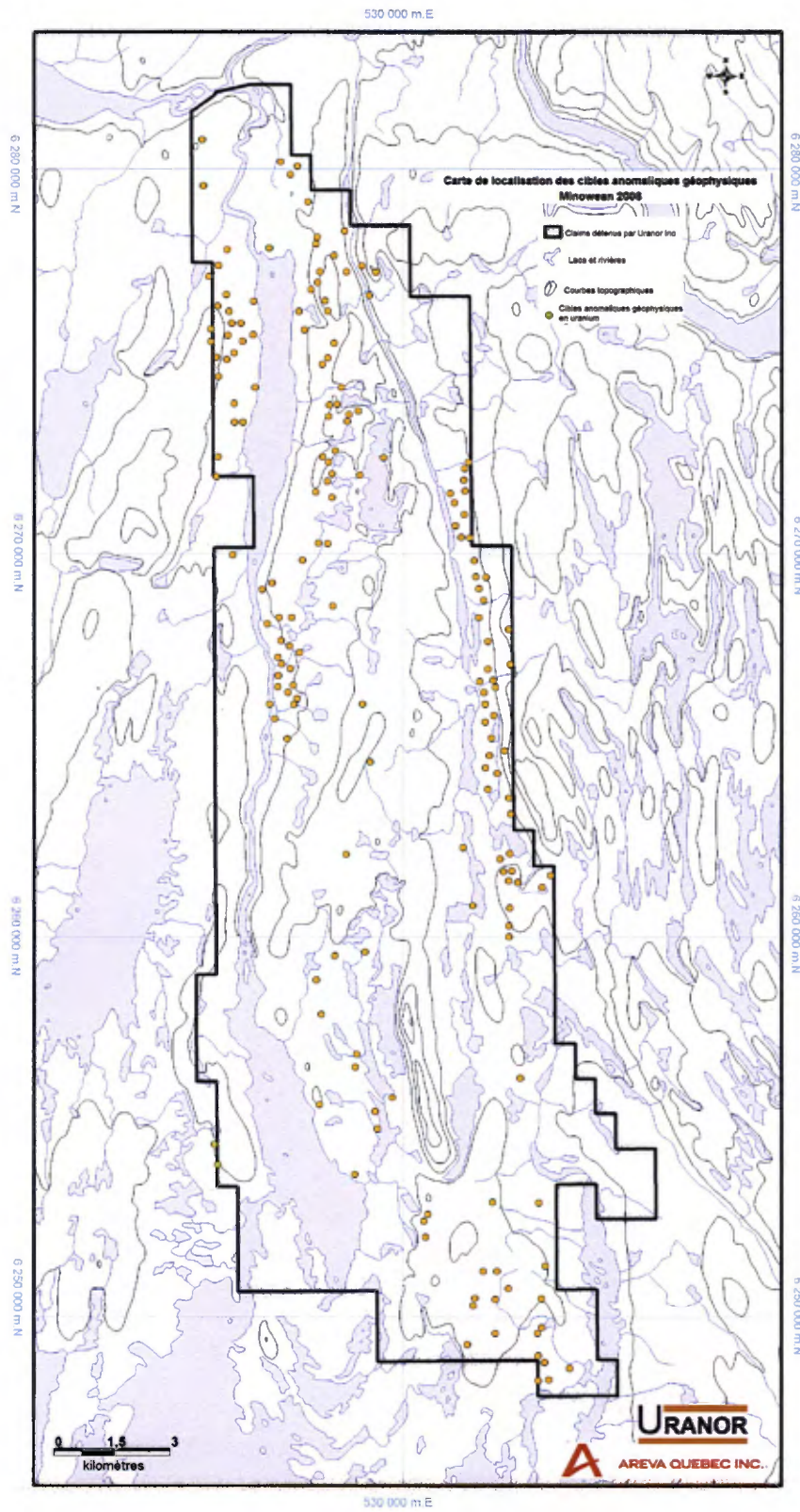


Figure 6 : Carte des cibles anomales géophysiques aéroportées de Minowean



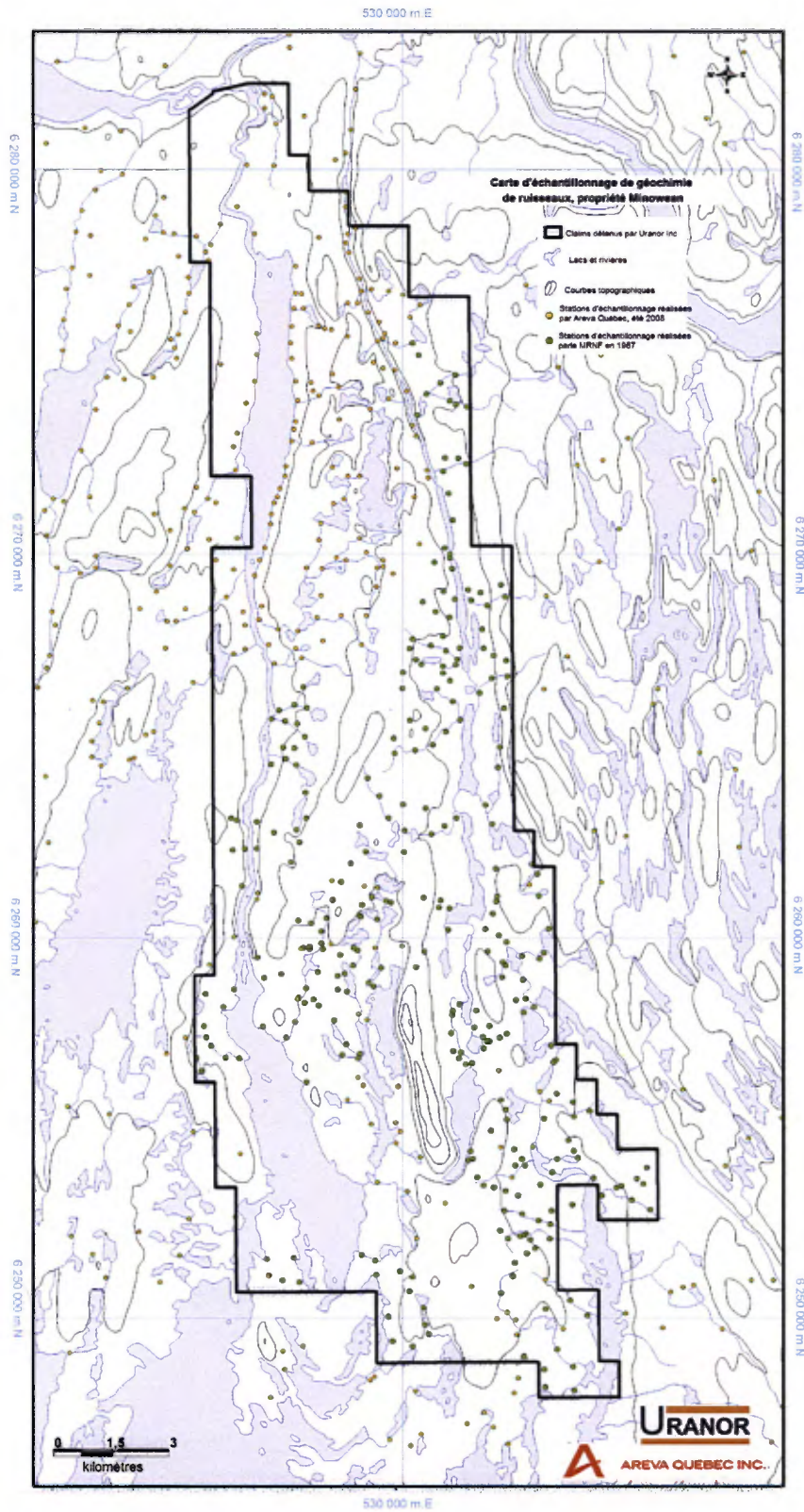


Figure 7 : Carte d'échantillonnages de ruisseaux de Minowean

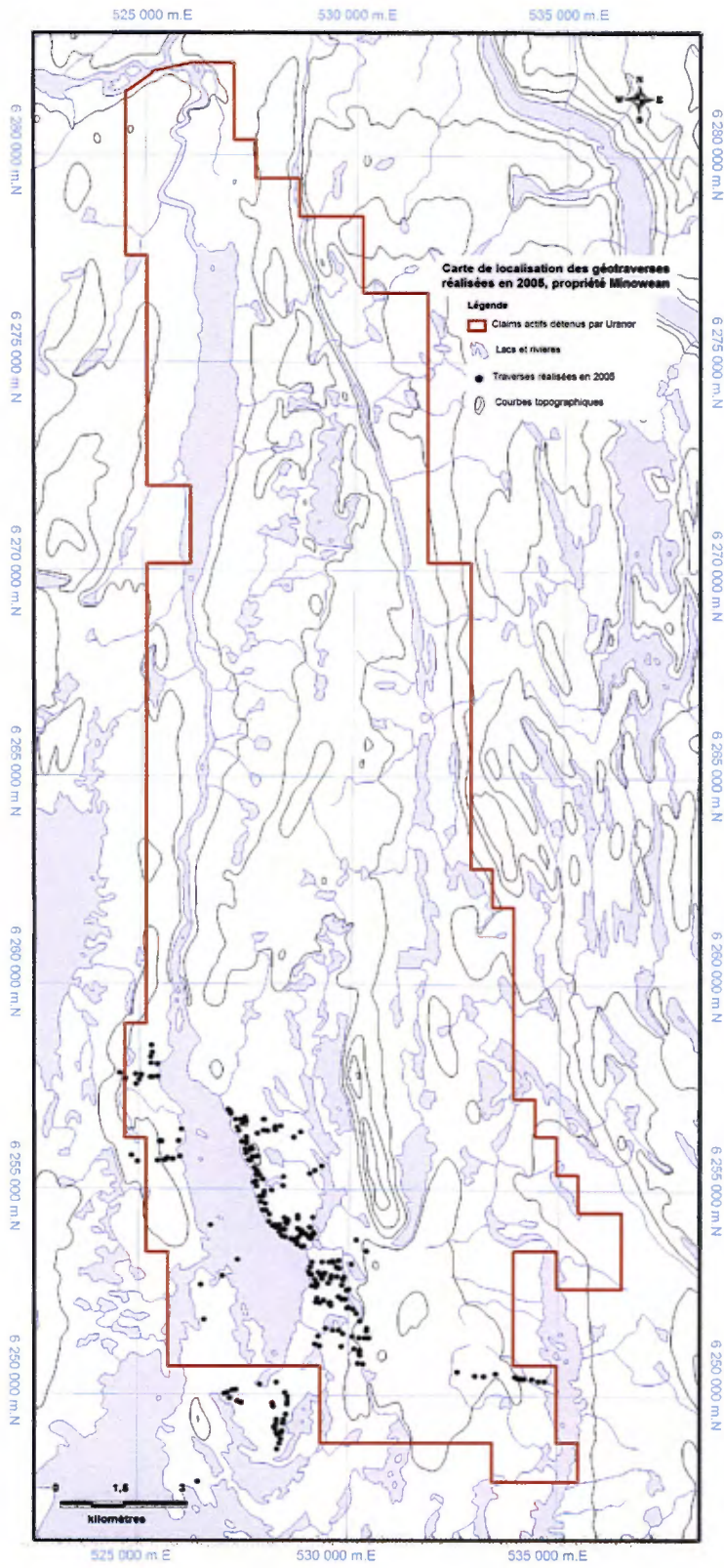


Figure 8 : Carte des traverses géologiques de Minowean (campagne 2005)



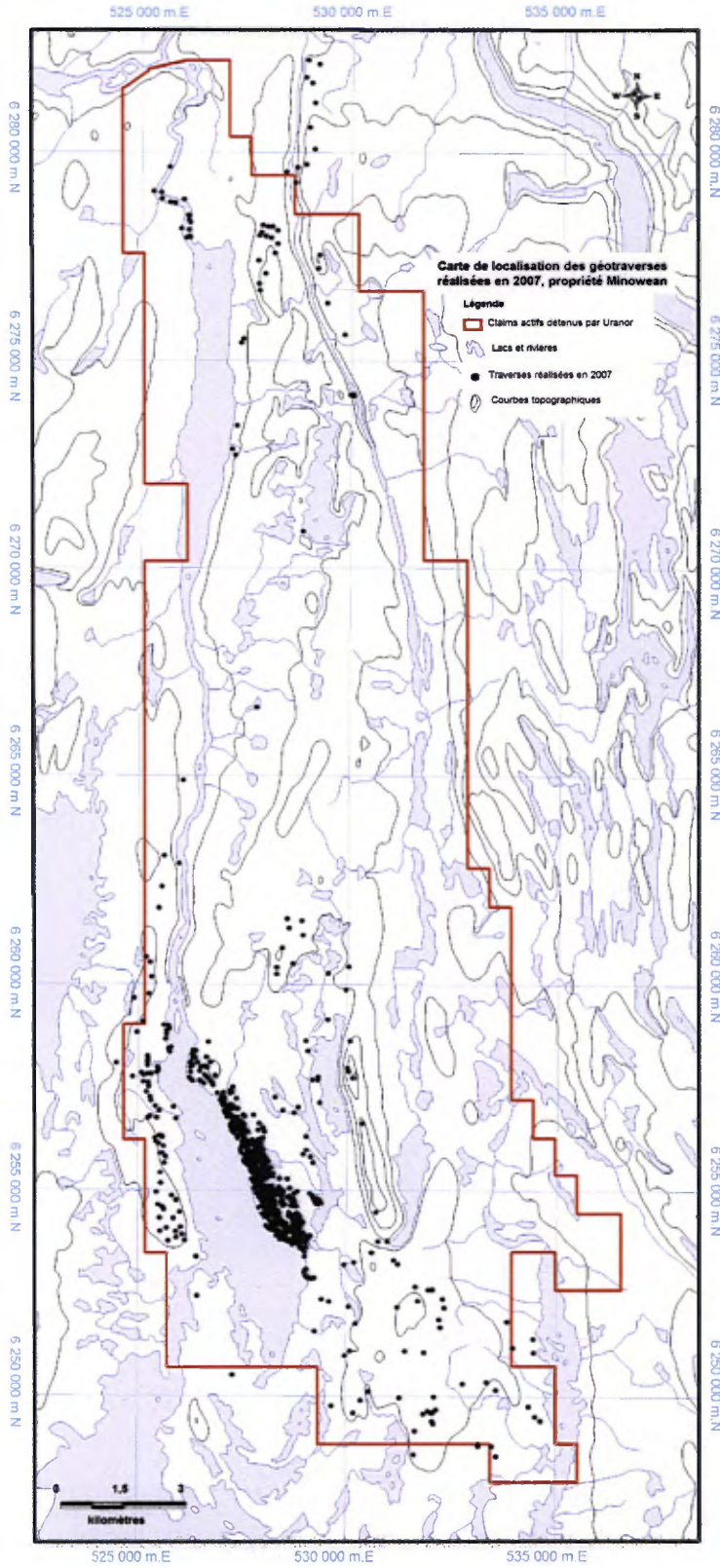


Figure 9 : Carte des traverses géologiques de Minowean (campagne 2007)

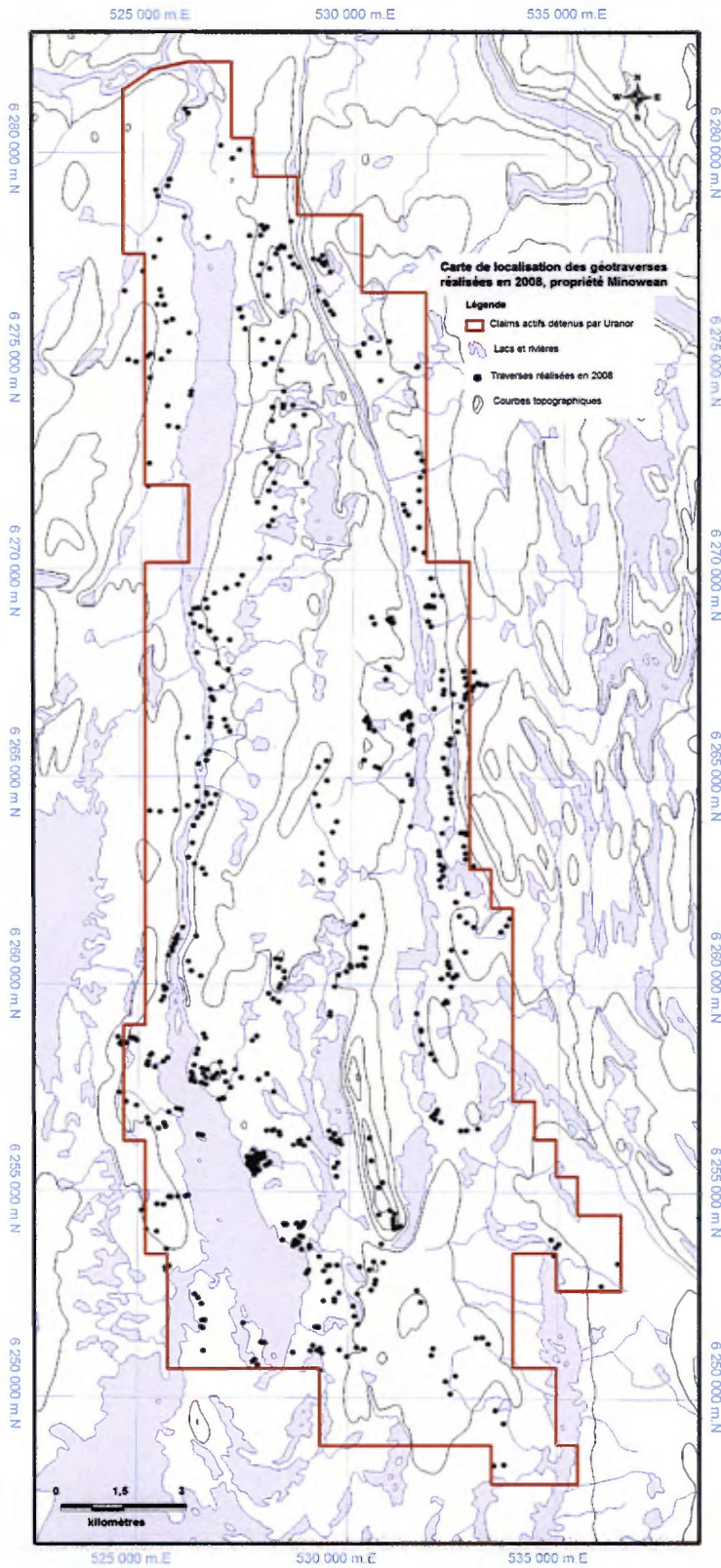


Figure 10 : Carte des traverses géologiques de Minowean (campagne 2008)



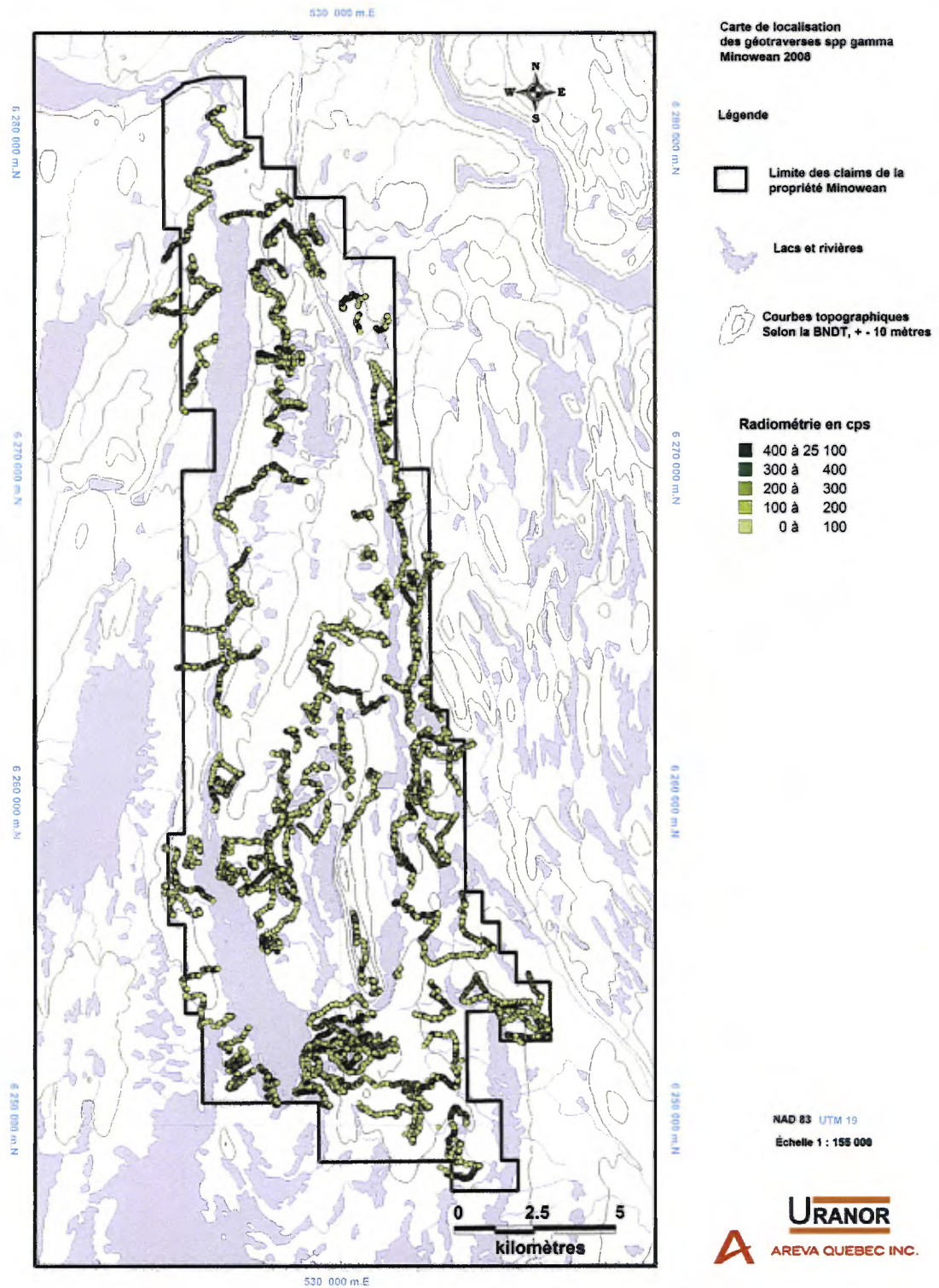


Figure 11 : Carte des traverses géologiques avec scintillomètre SPPγ de Minowean (campagne 2008)

## 9. CONTEXTE GÉOLOGIQUE

### 9.1 Cadre géologique régional

La propriété Minowean est située dans la partie centrale de l'orogène paléoprotérozoïque du Nouveau-Québec aussi appelée Fosse du Labrador. S'étendant sur presque 800 km selon un axe NNW-SSE, la Fosse du Labrador est située entre deux cratons archéens aux caractéristiques physico-chimiques propres, soit la Province du Supérieur à l'ouest et la Province de Churchill à l'est. Cette dernière renferme toutefois des roches ayant enregistrées un épisode métamorphique paléoprotérozoïque, contemporain à l'épisode transpressif de l'orogénie trans-hudsonienne à 1,84 Ga (Clark et Wares, 2004). Ces âges connaissent leurs équivalences à la fois dans les zones d'arrière-pays de la Fosse du Labrador et des Monts Torngats, à l'extrême est du Québec.

La Fosse du Labrador est constituée d'un empilement de roches tectonisées appartenant à deux cycles volcano-sédimentaires complets délimités par une discordance d'érosion (Clark et Wares, 2004), marquant une lacune temporelle d'au moins 250 Ma. Un troisième cycle sédimentaire a été reconnu dans l'avant-pays de la partie nord de l'orogène (Clark et Wares, 2004), essentiellement constitué de conglomérats à blocs de granitoïdes et de formation de fer. Cette entité n'affleure pas dans le secteur du lac Minowean. Les roches répertoriées appartiennent exclusivement au premier cycle volcano-sédimentaire, à l'exception des dômes de socle archéens rencontrés à l'ouest du lac Patu.

La Fosse du Labrador a été soumise à un seul épisode court et continu de collision continent-continent. Outre la mise en place des grandes nappes allochtones le long de rampes de chevauchement à vergence SW, les roches ont été affectées par une contrainte oblique provoquant des cisaillements dextres majeurs vers la fin de la collision. La présence des dômes gneissiques et granitiques, à quelques rares endroits dans la partie centrale de la Fosse du Labrador laisse entrevoir la possibilité d'un style tectonique de type « thick skin », impliquant la délamination de lambeaux de l'assise profonde. Ces parcelles de socle archéen correspondent à la limite occidentale des chevauchements majeurs. Dans le secteur du lac Minowean, la faille d'Argencourt marque l'endroit où les séquences basaltiques et gabbroïques chevauchent les sédiments de plate-forme. Des roches mafiques similaires ont été reconnues à plusieurs endroits autour du lac Minowean (Brouillette, 1989). Leurs contacts irréguliers avec les sédiments gréseux et dolomitiques remettent en question le mode de mise en place de ces parcelles isolées de roches mafiques.

### 9.2 Stratigraphie

Les entités lithostratigraphiques décrites dans ce chapitre sont empruntées de la nomenclature établie par Dimroth (1978). La Fosse du Labrador a autrefois été interprétée comme étant le résultat du développement d'un géosynclinal. Ne faisant donc pas intervenir le dédoublement de séquences issu de la tectonique de nappes, la liste des entités lithodémiques de la Fosse du Labrador est par conséquent surdimensionnée. Avec les principes de tectonique moderne, il serait préférable de dresser une colonne stratigraphique en fonction des faciès et non des lithodèmes. Or, dans le secteur du lac Minowean, la position des lithodèmes semblent fidèle à leur position réelle dans la colonne stratigraphique. Par conséquent, nous allons utiliser les lithodèmes de Dimroth (1978) pour commenter les observations géologiques. L'âge des unités lithologiques suivantes est présenté en ordre chronologique, de la plus vieille à la plus jeune.

#### 9.2.1 Socle archéen:

De petits dômes de gneiss et de granitoïdes ont été reconnus par Dressler (1979) à l'ouest du lac Patu. Ils consistent essentiellement en des granites massifs et grenus à biotite. Ne possédant pas de foliation marquée, ces roches sont imprégnées d'une altération variable, allant d'une chloritisation légère de la biotite jusqu'à la destruction complète de tous les feldspaths. Devenus des schistes à séricite à proximité des séquences sédimentaires, l'extrême altération de ces roches suggère la présence de failles importantes à l'interface granite/sédiments. Ces granites sont d'autant plus étrangers au reste des unités rencontrées dans la région. Il a autrefois été proposé que ces roches archéennes formaient un promontoire de la province du Supérieur. Étant probablement des roches du Supérieur, les granites du lac Patu, à l'image des gabbros et basaltes localisés à quelques kilomètres au nord, ont été imbriqués tectoniquement.

### 9.2.2 Groupe de Seward:

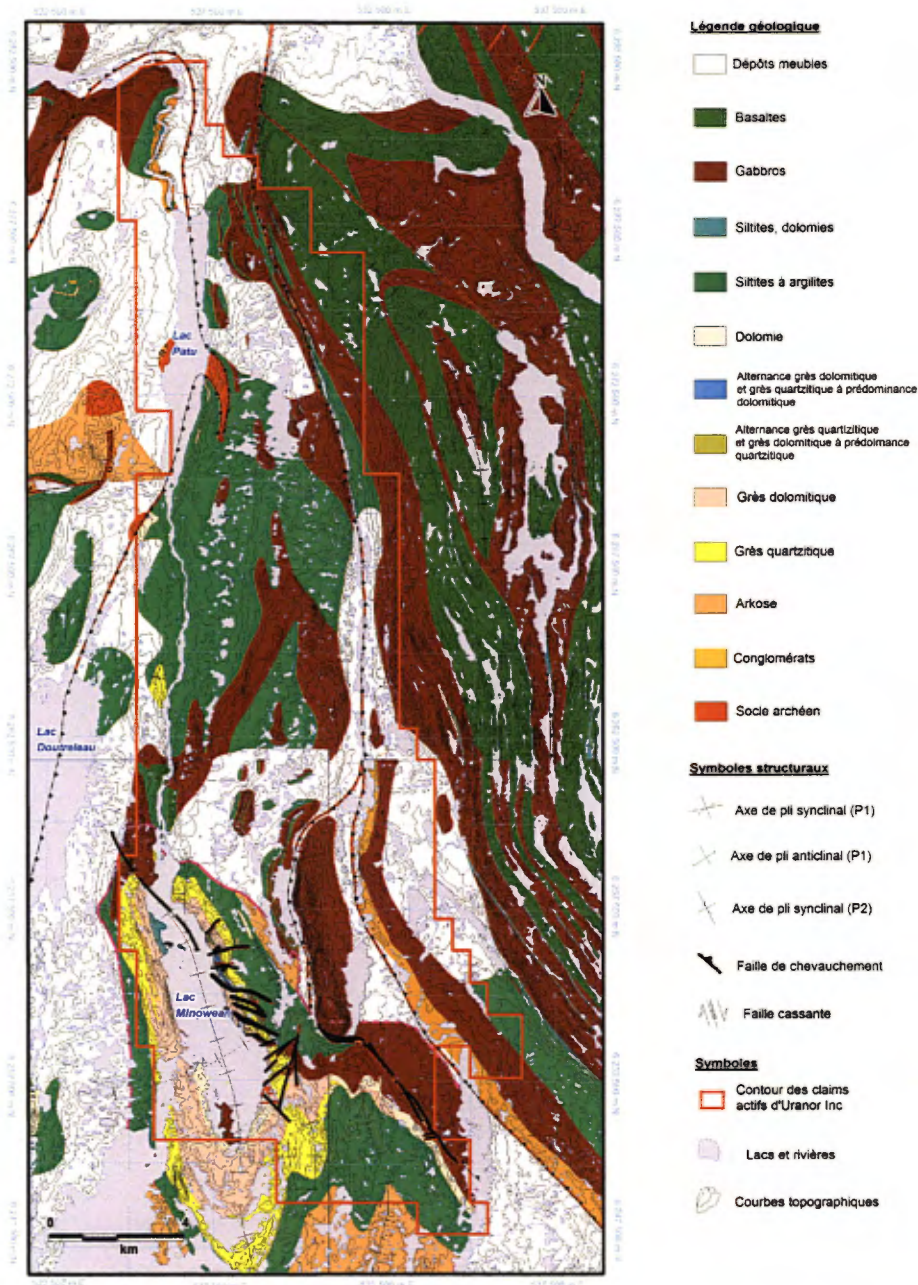
Le Groupe de Seward comprend les sédiments fluviaux des Formations de Chakonipau et du Portage. Avec une épaisseur estimée à plus de 1000 mètres, le Chakonipau est essentiellement constitué d'arkose et de conglomérat polymictique rouges. On retrouve également des niveaux discontinus de grès arkosique et de siltites rouges. Le dépôt des sédiments de cette formation a été contrôlé par l'effondrement des blocs archéens délimités par des failles normales profondes, comme le suggère l'abondance de dykes de gabbro, datés à 2169 Ma, et de rares coulées de trachybasalte (Rohon et al., 1993). Les sédiments sus-jacents du Portage sont essentiellement composés d'arkose et de dolomie rose. La caractéristique importante du Groupe Seward est que la quasi-totalité des roches et agglomérats sont à caractère oxydant. La compilation des mesures de lits obliques dans ces unités indique que la majorité du matériel provenait de l'ouest (Dimroth, 1978). Les lambeaux de la Formation de Sakami affleurant à l'est du lac Cambrien, et préservés dans des demi-grabens au sein des roches métamorphiques archéennes de la Province Supérieure, possèdent les mêmes caractéristiques que les roches du Seward (Clark, 1984). Leur âge et leur corrélation stratigraphique avec la Fosse demeurent toutefois débattus.

Le Chakonipau n'affleure pas dans le secteur du lac Minowean, mais peut être présent en profondeur. On le retrouve surtout au sud de la propriété, entre les lacs Chakonipau et Otelnuik. Des sédiments oxydés semblables ont été répertoriés en périphérie des fenêtres de socle dans le secteur du Lac Patu et le long de la faille d'Argencourt. Ces roches ont par contre été attribuées au Groupe de Pistolet (Dressler, 1979). Les arkoses, les siltites rouges et les dolomies roses affleurant à l'est de la zone indicelle du lac Minowean appartiennent à la Formation du Portage, localisées au cœur d'une structure anticlinale (Brouillette, 1989).

### 9.2.3 Groupe de Pistolet:

Le Groupe de Pistolet regroupe les Formations de Lace Lake, d'Alder et d'Uvé. La nature des lithologies témoigne d'une transgression marine et du développement local d'une plate-forme en marge passive (Clark et Wares, 2004). L'empilement a débuté de manière franche, mais concordante sur les sédiments sous-jacents du Portage (Dimroth, 1978). Ces faciès, essentiellement de basse énergie hydraulique, à l'exception des grès quartziteux de la Formation d'Alder, sont exclusivement présents dans la partie centrale de la Fosse du Labrador (Clark et Wares, 2004) et spécialement autour du lac Minowean. La distribution des sédiments du Pistolet indique la subsidence progressive du bassin d'avant-pays et l'invasion progressive d'une mer peu profonde, progressant légèrement vers le nord. Le résultat des mesures de lits obliques dans le secteur du lac Minowean laisse entrevoir la possibilité de deux sources différentes, dont la dominante serait au nord-est (Dimroth, 1978)(Figure 12).





Carte géologique de la propriété Minowean



Figure 12 : Carte géologique SIGÉOM modifiée de la propriété de Minowean suite aux travaux de la campagne 2008

La Formation de Lace Lake est constituée d'une succession de siltites rouges et de shales gris foncés, interlités avec des dolomies grises à patine d'altération brune et des dolomies sableuses. Cette formation marque, à l'échelle de l'orogène, le passage franc d'un environnement oxydant à un environnement réducteur. Cette constatation est entre autre démontrée par la présence de niveaux tabulaires riches en matières carbonées et sulfures. A l'est du lac Minowean, le Lace Lake a la particularité d'être intercalé avec des bandes de roches volcaniques de la Formation de Bacchus et/ou de gabbro probablement attribuable au Groupe de Montagnais. La nature des contacts stratigraphiques entre ces unités est variable. Sur la zone indicielle, les gabbros et les basaltes apparaissent en contacts faillés avec les siltites suggérant

une mise en place tectonique par imbrication. Le manque de données ne permet pas d'extrapoler cette observation à l'échelle de la propriété.

Les siltites sont surmontées par une épaisse séquence de grès quartzeux de la Formation d'Alder (Photo 3), variant de 500 à presque 1000 mètres de puissance selon l'endroit (Dimroth, 1978). Ces grès sont généralement d'une pureté exceptionnelle à la base. Seuls quelques horizons présentent des lits obliques à minéraux lourds ou des niveaux à cailloux de chert. Composés à presque 100% de quartz, les grès d'Alder possèdent une patine grise uniforme et composés de grains de quartz sub-anguleux à bien arrondis, jointifs et cimentés d'une silice diagénétique. Les grès sont parfois empreints d'une silicification invasive et d'un contenu appréciable en phyllosilicates matriciels (séricite et argiles) leurs procurant une couleur noir commune. Le contenu en veines de quartz est irrégulier et tend évidemment à croître à proximité des zones tectonisées.

Le sommet de la séquence de grès est marqué par le passage franc ou progressif d'une matrice siliceuse à une matrice dolomitique. Ces grès présentent généralement une patine d'altération brunâtre avec une dissolution variable de la matrice en surface altérée, mettant en évidence les longs et puissants lits obliques (Photo 6). La matrice carbonatée variant de blanc intense à gris clair, selon le contenu en carbonate, est en proportion beaucoup plus importante que dans les grès quartzeux. Les grès dolomitiques sont davantage « matrix-supported » alors que les grès quartzeux sont plutôt « clast-supported ». Les grès dolomitique et les dolomies sus-jacentes sont généralement en contact progressif. En effet, on y retrouve davantage de niveaux conglomératiques à blocs très arrondis de dolomie (Photo 5). La taille des blocs est très variable. Il est également possible de retrouver des lits plus ou moins puissants de dolomie massive. Ce faciès transitoire peut, à l'inverse, être constitué de blocs de grès dolomitique dans une matrice de dolomie aphanitique pure. Ces roches, exclusivement observées sur la rive est du lac Minowean, font toutefois appel à un processus de mise en place différent, commenté dans la section 9.2.5.

Des unités de dolomie cryptalgare et stromatolitique forment la partie sommitale des faciès de plate-forme du secteur. Il s'agit d'une roche massive et micro-veinée de silice, ayant une couleur généralement grise à localement beige. Les dolomies sont parfois grenues et présentent parfois des faciès intermédiaires de dolomie gréseuse à proximité des grès dolomitiques. Les structures algaires sont rares, mais la roche est en contre partie marquée par des figures de « slumps ». Les dolomies d'Alder affleurent mal dans la propriété, souvent dans les creux topographiques et/ou inondés par les lacs.

A l'échelle régionale, la Formation d'Uvé est dominée par des dolomies. Seul son membre supérieur essentiellement composé d'argilites noires, n'affleure que sur les îles au centre du lac Minowean. Contrairement aux siltites du Lace Lake, ces sédiments sont imprégnés de deux schistosités distinctes et contiennent beaucoup plus de matière carbonée. Aucun contact sûr n'a été observé entre ces argilites et les dolomies d'Alder. Des sédiments semblables ont été observés au contact de dolomies, dans des zones de faille. Il peut tout aussi bien s'agir de niveaux cisailés. L'affinité de ces derniers avec l'Uvé est incertaine.

#### 9.2.4 Groupe de Montagnais

Le Groupe de Montagnais est composé des filons-couches de gabbros. Bien qu'ils apparaissent au sommet de la colonne stratigraphique du premier cycle volcano-sédimentaire, la mise en place de ces roches est probablement synchrone avec les coulées basaltiques de la Formation de Bacchus (Groupe de Swampy Bay) et les sédiments interlités avec ces laves. L'âge relatif des basaltes est possiblement contemporain avec le dépôt des sédiments de plate-forme du Groupe de Pistolet. Les basaltes ont par contre probablement été transportés sur une grande distance via les rampes de chevauchement, comme la faille d'Argencourt, à l'est du lac Minowean. Les quelques basaltes grenus du Bacchus et les niveaux microgabbroïques du Montagnais se confondent en tous points. Il est donc préférable de les considérer comme une seule et unique entité stratigraphique. Des grands massifs mafiques ont été cartographiés par Dressler (1979) dans la région du lac Patu. Des gabbros similaires ont été reconnus par Dimroth (1978), puis Brouillette (1989) autour du lac Minowean.

#### 9.2.5 Brèches

On retrouve une grande diversité de brèches sur la propriété, spécialement aux pourtours du lac Minowean. Ces brèches sont de trois types : les brèches sédimentaires, les brèches hydrauliques et les brèches

tectoniques. Les brèches sédimentaires sont souvent des conglomérats ou des poudingues à cailloux et blocs. Ce faciès peut généralement être observé au sein des grès dolomitiques et est composé de clastes et blocs bien arrondis de dolomie massive. De rares conglomérats à cailloux de quartz ont été observés dans les grès quartzeux d'Alder.

Les brèches hydrauliques ont pour leur part une genèse discutable. Elles sont composées de blocs hétérogranulaires et très anguleux de grès dolomitique baignant de manière anarchique dans une matrice de dolomie massive et micro-veinée. Les blocs montrent des évidences de bréchification in-situ sans transport notable des fragments suggérant une fracturation par surpression des fluides dolomitiques dû possiblement à la mise en place rapide d'un poids lithostatique. Ce faciès bréchique est toujours transitionnel entre le grès dolomitique et la dolomie. La taille des injections de dolomie est parfois si grande qu'elle pose un doute sur l'exactitude du processus de mise en place. L'énorme volume de matériel bréchifié rappelle parfois les mélanges tectoniques, comme sur le site de l'indice Damoclès.

Les brèches tectoniques excluent toute brèche générée par un jeu de faille. Les brèches en question constituent une lithologie en soit. Elles sont caractérisées par un assemblage anarchique de blocs de nature variable supportés par une matrice schisteuse, argileuse et parfois graphitique. Ces brèches constituent des mélanges tectoniques ou « wildflysch » typique des semelles de nappe de charriage. La composition de la matrice rappelle étrangement les argilites schisteuses (Formation d'Uvé?) répertoriées sur les îles du lac Minowean. Ces mélanges tectoniques ont été observés à deux endroits sur la propriété, soit au contact de basaltes et d'une dolomie intensément bréchifiée au sud-est du lac Minowean, puis sur la presqu'île au sud du même lac dans la terminaison périclinale du pli. Cette dernière présente moins les caractéristiques d'un « wildflysch », mais plutôt d'une puissante brèche à dominance de matrice graphiteuse et sulfurée, servant de contact entre un basalte et une dolomie.

### 9.3 Altérations

#### 9.3.1 Grès

Certaines altérations ont pu être observées dans les faciès gréseux (Photos 2, 6, 9 & 14) qu'ils soient quartzeux ou dolomitiques. L'examen pétrographique sommaire a révélé une histoire polyphasée des altérations, spécialement à proximité des zones minéralisées. En effet, une intense carbonatation semble imprégner une silicification précoce dans certains secteurs. Mais à l'échelle régionale, les grès dolomitiques sont toujours dans la même position stratigraphique, soit entre les grès quartzeux et les dolomies. L'intensité de l'activité hydrothermale et la présence des brèches hydrauliques laissent prétendre un remplacement complet des grès quartzeux par des grès dolomitiques à l'interface avec les dolomies. La compilation des données de terrain semble appuyer la préexistence des grès dolomitiques primaires. Toutefois, certains affleurements montrent des évidences tardives de remplacement du ciment siliceux des grès par des carbonates. Le phénomène peut autant se produire le long des joints stratigraphiques que de façon sécante au litage. Finalement, en périphérie des grès quartzeux tectonisés, une seconde silicification dû à l'injection de réseaux de veinules de quartz oblitère toute texture primaire de la roche. Les zones empreintes d'une silicification tardive s'accompagne souvent d'une altération micacée en séricite et/ou argile. Ces phyllosilicates ont été interprétés comme étant d'origine hydrothermale. La couleur noirâtre des grès quartzeux est attribuée à la présence de matière carbonée et/ou de sulfures fins.

Bien qu'étant associés à la Formation d'Adler, les grès quartzeux oxydés du secteur du lac Patu disposent leur caractère propre. Il possède une plus grande porosité dû à la micro-fracturation. Cette roche présente même un aspect régolitique. Toutes ces caractéristiques sont issues de l'intense déformation survenue dans ce secteur. Même si elle est aussi silicifiée que certaines zones du secteur Minowean, les grès du lac Patu, hôte de la minéralisation Cu-U, possèdent un plus grand potentiel pour le piégeage des fluides.

#### 9.3.2 Roches mafiques

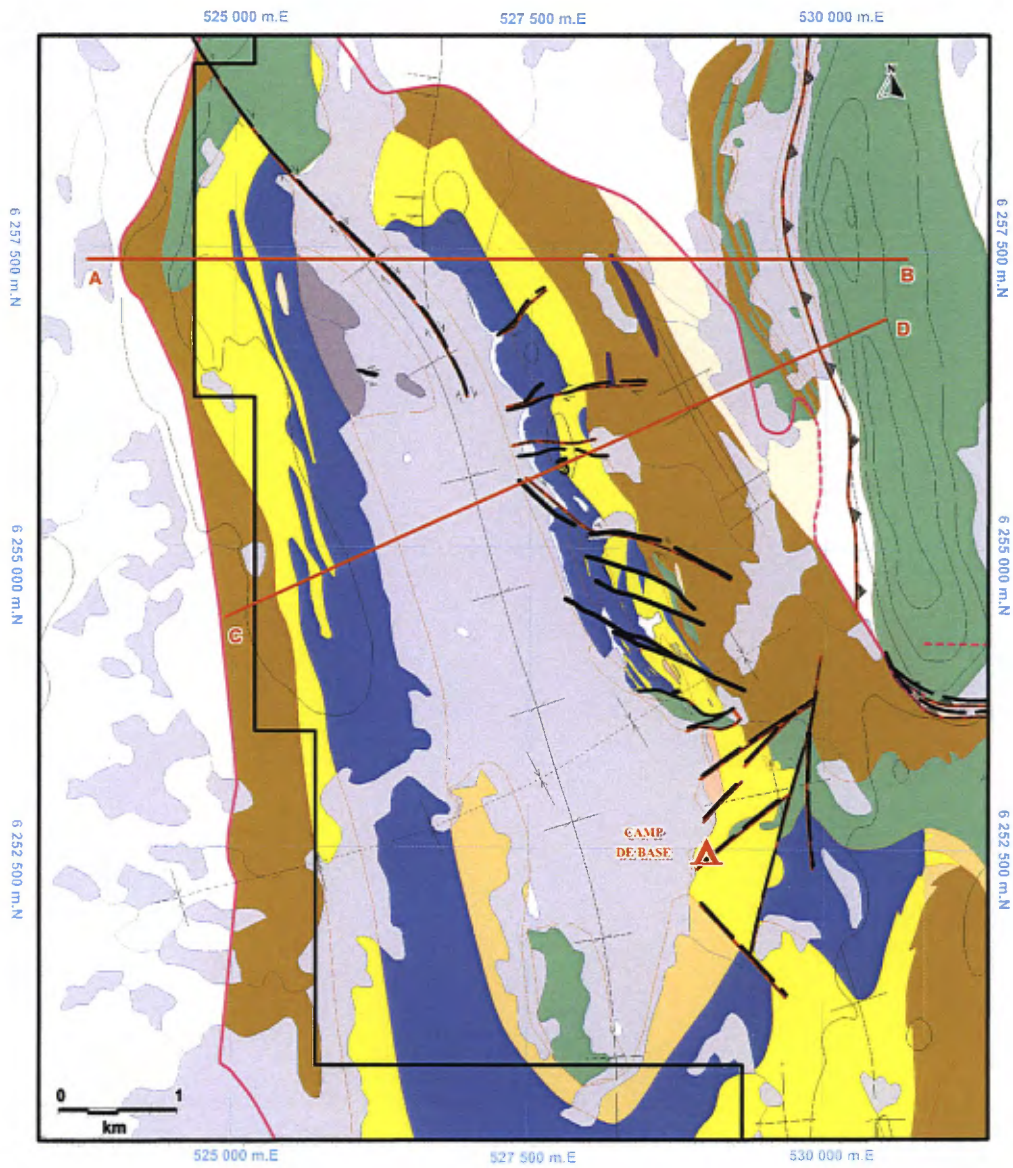
Les roches volcaniques et les gabbros (Photos 1 & 7) sont souvent altérés avec un degré s'accroissant à proximité des structures majeures. En effet, les gabbros en périphérie des toits de failles de chevauchement, telle la faille d'Argencourt, sont fortement carbonatés (on observe également une altération rougeâtre des plagioclases qui ressemble à de l'albitisation) et ne présente plus aucune texture ignée originelle. La semelle sous l'énorme montagne de gabbro à l'est du lac Minowean présente le même degré d'altération carbonatée, accompagnée de magnétite disséminée. Ces roches apparaissent selon une



signature de haut magnétique d'après les résultats du levé régional (Sigeom). Ces roches ont autrefois été cartographiées comme des dolomies imbriquées (Brouillette, 1989), mais la position des ces roches magnétiques par rapports aux gabbros et aux failles suggère qu'il s'agit plutôt de roches mafiques altérées. Des gabbros ou basaltes semblables ont été cartographiés par Brouillette (1989) au sein des siltites de la Formation de Lace Lake. Un tel degré d'altération laisse prétendre l'existence possible de failles de part et d'autre de ces corps mafiques.

#### 9.4 Géologie structurale

Les roches sédimentaires des sous-groupes de Seward et Pistolet sont replissées dans une structure synclinale déversée (celle de Minowean) et une structure anticlinale (Portage). Elles sont également affectées par des failles chevauchantes à vergence W-SW (Dimroth, 1978; Brouillette, 1989), qui sont considérées comme des failles subsidentes de la faille majeure d'Argencourt (limite des gabbros de l'allochtone et des roches sédimentaires du parautochtone) situées à l'est de la propriété. Nos travaux ont d'ailleurs démontrés que le chevauchement du gabbro/basalte sur les formations de la plate-forme est synchrone à la formation du synclinal et la faille de Minowean (Figure 13 et 14). La formation du pli s'accompagne d'un réseau de failles secondaires subverticales décrochantes conjuguées (dextres N030 à N060, et senestres N090 à N150) accommodant le déversement et le raccourcissement du flanc du pli. On retrouve également dans le secteur est du lac Minowean une forte présence de failles normales fragiles et ductiles-fragiles à pendage E-NE (surtout sur le flanc N-E du synforme de Minowean). Certaines de ces failles reprennent des plans de failles inverses antérieures susceptibles de créer des pièges stratigraphiques intéressants. La majorité des anomalies uranifères du secteur se retrouvent entre les lacs Minowean et Faucille, et suivent le contact entre les grès quartzitiques (faciès oxydé) et dolomitiques (faciès réduit) de la formation d'Alder, selon une direction NNW-SSE (subparallèles au failles fragiles et fragiles-ductiles décrites précédemment).



**Légende géologique**

- Dépôts meubles
- AD18
- AD4
- UV2
- AD6
- PO3
- II10
- II6

**Symboles structuraux**

- Axe de pli synclinal (P1)
- Axe de pli anticlinal (P1)
- Axe de pli synclinal (P2)
- Faille de chevauchement
- Faille cassante

**Symboles**

- Contour des claims actifs d'Uranor Inc
- Lacs et rivières
- Courbes topographiques

Figure 13 : Carte géologique SIGÉOM modifiée de la zone indicielle de Minowean avec coupe géologique

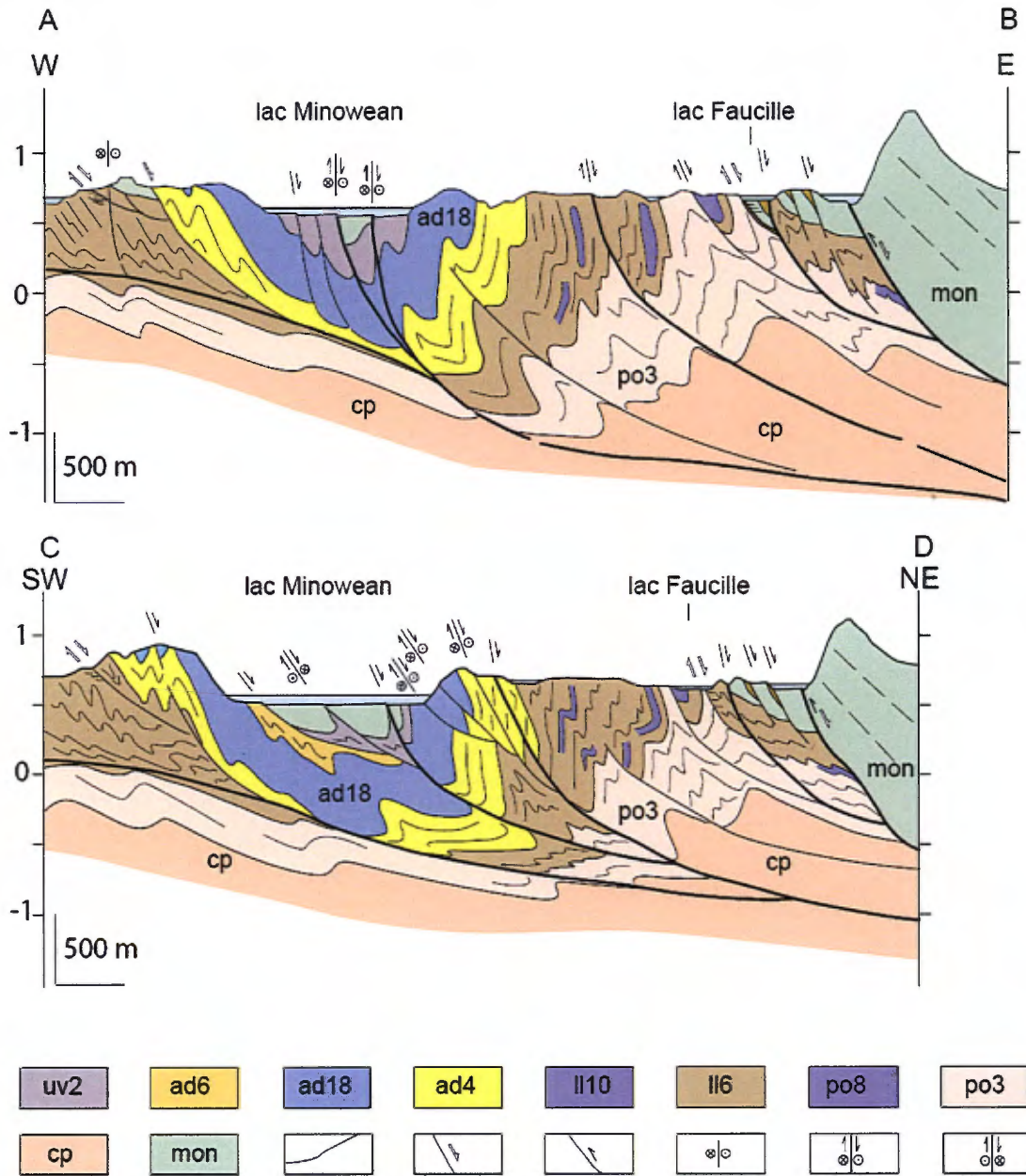


Figure 14 : Coupes structurales schématiques montrant le chevauchement des gabbros/basaltes sur les formations de la plate-forme.

**10. MODÈLE DE GISEMENT**

Le cortège des roches de la Fosse du Labrador est similaire à ceux de beaucoup d'orogènes paléoproterozoïques dans le monde. Les minéralisations de Minowean peuvent être comparées à celles du Francevillien du Gabon, de Shinkolobwe au Katanga et de Padma (matière organique et roscoelite) en Russie ainsi qu'à de très nombreux indices du Canada ou du Bouclier Baltique (Areva Québec Inc. 2007, GM 64155). Le dépôt des premières unités fluviale à l'est du lac Cambrien est survenu peu de temps après l'atmoadversion, occasionnant la mobilisation de l'oxyde d'uranium dans l'environnement maintenant oxydé. Il sera ensuite piégé dans les réservoirs réducteurs. L'exemple classique de vieux bassins minéralisés le long de fronts «Redox» est le type «francevillien» d'Oklo, au Gabon (Mathieu, 1999). L'environnement géologique de Minowean correspond en tous points, ou presque, à ceux d'Oklo. La région du lac Minowean et particulièrement celle du lac Patu ont été soumises à d'intenses contraintes tectoniques redessinant de manière complexe et discontinue l'architecture du bassin. Chacun des cycles volcano-sédimentaires de la Fosse du Labrador sont caractérisés par une interface «Redox» d'un

environnement de grès oxydés à des pélites réduites nécessaires au dépôt d'uranium. Même si elle a subi la déformation, cette interface a l'avantage d'avoir probablement été dédoublée par les failles chevauchantes et même plissées en antiforme, le piège idéal aux saumures minéralisées.

Les minéralisations du lac Minowean sont connues depuis maintenant 30 ans. L'état actuel des travaux n'indique aucune preuve confirmant la possibilité de minéralisations de type «francevillien». Les principaux indices inventoriés sont: Racine, Ferme Nord, Ferme Sud et Lac Patu. Tous ces indices d'uranium ont la caractéristique d'être polymétallique avec un contenu particulièrement intéressant en cuivre (Lafontaine, 1984) et vanadium pour certains, selon les récents résultats d'analyse (Tableau 5). Le type de gîte retenu et maintenu dans les rapports statutaires et rapports géologiques après toutes ces années est le type filonien. Il est vrai que cette typologie définit le mieux ces minéralisations, mais le terme «filonien» doit être utilisé avec nuances. Les évidences de veines de quartz, rarement de calcite, sont multiples sur les sites indiciaires, mais l'uranium n'apparaît jamais au sein de ces veines. Les oxydes d'uranium se concentrent davantage dans les zones de cisaillement et les microfractures concordantes, comme en témoigne l'abondance de produits jaunes d'uranium, ainsi que dans les salbandes fracturées des veines, et dans les brèches, les cataclasites et les gouges de faille mêmes. Il existe plusieurs autres zones minéralisées de moindres envergures qui sont uranifères mais ponctuelles, et présentent des caractères épigénétiques marqués.

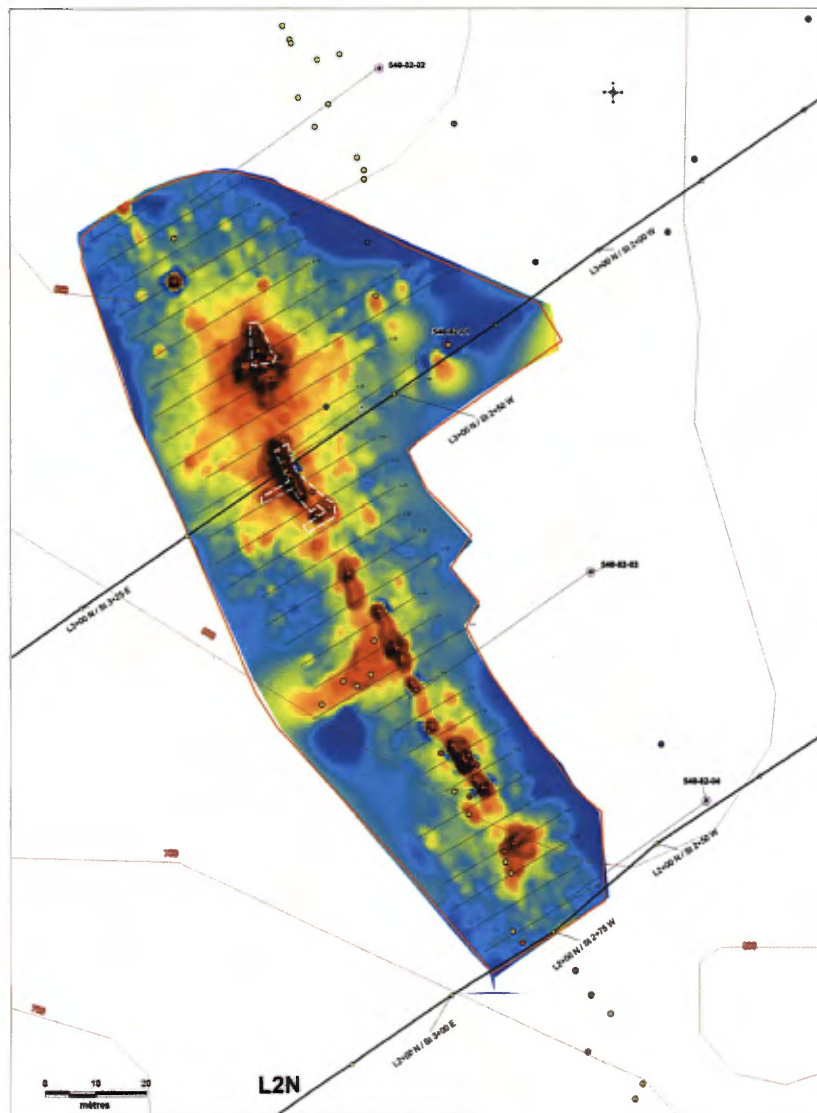
Le type «Minowean» ou à contrôle structural n'a pas d'équivalence ailleurs dans la Fosse du Labrador. Les indices Otel, Bravo, Train No.1 et 2, et ceux de la vallée de Mistamisk présentent tous des contrôles différents. Les minéralisations du lac Minowean sont toutes confinées à des environnements fortement réducteurs. Généralement, les fluides oxydants mobilisent l'uranium pour l'acheminer dans des environnements réduits sus-jacents. Or, aucune trace d'oxydation n'a été documentée dans les rapports antérieurs ou dans les récentes données de terrain. L'uranium provient visiblement de l'injection de phases complexes et polyphasées de fluides hyper-réducteurs, généralement le long de structures cisailantes, souvent concordantes à la stratification.

## 11. MINÉRALISATIONS

Un total de 354 anomalies scintillométriques entre 300 et 40 000 c/s ont été découverts depuis la première campagne de 2005, la majorité ayant été découvertes durant la campagne de 2007. Les résultats des travaux de détail en 2008 sur les indices Racine et Ferme Nord démontrent la correspondance entre les hauts scintillométriques et spectrométriques sur affleurement avec les zones tectonisées (Figures 15 à 21). Dans le secteur du lac Minowean, les fortes valeurs scintillométriques sont fonction de la puissance des structures cassantes concordantes avec la stratification. L'examen pétrographique préliminaire indique une coexistence fidèle entre l'uranium et la matière carbonée dans les fractures ou les pores des grès (Areva Québec Inc. 2007, GM 64155). L'uranium ne semble toutefois pas systématiquement associé aux sulfures ou autres substance réductrice. Lorsque qu'il est associé aux sulfures, la présence de concentrations appréciables en métaux de base est signalée. Chaque indice possède son propre assemblage de métaux. En plus des minéralisations épigénétiques tardives associées à des failles cassantes sécantes, les minéralisations du lac Minowean sont toutes à contrôle structural évident. Étant peu étudiées, les minéralisations du lac Patu présentent néanmoins les mêmes caractéristiques générales et semble associées à des fractures concordantes. La signature hydrothermale des minéralisations du secteur Minowean est confirmée par les rapports U/Th toujours très élevés et supérieurs à 100.



Plan compteur de l'indice Ferme Nord  
et localisation des anomalies radiométriques au sol  
Campagne Minowean 2008



Légende

- Zone du plan compteur
- Zones affluentes
- Lignes du plan compteur
- Bornes sur la grille
- Courbes topographiques selon la BNDT +/- 10 mètres
- Forages réalisés par El Dorado nucléaire positionnés au gps de précision (< 0.5 m)

Niveau radiométrique (en cps)  
(positionné au gps de précision à < 0.5m)



Anomalies

- Anomalies radiométriques au sol (en cps)  
(positionné au gps de précision à < 0.5m)
- 10000 à 40000
  - 4000 à 10000
  - 1000 à 4000
  - 100 à 1000
  - 0 à 100

URANOR AREVA QUEBEC INC.

Figure 15 : Plan-compteur indice Ferme-Nord

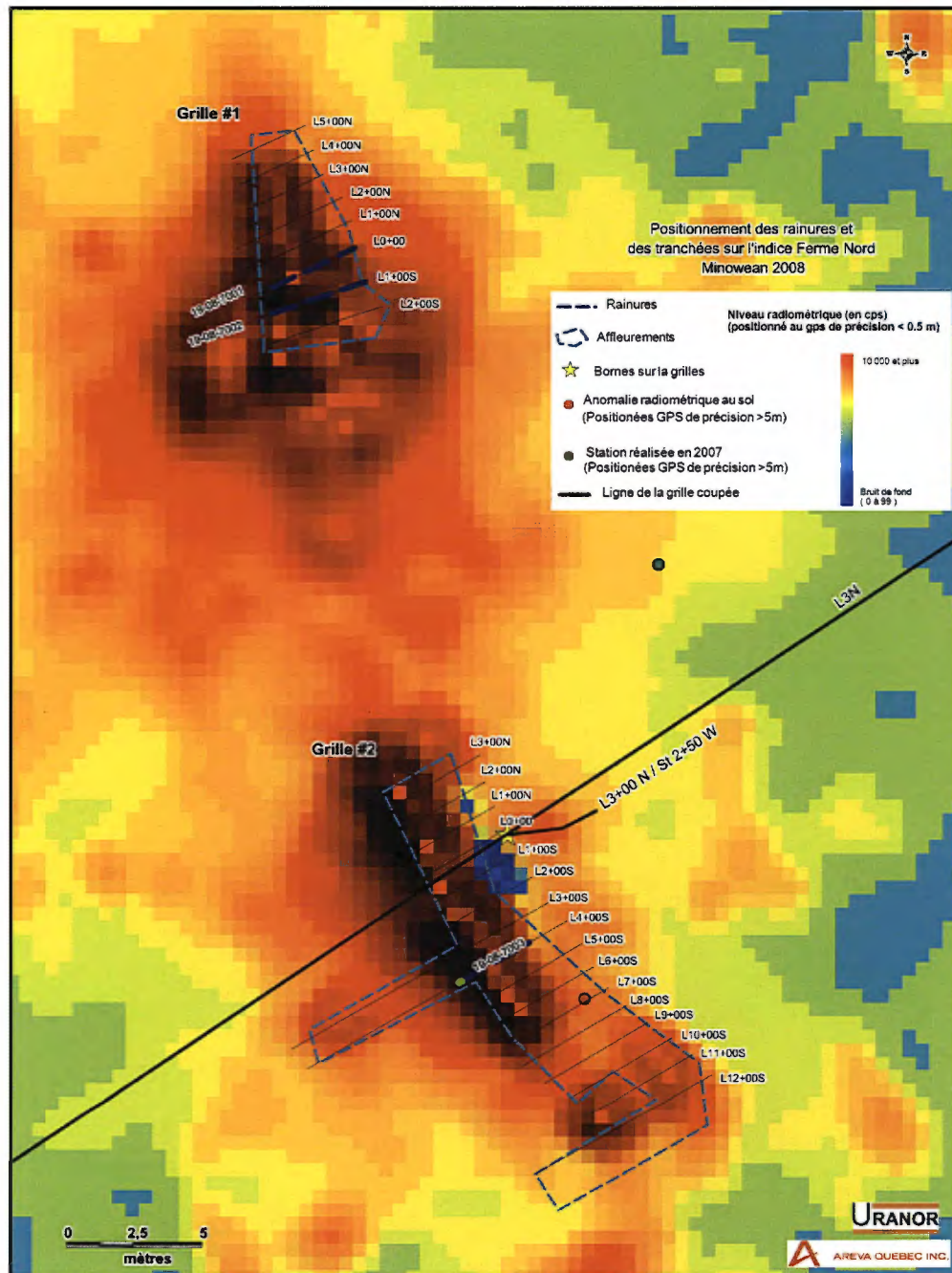
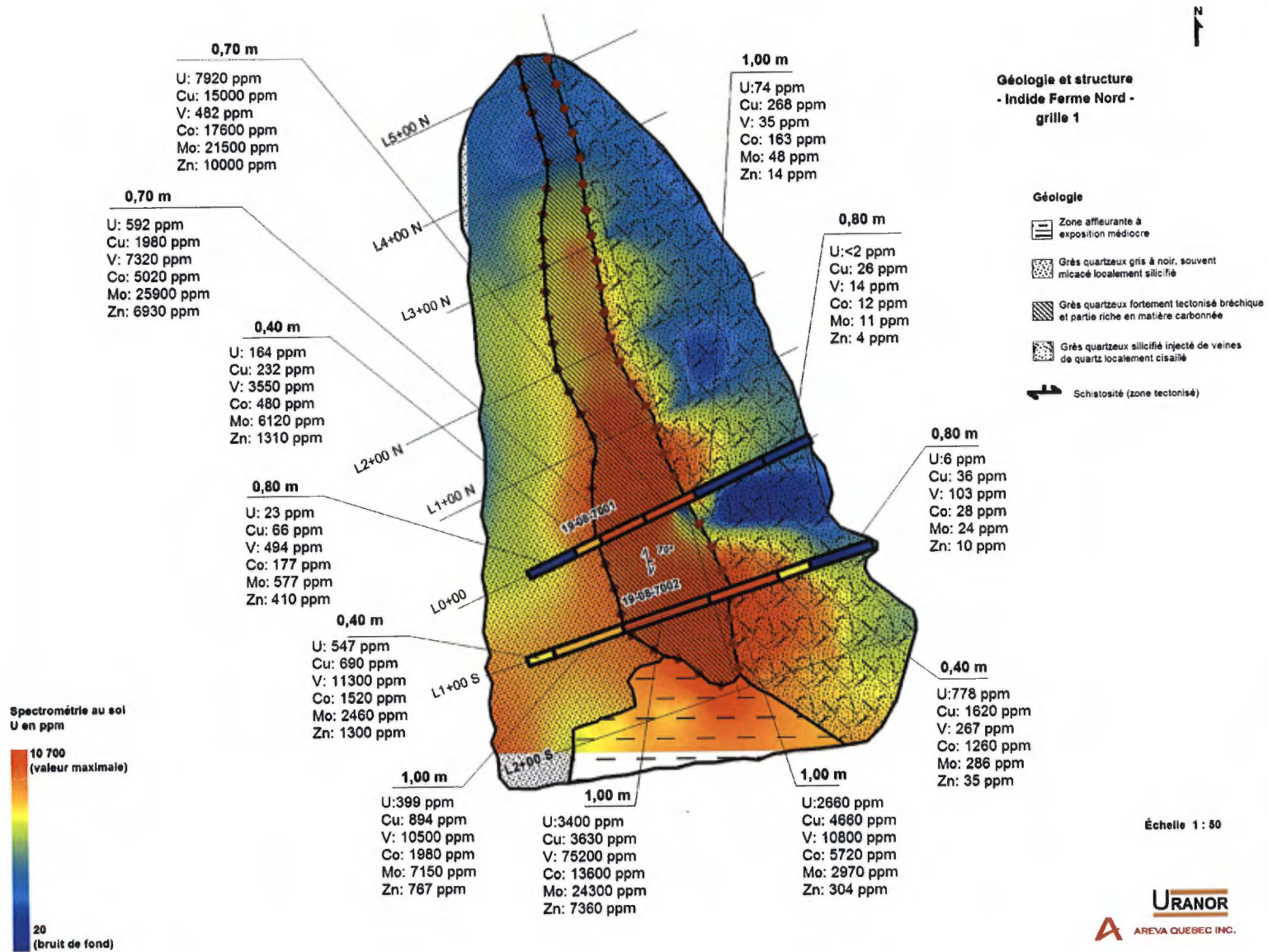


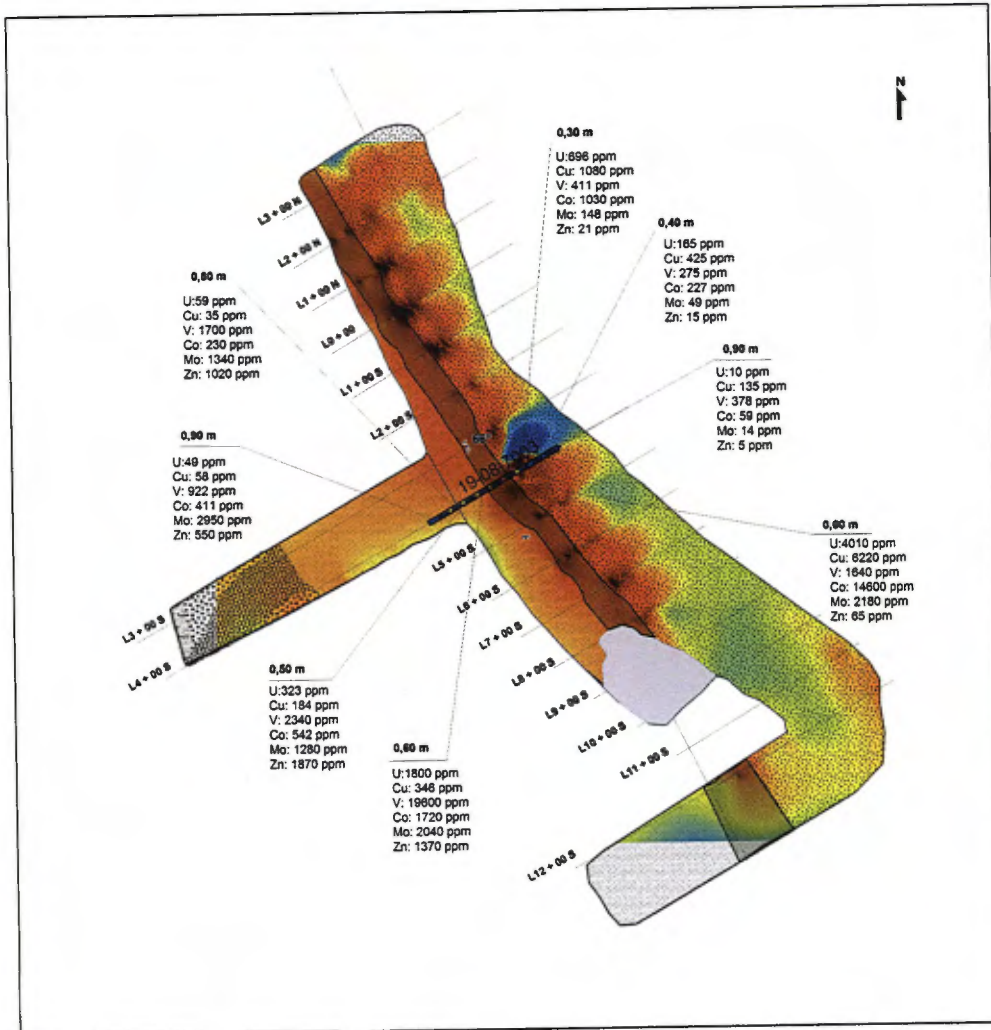
Figure 16 : Plan-compteur indice Ferme-Nord avec localisation des rainures (cf localisation figure 15)

Figure 17 : Géologie et structure Ferme-Nord (Grille 1) avec grille spectrométrique (cf localisation figure 15)





Géologie et structure - Indice Ferme Nord - grille spectrométrique 2



Géologie

- Gneiss à matrice diabasique
- Gneiss schistose à texture schistose
- Gneiss quartzitique coarse

- Gneiss quartzitique gris à fer, souvent micacé localement schistose
- Gneiss quartzitique fortement folié(e) et parfois riche en micaux carbonates
- Gneiss quartzitique schistose injecté de veines de quartz localement coarse
- Schistose (zone radioactive)

Eau

URANOR

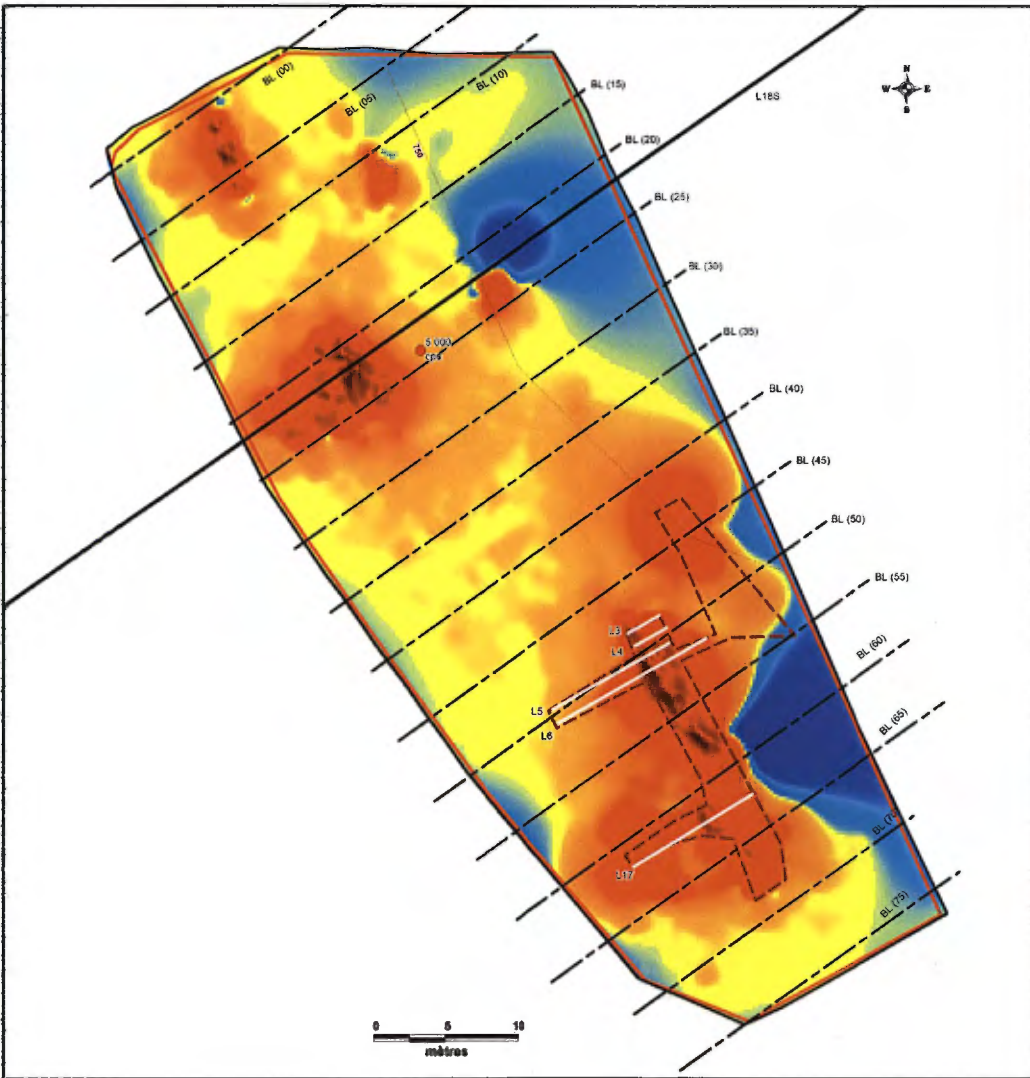
AREVA QUEBEC INC.

Spectrométrie au sol








Figure 18 : Géologie et structure Ferme-Nord (Grille 2) avec grille spectrométrique (cf localisation figure 15)





**Plan compteur de l'indice Racine  
Projet Minowean, été 2008**

**Légende**

-  Delimitation du plan compteur
-  Lignes du plan compteur
-  Affleurements
-  Anomalies radiométriques au sol  
(Localisées au GPS avec une précision > 5 mètres)
-  Courbes topographiques  
Selon la BNDT +/- 10 mètres

Niveau radiométriques dans la zone du plan compteur (en cps)  
(positionné au gps de précision < 0.5 m)



Figure 19 : Plan-compteur indice Racine

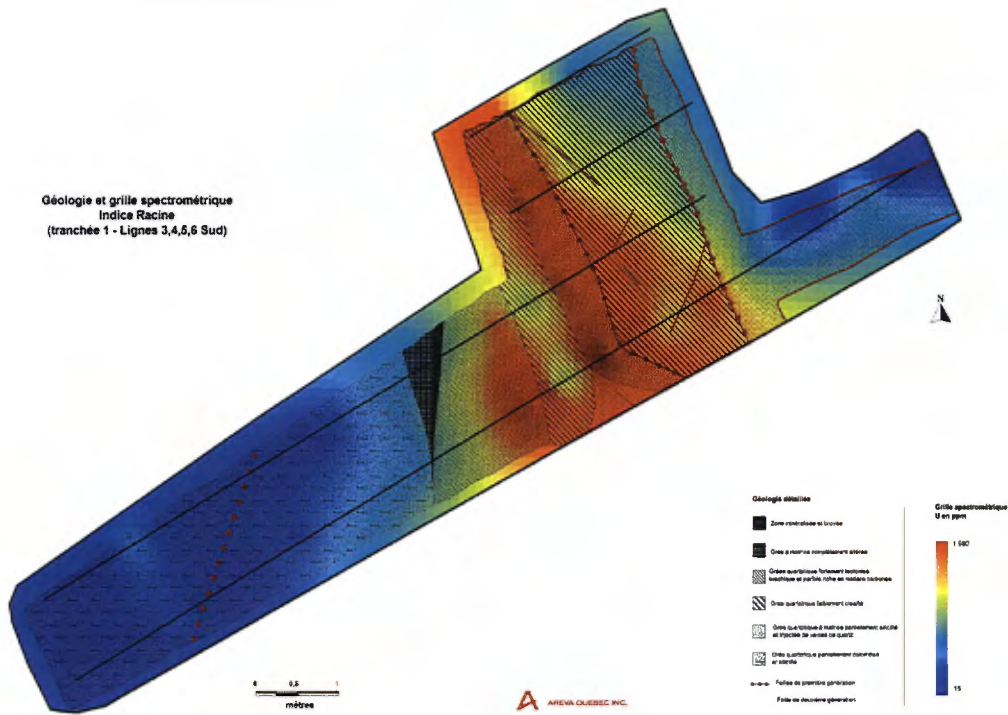


Figure 20 : Géologie et structure Racine (L3 à L6 Sud) avec grille spectrométrique (cf localisation figure 18)

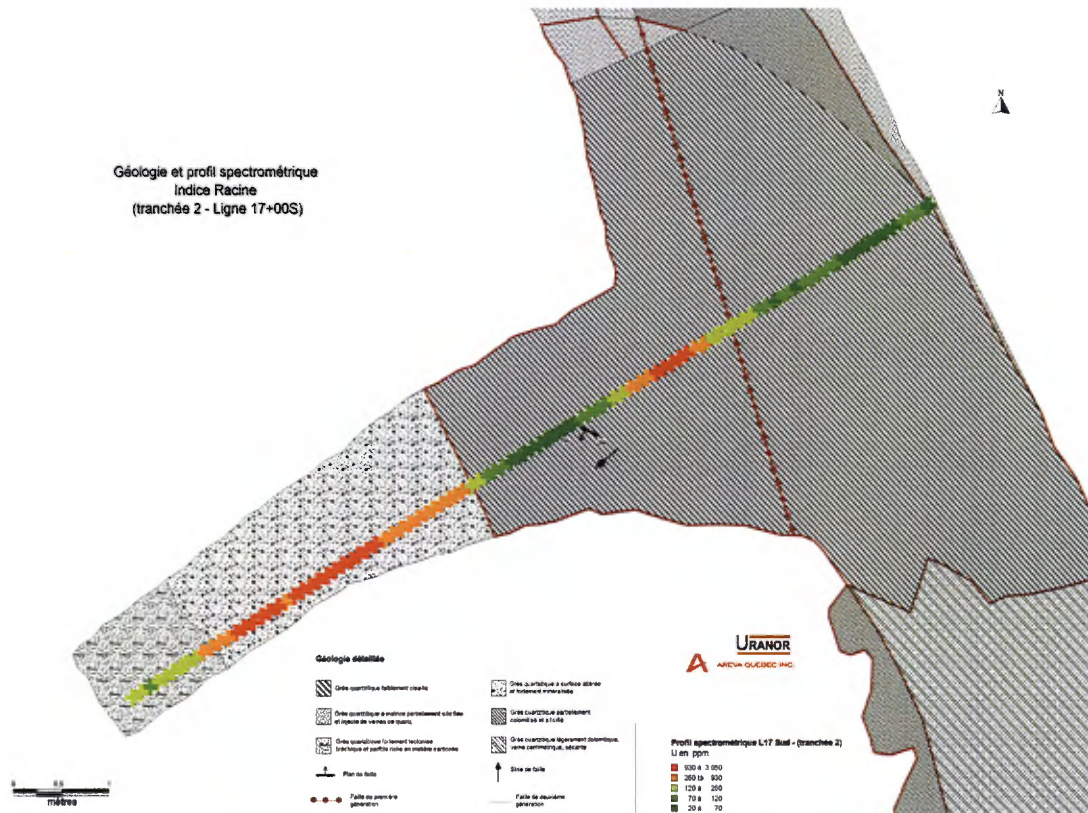


Figure 21 : Géologie et structure Racine (L17 Sud) avec profile spectrométrique (cf localisation figure 18)

### 11.1 Indice Racine (cf Figure 3)

L'indice Racine (Figure 3) constitue une minéralisation de pechblende disséminée dans un grès quartzeux faillé. Il s'agit de l'indice ayant fourni les meilleures teneurs en uranium sur échantillons choisis. En effet, un échantillon a révélé une teneur de 7,7% U et des teneurs avoisinant les 2% Cu (Lafontaine, 1984). L'affleurement minéralisé présente un grès quartzeux pur à composition et silicification relativement uniforme. Seul quelques passées localisées à proximité d'une veine de puissance décimétrique de dolomie brunâtre sont faiblement altérés par carbonatation. La partie NE de la tranchée est marquée par la présence d'un grès à taches blanchies. Cette texture est encore aujourd'hui de nature inconnue et n'a aucun effet sur la propagation de la minéralisation, ce grès étant stérile. Aucun prolongement de la minéralisation n'a été découvert de part et d'autre de la tranchée.

Les variations de faciès observées sur les lithologies qu'on retrouve à Racine sont le résultat des déformations auxquelles ces roches ont été soumises. En effet, on retrouve plusieurs faciès distincts, soit : des brèches pseudo-consolidées, des niveaux cisailés ou des niveaux injectés et fortement silicifiés. Les failles observées sont soit à jeu cisailant, normal ou inverse. La principale faille de cisaillement (à composante latérale incertaine) et la veine de quartz déformée qui la remplit, sont assurément précoces. Cette faille est accompagnée d'une brèche quasi-métrique mais latéralement discontinue, procurant de bonnes valeurs scintillométriques (Figure 19) et spectrométriques (figures 20, 21, 22, 23 et 24). Les autres failles sont plus tardives, mais malgré leur jeu normal apparent, elles sont probablement toutes réellement inverses. Cela s'explique par le fait que ces failles sont contemporaines au basculement en polarité inverse des unités lors de la mise en place de la nappe volcanique. Les résultats du plan compteur montrent que ces failles ont eu peu d'impact sur la minéralisation. En contre partie, la troisième phase de déformation, exprimée par des fentes de tension et des fractures conjuguées, ont grandement contribuées à la redistribution de la minéralisation. Aucun nouvel apport d'uranium ne semble être survenu pendant la fracturation tardive de l'affleurement, mais seulement une diffusion de l'uranium préexistant.



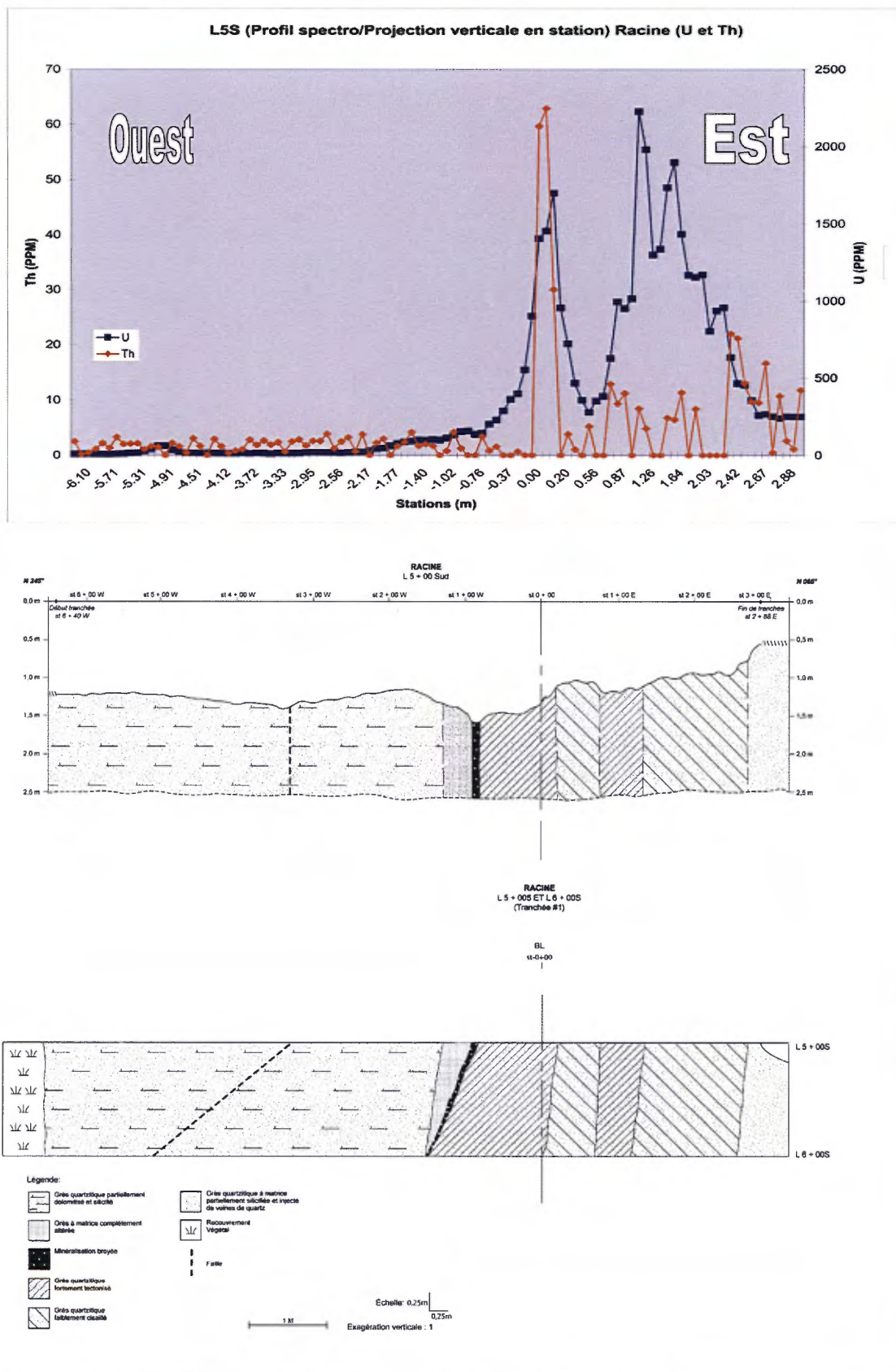


Figure 22 : Profil spectrométrique de la ligne L5 Sud de l'indice Racine

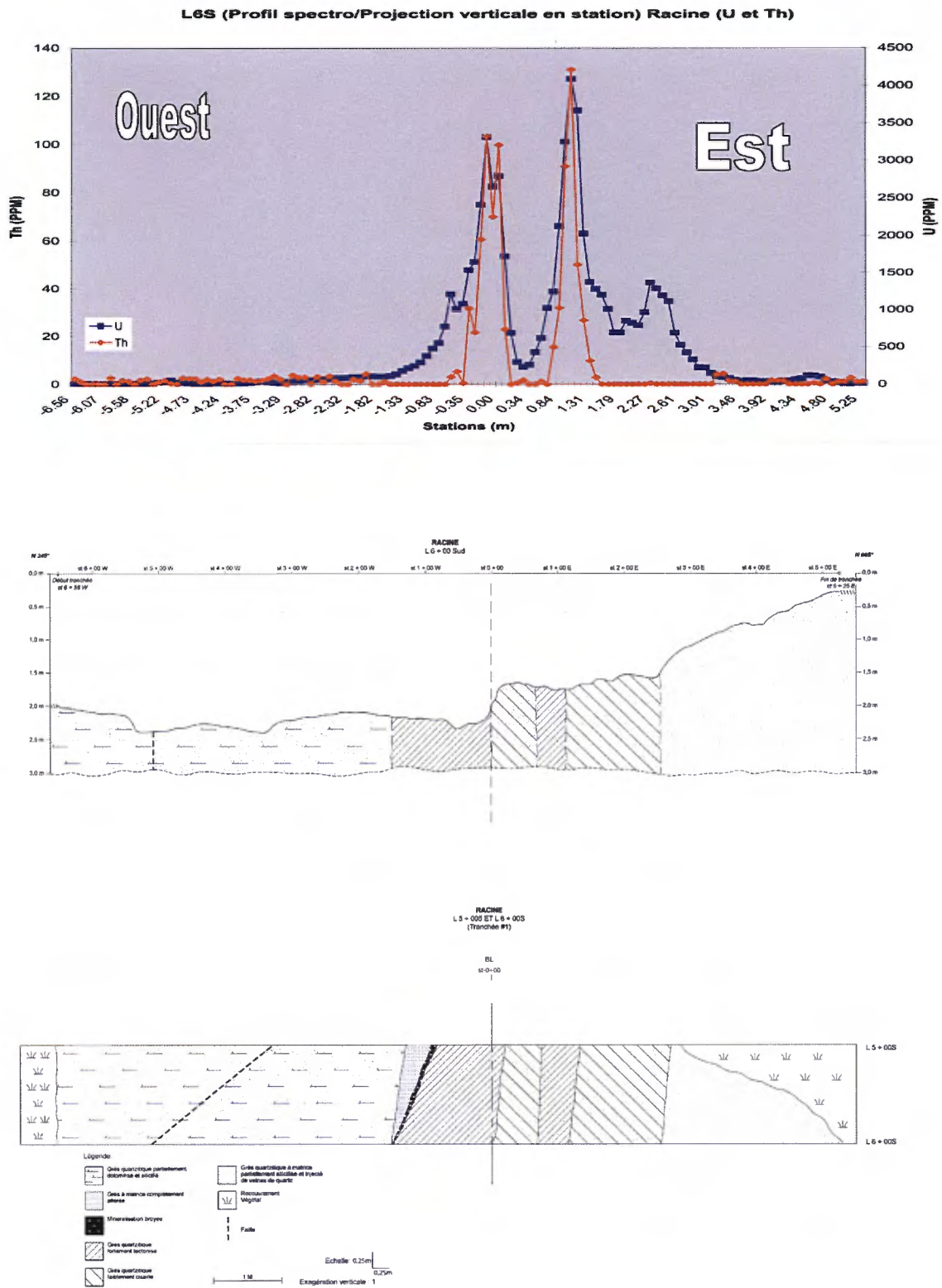


Figure 23 : Profil spectrométrique de la ligne L6 Sud de l'indice Racine

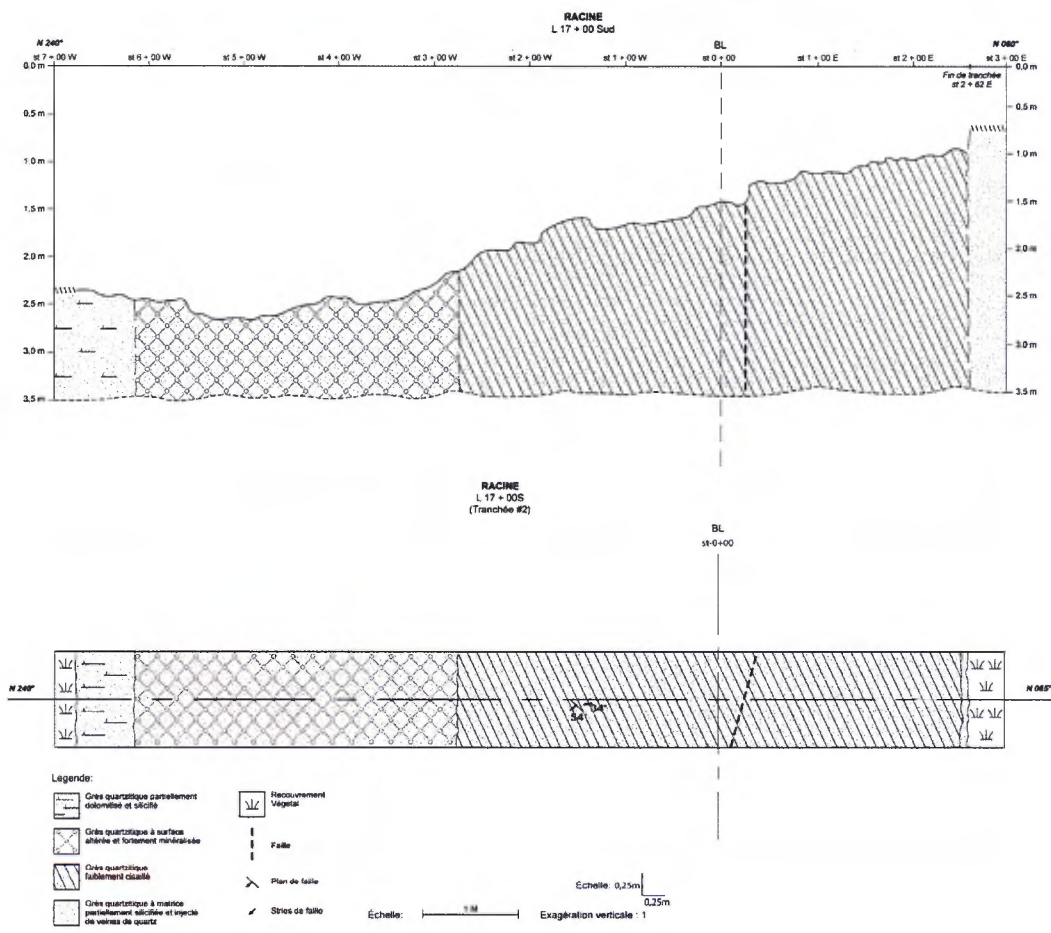
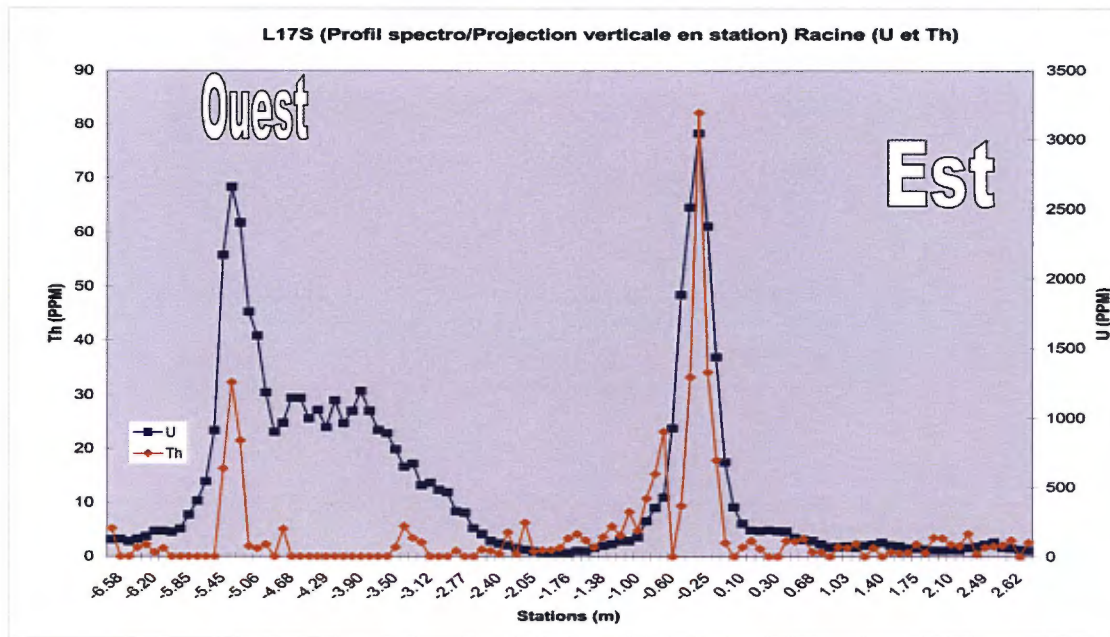


Figure 24 : Profil spectrométrique de la ligne L17 Sud de l'indice Racine



La minéralisation s'exprime par des produits d'altération jaunes uraniumifères tapissant les parois des micro-fractures. Les minéraux non altérés sont des oxydes sous forme de micro-sphéroïdes noirs et matriciels dans les grès. Au microscope (Figure 25), ces billes semblent visiblement être des pechblendes radiales à bordures dentelées, similaires à celles connues dans le bassin d'Athabasca (Geffroy et al., 1960). Ces roches minéralisées sont brillantes et très foncées, voire noires, avec un contenu certain en micas et ou matière carbonée. Les analyses chimiques ont révélées les teneurs notables de 1,1% Cu et 1,0% V (Areva Québec Inc. 2007, GM 64155). Le Vanadium est possiblement concentré dans les phases micacées (roscoellite?) alors que le cuivre se présente sous forme de chalcopyrite +/- covellite. Par ailleurs, la phase minéralisatrice en cuivre apparaît de manière précoce par rapport à l'uranium.

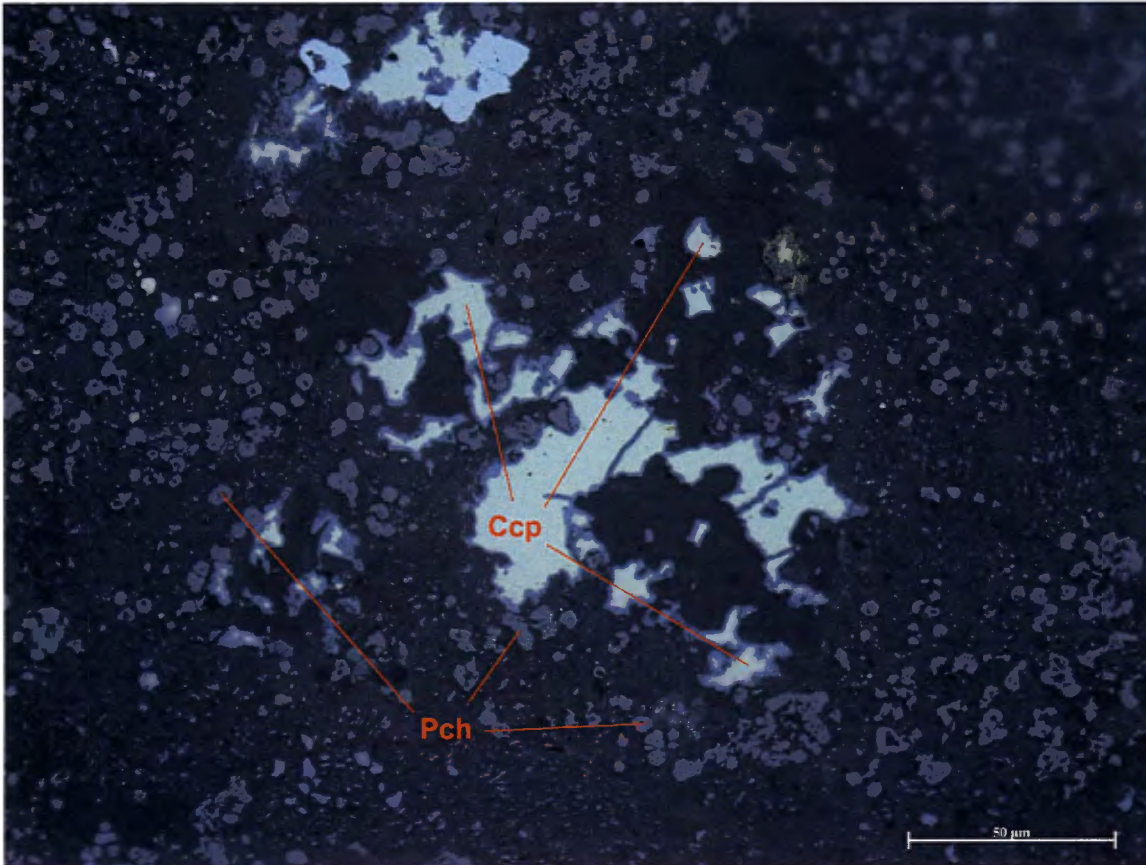


Figure 25 : Photographie d'une lame mince contenant de la minéralisation (Pechblende)

### 11.2 Indice Ferme Nord (figures 15, 16, 17 & 18)

L'indice Ferme Nord a été l'indice le plus travaillé par Eldorado dans les années 80. Quatre forages de faible profondeur (environ 70 mètres en moyenne) ont été réalisés, interceptant plusieurs niveaux minces uraniumifères toujours localisés à l'interface grès quartzeux et grès à matrice dolomitique. Le travail de décapage dirigé en 2007 a permis de mettre à nu l'ancienne tranchée réalisée par Eldorado. L'affleurement est exclusivement composé de grès quartzeux silicifié et injecté d'un stockwerk de quartz. Leur couleur gris profond et argentée, similaire à ceux de l'indice Racine, provient probablement du contenu en micas et en matière carbonée. En 2008, des travaux de décapage ont permis de voir le contact entre les grès micacés et le grès dolomitique qui est plus complexe que ce que nous nous attendions (Voir section 12.4 du présent document). Contrairement aux données de sondage, aucune roche carbonatée n'a été répertoriée sur le site de l'indice Ferme Nord.

Le site de Ferme Nord est marqué par une structure franche, sans ramification, d'une puissance maximale de 1 mètre, à texture schisteuse et localement cataclasée. Avec une direction de N330° à l'extrémité NW de la tranchée, cette faille concordante à la stratification est divisée en quatre segments à vergence variable à l'échelle du décapage. Le couvert végétal ne permet pas de connaître la raison des changements d'attitude, mais il est possible que le secteur soit découpé par un réseau de failles sécantes et dextres d'orientation

N060°-N070°, comme le témoigne l'abondance de ces structures tardives dans la partie nord du secteur anomal de Minowean. Les mesures systématiques effectuées tout au long de la structure principale exposent une cinématique à dominante normale avec une composante senestre.

La zone schisteuse (Photos 11 & 12) abrite sporadiquement les produits jaunes uranifères, alors que le mur de faille est localement riche en matière carbonée. Ces horizons correspondent souvent aux sites les plus uranifères (jusqu'à 4,61% U) de l'affleurement et titrent les valeurs les plus intéressantes en métaux du secteur de Minowean tels que : 5,26% Cu, 5,71% Co, 2,48% Mo et 1,19% Ni (Areva Québec Inc. 2007, GM 64155). Le vanadium ne se démarquait pas dans les analyses des échantillons de 2007, mais dans les échantillons de rainurage de 2008, le vanadium titrait jusqu'à 7,52% (section 12.5), des résultats qui vont dans le même sens que ceux obtenus à Racine. Aucune évidence de pechblende n'a été observée sur échantillon macroscopique. En contre partie, les lames minces minéralisées présentent les mêmes sphéroïdes de pechblende, comme ceux vus à Racine. L'uranium est intimement associé à des plages de matière carbonée immature de couleur brune à kaki, variant selon leur contenu en carbone et en soufre.

### 11.3 Indice Ferme Sud

Si on les compare aux indices Racine et Ferme Nord, les minéralisations d'uranium connues à Ferme Sud sont de moindre envergure. Il n'en est toutefois pas le cas de la teneur du cuivre et d'autres métaux de base. Le cadre géologique présente également un cortège différent de roches. En effet, la minéralisation, toujours à contrôle structural, se trouve au sein d'une dolomie massive. Cette dernière est en contact normal N-S avec un grès quartzeux, localement à matrice dolomitique. Le grès quartzeux présente la même texture à taches blanchies, similaire à celle observée dans la portion stérile de la tranchée de l'indice Racine. La dolomie contient des encroûtements colloformes et géodiques de silice et des fragments de calcédoine.

La minéralisation à Racine et Ferme Nord est contrôlée par une puissante structure principale concordante à la stratification. A Ferme Sud, le signal scintillométrique maximal est essentiellement inclut dans des fractures N150°, parallèles à la schistosité régionale. Bien que le contact dolomie/grès montre des signes de mouvement certain, l'uranium ne s'y concentre presque jamais. De petites zones décimétriques le long du contact lithologique, à la jonction des petites fractures minéralisées, présentent des résultats positifs. Ces minces niveaux concordants sont remplis de silice gris sombre et d'aspect chertoux avec des produits jaunes et uranifères. C'est possiblement le seul endroit sur la propriété où l'uranium coexiste avec la silice au sein d'une veine. Tout comme à Ferme Nord, l'indice Ferme Sud est découpé par des failles dextres et tardives d'orientation N040°, surtout dans sa partie nord. Le prolongement de la minéralisation a été découvert au sud et se poursuit de manière discontinue sur près d'un kilomètre, en alignement avec l'indice Racine.

Les produits jaunes abondent beaucoup moins à Ferme Sud qu'ailleurs sur les principaux sites minéralisés de la propriété. Les récentes analyses chimiques confirment la présence d'uranium dans les échantillons. Il est possible que la roche contienne des oxydes d'uranium primaires et non altérés, et les teneurs mesurées étaient de l'ordre de 1,89% U. Les micro-brèches dolomitiques sont composées d'un ciment noir très sulfuré. Ces roches renferment de très bonnes teneurs en métaux tels que : 7,90% Cu et 1,14% Pb. Les autres métaux et le vanadium ne se démarquent pas par rapport aux autres indices.

### 11.4 Minéralisations épigénétiques et autres

Cette catégorie regroupe toutes les minéralisations exclusivement uranifères associées à des failles franches et discrètes. Leur chronologie relative a été interprétée comme étant postérieure aux minéralisations principales. Il ne s'agit ici que d'une suggestion, car c'est leur caractère génétique qui permet le mieux de les regrouper ainsi. Ces structures minéralisées sont pour la plupart concordantes avec la stratification ou la schistosité (ex : Damoclès, Falaise, Bébé et Falaise Nord), à l'interface dolomie/grès dolomitique, alors que quelques rares minéralisations sont associées à des failles sécantes et de troisième ordre (ex : Ti-Poil). (Figure 3) L'indice Ti-Poil est constitué de boues uranifères et très oxydées, colmatées dans la salbande d'une veine à quartz-calcite polyphasée, injectée dans une faille normale N070°.

Les segments de failles minéralisées concordantes sont possiblement raccordables les uns aux autres. Ils contiennent une minéralisation d'uranium de faible puissance, mais relativement continue. L'indice Damoclès se personifie par son contenu important en marcasite et sa position dans le mur de l'immense



brèche hydraulique à méga-blocs de grès dolomitique. Il ne semble y avoir aucune correspondance entre ces brèches et l'événement minéralisateur à Damoclès. Les indices Bébé et Falaise constituent probablement le prolongement de la structure de Damoclès. Le style de minéralisation est identique, dans la même position structurale et stratigraphique, mais possèdent par contre un contenu plus appréciable en matière carbonée et matériel oxydé.

L'indice Falaise Nord se découpe en deux segments faillés et parallèles. Il a été suggéré qu'il s'agit de deux failles chevauchantes, mais il est encore aujourd'hui difficile de préciser la cinématique de ces structures. Le secteur étant particulièrement couvert d'une forêt dense, le bruit de fond scintillométrique demeure assez élevé dans tout le secteur au sud de l'indice Falaise Nord. Les failles semblent encore une fois séparer les domaines dolomitiques des grès dolomitiques. La minéralisation semble confinée dans les fractures pluri-centimétriques, renfermant de la gouge de matériel oxydé ou parfois de la matière carbonée. Le contact du grès dolomitique est étrangement marqué par une dissolution souvent complète de sa matrice carbonatée. Il s'agit d'une zone d'intérêt exigeant des moyens et des coûts d'exploration plus élevés.

Parmi les faits saillants retenus sur des échantillons ponctuels sur affleurements ou blocs, on dénombre au moins une dizaine avec des valeurs avoisinant ou étant supérieures à 1,0% U. Aussi, ces échantillons contiennent respectivement des teneurs appréciables en plusieurs métaux (Areva Québec Inc. 2007, GM 64155). Les résultats d'analyse des rainures de Ferme Nord en 2008 permettent également d'homogénéiser les indices minéralisés à l'est du lac Minowean, c-à-d, on constate que le cortège d'éléments associés à l'uranium (Cu, V, Co, Mo et Zn) se retrouve sur tous les indices minéralisés.

### 11.5 Train de blocs minéralisés

Un train de blocs minéralisés a été découvert par Eldorado à l'est de l'indice Ferme Nord. Les travaux 2007 ont permis de reconnaître cette zone tout en inventoriant de nouveaux blocs anomaux. Il s'agit de blocs anguleux de grès dolomitique relativement homogènes et marqués par l'omniprésence de lits obliques. La minéralisation est très discrète et se limite à des micro-fractures concordantes localement à ces mêmes lits obliques. La provenance de ces blocs demeure incertaine. Ils sont pour la plupart supérieurs à 10 m<sup>3</sup> et ne reflètent aucunement la composition très quartzreuse de l'assise gréseuse. L'axe du train de bloc est d'environ N190°, correspondant à la direction de derniers mouvements glaciaires dans le secteur. La taille et l'angulosité des blocs suggèrent une source proximale des blocs.

## 12. EXPLORATION

Le plan des travaux d'exploration 2008 se subdivise en cinq principaux sous-objectifs. Le plus important des objectifs a été la recherche des extensions des indices connus par des travaux de géologie de détail, des plans-compteurs et de décapage. Le second était la découverte de nouvelles zones minéralisées sur toute la propriété à l'aide des relevés de géophysique aérienne. Le troisième consistait à compléter la couverture de l'échantillonnage géochimique de ruisseau faite par le ministère de façon à couvrir la propriété entière (Rapport Areva Québec déposé au MNRF le 3 juin 2009). Le quatrième consistait à une étude d'un maximum d'affleurements de la région dans le but d'affiner nos connaissances géologiques (Figure 26 et Tableau 7), structurales et stratigraphiques, et également préparer le terrain pour une future campagne de forage. Finalement, le dernier objectif était de procéder à des rainurages de l'indice de Ferme-Nord afin de donner un premier estimé du rapport teneur/puissance de cet indice minéralisé.

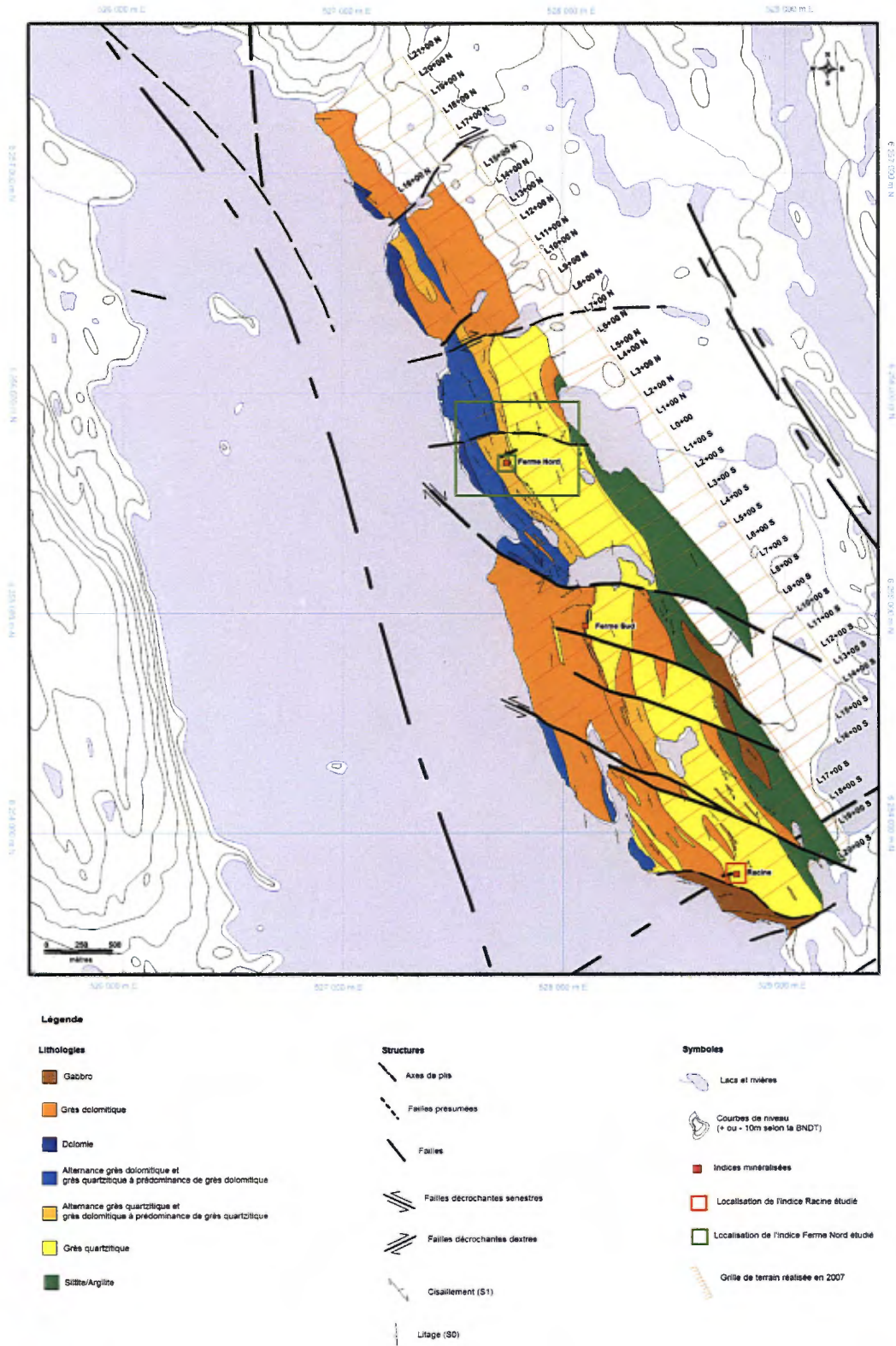


Figure 26 : Carte géologique indicielle de Minowean

### 12.1 Choix des cibles d'exploration

Un relevé de géophysique a été effectué par la compagnie Fugro au début de la campagne de l'été 2008 couvrant la totalité des 512 claims de la propriété de Minowean (Rapport Areva Québec Inc. Déposé au MRNF le 26 octobre 2009). Les données ont par la suite fait l'objet d'un premier traitement afin de déterminer des cibles anomaliques à vérifier (Figure 4 à 6, et Tableau 6). Par la suite, les traverses étaient planifiées pour vérifier un maximum de ces anomalies, découvrir de nouvelles zones minéralisées, et essayer de trouver des informations nous permettant de mieux comprendre le processus de mise en place de la minéralisation des indices de Minowean (structures transverses, etc.). Environ les 2/3 (117/176) de ces anomalies ont pu être visitées et vérifiées durant les travaux de cartographie (Figures 10 et 11 et Tableau 6). Ces traverses avaient non seulement comme but de réaliser une carte géologique et structurale de notre propriété aussi fidèle que possible de la réalité (Figure 12), mais également de détailler l'information géologique, structurale et stratigraphique dans la zone indicielle de Ferme Nord (Figures 26, 27, 28 et 29) et qui permette d'apporter de nouvelles informations afin de mieux comprendre la mise en place de la minéralisation à l'est du lac Minowean. De plus, à partir des observations de surfaces, tout porte à croire que les structures et lithologies sur les affleurements visités se prolongent en profondeur (au moins sur une soixantaine de mètres) comme on peut le voir sur les coupes géologiques réalisées sur les lignes L3+00N et L4+00N (Figures 28 & 29). La présence d'une structure cisailante présumée pourrait même décaler et dédoubler à certains endroits la zone minéralisée, rendant ces secteurs attrayants dans le cadre d'opérations d'exploitation futures.

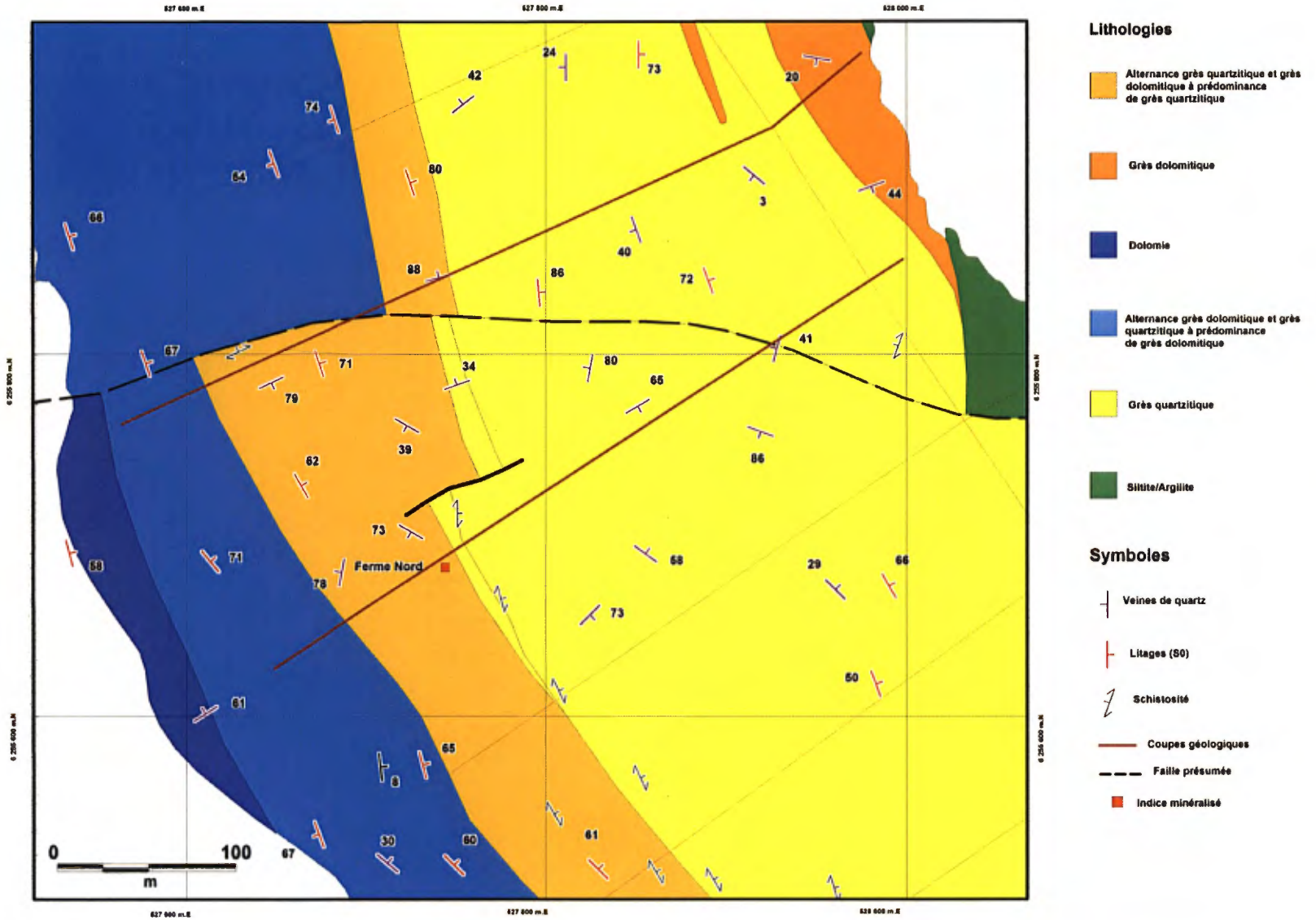


Figure 27 : Carte géologique détaillée de l'indice Ferme Nord

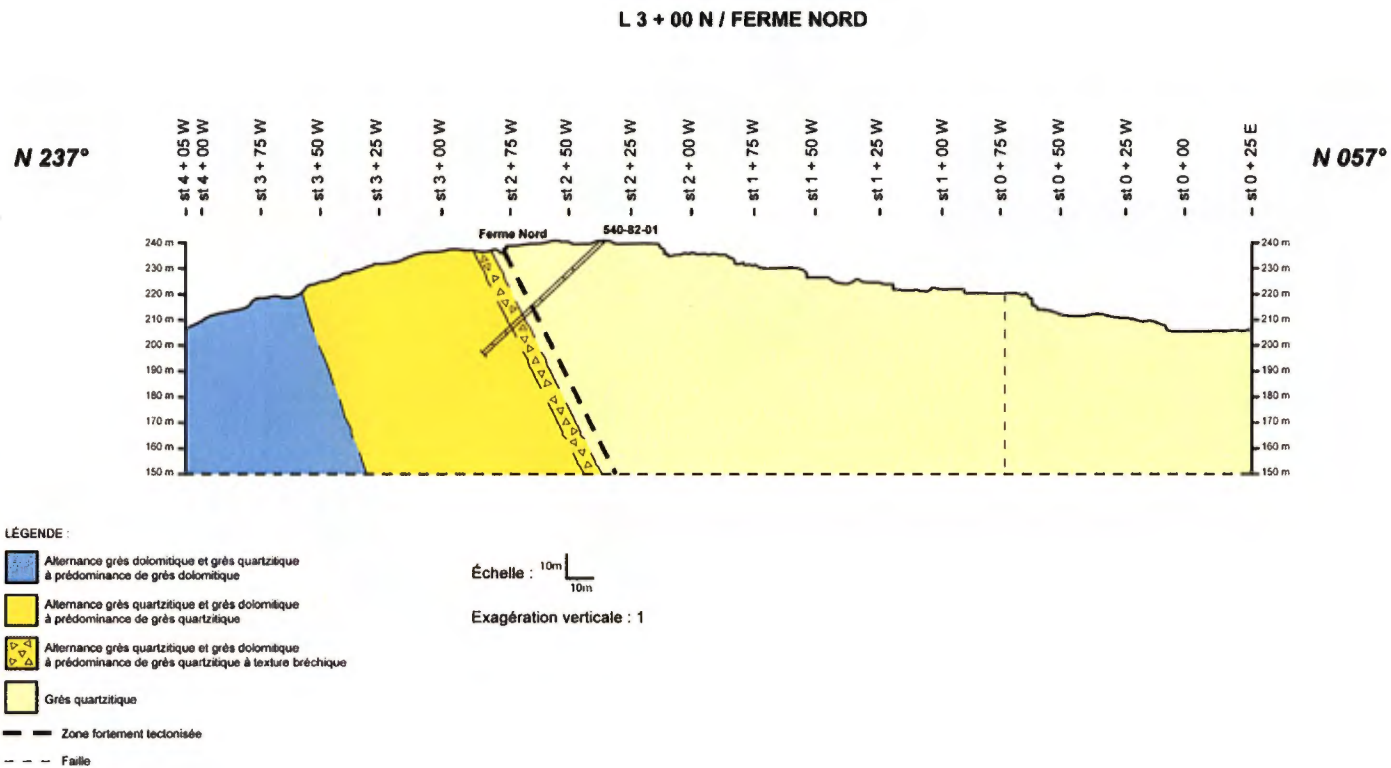
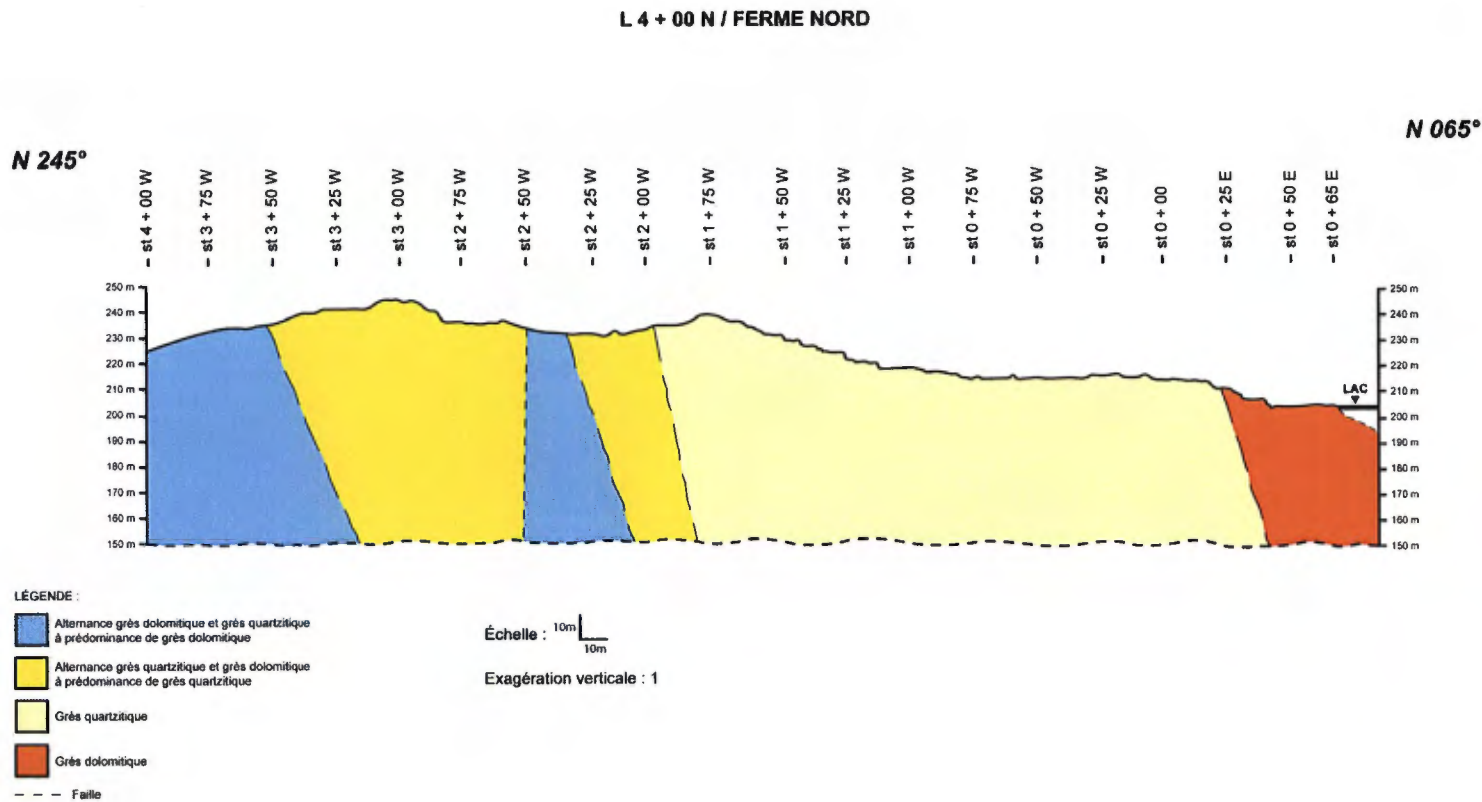


Figure 28 : Coupe géologique de la ligne L3+00N passant par l'indice Ferme Nord



Figure 29 : Coupe géologique de la ligne L4+00N au nord de l'indice Ferme Nord



Finalement, en vérifiant les cibles anomaliques géophysiques, nous avons constaté que la majorité d'entre-elles (96/117) correspondaient à des champs de blocs ou du recouvrement quaternaire (Photo 16). Nous avons donc décidé de réaliser une carte du quaternaire (Figure 30) de la propriété en utilisant les travaux de géophysique (Figures 4 et 6), ainsi que les photos aériennes et les levés de terrain afin d'établir un lien avec les anomalies de géophysique, et les dépôts quaternaires. On observe un recouvrement important de till et blocs au nord et au sud-est de la propriété dans lesquels on retrouve près de la moitié des indices géophysiques. On a également plusieurs indices localisés le long de la faille d'Argencourt à l'est de la propriété sous un recouvrement fluvio-glaciaire. Enfin, un recouvrement de nature indéterminé correspondant souvent à du couvert végétal se retrouve au centre de la propriété et où on retrouve quelques anomalies géophysiques.

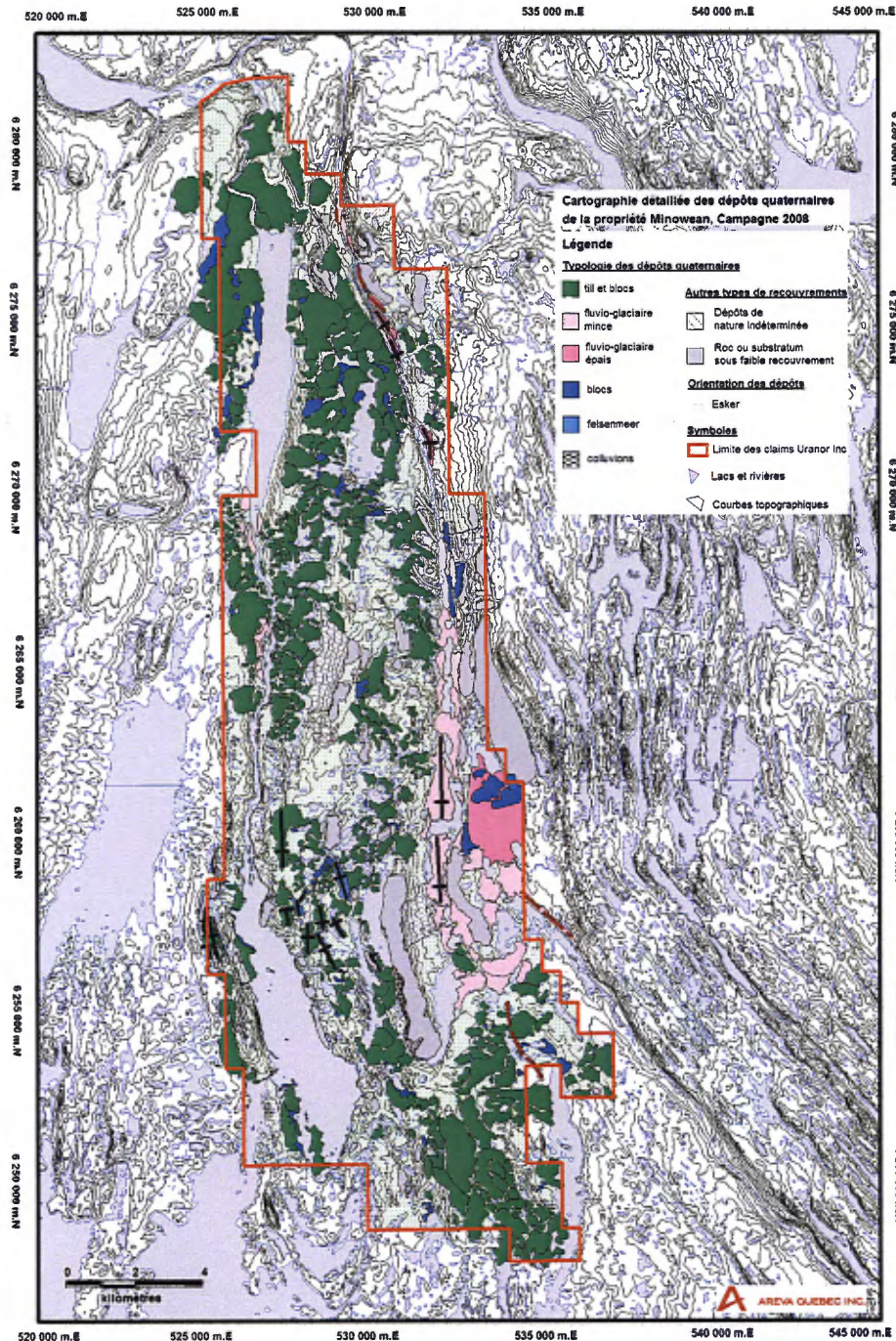


Figure 30 : Carte quaternaire de la propriété de Minowean

## 12.2 Choix des cibles d'échantillonnage de ruisseau

Les traverses d'échantillonnage de ruisseaux étaient planifiées surtout en fonction de couvrir le plus grand nombre de ruisseaux non-échantillonnés par le ministère (Figure 7), tout en respectant une maille d'environ 500m entre les stations d'échantillonnage. De plus, dans le cas où les ruisseaux à échantillonner se trouvaient à proximité d'anomalies géophysiques, de les vérifier par la même occasion. Les résultats de ces travaux ont été déposés au MRNF par Areva Québec en 2009 le 3 juin 2009.

## 12.3 Plans-compteurs et grilles spectrométriques

Un plan-compteur a été réalisé sur les indices de Ferme-Nord et de Racine (Figures 15 à 17). Une ligne de base a été localisée au GPS de précision (+/- 10cm), et les mesures ont été prises de part et d'autre, perpendiculairement à cette ligne. Les mesures ont été faites avec un SPPγ à la hauteur de la ceinture à une distance d'un mètre (au 10 cm lorsqu'on rencontrait de la roche affleurante), et les lignes étaient espacées d'un mètre les unes des autres. Il en résulte une signature très intéressante: Dans le cas de Ferme-Nord, on peut voir que la zone anormale suit la zone de grès fortement tectonisée déjà connue, et qu'une autre zone plus à l'ouest se retrouve au contact entre le grès micacé, et un grès dolomitisé et bréchifié (Section 12.4). De plus, on peut constater vers le nord est du plan-compteur, un autre alignement d'anomalies uranifères qui suggère un prolongement de la zone minéralisée, le décalage de ces anomalies étant probablement causé par une structure transverse (faille?). Du côté de Racine, encore ici, la zone anormale se retrouve dans une zone de cisaillement, mais du côté ouest, une autre zone se dessine au contact entre un grès altéré à la surface, et un grès partiellement silicifié et dolomitisé (Section 12.4). Dans les deux cas, ces nouvelles zones anormales demandent à être prospectées plus en détail. Deux grilles spectrométriques ont été réalisées sur Ferme Nord (Figures 18 & 19), mais en raison du manque de temps, seulement les deux tranchées de Racine ont fait l'objet de mesures spectrométriques (Figures 20 & 21). Ces mesures confirment celles obtenues par les plans-compteurs où les zones minéralisées sont confinées aux zones fortement tectonisées et altérées.

## 12.4 Décapages

Suite aux résultats obtenus par les plans compteurs, quatre nouvelles tranchées ont été réalisées, 2 sur Ferme Nord et 2 sur Racine (Photos 13 & 17). Des travaux de géologie de détail sur ces décapages ont permis de mettre en évidence sur Ferme Nord une zone de contact plus complexe que nous le pensions entre les grès quartzitiques et les grès dolomitiques de la formation d'Alder (Figure 33). On observe une zone de grès dolomitique à texture bréchique (brèche tectonique ou cisaillement entre grès dolomitique et quartzitique qui serait le résultat d'une phase de déformation?) à l'intérieur de laquelle on retrouve une zone minéralisée intéressante. D'autres travaux de géologie de détail ont été réalisés sur Racine, les tranchées nous ont permis d'observer un contact plus franc entre les grès quartzitiques, et les grès dolomitiques (Figures 22 à 24). On a également constaté une zone où le grès présente une altération très forte à la surface, et où on retrouve une zone anormale associée à ce grès altéré. Dans le cas de la tranchée des lignes 5 et 6 (figures 22 & 23), la matrice du grès est altérée, tandis que sur la ligne 17 (Figure 24), le grès semble avoir été bréchifié, puis altéré par la suite.

## 12.5 Rainurages

Les résultats des travaux de décapage nous ont permis de préparer et procéder à la réalisation de trois rainures sur l'indice de Ferme Nord (Figures 31 à 33, Photo 18 et Tableau 5). Ces rainures nous ont permis de faire un premier estimé du rapport teneur/puissance de la minéralisation de cet indice. Dans le cas de la première rainure (1908-7001, Figure 31), la minéralisation est surtout localisée dans la zone tectonisée. Les analyses chimiques titrent des concentrations de l'ordre de 4260 ppm sur 1,4mètre, dont 7920 ppm d'U sur 0,7 mètre. Les concentrations diminuent rapidement jusqu'à moins de 2 ppm dans les épontes, surtout du côté du grès silicifié (zone oxydée dans laquelle l'uranium est très mobile). Des résultats similaires ont été obtenus dans la seconde rainure (1908-7002, Figure 32) avec des teneurs allant jusqu'à 3030 ppm sur 2 mètres, dont 3400 ppm d'U sur 1,0 mètre dans la zone tectonisée jusqu'à aussi peu que 6 ppm dans le grès silicifié. Même chose pour la troisième rainure (1908-7003, Figure 33) avec des concentrations allant jusqu'à 2905 ppm sur 1,2 m, dont 4010 ppm d'U sur 0,6 mètre. Par contre, la minéralisation persiste un peu plus du côté du grès micacé (zone réductrice où l'uranium précipite, donc moins mobile) avec des concentrations de 323 ppm sur 0,5 mètre. Du côté du grès silicifié, cette concentration descend encore une



fois rapidement à 10 ppm. Dans la majorité des cas, les anomalies en uranium sont accompagnées par une élévation des concentrations en Mo, Cu, Co, Zn et V associés à celle de l'uranium.

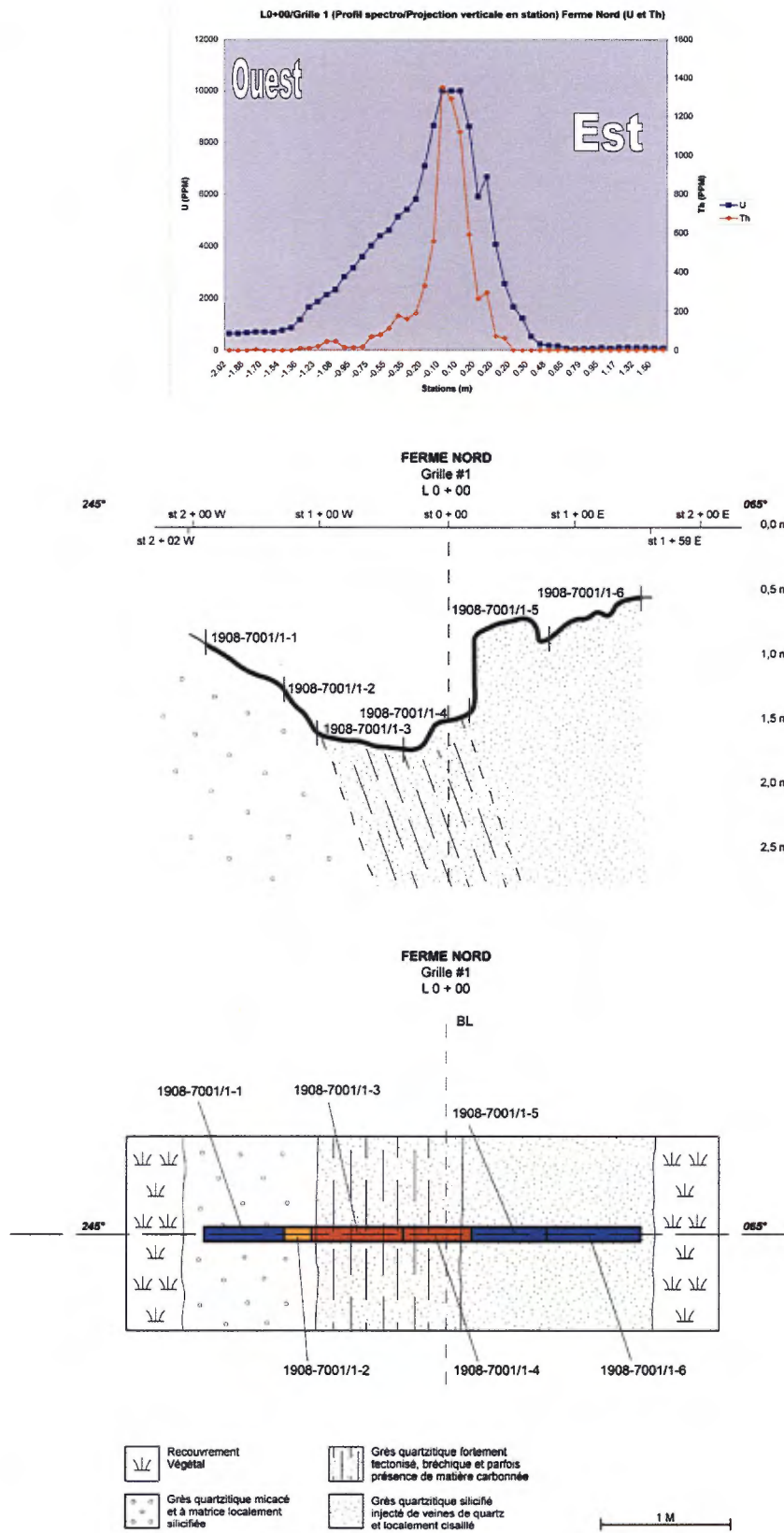


Figure 31 : Schéma et coupe géologique, ainsi que profil spectrométrique de la rainure 1908-7001

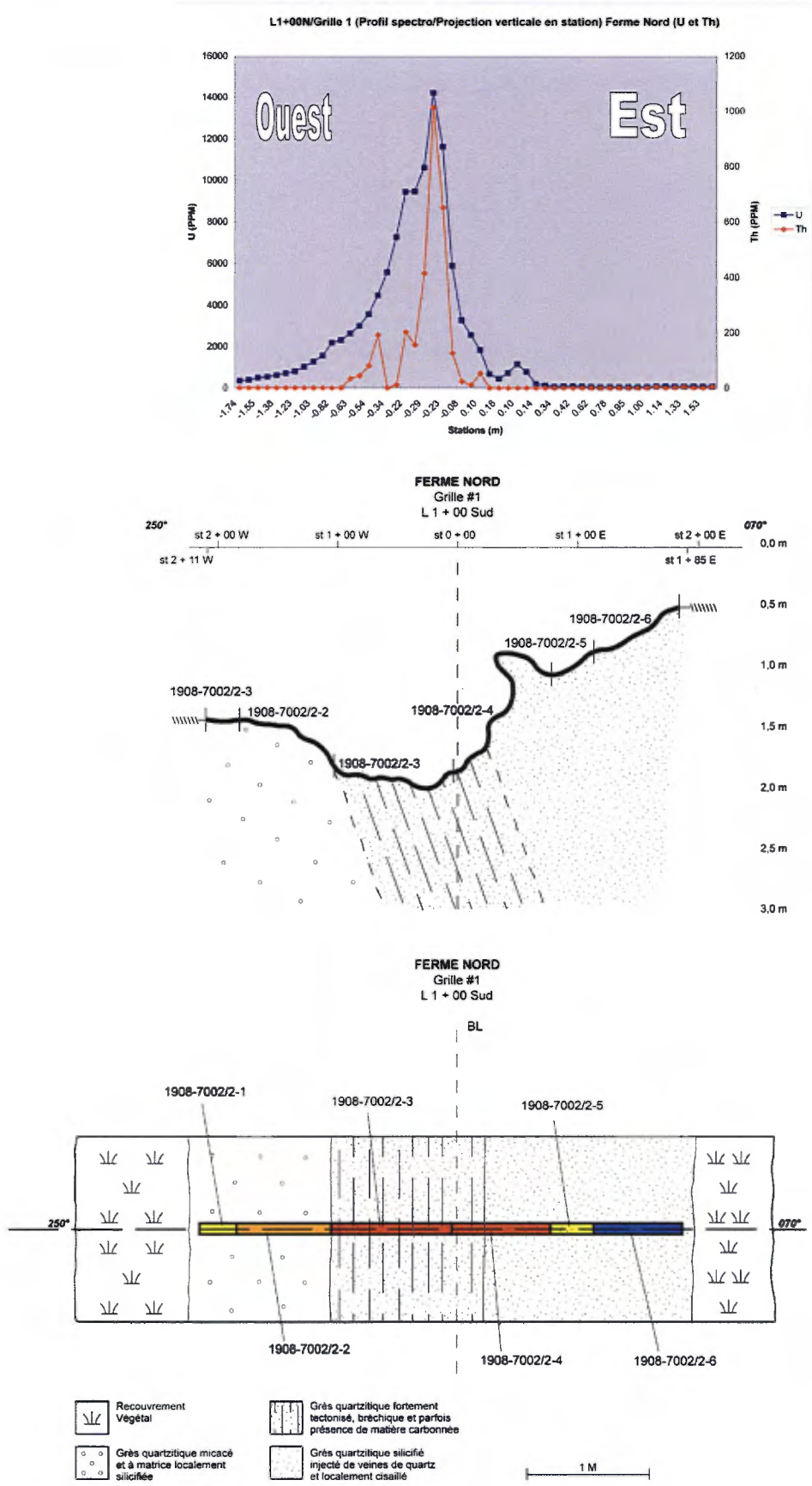


Figure 32 : Schéma et coupe géologique, ainsi que profil spectrométrique de la rainure 1908-7002



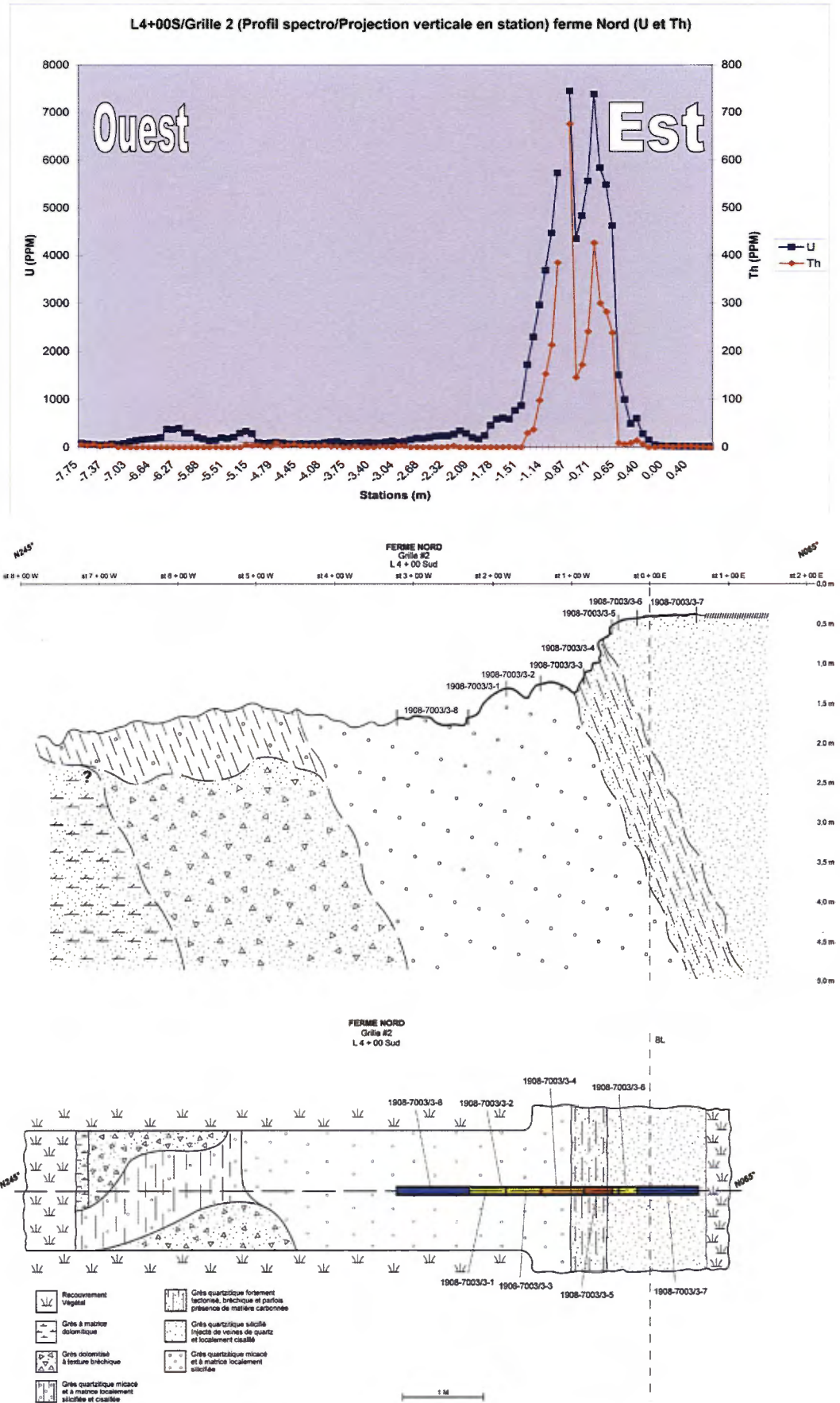


Figure 33 : Schéma et coupe géologique, ainsi que profil spectrométrique de la rainure 1908-7003

### 13. FORAGES

Ce chapitre ne s'applique pas aux travaux réalisés sur la propriété Minowean en 2008.

### 14. MÉTHODES D'ÉCHANTILLONNAGE ET APPROCHE

Sur le terrain, les échantillons ont été prélevés à l'aide d'un marteau ou d'une scie à roche. Il nous a malheureusement été impossible d'échantillonner certains affleurements anomaux en raison de leur mauvaise qualité d'exposition. Les échantillons ont été emballés individuellement sur le site même de prélèvement et documenté (Tableau 4).

L'échantillonnage sur les tranchées a été planifié selon des rainurages. La méthode consistait à découper dans un premier temps trois traits de scie dans la section la plus minéralisée, et de 1,5 à 2m de chaque côté (épontes). Par la suite, les échantillons étaient découpés par section à l'aide d'un marteau et un ciseau à roche, puis mis dans des sacs en plastiques et identifiés par le numéro de la rainure, et une note AN (pour analyse) et TE (pour témoin) sur le sac. Les sacs étaient ramenés au camp à la fin de la journée pour les préparer à l'envoi à notre entrepôt de Joliette, et les documenter (Tableau 4).

### 15. PRÉPARATION DES ÉCHANTILLONS, ANALYSES ET SÉCURITÉ

Les échantillons ont été sciés, nettoyés et emballés dans les installations propres et sécuritaires d'Areva Québec Inc. Les échantillons stériles ou faiblement radioactifs ont ensuite été répartis dans des contenants conventionnels de plastique blanc, puis scellés. Les échantillons radioactifs ont pour leur part été stockés dans des contenants de métal spécialement conçus pour l'expédition de ce type de marchandise. Le personnel certifié pour le transport des substances radioactives d'Areva Québec s'est assuré de la sécurité des contenants et de l'étiquetage selon les normes établies par Transports Canada – marchandises dangereuses (TMD) ([www.tc.gc.ca/tmd/qui.htm](http://www.tc.gc.ca/tmd/qui.htm)). Les 237 échantillons de ruisseau ont été ensachés dans des sacs en plastique, séchés, et mis dans des contenants blancs. Ces échantillons ont été envoyés pour analyses par Activation Laboratories Ltd (<http://www.actlabsint.com>), 1336 Sandhill Drive, Ancaster, Ontario L9G 4V5, Tel : (905) 648-9611, Fax : (905) 648-9613, Courriel : [ancaster@actlabsint.com](mailto:ancaster@actlabsint.com). Le personnel qualifié de ces établissements assure la qualité des analyses et la propreté de l'équipement utilisé. La gestion des échantillons et la qualité des analyses sont ensuite assurées par l'application des normes relatives à leur accréditation ISO 9001:2000. La méthode choisie inclut la préparation (nettoyage et pulvérisation) et l'analyse en quatre tests différents de roche totale (spectromètre d'émission-ICP) et des éléments traces (spectromètre de masse-ICP) des échantillons. La limite maximale de mesure pour l'uranium est de 10000 ppm U. Pour les échantillons de ruisseau, la méthode choisie est l'INAA (Instrumental Neutron Activation Analysis). 20 échantillons radioactifs ont été analysés au SRC Geoanalytical Laboratories au 125 – 15 Innovation Blvd., Saskatoon, Saskatchewan, S7N 2X8, Tel : (306) 933-8118, Fax : (306) 933-5656, Courriel : [geolab@src.sk.ca](mailto:geolab@src.sk.ca). Les méthodes d'analyse choisies étaient par ICP-MS à digestion à la fois partielle et totale, et par analyse totale pour certains échantillons. L'analyse totale a été effectuée pour l'acquisition de la concentration en SiO<sub>2</sub> et la perte au feu.

### 16. VÉRIFICATION DES DONNÉES

La qualité des données géologiques et de scintillométrie au sol a en tout temps été assurée par une personne qualifiée et membre en règle de l'Ordre de géologues du Québec (OGQ). Les plus fortes anomalies ont été revisitées à une seconde reprise pour échantillonnage, puis validées. Les échantillons envoyés pour analyse chimique ont donné les résultats escomptés. Un rapport de contrôle de qualité accompagnait les analyses effectuées, et les méthodes de calibration et contrôle effectuées par le laboratoire.

### 17. PROPRIÉTÉS ADJACENTES

La montée du cours de l'uranium et des autres métaux a motivé de nombreuses compagnies à prendre position dans le Grand-Nord du Québec, spécialement dans la Fosse du Labrador. La plupart des indices d'uranium travaillés dans les années 1970 ont été jalonnés il y a plus de deux ans. Les propriétés contigües au bloc principal de la propriété Minowean sont pour la majorité des prospects en première phase d'exploration (Figure 2). La grande propriété de Waseco au SE du lac Minowean renferme quelques indices d'uranium. Uramin était autrefois l'opérateur sur cette propriété. Depuis le rachat d'Uramin par

Areva en 2007, c'est cette dernière qui en assure désormais les gouvernes (voir section 3 du rapport du Lac Pons déposé par Areva Québec au MRNF 23 novembre 2009).

## 18. TESTS MÉTALLURGIQUES

Ce chapitre ne s'applique pas aux travaux réalisés sur la propriété Minowean en 2008.

## 19. RESSOURCES MINÉRALES ET ESTIMATION DES RESSOURCES

Ce chapitre ne s'applique pas aux travaux réalisés sur la propriété Minowean en 2008.

## 20. AUTRE DONNÉE ET INFORMATION

Aucunes données autres que celles contenues dans ce rapport n'ont été recueillies durant la campagne de Minowean en 2008.

## 21. INTERPRÉTATION ET CONCLUSION

Les roches de la propriété Minowean appartiennent aux Groupes de Seward et de Pistolet, entités correspondant aux séquences fluviales et de plate-forme du premier des trois cycles volcano-sédimentaires de la Fosse du Labrador (2,17-2,14 Ga). L'empilement est constitué, de la base au sommet, d'arkoses et de conglomérats rouges (Formations de Chakonipau et Du Portage), surmontés par des siltites grises et rares dolomies (Formation de Lace Lake), puis de puissants grès quartzeux ou dolomitiques et de dolomies (Formation d'Alder). Les rives du lac Minowean et spécialement les hauts topographiques situés à l'est sont hôtes de roches basaltiques (Formation de Bacchus) et/ou gabbroïques (Groupe de Montagnais) et de sédiments argileux noirs à corrélation stratigraphique incertaine (Formation d'Uvé). La relation entre les roches de plate-forme continentale, des séquences volcanogéniques de milieu marin plus profond et des brèches associées démontre l'existence probable d'une nappe de charriage dans la région. Cette hypothèse s'exprime aujourd'hui par une klippe de volcanites et de siltites graphiteuses occupant le cœur du lac Minowean, avec un prolongement annexant possiblement les roches mafiques connues dans le secteur du lac Patu, à plus de 30 km au nord.

Le cycle orogénique polyphasé trans-hudsonnien survenu il y a environ 1,84 Ga, à d'abord généré la mise en place d'une nappe de charriage (D1) impliquant les roches mafiques et les sédiments pélitiques associés sur les unités de plate-forme continentale selon un transport du NE vers le SW. Cette déformation s'exprime par une très forte schistosité, à faible pendage, limitée à ces roches (S1). Cet épisode a également occasionné un phénomène de bréchification sous la semelle (brèche tectonique) et la mise en place de brèches hydrauliques par l'injection de dolomie. La tectonique de nappe a de plus généré le développement de structures de chevauchements de second ordre au sein des roches de plate-forme, ayant possiblement contribué à un premier stade minéralisateur en U-Cu. La nappe est plissée en synforme et antiforme avec un léger déversement vers l'ouest des séquences du côté est du lac Minowean, soit à l'endroit des minéralisations en U-Cu. Il est possible que ce déversement ait été initialisé par l'imbrication d'une importante masse gabbroïque située à l'est des indices. La mise en évidence, lors des travaux de 2008, d'une zone de grès bréchique dolomitisée sur l'indice Ferme Nord peut avoir été causée par le glissement (zone de cisaillement) entre les grès quartzitiques et dolomitiques, mais dans l'état actuel des travaux, on ne peut pas préciser d'avantage. La seule chose qu'on peut rajouter c'est que la présence de minéralisation dans cette zone laisse à penser qu'elle soit contemporaine au synclinal de Minowean, et aux failles chevauchantes observées dans le secteur. Comme cette zone se présente sur le front oxydo-réduction, elle peut avoir favorisé la précipitation de l'uranium, et donc peut expliquer la présence d'uranium dans cette zone de cisaillement. Bien que le contact entre les grès quartzitiques et dolomitiques de Racine soit plus franc qu'à Ferme Nord (du moins à la surface), il est possible qu'une zone de cisaillement similaire se continue en profondeur, et que cette zone de contact franc ne soit que localisée. Par conséquent la présence de cette zone de cisaillement à Racine aurait pu jouer un rôle similaire à celle observée sur Ferme Nord. L'accommodement de la déformation s'exprime ici par une schistosité secondaire (S2), NW-SE à NNW-SSE, dans les séries gréseuses et dolomitiques. Cet épisode de déformation s'accompagne d'une seconde mobilisation hydrothermale et d'une bréchification associée. On

y retrouve donc de l'uranium associé à ces failles et une remobilisation probable de celui préalablement piégé dans les brèches syn-D1. Une déformation cassante tardive conjuguée, N40 et N 100, affecte la région et renferme à l'occasion des minéralisations de moindre envergure. Les minéralisations uranifères semblent donc étroitement associées aux processus de mise en place d'une nappe constituée essentiellement de roches volcaniques, apparentées à celles situées entre la faille d'Argencourt et la fenêtre de Mistamisk à l'est.

Les indices du secteur du lac Minowean sont connus depuis longtemps et comptent parmi les sites uranifères les plus prometteurs de la Fosse du Labrador. Longtemps classées dans le type filonien, les minéralisations semblent plutôt avoir leurs caractéristiques propres ne correspondant pas exactement aux filons uranifères typiques. L'effet de la déformation tectonique est sans aucun doute l'élément clé de la mise en place de cet uranium, mais l'hydrothermalisme et les assemblages minéralogiques qui en découlent sont tout à fait propres au style « Minowean ». Les indices Racine, Ferme Nord et Ferme Sud, les plus uranifères du secteur, sont tous étroitement associés à une structure précoce et basculée, mise en place dans des grès quartzeux variablement silicifiés et carbonatisés. En plus de la teneur historique de l'ordre de 7,6% sur échantillon choisi (Brouillette, 1989), ces trois indices titrent de nouvelles valeurs absolument non négligeables en uranium, en métaux de base et éléments traces tels que le cobalt, le cuivre, le plomb et le vanadium (Areva Québec Inc. 2007, GM 64155). Ces résultats ont d'ailleurs été corroborés par des analyses chimiques de rainurage de l'indice Ferme-Nord (Tableau 5). D'autres indices tardifs et de moindre importance présentent un intérêt certain, mais ils indiquent surtout l'existence d'un second événement minéralisateur et/ou de remobilisation de l'uranium préexistant.

Ayant très peu ou pas été métamorphisés, ces grès localisent des zones de cisaillement et de brèchification minéralisées, comportant souvent de la matière carbonée matricielle peu évoluée et parfois même de la calcédoine. Tous ces phénomènes de basse température sont présage de bonnes nouvelles. Même si la présence des méga-brèches évoque une histoire tectonique marquée, les conditions n'ont peut-être pas été assez élevées pour permettre la mobilisation complète de l'uranium. Finalement, l'étude structurale de 2008 montre des déformations antérieures qui sont venues compliquer la structure du synclinal (première phase de déformation), et ainsi créer des pièges lithostratigraphiques potentiellement intéressants. Avec le succès des résultats d'analyses, les rapports U/Th supérieurs à 100 et la diversité métallifère impliquée, tout indique un environnement uranifère fertile, des pièges structuraux potentiels et des roches hôtes réceptives.

## 22. RECOMMANDATIONS

La campagne 2008 a permis d'obtenir des résultats très encourageants avec les analyses chimiques des rainures qui titraient jusqu'à 4260 ppm d'U sur un intervalle de 1,4m (Rainure 1908-7001, Figure 17 & 31 et Tableau 5). Par conséquent, suite à ces résultats prometteurs, nous recommandons la poursuite des travaux de géologie de détail des indices minéralisés de façon à améliorer nos connaissances et notre compréhension de la mise en place de la minéralisation contenue dans les indices. Dans un second temps, procéder à une première campagne d'exploration de forage pour vérifier en profondeur la continuité de la minéralisation et des lithologies en surface, les altérations présentes et la présence de structures invisibles en surface qui pourraient avoir facilité la circulation des fluides minéralisateurs et créé des pièges structuraux susceptibles de contenir un plus grand volume de minéralisation. La recherche de structures synclines et anticlines est également une avenue intéressante à explorer en raison de la grande densité de fractures se retrouvant au cœur de ces structures, et ainsi, représenter des réservoirs pouvant contenir des quantités importante d'uranium. La présence de telles structures observées en surface nous incite à croire qu'elles peuvent aussi se retrouver en profondeur, et par conséquent, une partie des travaux devraient être axés dans la recherche de ces pièges structuraux.

## 23. RÉFÉRENCES



- Areva Québec Inc. 2008.** Compte-rendu des travaux d'échantillonnage de géochimie de ruisseaux propriété Minowean, Fosse du Labrador, Areva Québec pour Uranor, 46p., GM 64232.
- Areva Québec Inc. 2008.** Évaluation du potentiel uranifère propriété Lac Pons, Fosse du Labrador, Areva Québec pour Uranor, 52p., déposé le 23 novembre 2009, déposé au MRNF le 23 novembre 2009.
- Areva Québec Inc. 2008.** Géophysique hélicoptérée, Fosse du Labrador, Areva Québec pour Uranor, 81p., déposé le 23 novembre 2009, déposé au MRNF le 26 octobre 2009.
- Areva Québec Inc. 2007.** Compte-rendu des travaux d'exploration 2007 propriété Minowean, Fosse du Labrador, Areva Québec pour Uranor, 26p., GM 64155.
- Bilodeau, C., Goulet, N., et Flotté, N. 2007.** Contrôle structural des minéralisations uranifères, région du lac Minowean, Fosse du Labrador, Québec, Abstract 184B (Poster), GAC-MAC Québec.
- Boulanger, J. 1989.** Synthèse minéralogique d'indices uranifères – Lac Minowean, Fosse du Labrador. M. Sc. de la Faculté des Sciences et de Génie de l'Université de Laval, 74 p.
- Brouillette, P. 1989.** Géologie et métallogénie de la région des lacs Minowean et du Portage (Fosse du Labrador). MRNQ, ET 88-06, 74 p.
- Cant, J. W., Van Ingen, R. and Wilson, B. H. 1976.** An Evaluation of sedimentary copper potential, Aphebian Seward and Pistolet Sub Groups, Sabkha Project. MRNQ, GM 39047, 52 p.
- Clark, T. et Wares, R. 2004.** Synthèse lithotectonique et métallogénique de l'Orogène du Nouveau-Québec (Fosse du Labrador). MRNQ, MM 2004-01, 180 p.
- Dimroth, E. 1978.** Région de la Fosse du Labrador (59°30'-56°30'); Ministère des Richesses Naturelles du Québec, Direction Générale de la Recherche Géologique et Minérale, Rapport Géologique 193, 396 p.
- Dressler, B. 1979.** Région de la Fosse du Labrador (59°30'-57°15'), Ministère des Richesses Naturelles, rapport géologique 195, 117 p.
- Geffroy, J. et Chervet, J. 1960.** Les minerais uranifères français. Bibliothèque des sciences et techniques nucléaires, 322 pages.
- Lafontaine, M. 1984.** Projet 540 – Claims Minowean, prospection et cartographie – Campagne estivale 1983. Les ressources Eldor Limitee, Division de l'Exploration, Eldorado/Otelnuk. MRNQ, GM 41311, 19 p. + appendices.
- Le Gallais, C.J. and Lavoie, S. 1982** Basin evolution of the Lower Proterozoic Kaniapiskau Super-group, central Labrador Miogeosyncline (Trough), Québec. Bulletin of Canadian Petroleum Geology ; volume 30, p. 150-166.
- Mathieu, R. 1999.** Reconstitution des Paléocirculations Fluides et des Migrations Élémentaires dans l'Environnement des Réacteurs Nucléaires Naturels d'Oklo (Gabon) et des Argilites de Tournemire (France). Thèse de Doctorat, Institut National Polytechnique de Lorraine, 518 p.
- Wardle, R. J. and Bailey, D. G. 1981.** Early Proterozoic sequences in Labrador. In : Proterozoic Basins in Canada (F. H. A. Campbell, editor). Geological Survey of Canada; Study 81-10, p. 331-358.

## 24. DATE ET SIGNATURE

Je, soussigné, Gennady Ivanov, résidant et domicilié au Québec, ayant place d'affaire au 275A, boulevard Pierre Le Gardeur, Le Gardeur (Québec) Canada, J5Z 3A7, déclare solennellement :

Je suis membre en règle de l'Ordre des géologues du Québec, No.1130;

Je suis diplômé en exploration minérale à titre d'Ingénieur-géologue de l'Institut de la Prospection géologique de Moscou (URSS) en 1973;

J'ai 36 ans d'expérience professionnelle en exploration minérale, dont 21 spécifiquement en exploration pour l'uranium;

J'ai travaillé en exploration minérale dans plusieurs projets distincts en Russie, au Kazakhstan, en Algérie, au Laos, au Canada, particulièrement au Territoire du Nord-Ouest, en Saskatchewan et au Québec (Fosse du Labrador);

J'ai participé à des congrès, à des conférences, à des excursions géologiques et à des formations à l'interne comme à l'externe selon ce que mes employeurs successifs suggéraient et autorisaient;

J'ai lu la définition de « personne qualifiée » NI 43-101 et j'atteste qu'en vertu de ma formation et de mon expérience, ainsi que de mon affiliation à l'Ordre de géologues, je remplie les conditions pour être identifier comme « personne qualifiée » NI 43-101;

En ce qui concerne le projet Minowean, j'ai participé aux travaux de compilation, de préparation, d'évaluation et de prise des claims, aux travaux d'interprétation et de vérification des travaux de géophysiques, de supervision sur terrain, de contrôle, d'échantillonnage et de présentation du dit rapport;

Le dit rapport a été rédigé conjointement par Pascal Simard, supervisé par moi-même;

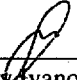
Au meilleur de ma connaissance, les données de ce dit rapport sous forme électronique ou en présentation sur cartes, figures, tableaux et rapport écrit décrivent les observations que j'ai personnellement fait ou qui ont été faites sous ma supervision, et sont exactes;

Au meilleur de ma connaissance, ce rapport contient les données scientifiques et techniques, ainsi que les opinions à titre de géologues, de géophysiciens ou d'expert qui sont émises de bonne foi et aucune ne vise à induire en erreur n'importe quelle personne prenant connaissance du dit rapport;

J'ai fait cette déclaration librement et en aucun cas, je n'ai subi quelque pression ou tentative ou incitation pour modifier erronément les données ou biaiser mon jugement de façon à induire en erreur n'importe quelle personne prenant connaissance du dit rapport.

Le 15 Janvier 2010

Signé à Le Gardeur

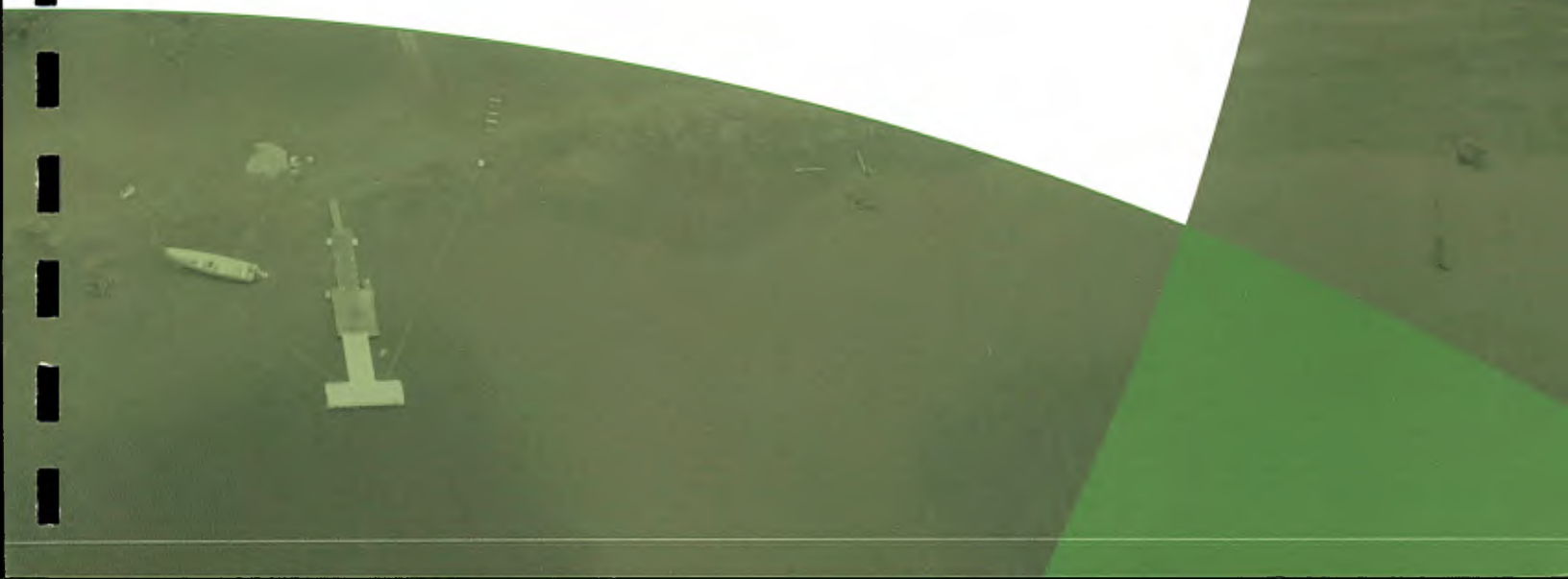
  
Gennady Ivanov, géologue, chef de projet  
Ordre des géologues du Québec, No.1130



# **ANNEXE I**

## PLANCHES

### PHOTOGRAPHIQUES





Planches photographiques

Géologie



Photo 1: Affleurement de gabro du côté de la faille d'Argencourt avec plan de faille



Photo2 : Veine de carbonate dans un gres quartzitique rive est du lac Minowéan.





Photo 3 : Contact entre gres quartzitique et siltite de la formation d'Alder



Photo 4 : Affleurement de siltite avec plans de schistosité et débit en frite à l'est de la rivière Swampy Bay.





Photo 5 : Lits a texture conglomératique sur un affleurement de grès dolomitique (claste de carbonate) à l'est du lac Minowéan.

#### Structure



Photo 6 : Stratification entrecroisée dans le grès dolomitique rive est du lac Minowéan.





Photo 7 : Veinules de quartz recoupant la schistosité dans un basalte du côté de la faille d'Argencourt



Photo 8 : Litage (ou stratification) dans un grès quartzitique.





Photo 9 : Veines de quartz orientées dans un affleurement de grès quartzitique à patine grise et rougeâtre (hématisée).



Photo 10 : Plan de faille dans un affleurement de grès quartzitique anormalique.



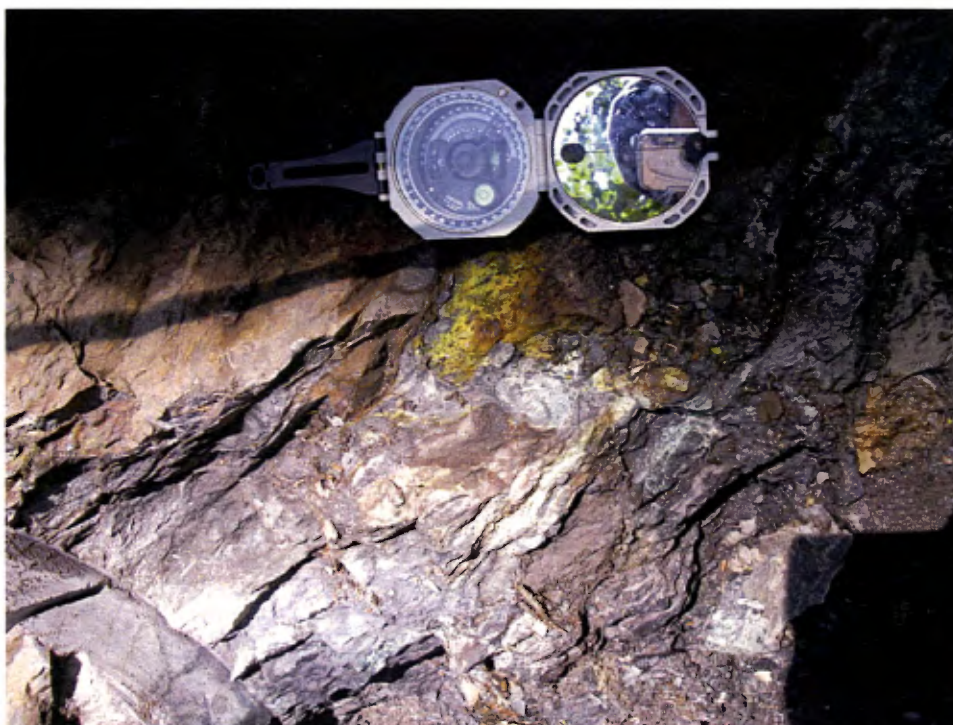


Photo 11 : Grès tectonisé et hematise sur presque toute sa surface, et contenant également des substances jaunes (Indice Ferme Nord)



Photo 12 : Minéralisation d'uranium suivant un plan de cisaillement sur l'indice Ferme Nord





Photo 13 : Contact entre le grès quartzitique micacé, le grès quartzitique cisailé et le grès dolomitisé et bréchifié (Ferme Nord)



Photo 14 : Contact entre une petite zone minéralisée broyée, et le grès a matrice complètement altérée (oxydée) sur l'indice Racine.





Photo 15 : Morceaux détachés de la partie de grès quartzitique fortement altérée (débit rappelant une texture conglomératique) sur l'indice Racine

#### Quaternaire



Photo16: Champ de boulders composees de grès quartzitique dans un terrain quaternaire



## Décapage et rainurage



Photo 17 : Opération de décapage de l'indice Ferme Nord





Photo 18 : Rainurage sur l'indice Ferme Nord



## **ANNEXE II** TABLEAUX



**Tableau 1 :**

Claims de Minowean 2008 couverts par  
une moyenne densité de travaux



Tableau 1 - Claims de Minowean 2008 couverts par une moyenne densité de travaux

Polygones	Snr	Superficie	Type	No Claims	Statut	Possession	Expiration	Renouv.	Excédents	Travaux requis	Détenteur
400844748	24C07	47	CDC	106339	Actif	06/12/2005	05/12/2011	2	2449.00	900.00	Uranor inc.
400844749	24C07	47	CDC	106340	Actif	06/12/2005	05/12/2011	2	2449.00	900.00	Uranor inc.
400844750	24C07	47	CDC	106341	Actif	06/12/2005	05/12/2011	2	2449.00	900.00	Uranor inc.
400846045	24C08	47	CDC	106349	Actif	06/12/2005	05/12/2011	2	2449.00	900.00	Uranor inc.
400846046	24C08	47	CDC	106350	Actif	06/12/2005	05/12/2011	2	2449.00	900.00	Uranor inc.
400846047	24C08	47	CDC	106351	Actif	06/12/2005	05/12/2011	2	2449.00	900.00	Uranor inc.
400846048	24C08	47	CDC	106352	Actif	06/12/2005	05/12/2011	2	2449.00	900.00	Uranor inc.
400846070	24C08	47	CDC	106353	Actif	06/12/2005	05/12/2011	2	2449.00	900.00	Uranor inc.
402510544	24C08	47	CDC	106354	Actif	06/12/2005	05/12/2011	2	2449.00	900.00	Uranor inc.
400846071	24C08	47	CDC	106355	Actif	06/12/2005	05/12/2011	2	2449.00	900.00	Uranor inc.
400846072	24C08	47	CDC	106356	Actif	06/12/2005	05/12/2011	2	2449.00	900.00	Uranor inc.
400846073	24C08	47	CDC	106357	Actif	06/12/2005	05/12/2011	2	2449.00	900.00	Uranor inc.
400846074	24C08	47	CDC	106358	Actif	06/12/2005	05/12/2011	2	2449.00	900.00	Uranor inc.
400846075	24C08	47	CDC	106359	Actif	06/12/2005	05/12/2011	2	2449.00	900.00	Uranor inc.
402510545	24C08	47	CDC	106360	Actif	06/12/2005	05/12/2011	2	2449.00	900.00	Uranor inc.
400846098	24C08	47	CDC	106361	Actif	06/12/2005	05/12/2011	2	2449.00	900.00	Uranor inc.
400846099	24C08	47	CDC	106362	Actif	06/12/2005	05/12/2011	2	2449.00	900.00	Uranor inc.
400846100	24C08	47	CDC	106363	Actif	06/12/2005	05/12/2011	2	2449.00	900.00	Uranor inc.
400846101	24C08	47	CDC	106364	Actif	06/12/2005	05/12/2011	2	2449.00	900.00	Uranor inc.
400846102	24C08	47	CDC	106365	Actif	06/12/2005	05/12/2011	2	2449.00	900.00	Uranor inc.
400846103	24C08	47	CDC	106366	Actif	06/12/2005	05/12/2011	2	2449.00	900.00	Uranor inc.
400846104	24C08	47	CDC	106367	Actif	06/12/2005	05/12/2011	2	2449.00	900.00	Uranor inc.
400846105	24C08	47	CDC	106368	Actif	06/12/2005	05/12/2011	2	2449.00	900.00	Uranor inc.
400846128	24C08	47	CDC	106369	Actif	06/12/2005	05/12/2011	2	2449.00	900.00	Uranor inc.
400846129	24C08	47	CDC	106370	Actif	06/12/2005	05/12/2011	2	2449.00	900.00	Uranor inc.
400846130	24C08	47	CDC	106371	Actif	06/12/2005	05/12/2011	2	2449.00	900.00	Uranor inc.
400846131	24C08	47	CDC	106372	Actif	06/12/2005	05/12/2011	2	2449.00	900.00	Uranor inc.
400846132	24C08	47	CDC	106373	Actif	06/12/2005	05/12/2011	2	2449.00	900.00	Uranor inc.
400846133	24C08	47	CDC	106374	Actif	06/12/2005	05/12/2011	2	893.00	900.00	Uranor inc.
400846155	24C08	47	CDC	106375	Actif	06/12/2005	05/12/2011	2	2449.00	900.00	Uranor inc.
400846156	24C08	47	CDC	106376	Actif	06/12/2005	05/12/2011	2	2449.00	900.00	Uranor inc.
400846157	24C08	47	CDC	106377	Actif	06/12/2005	05/12/2011	2	2449.00	900.00	Uranor inc.
400846158	24C08	47	CDC	106378	Actif	06/12/2005	05/12/2011	2	2449.00	900.00	Uranor inc.
400846159	24C08	47	CDC	106379	Actif	06/12/2005	05/12/2011	2	2449.00	900.00	Uranor inc.
400846160	24C08	47	CDC	106380	Actif	06/12/2005	05/12/2011	2	893.00	900.00	Uranor inc.
400846185	24C08	47	CDC	106381	Actif	06/12/2005	05/12/2011	2	2449.00	900.00	Uranor inc.
400846186	24C08	47	CDC	106382	Actif	06/12/2005	05/12/2011	2	2449.00	900.00	Uranor inc.
400846187	24C08	47	CDC	106383	Actif	06/12/2005	05/12/2011	2	2449.00	900.00	Uranor inc.
400846188	24C08	47	CDC	106384	Actif	06/12/2005	05/12/2011	2	2449.00	900.00	Uranor inc.
400846215	24C08	47	CDC	106385	Actif	06/12/2005	05/12/2011	2	2449.00	900.00	Uranor inc.
400846216	24C08	47	CDC	106386	Actif	06/12/2005	05/12/2011	2	2449.00	900.00	Uranor inc.
400846217	24C08	47	CDC	106387	Actif	06/12/2005	05/12/2011	2	2449.00	900.00	Uranor inc.
402510552	24C08	47	CDC	106388	Actif	06/12/2005	05/12/2011	2	2449.00	900.00	Uranor inc.
400845042	24C07	47	CDC	2014164	Actif	31/05/2006	30/05/2010	1	2899.00	450.00	Uranor inc.
400845069	24C07	47	CDC	2014165	Actif	31/05/2006	30/05/2010	1	2899.00	450.00	Uranor inc.



Tableau 1 - Claims de Minowean 2008 couverts par une moyenne densité de travaux

Polygones	Snrç	Superficie	Type	No Claims	Statut	Possession	Expiration	Renouv.	Excédents	Travaux requis	Détenteur
400846189	24C08	47	CDC	2014170	Actif	31/05/2006	30/05/2010	1	2899.00	450.00	Uranor inc.
400846190	24C08	47	CDC	2014171	Actif	31/05/2006	30/05/2010	1	1343.00	450.00	Uranor inc.
400846193	24C08	47	CDC	2014172	Actif	31/05/2006	30/05/2010	1	1343.00	450.00	Uranor inc.
400846194	24C08	47	CDC	2014173	Actif	31/05/2006	30/05/2010	1	1343.00	450.00	Uranor inc.
400846195	24C08	47	CDC	2014174	Actif	31/05/2006	30/05/2010	1	1343.00	450.00	Uranor inc.
400846218	24C08	47	CDC	2014175	Actif	31/05/2006	30/05/2010	1	1343.00	450.00	Uranor inc.
400846219	24C08	47	CDC	2014176	Actif	31/05/2006	30/05/2010	1	1343.00	450.00	Uranor inc.
400846220	24C08	47	CDC	2014177	Actif	31/05/2006	30/05/2010	1	1343.00	450.00	Uranor inc.
400846221	24C08	47	CDC	2014178	Actif	31/05/2006	30/05/2010	1	1343.00	450.00	Uranor inc.
400846222	24C08	47	CDC	2014179	Actif	31/05/2006	30/05/2010	1	1343.00	450.00	Uranor inc.
400846224	24C08	47	CDC	2014180	Actif	31/05/2006	30/05/2010	1	1343.00	450.00	Uranor inc.
402510553	24C08	47	CDC	2014181	Actif	31/05/2006	30/05/2010	1	1343.00	450.00	Uranor inc.
400846243	24C08	47	CDC	2014182	Actif	31/05/2006	30/05/2010	1	2899.00	450.00	Uranor inc.
400846244	24C08	47	CDC	2014183	Actif	31/05/2006	30/05/2010	1	2899.00	450.00	Uranor inc.
400846245	24C08	47	CDC	2014184	Actif	31/05/2006	30/05/2010	1	2899.00	450.00	Uranor inc.
400846246	24C08	47	CDC	2014185	Actif	31/05/2006	30/05/2010	1	2899.00	450.00	Uranor inc.
400846247	24C08	47	CDC	2014186	Actif	31/05/2006	30/05/2010	1	1343.00	450.00	Uranor inc.
400846248	24C08	47	CDC	2014187	Actif	31/05/2006	30/05/2010	1	1343.00	450.00	Uranor inc.
400846249	24C08	47	CDC	2014188	Actif	31/05/2006	30/05/2010	1	1343.00	450.00	Uranor inc.
400846250	24C08	47	CDC	2014189	Actif	31/05/2006	30/05/2010	1	1343.00	450.00	Uranor inc.
400846251	24C08	47	CDC	2014190	Actif	31/05/2006	30/05/2010	1	1343.00	450.00	Uranor inc.
400846273	24C08	47	CDC	2014191	Actif	31/05/2006	30/05/2010	1	1343.00	450.00	Uranor inc.
400846274	24C08	47	CDC	2014192	Actif	31/05/2006	30/05/2010	1	1343.00	450.00	Uranor inc.
400846275	24C08	47	CDC	2014193	Actif	31/05/2006	30/05/2010	1	1343.00	450.00	Uranor inc.
400846276	24C08	47	CDC	2014194	Actif	31/05/2006	30/05/2010	1	1343.00	450.00	Uranor inc.
400846277	24C08	47	CDC	2014195	Actif	31/05/2006	30/05/2010	1	1343.00	450.00	Uranor inc.
400846278	24C08	47	CDC	2014196	Actif	31/05/2006	30/05/2010	1	1343.00	450.00	Uranor inc.
400846279	24C08	47	CDC	2014197	Actif	31/05/2006	30/05/2010	1	1343.00	450.00	Uranor inc.
400846280	24C08	47	CDC	2014198	Actif	31/05/2006	30/05/2010	1	1343.00	450.00	Uranor inc.
400846301	24C08	47	CDC	2014199	Actif	31/05/2006	30/05/2010	1	1343.00	450.00	Uranor inc.
400846302	24C08	47	CDC	2014200	Actif	31/05/2006	30/05/2010	1	1343.00	450.00	Uranor inc.
400846303	24C08	47	CDC	2014201	Actif	31/05/2006	30/05/2010	1	1343.00	450.00	Uranor inc.
400846304	24C08	47	CDC	2014202	Actif	31/05/2006	30/05/2010	1	1343.00	450.00	Uranor inc.
400846305	24C08	47	CDC	2014203	Actif	31/05/2006	30/05/2010	1	1343.00	450.00	Uranor inc.
400846306	24C08	47	CDC	2014204	Actif	31/05/2006	30/05/2010	1	1343.00	450.00	Uranor inc.
402510559	24C08	47	CDC	2014205	Actif	31/05/2006	30/05/2010	1	1343.00	450.00	Uranor inc.
400846330	24C08	47	CDC	2014206	Actif	31/05/2006	30/05/2010	1	1343.00	450.00	Uranor inc.
400846331	24C08	47	CDC	2014207	Actif	31/05/2006	30/05/2010	1	1343.00	450.00	Uranor inc.
400846332	24C08	47	CDC	2014208	Actif	31/05/2006	30/05/2010	1	1343.00	450.00	Uranor inc.
400846333	24C08	47	CDC	2014209	Actif	31/05/2006	30/05/2010	1	1343.00	450.00	Uranor inc.
400846334	24C08	47	CDC	2014210	Actif	31/05/2006	30/05/2010	1	1343.00	450.00	Uranor inc.
400846335	24C08	47	CDC	2014211	Actif	31/05/2006	30/05/2010	1	1343.00	450.00	Uranor inc.
400846360	24C08	47	CDC	2014212	Actif	31/05/2006	30/05/2010	1	1343.00	450.00	Uranor inc.
400846361	24C08	47	CDC	2014213	Actif	31/05/2006	30/05/2010	1	1343.00	450.00	Uranor inc.
400846362	24C08	47	CDC	2014214	Actif	31/05/2006	30/05/2010	1	1343.00	450.00	Uranor inc.



Tableau 1 - Claims de Minowean 2008 couverts par une moyenne densité de travaux

Polygones	Snrc	Superficie	Type	No Claims	Statut	Possession	Expiration	Renouv.	Excédents	Travaux requis	Détenteur
400846363	24C08	47	CDC	2014215	Actif	31/05/2006	30/05/2010	1	1343.00	450.00	Uranor inc.
400846364	24C08	47	CDC	2014216	Actif	31/05/2006	30/05/2010	1	1343.00	450.00	Uranor inc.
402510562	24C08	47	CDC	2014217	Actif	31/05/2006	30/05/2010	1	1343.00	450.00	Uranor inc.
400846387	24C08	47	CDC	2014218	Actif	31/05/2006	30/05/2010	1	1343.00	450.00	Uranor inc.
400846388	24C08	47	CDC	2014219	Actif	31/05/2006	30/05/2010	1	1343.00	450.00	Uranor inc.
400846389	24C08	47	CDC	2014220	Actif	31/05/2006	30/05/2010	1	1343.00	450.00	Uranor inc.
400846390	24C08	47	CDC	2014221	Actif	31/05/2006	30/05/2010	1	1343.00	450.00	Uranor inc.
400846391	24C08	47	CDC	2014222	Actif	31/05/2006	30/05/2010	1	1343.00	450.00	Uranor inc.
400846392	24C08	47	CDC	2014223	Actif	31/05/2006	30/05/2010	1	1343.00	450.00	Uranor inc.
400846418	24C08	47	CDC	2014225	Actif	31/05/2006	30/05/2010	1	1343.00	450.00	Uranor inc.
400846419	24C08	47	CDC	2014226	Actif	31/05/2006	30/05/2010	1	1343.00	450.00	Uranor inc.
400846420	24C08	47	CDC	2014227	Actif	31/05/2006	30/05/2010	1	1343.00	450.00	Uranor inc.
400846421	24C08	47	CDC	2014228	Actif	31/05/2006	30/05/2010	1	1343.00	450.00	Uranor inc.
400846422	24C08	47	CDC	2014229	Actif	31/05/2006	30/05/2010	1	1343.00	450.00	Uranor inc.
400846447	24C08	47	CDC	2014232	Actif	31/05/2006	30/05/2010	1	1343.00	450.00	Uranor inc.
400846448	24C08	47	CDC	2014233	Actif	31/05/2006	30/05/2010	1	1343.00	450.00	Uranor inc.
400846449	24C08	47	CDC	2014234	Actif	31/05/2006	30/05/2010	1	1343.00	450.00	Uranor inc.
402510570	24C08	47	CDC	2014235	Actif	31/05/2006	30/05/2010	1	1343.00	450.00	Uranor inc.
400846876	24C09	47	CDC	2014238	Actif	31/05/2006	30/05/2010	1	1343.00	450.00	Uranor inc.
400846877	24C09	47	CDC	2014239	Actif	31/05/2006	30/05/2010	1	1343.00	450.00	Uranor inc.
400846878	24C09	47	CDC	2014240	Actif	31/05/2006	30/05/2010	1	1343.00	450.00	Uranor inc.
400846906	24C09	47	CDC	2014243	Actif	31/05/2006	30/05/2010	1	1343.00	450.00	Uranor inc.
400846907	24C09	47	CDC	2014244	Actif	31/05/2006	30/05/2010	1	1343.00	450.00	Uranor inc.
400846936	24C09	47	CDC	2052659	Actif	05/02/2007	04/02/2011	1	1208.00	450.00	Uranor inc.
400846937	24C09	47	CDC	2052660	Actif	05/02/2007	04/02/2011	1	1208.00	450.00	Uranor inc.
400846966	24C09	47	CDC	2052663	Actif	05/02/2007	04/02/2011	1	1208.00	450.00	Uranor inc.
400846967	24C09	47	CDC	2052664	Actif	05/02/2007	04/02/2011	1	1208.00	450.00	Uranor inc.
400846993	24C09	47	CDC	2052667	Actif	05/02/2007	04/02/2011	1	1208.00	450.00	Uranor inc.
400846994	24C09	47	CDC	2052668	Actif	05/02/2007	04/02/2011	1	1208.00	450.00	Uranor inc.
400847021	24C09	47	CDC	2052669	Actif	05/02/2007	04/02/2011	1	1208.00	450.00	Uranor inc.
400847022	24C09	47	CDC	2052670	Actif	05/02/2007	04/02/2011	1	1208.00	450.00	Uranor inc.
400847023	24C09	47	CDC	2052671	Actif	05/02/2007	04/02/2011	1	1208.00	450.00	Uranor inc.
400847024	24C09	47	CDC	2052672	Actif	05/02/2007	04/02/2011	1	1208.00	450.00	Uranor inc.
400847051	24C09	47	CDC	2052673	Actif	05/02/2007	04/02/2011	1	1208.00	450.00	Uranor inc.
400847052	24C09	47	CDC	2052674	Actif	05/02/2007	04/02/2011	1	1208.00	450.00	Uranor inc.
400847053	24C09	47	CDC	2052675	Actif	05/02/2007	04/02/2011	1	1208.00	450.00	Uranor inc.
402535562	24C09	47	CDC	2052676	Actif	05/02/2007	04/02/2011	1	1208.00	450.00	Uranor inc.
400847079	24C09	47	CDC	2052677	Actif	05/02/2007	04/02/2011	1	1208.00	450.00	Uranor inc.
400847080	24C09	47	CDC	2052678	Actif	05/02/2007	04/02/2011	1	1208.00	450.00	Uranor inc.
400847081	24C09	47	CDC	2052679	Actif	05/02/2007	04/02/2011	1	1208.00	450.00	Uranor inc.
400847082	24C09	47	CDC	2052680	Actif	05/02/2007	04/02/2011	1	1208.00	450.00	Uranor inc.
400847109	24C09	47	CDC	2052681	Actif	05/02/2007	04/02/2011	1	1208.00	450.00	Uranor inc.
400847110	24C09	47	CDC	2052682	Actif	05/02/2007	04/02/2011	1	1208.00	450.00	Uranor inc.
400847111	24C09	47	CDC	2052683	Actif	05/02/2007	04/02/2011	1	1208.00	450.00	Uranor inc.
400847112	24C09	47	CDC	2052684	Actif	05/02/2007	04/02/2011	1	1208.00	450.00	Uranor inc.



Tableau 1 - Claims de Minowean 2008 couverts par une moyenne densité de travaux

Polygones	Snrc	Superficie	Type	No Claims	Statut	Possession	Expiration	Renouv.	Excédents	Travaux requis	Détenteur
400847136	24C09	47	CDC	2052685	Actif	05/02/2007	04/02/2011	1	1208.00	450.00	Uranor inc.
400847137	24C09	47	CDC	2052686	Actif	05/02/2007	04/02/2011	1	1208.00	450.00	Uranor inc.
400847167	24C09	47	CDC	2052687	Actif	05/02/2007	04/02/2011	1	1208.00	450.00	Uranor inc.
400847168	24C09	47	CDC	2052688	Actif	05/02/2007	04/02/2011	1	1208.00	450.00	Uranor inc.
400847196	24C09	47	CDC	2052689	Actif	05/02/2007	04/02/2011	1	1208.00	450.00	Uranor inc.
400847197	24C09	47	CDC	2052690	Actif	05/02/2007	04/02/2011	1	1208.00	450.00	Uranor inc.
400847224	24C09	47	CDC	2052691	Actif	05/02/2007	04/02/2011	1	1208.00	450.00	Uranor inc.
400847225	24C09	47	CDC	2052692	Actif	05/02/2007	04/02/2011	1	1208.00	450.00	Uranor inc.
400847254	24C09	47	CDC	2052693	Actif	05/02/2007	04/02/2011	1	3716.00	450.00	Uranor inc.
400847255	24C09	47	CDC	2052694	Actif	05/02/2007	04/02/2011	1	3716.00	450.00	Uranor inc.
400847281	24C09	47	CDC	2052695	Actif	05/02/2007	04/02/2011	1	3716.00	450.00	Uranor inc.
400847282	24C09	47	CDC	2052696	Actif	05/02/2007	04/02/2011	1	3716.00	450.00	Uranor inc.
400846666	24C09	47	CDC	2052697	Actif	05/02/2007	04/02/2011	1	3716.00	450.00	Uranor inc.
400846667	24C09	47	CDC	2052698	Actif	05/02/2007	04/02/2011	1	3716.00	450.00	Uranor inc.
400848679	24C10	47	CDC	2052699	Actif	05/02/2007	04/02/2011	1	2764.00	450.00	Uranor inc.
400848680	24C10	47	CDC	2052700	Actif	05/02/2007	04/02/2011	1	2764.00	450.00	Uranor inc.
400848681	24C10	47	CDC	2052701	Actif	05/02/2007	04/02/2011	1	2764.00	450.00	Uranor inc.
400848682	24C10	47	CDC	2052702	Actif	05/02/2007	04/02/2011	1	2764.00	450.00	Uranor inc.
400848683	24C10	47	CDC	2052703	Actif	05/02/2007	04/02/2011	1	2764.00	450.00	Uranor inc.
400848709	24C10	47	CDC	2052708	Actif	05/02/2007	04/02/2011	1	2764.00	450.00	Uranor inc.
400848710	24C10	47	CDC	2052709	Actif	05/02/2007	04/02/2011	1	2764.00	450.00	Uranor inc.
400848711	24C10	47	CDC	2052710	Actif	05/02/2007	04/02/2011	1	2764.00	450.00	Uranor inc.
400848712	24C10	47	CDC	2052711	Actif	05/02/2007	04/02/2011	1	2764.00	450.00	Uranor inc.
400848713	24C10	47	CDC	2052712	Actif	05/02/2007	04/02/2011	1	2764.00	450.00	Uranor inc.
400848739	24C10	47	CDC	2052717	Actif	05/02/2007	04/02/2011	1	2764.00	450.00	Uranor inc.
400848740	24C10	47	CDC	2052718	Actif	05/02/2007	04/02/2011	1	2764.00	450.00	Uranor inc.
400848741	24C10	47	CDC	2052719	Actif	05/02/2007	04/02/2011	1	2764.00	450.00	Uranor inc.
400848742	24C10	47	CDC	2052720	Actif	05/02/2007	04/02/2011	1	2764.00	450.00	Uranor inc.
400848743	24C10	47	CDC	2052721	Actif	05/02/2007	04/02/2011	1	2764.00	450.00	Uranor inc.
400848744	24C10	47	CDC	2052722	Actif	05/02/2007	04/02/2011	1	2764.00	450.00	Uranor inc.
400848745	24C10	47	CDC	2052723	Actif	05/02/2007	04/02/2011	1	1208.00	450.00	Uranor inc.
400848767	24C10	47	CDC	2052728	Actif	05/02/2007	04/02/2011	1	2764.00	450.00	Uranor inc.
400848768	24C10	47	CDC	2052729	Actif	05/02/2007	04/02/2011	1	2764.00	450.00	Uranor inc.
400848769	24C10	47	CDC	2052730	Actif	05/02/2007	04/02/2011	1	2764.00	450.00	Uranor inc.
400848770	24C10	47	CDC	2052731	Actif	05/02/2007	04/02/2011	1	2764.00	450.00	Uranor inc.
402535694	24C10	47	CDC	2052732	Actif	05/02/2007	04/02/2011	1	2764.00	450.00	Uranor inc.
400848771	24C10	47	CDC	2052733	Actif	05/02/2007	04/02/2011	1	2764.00	450.00	Uranor inc.
400848773	24C10	47	CDC	2052734	Actif	05/02/2007	04/02/2011	1	1208.00	450.00	Uranor inc.
400848797	24C10	47	CDC	2052739	Actif	05/02/2007	04/02/2011	1	2764.00	450.00	Uranor inc.
400848798	24C10	47	CDC	2052740	Actif	05/02/2007	04/02/2011	1	2764.00	450.00	Uranor inc.
400848799	24C10	47	CDC	2052741	Actif	05/02/2007	04/02/2011	1	2764.00	450.00	Uranor inc.
400848800	24C10	47	CDC	2052742	Actif	05/02/2007	04/02/2011	1	2764.00	450.00	Uranor inc.
400848801	24C10	47	CDC	2052743	Actif	05/02/2007	04/02/2011	1	2764.00	450.00	Uranor inc.
400848802	24C10	47	CDC	2052744	Actif	05/02/2007	04/02/2011	1	2764.00	450.00	Uranor inc.
400848803	24C10	47	CDC	2052745	Actif	05/02/2007	04/02/2011	1	1208.00	450.00	Uranor inc.



Tableau 1 - Claims de Minowean 2008 couverts par une moyenne densité de travaux

Polygones	Snr	Superficie	Type	No Claims	Statut	Possession	Expiration	Renouv.	Excédents	Travaux requis	Détenteur
400848827	24C10	47	CDC	2052750	Actif	05/02/2007	04/02/2011	1	2764.00	450.00	Uranor inc.
400848828	24C10	47	CDC	2052751	Actif	05/02/2007	04/02/2011	1	2764.00	450.00	Uranor inc.
400848829	24C10	47	CDC	2052752	Actif	05/02/2007	04/02/2011	1	2764.00	450.00	Uranor inc.
400848830	24C10	47	CDC	2052753	Actif	05/02/2007	04/02/2011	1	2764.00	450.00	Uranor inc.
400848831	24C10	47	CDC	2052754	Actif	05/02/2007	04/02/2011	1	2764.00	450.00	Uranor inc.
400848832	24C10	47	CDC	2052755	Actif	05/02/2007	04/02/2011	1	2764.00	450.00	Uranor inc.
400848833	24C10	47	CDC	2052756	Actif	05/02/2007	04/02/2011	1	1208.00	450.00	Uranor inc.
400848834	24C10	47	CDC	2052757	Actif	05/02/2007	04/02/2011	1	1208.00	450.00	Uranor inc.
402535698	24C10	47	CDC	2052758	Actif	05/02/2007	04/02/2011	1	1208.00	450.00	Uranor inc.
400848835	24C10	47	CDC	2052759	Actif	05/02/2007	04/02/2011	1	1208.00	450.00	Uranor inc.
400848836	24C10	47	CDC	2052760	Actif	05/02/2007	04/02/2011	1	1208.00	450.00	Uranor inc.
400848854	24C10	47	CDC	2052761	Actif	05/02/2007	04/02/2011	1	350.00	450.00	Uranor inc.
400848855	24C10	47	CDC	2052762	Actif	05/02/2007	04/02/2011	1	350.00	450.00	Uranor inc.
400848856	24C10	47	CDC	2052763	Actif	05/02/2007	04/02/2011	1	350.00	450.00	Uranor inc.
400848857	24C10	47	CDC	2052764	Actif	05/02/2007	04/02/2011	1	350.00	450.00	Uranor inc.
400848858	24C10	47	CDC	2052765	Actif	05/02/2007	04/02/2011	1	350.00	450.00	Uranor inc.
400848859	24C10	47	CDC	2052766	Actif	05/02/2007	04/02/2011	1	350.00	450.00	Uranor inc.
400848860	24C10	47	CDC	2052767	Actif	05/02/2007	04/02/2011	1	1208.00	450.00	Uranor inc.
400848861	24C10	47	CDC	2052768	Actif	05/02/2007	04/02/2011	1	1208.00	450.00	Uranor inc.
400848862	24C10	47	CDC	2052769	Actif	05/02/2007	04/02/2011	1	1208.00	450.00	Uranor inc.
400848863	24C10	47	CDC	2052770	Actif	05/02/2007	04/02/2011	1	1208.00	450.00	Uranor inc.
400848864	24C10	47	CDC	2052771	Actif	05/02/2007	04/02/2011	1	1208.00	450.00	Uranor inc.
400848884	24C10	47	CDC	2052772	Actif	05/02/2007	04/02/2011	1	350.00	450.00	Uranor inc.
400848885	24C10	47	CDC	2052773	Actif	05/02/2007	04/02/2011	1	350.00	450.00	Uranor inc.
400848886	24C10	47	CDC	2052774	Actif	05/02/2007	04/02/2011	1	350.00	450.00	Uranor inc.
400848887	24C10	47	CDC	2052775	Actif	05/02/2007	04/02/2011	1	350.00	450.00	Uranor inc.
400848888	24C10	47	CDC	2052776	Actif	05/02/2007	04/02/2011	1	350.00	450.00	Uranor inc.
400848889	24C10	47	CDC	2052777	Actif	05/02/2007	04/02/2011	1	350.00	450.00	Uranor inc.
400848890	24C10	47	CDC	2052778	Actif	05/02/2007	04/02/2011	1	350.00	450.00	Uranor inc.
400848891	24C10	47	CDC	2052779	Actif	05/02/2007	04/02/2011	1	350.00	450.00	Uranor inc.
400848892	24C10	47	CDC	2052780	Actif	05/02/2007	04/02/2011	1	350.00	450.00	Uranor inc.
400848893	24C10	47	CDC	2052781	Actif	05/02/2007	04/02/2011	1	1208.00	450.00	Uranor inc.
400848894	24C10	47	CDC	2052782	Actif	05/02/2007	04/02/2011	1	1208.00	450.00	Uranor inc.
402535705	24C10	47	CDC	2052783	Actif	05/02/2007	04/02/2011	1	350.00	450.00	Uranor inc.
400848913	24C10	47	CDC	2052784	Actif	05/02/2007	04/02/2011	1	350.00	450.00	Uranor inc.
400848914	24C10	47	CDC	2052785	Actif	05/02/2007	04/02/2011	1	350.00	450.00	Uranor inc.
400848915	24C10	47	CDC	2052786	Actif	05/02/2007	04/02/2011	1	350.00	450.00	Uranor inc.
400848916	24C10	47	CDC	2052787	Actif	05/02/2007	04/02/2011	1	350.00	450.00	Uranor inc.
400848917	24C10	47	CDC	2052788	Actif	05/02/2007	04/02/2011	1	350.00	450.00	Uranor inc.
402535706	24C10	47	CDC	2052789	Actif	05/02/2007	04/02/2011	1	350.00	450.00	Uranor inc.
400848918	24C10	47	CDC	2052790	Actif	05/02/2007	04/02/2011	1	350.00	450.00	Uranor inc.
400848919	24C10	47	CDC	2052791	Actif	05/02/2007	04/02/2011	1	350.00	450.00	Uranor inc.
400848920	24C10	47	CDC	2052792	Actif	05/02/2007	04/02/2011	1	1208.00	450.00	Uranor inc.
400848921	24C10	47	CDC	2052793	Actif	05/02/2007	04/02/2011	1	1208.00	450.00	Uranor inc.
400848943	24C10	47	CDC	2052794	Actif	05/02/2007	04/02/2011	1	2588.00	450.00	Uranor inc.



Tableau 1 - Claims de Minowean 2008 couverts par une moyenne densité de travaux

Polygones	Snrc	Superficie	Type	No Claims	Statut	Possession	Expiration	Renouv.	Excédents	Travaux requis	Détenteur
400848944	24C10	47	CDC	2052795	Actif	05/02/2007	04/02/2011	1	2588.00	450.00	Uranor inc.
400848945	24C10	47	CDC	2052796	Actif	05/02/2007	04/02/2011	1	2588.00	450.00	Uranor inc.
400848946	24C10	47	CDC	2052797	Actif	05/02/2007	04/02/2011	1	2588.00	450.00	Uranor inc.
400848947	24C10	47	CDC	2052798	Actif	05/02/2007	04/02/2011	1	2588.00	450.00	Uranor inc.
400848948	24C10	47	CDC	2052799	Actif	05/02/2007	04/02/2011	1	2588.00	450.00	Uranor inc.
400848949	24C10	47	CDC	2052800	Actif	05/02/2007	04/02/2011	1	2588.00	450.00	Uranor inc.
400848950	24C10	47	CDC	2052801	Actif	05/02/2007	04/02/2011	1	1208.00	450.00	Uranor inc.
400848951	24C10	47	CDC	2052802	Actif	05/02/2007	04/02/2011	1	1208.00	450.00	Uranor inc.
400848973	24C10	47	CDC	2052803	Actif	05/02/2007	04/02/2011	1	2588.00	450.00	Uranor inc.
400848974	24C10	47	CDC	2052804	Actif	05/02/2007	04/02/2011	1	2588.00	450.00	Uranor inc.
400848975	24C10	47	CDC	2052805	Actif	05/02/2007	04/02/2011	1	2588.00	450.00	Uranor inc.
400848976	24C10	47	CDC	2052806	Actif	05/02/2007	04/02/2011	1	2588.00	450.00	Uranor inc.
400848977	24C10	47	CDC	2052807	Actif	05/02/2007	04/02/2011	1	2588.00	450.00	Uranor inc.
400848978	24C10	47	CDC	2052808	Actif	05/02/2007	04/02/2011	1	2588.00	450.00	Uranor inc.
400848979	24C10	47	CDC	2052809	Actif	05/02/2007	04/02/2011	1	2588.00	450.00	Uranor inc.
400848980	24C10	47	CDC	2052810	Actif	05/02/2007	04/02/2011	1	1208.00	450.00	Uranor inc.
402535708	24C10	47	CDC	2052811	Actif	05/02/2007	04/02/2011	1	1208.00	450.00	Uranor inc.
400848998	24C10	47	CDC	2052812	Actif	05/02/2007	04/02/2011	1	2588.00	450.00	Uranor inc.
400848999	24C10	47	CDC	2052813	Actif	05/02/2007	04/02/2011	1	2588.00	450.00	Uranor inc.
400849000	24C10	47	CDC	2052814	Actif	05/02/2007	04/02/2011	1	2588.00	450.00	Uranor inc.
400849001	24C10	47	CDC	2052815	Actif	05/02/2007	04/02/2011	1	2588.00	450.00	Uranor inc.
400849002	24C10	47	CDC	2052816	Actif	05/02/2007	04/02/2011	1	2588.00	450.00	Uranor inc.
400849003	24C10	47	CDC	2052817	Actif	05/02/2007	04/02/2011	1	2588.00	450.00	Uranor inc.
400849004	24C10	47	CDC	2052818	Actif	05/02/2007	04/02/2011	1	2588.00	450.00	Uranor inc.
400849005	24C10	47	CDC	2052819	Actif	05/02/2007	04/02/2011	1	2588.00	450.00	Uranor inc.
400849006	24C10	47	CDC	2052820	Actif	05/02/2007	04/02/2011	1	2588.00	450.00	Uranor inc.
400849007	24C10	47	CDC	2052821	Actif	05/02/2007	04/02/2011	1	1208.00	450.00	Uranor inc.
400849008	24C10	47	CDC	2052822	Actif	05/02/2007	04/02/2011	1	1208.00	450.00	Uranor inc.
400849028	24C10	47	CDC	2052823	Actif	05/02/2007	04/02/2011	1	2723.00	450.00	Uranor inc.
400849029	24C10	47	CDC	2052824	Actif	05/02/2007	04/02/2011	1	2723.00	450.00	Uranor inc.
400849030	24C10	47	CDC	2052825	Actif	05/02/2007	04/02/2011	1	2723.00	450.00	Uranor inc.
400849031	24C10	47	CDC	2052826	Actif	05/02/2007	04/02/2011	1	2723.00	450.00	Uranor inc.
400849032	24C10	47	CDC	2052827	Actif	05/02/2007	04/02/2011	1	2723.00	450.00	Uranor inc.
400849033	24C10	47	CDC	2052828	Actif	05/02/2007	04/02/2011	1	2723.00	450.00	Uranor inc.
400849034	24C10	47	CDC	2052829	Actif	05/02/2007	04/02/2011	1	2723.00	450.00	Uranor inc.
400849035	24C10	47	CDC	2052830	Actif	05/02/2007	04/02/2011	1	2723.00	450.00	Uranor inc.
400849036	24C10	47	CDC	2052831	Actif	05/02/2007	04/02/2011	1	2588.00	450.00	Uranor inc.
400849037	24C10	47	CDC	2052832	Actif	05/02/2007	04/02/2011	1	1208.00	450.00	Uranor inc.
400849038	24C10	47	CDC	2052833	Actif	05/02/2007	04/02/2011	1	1208.00	450.00	Uranor inc.
400849058	24C10	47	CDC	2052834	Actif	05/02/2007	04/02/2011	1	2723.00	450.00	Uranor inc.
400849059	24C10	47	CDC	2052835	Actif	05/02/2007	04/02/2011	1	2723.00	450.00	Uranor inc.
402535716	24C10	47	CDC	2052836	Actif	05/02/2007	04/02/2011	1	2723.00	450.00	Uranor inc.
400849060	24C10	47	CDC	2052837	Actif	05/02/2007	04/02/2011	1	2723.00	450.00	Uranor inc.
400849061	24C10	47	CDC	2052838	Actif	05/02/2007	04/02/2011	1	2723.00	450.00	Uranor inc.
400849062	24C10	47	CDC	2052839	Actif	05/02/2007	04/02/2011	1	2723.00	450.00	Uranor inc.



Tableau 1 - Claims de Minowean 2008 couverts par une moyenne densité de travaux

Polygones	Snr	Superficie	Type	No Claims	Statut	Possession	Expiration	Renouv.	Excédents	Travaux requis	Détenteur
400849063	24C10	47	CDC	2052840	Actif	05/02/2007	04/02/2011	1	2723.00	450.00	Uranor inc.
400849064	24C10	47	CDC	2052841	Actif	05/02/2007	04/02/2011	1	2723.00	450.00	Uranor inc.
402535717	24C10	47	CDC	2052842	Actif	05/02/2007	04/02/2011	1	2723.00	450.00	Uranor inc.
400849065	24C10	47	CDC	2052843	Actif	05/02/2007	04/02/2011	1	3716.00	450.00	Uranor inc.
400849066	24C10	47	CDC	2052844	Actif	05/02/2007	04/02/2011	1	3716.00	450.00	Uranor inc.
400849229	24C10	47	CDC	2052845	Actif	05/02/2007	04/02/2011	1	2723.00	450.00	Uranor inc.
400849230	24C10	47	CDC	2052846	Actif	05/02/2007	04/02/2011	1	3716.00	450.00	Uranor inc.
400849231	24C10	47	CDC	2052847	Actif	05/02/2007	04/02/2011	1	3716.00	450.00	Uranor inc.
400849599	24C10	47	CDC	2052848	Actif	05/02/2007	04/02/2011	1	3716.00	450.00	Uranor inc.
400849221	24C10	47	CDC	2055860	Actif	16/02/2007	15/02/2011	1	2723.00	450.00	OMEGALPHA INC
400849222	24C10	47	CDC	2055861	Actif	16/02/2007	15/02/2011	1	2723.00	450.00	OMEGALPHA INC
400849223	24C10	47	CDC	2055862	Actif	16/02/2007	15/02/2011	1	2723.00	450.00	OMEGALPHA INC
400849224	24C10	47	CDC	2055863	Actif	16/02/2007	15/02/2011	1	2723.00	450.00	OMEGALPHA INC
400849225	24C10	47	CDC	2055864	Actif	16/02/2007	15/02/2011	1	2723.00	450.00	OMEGALPHA INC
400849226	24C10	47	CDC	2055865	Actif	16/02/2007	15/02/2011	1	2723.00	450.00	OMEGALPHA INC
400849227	24C10	47	CDC	2055866	Actif	16/02/2007	15/02/2011	1	2723.00	450.00	OMEGALPHA INC
400849228	24C10	47	CDC	2055867	Actif	16/02/2007	15/02/2011	1	2723.00	450.00	OMEGALPHA INC
400849589	24C10	47	CDC	2055868	Actif	16/02/2007	15/02/2011	1	2723.00	450.00	OMEGALPHA INC
400849590	24C10	47	CDC	2055869	Actif	16/02/2007	15/02/2011	1	2723.00	450.00	OMEGALPHA INC
400849591	24C10	47	CDC	2055870	Actif	16/02/2007	15/02/2011	1	2723.00	450.00	OMEGALPHA INC
400849592	24C10	47	CDC	2055871	Actif	16/02/2007	15/02/2011	1	2723.00	450.00	OMEGALPHA INC
400849593	24C10	47	CDC	2055872	Actif	16/02/2007	15/02/2011	1	2723.00	450.00	OMEGALPHA INC
400849594	24C10	47	CDC	2055873	Actif	16/02/2007	15/02/2011	1	2723.00	450.00	OMEGALPHA INC
400849595	24C10	47	CDC	2055874	Actif	16/02/2007	15/02/2011	1	2723.00	450.00	OMEGALPHA INC
400849596	24C10	47	CDC	2055875	Actif	16/02/2007	15/02/2011	1	2723.00	450.00	OMEGALPHA INC
400849597	24C10	47	CDC	2055876	Actif	16/02/2007	15/02/2011	1	2723.00	450.00	OMEGALPHA INC
400849598	24C10	47	CDC	2055877	Actif	16/02/2007	15/02/2011	1	3716.00	450.00	OMEGALPHA INC
400849082	24C10	47	CDC	2055878	Actif	16/02/2007	15/02/2011	1	2723.00	450.00	OMEGALPHA INC
400849083	24C10	47	CDC	2055879	Actif	16/02/2007	15/02/2011	1	2723.00	450.00	OMEGALPHA INC
400849084	24C10	47	CDC	2055880	Actif	16/02/2007	15/02/2011	1	2723.00	450.00	OMEGALPHA INC
400849085	24C10	47	CDC	2055881	Actif	16/02/2007	15/02/2011	1	2723.00	450.00	OMEGALPHA INC
400849086	24C10	47	CDC	2055882	Actif	16/02/2007	15/02/2011	1	2723.00	450.00	OMEGALPHA INC
400849087	24C10	47	CDC	2055883	Actif	16/02/2007	15/02/2011	1	2723.00	450.00	OMEGALPHA INC
400849088	24C10	47	CDC	2055884	Actif	16/02/2007	15/02/2011	1	2723.00	450.00	OMEGALPHA INC
400849089	24C10	47	CDC	2055885	Actif	16/02/2007	15/02/2011	1	2723.00	450.00	OMEGALPHA INC
400849090	24C10	47	CDC	2055886	Actif	16/02/2007	15/02/2011	1	2723.00	450.00	OMEGALPHA INC
400849091	24C10	47	CDC	2055887	Actif	16/02/2007	15/02/2011	1	2723.00	450.00	OMEGALPHA INC
400849109	24C10	47	CDC	2055888	Actif	16/02/2007	15/02/2011	1	2723.00	450.00	OMEGALPHA INC
400849110	24C10	47	CDC	2055889	Actif	16/02/2007	15/02/2011	1	2723.00	450.00	OMEGALPHA INC
400849111	24C10	47	CDC	2055890	Actif	16/02/2007	15/02/2011	1	2723.00	450.00	OMEGALPHA INC
400849112	24C10	47	CDC	2055891	Actif	16/02/2007	15/02/2011	1	2723.00	450.00	OMEGALPHA INC
400849113	24C10	47	CDC	2055892	Actif	16/02/2007	15/02/2011	1	2723.00	450.00	OMEGALPHA INC
400849114	24C10	47	CDC	2055893	Actif	16/02/2007	15/02/2011	1	2723.00	450.00	OMEGALPHA INC
400849115	24C10	47	CDC	2055894	Actif	16/02/2007	15/02/2011	1	2723.00	450.00	OMEGALPHA INC
400849116	24C10	47	CDC	2055895	Actif	16/02/2007	15/02/2011	1	2723.00	450.00	OMEGALPHA INC



Tableau 1 - Claims de Minowean 2008 couverts par une moyenne densité de travaux

Polygones	Snr	Superficie	Type	No Claims	Statut	Possession	Expiration	Renouv.	Excédents	Travaux requis	Détenteur
400849117	24C10	47	CDC	2055896	Actif	16/02/2007	15/02/2011	1	2723.00	450.00	OMEGALPHA INC
400849118	24C10	47	CDC	2055897	Actif	16/02/2007	15/02/2011	1	2723.00	450.00	OMEGALPHA INC
400849119	24C10	47	CDC	2055898	Actif	16/02/2007	15/02/2011	1	2723.00	450.00	OMEGALPHA INC
400849139	24C10	47	CDC	2055899	Actif	16/02/2007	15/02/2011	1	2723.00	450.00	OMEGALPHA INC
400849140	24C10	47	CDC	2055900	Actif	16/02/2007	15/02/2011	1	2723.00	450.00	OMEGALPHA INC
400849141	24C10	47	CDC	2055901	Actif	16/02/2007	15/02/2011	1	2723.00	450.00	OMEGALPHA INC
400849142	24C10	47	CDC	2055902	Actif	16/02/2007	15/02/2011	1	2723.00	450.00	OMEGALPHA INC
400849143	24C10	47	CDC	2055903	Actif	16/02/2007	15/02/2011	1	2723.00	450.00	OMEGALPHA INC
400849144	24C10	47	CDC	2055904	Actif	16/02/2007	15/02/2011	1	2723.00	450.00	OMEGALPHA INC
400849145	24C10	47	CDC	2055905	Actif	16/02/2007	15/02/2011	1	2723.00	450.00	OMEGALPHA INC
400849146	24C10	47	CDC	2055906	Actif	16/02/2007	15/02/2011	1	2723.00	450.00	OMEGALPHA INC
400849168	24C10	47	CDC	2055907	Actif	16/02/2007	15/02/2011	1	2723.00	450.00	OMEGALPHA INC
402535731	24C10	47	CDC	2055908	Actif	16/02/2007	15/02/2011	1	2723.00	450.00	OMEGALPHA INC
400849169	24C10	47	CDC	2055909	Actif	16/02/2007	15/02/2011	1	2723.00	450.00	OMEGALPHA INC
400849170	24C10	47	CDC	2055910	Actif	16/02/2007	15/02/2011	1	2723.00	450.00	OMEGALPHA INC
400849171	24C10	47	CDC	2055911	Actif	16/02/2007	15/02/2011	1	2723.00	450.00	OMEGALPHA INC
400849172	24C10	47	CDC	2055912	Actif	16/02/2007	15/02/2011	1	2723.00	450.00	OMEGALPHA INC
400849190	24C10	47	CDC	2055913	Actif	16/02/2007	15/02/2011	1	2723.00	450.00	OMEGALPHA INC
400849191	24C10	47	CDC	2055914	Actif	16/02/2007	15/02/2011	1	2723.00	450.00	OMEGALPHA INC
400849192	24C10	47	CDC	2055915	Actif	16/02/2007	15/02/2011	1	2723.00	450.00	OMEGALPHA INC
400849193	24C10	47	CDC	2055916	Actif	16/02/2007	15/02/2011	1	2723.00	450.00	OMEGALPHA INC
400849194	24C10	47	CDC	2055917	Actif	16/02/2007	15/02/2011	1	2723.00	450.00	OMEGALPHA INC
400849905	24C10	47	CDC	2055918	Actif	16/02/2007	15/02/2011	1	2723.00	450.00	OMEGALPHA INC
400849904	24C10	47	CDC	2055919	Actif	16/02/2007	15/02/2011	1	2723.00	450.00	OMEGALPHA INC
403476796	24C10	21	CDC	2055920	Actif	16/02/2007	15/02/2011	1	2810.00	160.00	OMEGALPHA INC
403476798	24C10	38	CDC	2055921	Actif	16/02/2007	15/02/2011	1	2738.00	400.00	OMEGALPHA INC
403476800	24C10	44	CDC	2055922	Actif	16/02/2007	15/02/2011	1	2738.00	400.00	OMEGALPHA INC
400844924	24C07	47	CDC	54525	Actif	03/02/2005	02/02/2011	2	4774.00	900.00	Uranor inc.
400844953	24C07	47	CDC	54530	Actif	03/02/2005	02/02/2011	2	4774.00	900.00	Uranor inc.
400844954	24C07	47	CDC	54531	Actif	03/02/2005	02/02/2011	2	4774.00	900.00	Uranor inc.
400844980	24C07	47	CDC	54537	Actif	03/02/2005	02/02/2011	2	5044.00	900.00	Uranor inc.
400844981	24C07	47	CDC	54538	Actif	03/02/2005	02/02/2011	2	4774.00	900.00	Uranor inc.
400845010	24C07	47	CDC	54543	Actif	03/02/2005	02/02/2011	2	5044.00	900.00	Uranor inc.
400845011	24C07	47	CDC	54544	Actif	03/02/2005	02/02/2011	2	5044.00	900.00	Uranor inc.
400845041	24C07	47	CDC	54549	Actif	03/02/2005	02/02/2011	2	4909.00	900.00	Uranor inc.
400845068	24C07	47	CDC	54559	Actif	03/02/2005	02/02/2011	2	4639.00	900.00	Uranor inc.

**Tableau 2 :**  
Claims de Minowean 2008 couverts par  
une forte densité de travaux



Tableau 2 - Claims de Minowean 2008 couverts par une forte densité de travaux

Polygones	Snrc	Superficie	Type	No Claims	Statut	Possession	Expiration	Renouv.	Excédents	Travaux requis	Détenteur
400844777.0	24C07	47	CDC	106342	Actif	06/12/2005	05/12/2011	2	2449.00	900.00	Uranor inc.
400844778.0	24C07	47	CDC	106343	Actif	06/12/2005	05/12/2011	2	2449.00	900.00	Uranor inc.
400844779.0	24C07	47	CDC	106344	Actif	06/12/2005	05/12/2011	2	2449.00	900.00	Uranor inc.
400844808.0	24C07	47	CDC	106345	Actif	06/12/2005	05/12/2011	2	2449.00	900.00	Uranor inc.
400844809.0	24C07	47	CDC	106346	Actif	06/12/2005	05/12/2011	2	2449.00	900.00	Uranor inc.
400844835.0	24C07	47	CDC	106347	Actif	06/12/2005	05/12/2011	2	2449.00	900.00	Uranor inc.
400844836.0	24C07	47	CDC	106348	Actif	06/12/2005	05/12/2011	2	2449.00	900.00	Uranor inc.
400845098.0	24C07	47	CDC	2014166	Actif	31/05/2006	30/05/2010	1	2899.00	450.00	Uranor inc.
400845099.0	24C07	47	CDC	2014167	Actif	31/05/2006	30/05/2010	1	2899.00	450.00	Uranor inc.
400845126.0	24C07	47	CDC	2014168	Actif	31/05/2006	30/05/2010	1	2899.00	450.00	Uranor inc.
402535216.0	24C07	47	CDC	2014169	Actif	31/05/2006	30/05/2010	1	2899.00	450.00	Uranor inc.
400846417.0	24C08	47	CDC	2014224	Actif	31/05/2006	30/05/2010	1	1343.00	450.00	Uranor inc.
400846445.0	24C08	47	CDC	2014230	Actif	31/05/2006	30/05/2010	1	1343.00	450.00	Uranor inc.
400846446.0	24C08	47	CDC	2014231	Actif	31/05/2006	30/05/2010	1	1343.00	450.00	Uranor inc.
400846874.0	24C09	47	CDC	2014236	Actif	31/05/2006	30/05/2010	1	1343.00	450.00	Uranor inc.
400846875.0	24C09	47	CDC	2014237	Actif	31/05/2006	30/05/2010	1	1343.00	450.00	Uranor inc.
400846904.0	24C09	47	CDC	2014241	Actif	31/05/2006	30/05/2010	1	1343.00	450.00	Uranor inc.
400846905.0	24C09	47	CDC	2014242	Actif	31/05/2006	30/05/2010	1	1343.00	450.00	Uranor inc.
400848688.0	24C10	47	CDC	2014245	Actif	31/05/2006	30/05/2010	1	1343.00	450.00	Uranor inc.
400848689.0	24C10	47	CDC	2014246	Actif	31/05/2006	30/05/2010	1	1343.00	450.00	Uranor inc.
400848718.0	24C10	47	CDC	2014247	Actif	31/05/2006	30/05/2010	1	1343.00	450.00	Uranor inc.
400848719.0	24C10	47	CDC	2014248	Actif	31/05/2006	30/05/2010	1	1343.00	450.00	Uranor inc.
400845089.0	24C07	47	CDC	2052639	Actif	05/02/2007	04/02/2011	1	2764.00	450.00	Uranor inc.
400845090.0	24C07	47	CDC	2052640	Actif	05/02/2007	04/02/2011	1	2764.00	450.00	Uranor inc.
400845091.0	24C07	47	CDC	2052641	Actif	05/02/2007	04/02/2011	1	2764.00	450.00	Uranor inc.
400845092.0	24C07	47	CDC	2052642	Actif	05/02/2007	04/02/2011	1	2764.00	450.00	Uranor inc.
400845093.0	24C07	47	CDC	2052643	Actif	05/02/2007	04/02/2011	1	2764.00	450.00	Uranor inc.
400845094.0	24C07	47	CDC	2052644	Actif	05/02/2007	04/02/2011	1	2764.00	450.00	Uranor inc.
400845095.0	24C07	47	CDC	2052645	Actif	05/02/2007	04/02/2011	1	2764.00	450.00	Uranor inc.
400845096.0	24C07	47	CDC	2052646	Actif	05/02/2007	04/02/2011	1	2764.00	450.00	Uranor inc.
400845097.0	24C07	47	CDC	2052647	Actif	05/02/2007	04/02/2011	1	2764.00	450.00	Uranor inc.
400845118.0	24C07	47	CDC	2052648	Actif	05/02/2007	04/02/2011	1	2764.00	450.00	Uranor inc.
400845119.0	24C07	47	CDC	2052649	Actif	05/02/2007	04/02/2011	1	2764.00	450.00	Uranor inc.
400845120.0	24C07	47	CDC	2052650	Actif	05/02/2007	04/02/2011	1	2764.00	450.00	Uranor inc.
402535215.0	24C07	47	CDC	2052651	Actif	05/02/2007	04/02/2011	1	2764.00	450.00	Uranor inc.
400845121.0	24C07	47	CDC	2052652	Actif	05/02/2007	04/02/2011	1	2764.00	450.00	Uranor inc.
400845122.0	24C07	47	CDC	2052653	Actif	05/02/2007	04/02/2011	1	2764.00	450.00	Uranor inc.
400845123.0	24C07	47	CDC	2052654	Actif	05/02/2007	04/02/2011	1	2764.00	450.00	Uranor inc.
400845124.0	24C07	47	CDC	2052655	Actif	05/02/2007	04/02/2011	1	2764.00	450.00	Uranor inc.
400845125.0	24C07	47	CDC	2052656	Actif	05/02/2007	04/02/2011	1	2764.00	450.00	Uranor inc.
400846934.0	24C09	47	CDC	2052657	Actif	05/02/2007	04/02/2011	1	1208.00	450.00	Uranor inc.
400846935.0	24C09	47	CDC	2052658	Actif	05/02/2007	04/02/2011	1	1208.00	450.00	Uranor inc.
400846964.0	24C09	47	CDC	2052661	Actif	05/02/2007	04/02/2011	1	1208.00	450.00	Uranor inc.
400846965.0	24C09	47	CDC	2052662	Actif	05/02/2007	04/02/2011	1	1208.00	450.00	Uranor inc.
400846991.0	24C09	47	CDC	2052665	Actif	05/02/2007	04/02/2011	1	1208.00	450.00	Uranor inc.



Tableau 2 - Claims de Minowean 2008 couverts par une forte densité de travaux

Polygones	Snrc	Superficie	Type	No Claims	Statut	Possession	Expiration	Renouv.	Excédents	Travaux requis	Détenteur
400846992.0	24C09	47	CDC	2052666	Actif	05/02/2007	04/02/2011	1	1208.00	450.00	Uranor inc.
400848684.0	24C10	47	CDC	2052704	Actif	05/02/2007	04/02/2011	1	2764.00	450.00	Uranor inc.
400848685.0	24C10	47	CDC	2052705	Actif	05/02/2007	04/02/2011	1	1208.00	450.00	Uranor inc.
400848686.0	24C10	47	CDC	2052706	Actif	05/02/2007	04/02/2011	1	1208.00	450.00	Uranor inc.
400848687.0	24C10	47	CDC	2052707	Actif	05/02/2007	04/02/2011	1	1208.00	450.00	Uranor inc.
400848714.0	24C10	47	CDC	2052713	Actif	05/02/2007	04/02/2011	1	2764.00	450.00	Uranor inc.
400848715.0	24C10	47	CDC	2052714	Actif	05/02/2007	04/02/2011	1	1208.00	450.00	Uranor inc.
400848716.0	24C10	47	CDC	2052715	Actif	05/02/2007	04/02/2011	1	1208.00	450.00	Uranor inc.
400848717.0	24C10	47	CDC	2052716	Actif	05/02/2007	04/02/2011	1	1208.00	450.00	Uranor inc.
400848746.0	24C10	47	CDC	2052724	Actif	05/02/2007	04/02/2011	1	1208.00	450.00	Uranor inc.
400848747.0	24C10	47	CDC	2052725	Actif	05/02/2007	04/02/2011	1	1208.00	450.00	Uranor inc.
400848748.0	24C10	47	CDC	2052726	Actif	05/02/2007	04/02/2011	1	1208.00	450.00	Uranor inc.
400848749.0	24C10	47	CDC	2052727	Actif	05/02/2007	04/02/2011	1	1208.00	450.00	Uranor inc.
400848774.0	24C10	47	CDC	2052735	Actif	05/02/2007	04/02/2011	1	1208.00	450.00	Uranor inc.
400848775.0	24C10	47	CDC	2052736	Actif	05/02/2007	04/02/2011	1	1208.00	450.00	Uranor inc.
400848776.0	24C10	47	CDC	2052737	Actif	05/02/2007	04/02/2011	1	1208.00	450.00	Uranor inc.
400848777.0	24C10	47	CDC	2052738	Actif	05/02/2007	04/02/2011	1	1208.00	450.00	Uranor inc.
400848804.0	24C10	47	CDC	2052746	Actif	05/02/2007	04/02/2011	1	1208.00	450.00	Uranor inc.
400848805.0	24C10	47	CDC	2052747	Actif	05/02/2007	04/02/2011	1	1208.00	450.00	Uranor inc.
400848806.0	24C10	47	CDC	2052748	Actif	05/02/2007	04/02/2011	1	1208.00	450.00	Uranor inc.
400848807.0	24C10	47	CDC	2052749	Actif	05/02/2007	04/02/2011	1	1208.00	450.00	Uranor inc.
400844892.0	24C07	47	CDC	39841	Actif	24/09/2004	23/09/2010	2	22982.00	900.00	Uranor inc.
400844918.0	24C07	47	CDC	39844	Actif	24/09/2004	23/09/2010	2	23117.00	900.00	Uranor inc.
400844919.0	24C07	47	CDC	39845	Actif	24/09/2004	23/09/2010	2	23117.00	900.00	Uranor inc.
400844920.0	24C07	47	CDC	39846	Actif	24/09/2004	23/09/2010	2	23117.00	900.00	Uranor inc.
400844921.0	24C07	47	CDC	39847	Actif	24/09/2004	23/09/2010	2	22847.00	900.00	Uranor inc.
400844922.0	24C07	47	CDC	39848	Actif	24/09/2004	23/09/2010	2	23117.00	900.00	Uranor inc.
400844950.0	24C07	47	CDC	39851	Actif	24/09/2004	23/09/2010	2	23117.00	900.00	Uranor inc.
400844951.0	24C07	47	CDC	39852	Actif	24/09/2004	23/09/2010	2	23117.00	900.00	Uranor inc.
400844952.0	24C07	47	CDC	39853	Actif	24/09/2004	23/09/2010	2	23117.00	900.00	Uranor inc.
400844975.0	24C07	47	CDC	39854	Actif	24/09/2004	23/09/2010	2	23117.00	900.00	Uranor inc.
400844976.0	24C07	47	CDC	39855	Actif	24/09/2004	23/09/2010	2	23117.00	900.00	Uranor inc.
400844977.0	24C07	47	CDC	39856	Actif	24/09/2004	23/09/2010	2	23117.00	900.00	Uranor inc.
400844978.0	24C07	47	CDC	39857	Actif	24/09/2004	23/09/2010	2	23117.00	900.00	Uranor inc.
402535204.0	24C07	47	CDC	39858	Actif	24/09/2004	23/09/2010	2	23117.00	900.00	Uranor inc.
400845003.0	24C07	47	CDC	39859	Actif	24/09/2004	23/09/2010	2	23117.00	900.00	Uranor inc.
400845004.0	24C07	47	CDC	39860	Actif	24/09/2004	23/09/2010	2	23117.00	900.00	Uranor inc.
400845005.0	24C07	47	CDC	39861	Actif	24/09/2004	23/09/2010	2	23117.00	900.00	Uranor inc.
400845006.0	24C07	47	CDC	39862	Actif	24/09/2004	23/09/2010	2	23117.00	900.00	Uranor inc.
400845007.0	24C07	47	CDC	39863	Actif	24/09/2004	23/09/2010	2	23117.00	900.00	Uranor inc.
400845008.0	24C07	47	CDC	39864	Actif	24/09/2004	23/09/2010	2	23117.00	900.00	Uranor inc.
400845034.0	24C07	47	CDC	39865	Actif	24/09/2004	23/09/2010	2	23117.00	900.00	Uranor inc.
400845035.0	24C07	47	CDC	39866	Actif	24/09/2004	23/09/2010	2	23117.00	900.00	Uranor inc.
400845036.0	24C07	47	CDC	39867	Actif	24/09/2004	23/09/2010	2	23117.00	900.00	Uranor inc.
400845037.0	24C07	47	CDC	39868	Actif	24/09/2004	23/09/2010	2	23117.00	900.00	Uranor inc.



Tableau 2 - Claims de Minowean 2008 couverts par une forte densité de travaux

Polygones	Snrc	Superficie	Type	No Claims	Statut	Possession	Expiration	Renouv.	Excédents	Travaux requis	Détenteur
400845038.0	24C07	47	CDC	39869	Actif	24/09/2004	23/09/2010	2	23117.00	900.00	Uranor inc.
400845039.0	24C07	47	CDC	39870	Actif	24/09/2004	23/09/2010	2	23117.00	900.00	Uranor inc.
400844800.0	24C07	47	CDC	54486	Actif	03/02/2005	02/02/2011	2	5314.00	900.00	Uranor inc.
400844801.0	24C07	47	CDC	54487	Actif	03/02/2005	02/02/2011	2	5314.00	900.00	Uranor inc.
400844802.0	24C07	47	CDC	54488	Actif	03/02/2005	02/02/2011	2	4774.00	900.00	Uranor inc.
400844803.0	24C07	47	CDC	54489	Actif	03/02/2005	02/02/2011	2	5314.00	900.00	Uranor inc.
400844804.0	24C07	47	CDC	54490	Actif	03/02/2005	02/02/2011	2	5314.00	900.00	Uranor inc.
400844805.0	24C07	47	CDC	54491	Actif	03/02/2005	02/02/2011	2	5314.00	900.00	Uranor inc.
400844806.0	24C07	47	CDC	54492	Actif	03/02/2005	02/02/2011	2	4639.00	900.00	Uranor inc.
400844807.0	24C07	47	CDC	54493	Actif	03/02/2005	02/02/2011	2	4639.00	900.00	Uranor inc.
400844828.0	24C07	47	CDC	54494	Actif	03/02/2005	02/02/2011	2	5314.00	900.00	Uranor inc.
400844829.0	24C07	47	CDC	54495	Actif	03/02/2005	02/02/2011	2	5314.00	900.00	Uranor inc.
400844830.0	24C07	47	CDC	54496	Actif	03/02/2005	02/02/2011	2	5314.00	900.00	Uranor inc.
400844831.0	24C07	47	CDC	54497	Actif	03/02/2005	02/02/2011	2	5314.00	900.00	Uranor inc.
402535195.0	24C07	47	CDC	54498	Actif	03/02/2005	02/02/2011	2	5314.00	900.00	Uranor inc.
400844832.0	24C07	47	CDC	54499	Actif	03/02/2005	02/02/2011	2	5314.00	900.00	Uranor inc.
400844833.0	24C07	47	CDC	54500	Actif	03/02/2005	02/02/2011	2	5314.00	900.00	Uranor inc.
400844834.0	24C07	47	CDC	54501	Actif	03/02/2005	02/02/2011	2	5314.00	900.00	Uranor inc.
400844857.0	24C07	47	CDC	54502	Actif	03/02/2005	02/02/2011	2	5314.00	900.00	Uranor inc.
400844858.0	24C07	47	CDC	54503	Actif	03/02/2005	02/02/2011	2	5314.00	900.00	Uranor inc.
400844859.0	24C07	47	CDC	54504	Actif	03/02/2005	02/02/2011	2	5179.00	900.00	Uranor inc.
400844860.0	24C07	47	CDC	54505	Actif	03/02/2005	02/02/2011	2	5179.00	900.00	Uranor inc.
400844861.0	24C07	47	CDC	54506	Actif	03/02/2005	02/02/2011	2	5179.00	900.00	Uranor inc.
400844862.0	24C07	47	CDC	54507	Actif	03/02/2005	02/02/2011	2	5179.00	900.00	Uranor inc.
400844863.0	24C07	47	CDC	54508	Actif	03/02/2005	02/02/2011	2	5179.00	900.00	Uranor inc.
400844864.0	24C07	47	CDC	54509	Actif	03/02/2005	02/02/2011	2	5179.00	900.00	Uranor inc.
400844865.0	24C07	47	CDC	54510	Actif	03/02/2005	02/02/2011	2	5179.00	900.00	Uranor inc.
400844866.0	24C07	47	CDC	54511	Actif	03/02/2005	02/02/2011	2	4774.00	900.00	Uranor inc.
400844887.0	24C07	47	CDC	54512	Actif	03/02/2005	02/02/2011	2	5314.00	900.00	Uranor inc.
400844888.0	24C07	47	CDC	54513	Actif	03/02/2005	02/02/2011	2	5314.00	900.00	Uranor inc.
400844889.0	24C07	47	CDC	54514	Actif	03/02/2005	02/02/2011	2	5314.00	900.00	Uranor inc.
400844890.0	24C07	47	CDC	54515	Actif	03/02/2005	02/02/2011	2	5314.00	900.00	Uranor inc.
400844891.0	24C07	47	CDC	54516	Actif	03/02/2005	02/02/2011	2	5314.00	900.00	Uranor inc.
400844895.0	24C07	47	CDC	54517	Actif	03/02/2005	02/02/2011	2	5044.00	900.00	Uranor inc.
402535198.0	24C07	47	CDC	54518	Actif	03/02/2005	02/02/2011	2	5044.00	900.00	Uranor inc.
400844896.0	24C07	47	CDC	54519	Actif	03/02/2005	02/02/2011	2	4909.00	900.00	Uranor inc.
400844914.0	24C07	47	CDC	54520	Actif	03/02/2005	02/02/2011	2	5314.00	900.00	Uranor inc.
400844915.0	24C07	47	CDC	54521	Actif	03/02/2005	02/02/2011	2	5314.00	900.00	Uranor inc.
400844916.0	24C07	47	CDC	54522	Actif	03/02/2005	02/02/2011	2	5314.00	900.00	Uranor inc.
400844917.0	24C07	47	CDC	54523	Actif	03/02/2005	02/02/2011	2	5314.00	900.00	Uranor inc.
400844923.0	24C07	47	CDC	54524	Actif	03/02/2005	02/02/2011	2	4774.00	900.00	Uranor inc.
400844944.0	24C07	47	CDC	54526	Actif	03/02/2005	02/02/2011	2	5314.00	900.00	Uranor inc.
400844945.0	24C07	47	CDC	54527	Actif	03/02/2005	02/02/2011	2	5314.00	900.00	Uranor inc.
400844946.0	24C07	47	CDC	54528	Actif	03/02/2005	02/02/2011	2	5314.00	900.00	Uranor inc.
400844947.0	24C07	47	CDC	54529	Actif	03/02/2005	02/02/2011	2	5314.00	900.00	Uranor inc.



Tableau 2 - Claims de Minowean 2008 couverts par une forte densité de travaux

Polygones	Snrc	Superficie	Type	No Claims	Statut	Possession	Expiration	Renouv.	Excédents	Travaux requis	Détenteur
400844972.0	24C07	47	CDC	54532	Actif	03/02/2005	02/02/2011	2	5314.00	900.00	Uranor inc.
400844973.0	24C07	47	CDC	54533	Actif	03/02/2005	02/02/2011	2	5314.00	900.00	Uranor inc.
402535203.0	24C07	47	CDC	54534	Actif	03/02/2005	02/02/2011	2	5314.00	900.00	Uranor inc.
400844974.0	24C07	47	CDC	54535	Actif	03/02/2005	02/02/2011	2	5314.00	900.00	Uranor inc.
400844979.0	24C07	47	CDC	54536	Actif	03/02/2005	02/02/2011	2	4909.00	900.00	Uranor inc.
400845000.0	24C07	47	CDC	54539	Actif	03/02/2005	02/02/2011	2	5314.00	900.00	Uranor inc.
400845001.0	24C07	47	CDC	54540	Actif	03/02/2005	02/02/2011	2	5314.00	900.00	Uranor inc.
400845002.0	24C07	47	CDC	54541	Actif	03/02/2005	02/02/2011	2	5314.00	900.00	Uranor inc.
400845009.0	24C07	47	CDC	54542	Actif	03/02/2005	02/02/2011	2	5044.00	900.00	Uranor inc.
400845031.0	24C07	47	CDC	54545	Actif	03/02/2005	02/02/2011	2	5314.00	900.00	Uranor inc.
400845032.0	24C07	47	CDC	54546	Actif	03/02/2005	02/02/2011	2	5314.00	900.00	Uranor inc.
400845033.0	24C07	47	CDC	54547	Actif	03/02/2005	02/02/2011	2	5314.00	900.00	Uranor inc.
400845040.0	24C07	47	CDC	54548	Actif	03/02/2005	02/02/2011	2	4909.00	900.00	Uranor inc.
400845059.0	24C07	47	CDC	54550	Actif	03/02/2005	02/02/2011	2	5314.00	900.00	Uranor inc.
400845060.0	24C07	47	CDC	54551	Actif	03/02/2005	02/02/2011	2	5314.00	900.00	Uranor inc.
400845061.0	24C07	47	CDC	54552	Actif	03/02/2005	02/02/2011	2	5044.00	900.00	Uranor inc.
400845062.0	24C07	47	CDC	54553	Actif	03/02/2005	02/02/2011	2	5044.00	900.00	Uranor inc.
400845063.0	24C07	47	CDC	54554	Actif	03/02/2005	02/02/2011	2	4909.00	900.00	Uranor inc.
400845064.0	24C07	47	CDC	54555	Actif	03/02/2005	02/02/2011	2	5044.00	900.00	Uranor inc.
400845065.0	24C07	47	CDC	54556	Actif	03/02/2005	02/02/2011	2	4909.00	900.00	Uranor inc.
400845066.0	24C07	47	CDC	54557	Actif	03/02/2005	02/02/2011	2	4909.00	900.00	Uranor inc.
400845067.0	24C07	47	CDC	54558	Actif	03/02/2005	02/02/2011	2	4774.00	900.00	Uranor inc.



**Tableau 3 :**

Claims de Minowean 2008 couverts par  
des travaux de détail

Tableau 3 - Claims de Minowean 2008 couverts par des travaux de détail

Polygones	Snc	Superficie	Type	No Claims	Statut	Possession	Expiration	Renouv.	Excédents	Travaux requis	Détenteur
400844893	24C07	47	CDC	39842	Actif	24/09/2004	23/09/2010	2	22577.00	900.00	Uranor inc.
400844894	24C07	47	CDC	39843	Actif	24/09/2004	23/09/2010	2	22847.00	900.00	Uranor inc.
400844948	24C07	47	CDC	39849	Actif	24/09/2004	23/09/2010	2	23117.00	900.00	Uranor inc.
400844949	24C07	47	CDC	39850	Actif	24/09/2004	23/09/2010	2	23117.00	900.00	Uranor inc.

**Tableau 4 :**  
Échantillons de terrain Minowean 2008  
(et analyses suggérées)



Tableau 4 - Échantillons de terrain Minowean 2008 (et analyses suggérées)

No éch.	Code	Formation	Lithologie	Texture	Déformation	Altération	Minéralisation	SPP gamma	Spectrométrie				Collection	Grès 4A- Exploration	Gabbro, basalte 4E- Exploration	Argilite, siltite TraceEl 4B2- Research	Argilite, siltite 4 Lithoresearch	DRX	Commentaire			
									U, ppm	Th, ppm	K, ppm	TR								TE	LM	LP
1908-4025/1	1801	Montagnais	basalte schisteux	aphanéritique		silicification		90														
1908-4030/1	1802	Montagnais	basalte	aphanéritique			Pyrite	15														
1908-4034/1	1803	Quaternaire	argilite																			
1908-4035/1	1804	Quaternaire	ter rubané																			
1908-4036/1	1805	Montagnais	basalte	aphanéritique				15														
1908-4037/1	1806	Montagnais	basalte	aphanéritique				80														
1908-4037/2	1807	Montagnais	zone schisteuse					15														
1908-4037/3	1808	Montagnais	basalte	aphanéritique				80														
1908-4038/1	1809	Montagnais	gabbro	phanéritique		serpentinisation		15														
1908-4039/1	1810	Lace Lake	argilite				chlorite sur les plans de Sx	50														
1908-4040/1	1811	Montagnais	gabbro	phanéritique		saussurisation		20														
1908-4042/1	1812	Montagnais	zone schisteuse	phanéritique				60														
1908-4046/1	1813	Lace Lake	argilite				pyrite	100														
1908-4047/1	1814	Lace Lake	argilite					100														
1908-4049/1	1815	Lace Lake?	arénite à wacke lithique					100	0.6	3.6	1.3											
1908-4050/1	1816	Lace lake?	siltite					100														
1908-4050/2	1817	Lace Lake?	siltite																on identifie des clastes dans cette roche tectonisée, etude lame mince pour identification du protholithe			
1908-4051/1	1818	Quaternaire	argilite					110	0.8	5.8	1.8											
1908-4052/1	1819	Quaternaire	argilite ou basalte schisteux					100														
1908-4053/1	1820	Quaternaire	roche lessivée teinte rouge brique (blocs)					40														
1908-4053/2	1821	Quaternaire	argilite ou basalte schisteux					90	0.1	4.7	1.3											
1908-4054/1	1822	Lace Lake	siltite					85														
1908-4056/1	1823	Alder	zone schistose/argilisée ds arénite quartzéuse					110	0	6.8	2.2								identification de l'altération très prononcée ici ( onretourne d'ailleurs une alteration semblable mais de plus faible puissance dans des fractures au sein de l'arénite quartzéuse au SE du Lac Minowean à proximité du camp			
1908-4060/1	1824	Alder	siltite alt niv. Noirs à rouge / violacée					110														
1908-4060/2	1825	Alder	veine de quartz					40														
1908-4066/1	1826	Montagnais	gabbro	phanéritique																		
1908-4067/1	1827	Montagnais	gabbro	phanéritique																		
1908-4068/1	1828	Montagnais	gabbro	phanéritique																		
1908-4078/1	1829	Lace Lake	argilite					90	2.5	3.7	1.2								Radiométrie 60 avec l'échantillon en main			
1908-4085/1	1830	Montagnais	gabbro	phanéritique		saussurisation	Py, Cpy et Hm												échantillon pour détermination minéralogique à la loupe			
1908-4085/2	1831	Montagnais	gabbro	phanéritique		saussurisation	Cpy, Cc et elements gabbro												zone bréchique			
1908-4086/1	1832	Montagnais	gabbro	phanéritique		saussurisation		10											zone broyée			
1908-4086/2	1833	Montagnais	gabbro, altéré blanchi	phanéritique		saussurisation	amphiboles												prévoir analyse éventuellement			
1908-4087/1	1834	Alder	arénite quartzéuse à matrice dolomitique, à grain de quartz noirs			alteration carbonnée		10						X					Lame mince pour étude des relations entre l'altération carbonnée, les grains et la matrice. Analyse chimique pour éléments en tracer qui peuvent être associés			
1908-4089/1	1835	Alder	arénite quartzéuse à matrice dolomitique, à grain de quartz noirs			alteration carbonnée		10						X					Lame mince pour étude des relations entre l'altération carbonnée, les grains et la matrice. Analyse chimique pour éléments en tracer qui peuvent être associés, échantillon le plus sombre pour lame mince			
1908-4090/1&2	1836	Alder	arénite quartzéuse à matrice dolomitique, à grain de quartz noirs? Plus fragment d'une zone avec matière carbonnée et pyrite ( suivant une fracture)			alteration carbonnée		10											éventuellement analyse sur a partir riche en matière carbonnée			
1908-4098/1	1837	Alder	arénite quartzéuse à matrice dolomitique					15											fragments d'une zone cisailés avec critère senestre marqué par zones schisteuses autour d'un claste d'arénite quartzéuse avec grain de quartz noir			
1908-4100/1	1838	Alder	arénite quartzéuse à matrice dolomitique			altération carbonnée		10						X					étude diffusion de l'altération carbonnée dans l'arénite, plus dolomitisation			
1908-4101/1	1839	Alder	arénite quartzéuse à matrice dolomitique			altération carbonnée		10														
1908-4104/1	1840	Alder	arénite quartzéuse à matrice dolomitique																roche recrétalisée			
1908-4106/1	1841	Alder	arénite quartzéuse à matrice dolomitique			dolomitisation		20											on remarque une diffusion progressive de la dolomitisation dans l' arénite,			
1908-4107/1	1842	Alder	grès à cailloux					20											matrice dolomitique abondante, crtx pyrite automorphe et elements ovoïdes de dolomie ou d'argilite			
1908-4108/1	1843	Alder	grès dolomitique bréchifié					100											grès dolomitique avec par endroits une teinte plus sombre, mise en jeu fluides carbonés			
1908-4108/2	1844	Alder	chert beige et noir avec hématitisation					100														
1908-4108/3	1845	Alder	produits jaunes de la zone minéralisée			zone rouillé en surface		3200														
1908-4109/1	1846	Montagnais	gabbro	phanéritique		saussurisation		10														
1908-4110/1	1847	Montagnais	gabbro	phanéritique		saussurisation		10											éch. Orientée, N100E60W, avec mx phylliteux sur les plans			
1908-4111/1	1848	Montagnais	gabbro	phanéritique		saussurisation		15														
1908-4112/1	1849	Montagnais	gabbro	phanéritique				10											roche prélevé à proximité zone cisailée			
1908-4112/2	1850	Montagnais	gabbro	phanéritique				10											gabbro sans déformation			
1908-4114/1	2451	Lace Lake	siltite																			
1908-4120/1	2452?		grès					20											échantillon sur un bloc, roche non schistose			
1908-4120/2	2453?		grès					20											échantillon sur un bloc, équivalent schistose du grès			
1908-4122/1	2454?		gabbro					10											roche sub en place voir probablement un bloc, roche cisailée/broyée avec de la pyrite			
1908-4130/1	2455	Alder	arénite quartzéuse					30											degré de recrétalisation variable sur l'affleurement.			
1908-4130/2	2456	Alder	gabbro					30											dyke de microgabbro			
1908-4139/1	2457	Alder	arénite quartzéuse à matrice dolomitique noir					50														
1908-4139/2	2458	Alder	arénite recrétalisée					50														
1908-4139/3	2459	Alder	quartzite rose					50														
1908-4143/1	2460	Quaternaire	blocs de grès fin très recrétalisée					175	1	3.1	1.2											
1908-4144/1	2461	Quaternaire	granitoïde (bloc)					70											échantillon pour confirmation Pétro à la loupe			
1908-4146/1	2462	Quaternaire	granitoïde (bloc)					65														
1908-4148/1	2463	Quaternaire	granitoïde (bloc)					80														
1908-4148/2	2464	Quaternaire	roche très altérée au sein du till					80														
1908-4152/1	2465	Quaternaire	grès quartzéux					70											peut être litho de la formation de chakonipau			
1908-4153/1	2466	Quaternaire	grès arkosique					70														
1908-4154/1	2467	Quaternaire	à verrier																			
1908-4155/1	2468	Quaternaire	à verrier																			
1908-4165/1	2469	Quaternaire	arkose (blocs)					300											présence de nodules recrétalisés de silice			
1908-4171/1	2470	Montagnais	cataclasisite mylonitisée de gabbro					20											contact entre Lace Lake et Montagnais			
1908-4176/1	2471	Alder	wacke quartzéuse à matrice dolomitique (30%) (bloc)					15														
1908-4177/1	2472	Alder	arénite quartzéuse à matrice dolomitique					10											zone très dolomitisée et silicifiée			
1908-4178/1	2473	Alder	arénite quartzéuse à matrice dolomitique					10											arénite avec grain de qtz noir, toujours deux populations de grains mais lame mince pour identifier d'éventuelles différences de textures avec les formation de l'autre flanc du synclinal			









Tableau 4 - Échantillons de terrain Minowean 2008 (et analyses suggérées)

1908-6048/1	2038	Alder 4c	Dolomite									X	X						
1908-6048	2037	Alder 4c	Sandstone									X	X						
1908-6047/1	2036	Alder 4c	Sandstone									X	X						
1908-6046/2	2035	Alder 4c	Sandstone									X	X						
1908-6046/1	2034	Alder 4c	Dolomite									X	X						
1908-6041/1	2033	Alder 4a	breccia									X	X						
1908-6040/2	2032	Alder 4a	breccia									X	X						
1908-6040/1	2031	Alder 4a	Sandstone									X	X						
1908-6039/3	2030	Alder 4a	grès quartzeux									X	X						
1908-6039/2	2029	Alder 4a	breccia									X	X						
1908-6039/1	2028	Alder 4a	Sandstone									X	X						
1908-6037/2	2027	Alder 4a	Sandstone									X	X						
1908-6037/1	2026	Alder 4a	Sandstone									X	X						
1908-6030/1	2025	Alder 4a	Sandstone									X	X						
1908-6028/3	2024	Alder 4c	breccia									X	X						
1908-6028/2	2023	Alder 4c	Sandstone									X	X						
1908-6028/1	2022	Alder 4c	Sandstone									X	X						
1908-6025/2	2021	Alder 4c	Sandstone									X	X						
1908-6025/1	2020	Alder 4c	Sandstone									X	X						
1908-6023/1	2019	Alder 4c	Sandstone									X	X						
1908-6022/2	2018	Alder 4c	grès quartzeux									X	X						
1908-6022/1	2017	Alder 4c	Siltstone		schisteux							X	X						
1908-6020	3120	Alder 4d	Dolomite									X	X						
1908-6017	2016	Montagneis	basalte									X	X						
1908-6015/2	2015	Alder 4a	ardite quartz.									X	X						
1908-6015/1	2014	Alder 4a	ardite quartz.									X	X						
1908-6013	2013	Montagneis	gabbro									X	X						

**Tableau 5 :**  
Résultats d'analyse chimique  
des rainurages





**Tableau 6 :**  
Vérification des cibles aérogéophysiques  
anomaliques Minowean 2008





Tableau 6 - Vérification des cibles aérogéophysiques anormales Minowean 2008

Spectromètre utilisé	U (ppm)	Th (ppm)	K (%)	Référence	Altération(s)	Minéralisation(s)	Type de structure 1	Azimuth 1	Pendage / Plongée 1	Référence 1	Type de structure 2	Azimuth 2	Pendage / Plongée 2	Référence 2	Type de structure 3	Azimuth 3	Pendage / Plongée 3	Référence 3	Echantillon(s)	Photo(s)	
																					11401908-22.08-4299-1reconnaissance anomalie géophysique.JPG
																					11401908-22.08-4298-1Anomalie géophysique.JPG
																					11401908-21.08-4294-1EskerAnomalie géophysique.JPG
																					11401908-21.08-4291-2Affleurement.JPG
																					11401908-21.08-4290-1Affleurement.JPG
																					11401908-21.08-4288-2Anomalie géophysique.JPG
							schistosité		165.85W		lente de tension (mesure du grand axe)		110.60S								4270-1 orienté de basalte
																					11401908-23.08-4305-1reconnaissance anomalie géophysique.JPG
																					11401908-23.08-4304-1reconnaissance anomalie géophysique.JPG
							schistosité		170.70E												11401908-15.08-4268-1Anomalie géophysique.JPG
																					11401908-15.08-4267-1Anomalie géophysique.JPG
																					11401908-27.07-4158-1Champ_bloc_anomalie_geophy.JPG
					pyrite limonitisée	pyrite fréquente et quartz fumé															11401908-27.07-4157-1Champ_bloc_anomalie_geophy.JPG
					Chloritisation		Schistosité S1	340	63	Basalte	Clivage S2	340	85	Basalte	Micro-pli	N180-N340 (sub-horizontale)				19/08/3204	114019-27 juillet 2008-19-08-3204/1, /2 /3 et /4
					Albitisation (gabbro)	Traces de sulfures (pyrite)	Faïlle	340	60	Gabbro	Faïlle	345	80	Gabbro	Stries	340	20	Gabbro		19-08-3203/1	114019-27 juillet 2008-19-08-3203/1, /2 et /3
					Albitisation (gabbro)	Traces de sulfures (pyrite)															
					Chloritisation	Traces de sulfures															
					Chloritisation Chloritisation	Traces de sulfures Traces de sulfures															19-08-3197/1
					Chloritisation	Traces de sulfures															
					Chloritisation	Traces de sulfures															



Tableau 6 - Vérification des cibles aérogéophysiques anormales Minowean 2008

Spectromètre utilisé	U (ppm)	Th(ppm)	K(%)	Référence	Altération(s)	Minéralisation(s)	Type de structure 1	Azimuth 1	Pendage / Plongée 1	Référence 1	Type de structure 2	Azimuth 2	Pendage / Plongée 2	Référence 2	Type de structure 3	Azimuth 3	Pendage / Plongée 3	Référence 3	Échantillon(s)	Photo(s)	
					Chloritisation	Traces de sulfures														114019-23 Juillet 2008-19-08-3181/1	
					Chloritisation	Traces de sulfures															
					Chloritisation	Traces de sulfures															
					Chloritisation	Traces de sulfures															
					Chloritisation	Traces de sulfures	Schistosité S1	355	70	Basalte	Clivage S2	330	65								114019-23 Juillet 2008-19-08-3177/1, /2 et /3
					Chloritisation	Traces de sulfures															
					Chloritisation	Traces de sulfures															
					Chloritisation	Traces de sulfures															
					Sericitisation et/ou chloritisation	Trace de sulfures															114019-22 Juillet 2008-19-08-3172/1
					Sericitisation et/ou chloritisation	Trace de sulfures															114019-22 Juillet 2008-19-08-3171/1
					Sericite	Trace de sulfures	Schistosité de plan axial	150	90												19-08-3170/1
					Sericitisation et/ou chloritisation	Trace de sulfures															19-08-3169/1
					Sericitisation et/ou chloritisation	Trace de sulfures															114019-22 Juillet 2008-19-08-3168/1
					Chloritisation, albitisation	Pyrite	Schistosité S1														
Super-Spec RS 125	0.6	6.2	1.5	Basalte							Basalte										19-08-3080/1 a 300cps
Super-Spec RS 125	0	3	1.7	Basalte			Schistosité S1	350	55	Basalte											
						Trace de sulfures (pyrite)	Schistosité S1	350	60	Basalte											
					Chloritisation et silicification		Schistosité				Argilite										19-08-4053/1 & /2
																					114019-8 juillet 2008-19-08-4053/1
					chloritisé et silicifié		Schistosité				Argilite										19-08-4051/1
						Biotite dans granite	Schistosité S1	170	90												19-08-4049/1
						Trace de sulfures (pyrite)	Schistosité S1	190	90	Basalte											
						Trace de sulfures (pyrite)															
					Sericitisation		Schistosité S1	0	30	Basalte											
					Sericitisation (basalte) et hematite (quartz)		Veine de quartz hematisee	155	90	Quartz											
					Sericitisation (basalte), hematitisation (BIF)																
					Sericitisation (basalte)																
					Sericitisation (basalte)	Traces de pyrite et magnetite															
					Sericitisation (basalte)	Traces de pyrite et magnetite															
					Sericitisation (basalte)	Traces de pyrite et magnetite															
					Sericitisation (basalte)	Traces de pyrite et magnetite															
					Sericitisation (basalte)	Traces de pyrite et magnetite															



Tableau 6 - Vérification des cibles aérogéophysiques anormales Minowean 2008

No. Anomalie Aérospectrométrie	U(max) cps	Th(max) cps	K (max) cps	Total count (max) cps	Mag (nT)	Coordonnée NAD83 Nordant	Coordonnée NAD83 Estant	No. Station géologique	Date vérification	Affileurement ou Bloc	Description de(s) la lithologie(s)	Lithologie A	CouleurA	Lithologie B	CouleurB	Lithologie C	CouleurC	Radiomètre utilisé	Radiométrie Bruit de fond (cps)	Radiométrie Maximum (cps)	Référence	Commentaire-Radiométrie	No. Anomalie Aérospectrométrie
136	17.32936	17.45706	70.00878	765.56250	75.66761	6261307.3400	533570.0800	1908-3162	21 Juillet 2008	Blocs	Champ de blocs avec basalte et gres dolomitique (blocs anguleux de taille plurimetrique.	Basalte	Gris foncé	Gres	Brun-beige			Gamma	100	140		Radiometrie la plus elevee reliee au basalte schisteux	136
137	8.04373	9.11262	52.63510	436.33440	-29.85940																		137
138	9.28498	16.82586	84.56283	846.99520	82.03076	6259976.0000	532387.0000	1908-3094	9 Juillet 2008	Blocs	Champ de blocs de basaltes et dolomie rose a moins de 100m d'une anomalie geophysique	Basalte	Gris foncé	Dolomie	Gris moyen			SPP2	60	250	Basalte	Max dans un basalte schisteux	138
139	10.01765	17.56536	106.95190	823.15830	211.14430																		139
140	5.42104	17.18692	107.84490	782.74510	383.77930																		140
141	8.94188	18.83067	66.14435	633.57050	135.55360	6259510.5047	528219.7364		19 Juillet 2008	Quatemaire	Aucun affileurement au point correspondant a cette anomalie geophysique. Verification effectuee par SPP G							Gamma	35	50			141
142	19.67490	24.94373	62.99168	730.32950	120.64960	6259626.9410	528977.8016		19 Juillet 2008	Quatemaire	Aucun affileurement au point correspondant a cette anomalie geophysique. Verification effectuee par SPP G							Gamma	55	60			142
143	18.76641	25.69098	49.60708	697.87380	76.09390	6258887.3016	527732.3016		19 Juillet 2008	Quatemaire	Aucun affileurement au point correspondant a cette anomalie geophysique. Verification effectuee par SPP G							Gamma	65	75			143
144	19.45842	22.73822	66.60172	883.86060	80.39393	6257989.8843	527863.2521		19 Juillet 2008	Quatemaire	Aucun affileurement au point correspondant a cette anomalie geophysique. Verification effectuee par SPP G							Gamma	60	60			144
145	16.20249	17.13488	67.84228	723.10600	89.74281																		145
146	13.01378	18.22089	57.43538	631.56580	87.91913																		146
147	12.76816	13.38046	89.76564	707.91020	-11.87587																		147
148	25.57624	6.18159	11.85107	561.18080	75.86126	6255593.3200	527778.1200	1908-3119	12 Juillet 2008	Affileurement	Grès quartzeux dolomitique	Grès	Gris foncé					Gamma	25	200	Grès	Dans la zone indicielle	148
149	6.48481	19.80254	69.87612	690.84780	75.53077																		149
150	10.18853	23.48669	88.55627	846.51830	87.50722																		150
151	22.39661	15.10824	34.28909	534.42330	87.75737																		151
152	13.00691	21.43297	96.65489	808.50040	44.49998	6254534.0000	525085.0000	1908-4234	11-Aug-08	Blocs	Champ de blocs métriques (siltite rouge 80% et grès rouges 20 %). Peu de mousse mais aulnes denses sur la zone de blocs	Siltite	Rouge	Grès	Rouge			Gamma	30	100	Siltite	Max. dans la siltite	152
153	6.19569	18.66848	80.89582	645.94340	39.45529	6254076.0000	525193.0000	1908-4233	11-Aug-08	Blocs	Zone de bloc et fil Bloc métriques subaffleureants, sub anguleux à sub arrondis, épars. Dans le till mélange de bloc décimétriques, d'argilite/siltite noir, grès rouge et de siltite rouge. Couvert végét	Siltite	Noir	Grès	Rouge	Siltite	Rouge	Gamma	60	120	Siltite	Max. dans la siltite	153
154	47.53620	9.54955	20.24233	883.47410	73.57741																		154
155	17.64649	23.37160	83.53017	782.34150	59.91280																		155
156	15.95435	21.93981	108.72340	922.11550	35.43177																		156
157	17.06713	19.35665	80.81076	790.01490	89.25728	530624.0000	6252758.0000	1908-4222	9 Aout 2008	blocs	champ de blocs totale masqué par la végétation, dense sur la zone ( aulnes et thé du Labrador)							Gamma	50	70			157
158	15.73431	10.87340	85.04973	805.40980	73.33033	6252610.0000	530531.0000	1908-4221	9 Aout 2008	blocs	champ de bloc métriques à plurimétriques anguleux à sub anguleux lithologie variés: siltites, basaltes, et arénites quartzueuses							Gamma	60	120			158
159	15.99219	17.10928	105.65620	780.34680	69.19653																		159
160	17.67424	21.63154	86.22057	821.03020	54.94535	6251201.5660	532020.1059	1908-1098	15 Juillet 2008	Affileurement	Siltite a texture schistosee moyenne, affileurement mal expose et difficile a evaluer l'ensemble de la structure et de la lithologie.	Siltite	Gris foncé					Gamma	55	60	S		160
161	16.90250	18.07379	80.63394	801.37700	48.82167																		161
162	14.40346	26.22459	88.05863	883.17690	17.30157																		162
163	17.26796	24.22571	110.02130	961.44040	48.54125																		163
164	16.42434	15.52150	106.89760	875.80170	51.66718																		164
165	9.37955	20.43950	100.27620	827.41670	47.38388	6250402.4487	532326.1422	1908-1099	15 Juillet 2008	Affileurement	Affileurement de siltite a texture schistosee avec par endroit alteration hematite faible a moyen, et debit en fines	Siltite	Gris foncé					Gamma	70	85	Siltite		165
166	16.30473	23.70571	95.36224	893.29060	32.44168	6250506.5175	533545.7108	1908-3138	16 Juillet 2008	Quatemaire	Aucun affileurement visible dans un rayon de 100m. Verification effectuee par SPP G.							Gamma	65	70			166
167	15.54006	13.59883	87.26854	782.84120	56.90436																		167
168	16.89913	29.47346	124.11780	1164.33500	36.96064	6249720.0000	533531.0000	1908-3136	16 Juillet 2008	Blocs	Champ de blocs de gres quartzitique et dolomie et de siltite.	Siltite	Gris foncé	Gres	Brun-beige	Dolomie	brun-sombre	Gamma	100	110		Le bruit de fond augmente un peu, mais difficile de dire si ca vient des blocs sur le dessus, ou de quelque chose en-dessous	168
169	12.94336	15.16680	106.73770	870.40540	46.19835																		169
170	14.27118	18.42263	78.84049	702.77380	47.35467																		170
171	16.65218	30.00252	113.76880	1105.17700	40.26965	8249585.0950	533431.9759		16 Juillet 2008	Quatemaire	Aucun affileurement visible dans un rayon de 100m. Verification effectuee par SPP G.							Gamma	70	80			171
172	12.80619	24.86715	78.65910	824.68400	41.64892	8249004.0333	533429.1393		16 Juillet 2008	Quatemaire	Aucun affileurement visible dans un rayon de 100m. Verification effectuee par SPP G.							Gamma	65	70			172
173	15.50648	30.51912	120.50570	951.39070	40.18289	8248829.5388	533602.8050		16 Juillet 2008	Quatemaire	Aucun affileurement visible dans un rayon de 100m. Verification effectuee par SPP G.							Gamma	75	100			173
174	18.13313	21.74817	85.77339	849.87190	34.60009	8248680.2292	534280.2011		16 Juillet 2008	Quatemaire	Aucun affileurement visible dans un rayon de 100m. Verification effectuee par SPP G.							Gamma	55	65			174
175	17.41847	21.49391	110.51960	1040.81600	47.35680	6248402.0000	533497.0000	1908-3135	16 Juillet 2008	Blocs	Siltite rouge (hematisee) a moins de 60m d'une anomalie geophysique	Siltite	Rouge foncée					Gamma	80	150	Siltite	150 cps avec un effet de masse	175
176	22.38934	17.95475	76.12984	876.29390	39.53647	6248419.0000	533740.0000	1908-3136	16 Juillet 2008	Affileurement	Siltite avec patine d'alteration gris clair a moins de 40m d'une anomalie geophysique	Siltite	Gris foncé					Gamma	55	70	Siltite		176

Tableau 6 - Vérification des cibles aérogéophysiques anormales Minowean 2008

Spectromètre utilisé	U (ppm)	Th (ppm)	K (%)	Référence	Altération(s)	Minéralisation(s)	Type de structure 1	Azimuth 1	Pendage / Plongée 1	Référence 1	Type de structure 2	Azimuth 2	Pendage / Plongée 2	Référence 2	Type de structure 3	Azimuth 3	Pendage / Plongée 3	Référence 3	Échantillon(s)	Photo(s)	
					Sericitisation (basalte)	Traces de pyrite et magnétite															
											Basalte										
					Dolomitisation/Carbonatation																
							Litage	225	50	Siltite											
					Hématite		Clivage	N300	51	Siltite	Clivage	131	40	Siltite	Schistosité	275	75	Siltite		114019-15 Juillet 2008-99	
					Hématite Chloritisation	Hématite Chlorite et pyrite	Schistosité S1	340	70	Siltite	Litage S0	355	20	Siltite						19-08-3135/1	114019-16 Juillet 2008-19-08-3136/1 et 72



**ANNEXE III**  
TABLEAU SYNOPTIQUE  
DES TRAVERSESES  
GÉOLOGIQUES  
DE MINOWEAN 2008





Tableau 7 - Tableau synoptique des traverses géologiques de Minowean 2008

Tableau 4- Tableau synoptique des stations géologiques été 2008																														
No. Station géologique	Date	Coord. NAD83 Nordant	Coord. NAD83 Estant	Affleurement ou Bloc	Description de(s) la lithologie(s)	Lithologie A	Couleur A	Lithologie B	Couleur B	Lithologie C	Couleur C	Lithologie D	Couleur D	Lithologie E	Couleur E	Radiomètre utilisé	Rad. Brut de fond (cps)	Rad. Max. (cps)	Altération(s)	Minéralisation(s)	Type de structure 1	Azimuth 1	Pendage/ Plongée 1	Réf. 1	Type de structure 2	Azimuth 2	Pendage/ Plongée 2	Réf. 2	Type de structure 3	Azimuth 3
1908-1085	12-Jul-08	529401	6252341	Outcrop	Grains non-jointifs, Présence de veinules de quartz, Contient des traces de carbonates.	Grès quartzeux										SPP gamma	10	25	Silicification; Zone locale d'hématitisation	Minéralogie: Quartz fumés dû à la silicification.	Vein, Sill	315	81	Grès quartzeux						
1908-1086	12-Jul-08	529664	6252390	Outcrop	Grès quartzeux: Grains non-jointifs, Présence de veinules de quartz, Contient des traces de carbonates.	Grès quartzeux		Grès dolomitique								SPP gamma	15	20	grès quartzeux: Silicification; Zone locale d'hématitisation	Minéralogie: Quartz fumés dans les 2 lithologies.										
1908-1087	12-Jul-08	529664	6252329	Outcrop	Grès quartzeux: Grains non-jointifs, Présence de veinules de quartz, Contient des traces de carbonates; Grès Dolomitique: Grains non-jointifs. Il semble avoir des injections de la lithologie 1.	Grès quartzeux		Grès dolomitique								SPP gamma	15	20	grès quartzeux: Silicification; Zone locale d'hématitisation	Minéralogie: Quartz fumés dans les 2 lithologies. Contact net mais non-linéaire. Affleurement mal exposé.										
1908-1088	12-Jul-08	529767	6252543	Outcrop	Avec quelques grains de quartz moyens. Grains forment foliation.	Dolomie										SPP gamma	25	65	Quelques altération de rouille.	Contact avec parcelle de gabbro à grains fins. Veinules de serpentine	Faille	137	81	Dolomie	Stries de faille	225	85	Dolomie		
1908-1089	12-Jul-08	530208	6252509	Outcrop		Schiste										SPP gamma	45	140	Oxydation; Suivant plans de schistosité.		Cleavage (s1)	281	61	Schiste	Vein, Sill	331	85	Schiste		
1908-1090	12-Jul-08	531619	6252612	Outcrop	Réaction vive avec poudre.	Dolomie										SPP gamma	20	45		Affleurement très peu exposé.	Plan de clivage	315	70	Dolomie						
1908-1091	12-Jul-08	531717	6252325	Outcrop	Réaction vive au HCl avec de la poudre.	Dolomie										SPP gamma	25	50		Veine de calcite suivant la schistosité d'une dimension de 20cm.										
1908-1092	13-Jul-08	530112	6252217	Outcrop	On entrevoit quelques petites veines sans aucune direction générale.	Dolomie										SPP gamma	10	25			Stries de faille	70	68	Dolomie						
1908-1093	13-Jul-08	530135	6251970	Outcrop	On observe 2 différentes textures des grains de quartz. Grains de quartz: moyen, non-jointifs, arrondis. Grains de silice?: grossiers, flottant dans la matrice, sub-arrondis à sub-anguleux.	Grès dolomitique										SPP gamma	10	20		Minéralogie: Quartz noirs.										
1908-1094	13-Jul-08	530223	6251775	Outcrop	Présence de clastes de dolomie grise stockwerk de dimension cm2 à dm2. (brèche hydraulique)	Grès dolomitique										SPP gamma	15	20												
1908-1095	15-Jul-08	529209	6251715	Outcrop		Dolomie		Grès quartzeux								SPP2	20	25	Grès quartzeux: Silicification	Zone intermédiaire des 2 lithologies se présente sous forme d'une brèche hydraulique. Quelques horizons schisteux avec une plus grande présence de veines et d'amas de quartz.	Cleavage (s1)	2	51	Dolomie						
1908-1096	15-Jul-08	530190	6251217	Outcrop	Grès dolomitique: Grains jointifs. Lithologie peu poreuse; Grès quartzeux: Silicification forte. Portion de l'affleurement de la lithologie en question se poursuit en veine.	Grès dolomitique		Grès quartzeux								SPP2	25	30	Grès dolomitique: hematite alteration	Dans la partie supérieure de l'affleurement, veines de quartz suivant les petits lits.	Stratification (S0)	285	33	Grès dolomitique						
1908-1097	15-Jul-08	530374	6251182	Outcrop	Présence de débris d'argilite sub-anguleux à anguleux de dimension moyenne. Réaction à l'acide faible et localisée. Phase de silicification.	Grès quartzeux										SPP2	20	25		Minéralogie: Pyrite en cube en trace.										
1908-1098	15-Jul-08	532020	6251202	Outcrop	On est capable encore de distinguer quelques grains fins.	Grès quartzeux										SPP2	55	60		Affleurement mal exposé.	Cleavage (s1)	225	65	Grès quartzeux						
1908-1099	15-Jul-08	532326	6250403	Outcrop		Sillite										SPP2	70	85	hematite alteration		Cleavage (s1)	300	51	Sillite	Cleavage (s1)	131	40	Sillite	Cleavage (s1)	275
1908-1115	19-Jul-08	526343	6252497	Outcrop	Grains non-jointifs. Proportion de matrice beaucoup plus élevée que celle des grains. Il semble silicifié à quelques endroits.	grès dolomitique										SPP gamma	15	20		Minéralogie: Silice en grains arrondis centimétrique.										
1908-1116	19-Jul-08	526422	6252413	Outcrop	Grains non-jointifs. Phase de silicification sur quelques endroits. Débris de dolomie massive parmi les grains de quartz. %matrice > %grains	Grès dolomitique										SPP gamma	11	17												
1908-1117	19-Jul-08	526515	6252256	Outcrop	Grains non-jointifs. Phase de silicification sur quelques endroits. Présence de quelques grains arrondis de quartz. Injection de la dolomie sous forme de fil non-linéaire. Boudinage dans la zone d'altération des injections.	Grès dolomitique										SPP gamma	13	20	Limonitisation et Hématitisation faibles à moyennes plus apparentes dans les injection dolomitiques	Minéralogie: Veine de calcite, Quartz, Dolomie.	Stratification (S0)	27	19	Grès dolomitique						

Tableau 7 - Tableau synoptique des traverses géologiques de Minowean 2008

No. Station géologique	Date	Coord. NAD83 Nordant	Coord. NAD83 Estant	Affleurement ou Bloc	Description de(s) la lithologie(s)	Pendage/ Plongée 3	Réf. 3	Type de structure 4	Azimuth 4	Pendage/ Plongée 4	Réf. 4	Type de structure 5	Azimuth 5	Pendage/ Plongée 5	Réf. 5	Type de structure 6	Azimuth 6	Pendage/ Plongée 6	Réf. 6	Type de structure 7	Azimuth 7	Pendage/ Plongée 7	Réf. 7	Échantillon(s)	Photo(s)
1908-1085	12-Jul-08	529401	6252341	Outcrop	Grains non-jointifs, Présence de veinules de quartz, Contient des traces de carbonates.																				
1908-1086	12-Jul-08	529664	6252390	Outcrop	Grès quartzeux: Grains non-jointifs, Présence de veinules de quartz, Contient des traces de carbonates.																				
1908-1087	12-Jul-08	529664	6252329	Outcrop	Grès quartzeux: Grains non-jointifs, Présence de veinules de quartz, Contient des traces de carbonates; Grès Dolomitique: Grains non-jointifs. Il semble avoir des injections de la lithologie 1.																				114019-12juil2008-1087/1
1908-1088	12-Jul-08	529767	6252543	Outcrop	Avec quelques grains de quartz moyens. Grains forment foliation.																			1908-1088/1	114019-12juil2008-1088/1, /2 & /3
1908-1089	12-Jul-08	530208	6252509	Outcrop																				1908-1089/1	114019-12juil2008-1089/1
1908-1090	12-Jul-08	531619	6252612	Outcrop	Réaction vive avec poudre.																				
1908-1091	12-Jul-08	531717	6252325	Outcrop	Réaction vive au HCl avec de la poudre.																				114019-12juil2008-1091/1, /2 & /3
1908-1092	13-Jul-08	530112	6252217	Outcrop	On entrevoit quelques petites veines sans aucune direction générale.																				114019-13juil2008-1092/1 & /2
1908-1093	13-Jul-08	530135	6251970	Outcrop	On observe 2 différentes textures des grains de quartz. Grains de quartz: moyen, non-jointifs, arrondis. Grains de silice?: grossiers, flottant dans la matrice, sub-arrondis à sub-anguleux.																			1908-1093/1	
1908-1094	13-Jul-08	530223	6251775	Outcrop	Présence de clastes de dolomie grise stockwerk de dimension cm2 à dm2. (brèche hydraulique)																				114019-13juil2008-1094/1
1908-1095	15-Jul-08	529209	6251715	Outcrop																					114019-15juil2008-1095/1
1908-1096	15-Jul-08	530190	6251217	Outcrop	Grès dolomitique: Grains jointifs. Lithologie peu poreuse; Grès quartzeux: Silicification forte. Portion de l'affleurement de la lithologie en question se poursuit en veine.																				114019-15juil2008-1096/1 & /2
1908-1097	15-Jul-08	530374	6251182	Outcrop	Présence de débris d'argilite sub-anguleux à anguleux de dimension moyenne. Réaction à l'acide faible et localisée. Phase de silicification.																				
1908-1098	15-Jul-08	532020	6251202	Outcrop	On est capable encore de distinguer quelques grains fins.																				
1908-1099	15-Jul-08	532326	6250403	Outcrop		75	Siltite																		114019-15juil2008-1099/1 & /2
1908-1115	19-Jul-08	526343	6252497	Outcrop	Grains non-jointifs. Proportion de matrice beaucoup plus élevée que celle des grains. Il semble silicifié à quelques endroits.																				
1908-1116	19-Jul-08	526422	6252413	Outcrop	Grains non-jointifs. Phase de silicification sur quelques endroits. Débris de dolomie massive parmi les grains de quartz. %matrice > %grains																				
1908-1117	19-Jul-08	526515	6252256	Outcrop	Grains non-jointifs. Phase de silicification sur quelques endroits. Présence de quelques grains arrondis de quartz. Injection de la dolomie sous forme de lit non-linéaire. Boudinage dans la zone d'altération des injections.																			1908-1117/1	



Tableau 7 - Tableau synoptique des traverses géologiques de Minowean 2008

No. Station géologique	Date	Coord. NAD83 Nordant	Coord. NAD83 Estant	Affleurement ou Bloc	Description de(s) la lithologie(s)	Lithologie A	Couleur A	Lithologie B	Couleur B	Lithologie C	Couleur C	Lithologie D	Couleur D	Lithologie E	Couleur E	Radiomètre utilisé	Rad. Brut de fond (cps)	Rad. Max. (cps)	Altération(s)	Minéralisation(s)	Type de structure 1	Azimuth 1	Pendage/Plongée 1	Réf. 1	Type de structure 2	Azimuth 2	Pendage/Plongée 2	Réf. 2	Type de structure 3	Azimuth 3
1908-1118	19-Jul-08	526524	6251856	Outcrop	Sur la surface altérée, on distingue des grains de quartz provenant du grès dolomitique dont la matrice était dissoute.	Grès dolomitique										SPP gamma	9	15	Hématitisation dans les fines fractures et l'intérieur de la matrice.	Minéralogie: Cristaux de silice, Quartz en veinules.										
1908-1119	19-Jul-08	526575	6251858	Outcrop	Grains non-jointifs. Phase de silicification sur quelques endroits. Présence de quelques grains arrondis de quartz. Injection de la dolomie sous forme de lit non-linéaire. Boudinage dans la zone d'altération des injections.	Grès dolomitique										SPP gamma	13	18	Limonitisation et Hématitisation faibles à moyennes plus apparentes dans les injection dolomitiques											
1908-1120	19-Jul-08	526591	6251875	Outcrop	Grains non-jointifs. Phase de silicification sur quelques endroits. Présence de quelques grains arrondis de quartz. Injection de la dolomie sous forme de lit non-linéaire. Boudinage dans la zone d'altération des injections.	Grès dolomitique										SPP gamma	10	14	Limonitisation et Hématitisation faibles à moyennes plus apparentes dans les injection dolomitiques	15m du dernier affleurement.										
1908-1121	19-Jul-08	526546	6251679	Outcrop	Injections (sills) de dolomie stockwerk. Phase de silicification à quelques endroits.	Grès dolomitique										SPP gamma	10	15												
1908-1122	19-Jul-08	526522	6251701	Outcrop	Injections (sills) de dolomie stockwerk. Phase de silicification à quelques endroits.	Grès dolomitique										SPP gamma	10	14	Altération d'hématite le long des fractures fines et suivant la partie altérée de veinules.		Injection	354	63	Grès dolomitique						
1908-1123	19-Jul-08	526564	6251128	Boulder												SPP gamma	10	15	Altération d'hématite le long des fractures fines et suivant la partie altérée de veinules.	Cible Anormale de Géophysique. Champ de blocs métrique cube, sub-anguleux à sub-arrondis. La majorité des blocs sont des grès dolomitique à patine brunâtre. De 2 à 3 blocs de grès dolomitique à patine bleuté à blanchâtre. Environnement: Marécage, Ruiss										
1908-3001	29-Jun-08	531361	6266543	Outcrop	Dolomie à grains très fins non-visibility à l'œil nu. Basalte compose à 80% pyroxène, 15% olivine et 5% plagioclase.	Dolomie	gray	Quartz	white							SPP2	30	60	Dolomie: Couleur d'altération variant de pale à moyen; Quartz: Pas d'altération. Couleur blanche comme cassure fraîche.		Bedding Vertical	34	90	Dolomie	Lineation	25	20	Argilite		
1908-3002	29-Jun-08	531359	6266469	Outcrop	Roche recristallisée, impossible de voir de granulométrie. Aspect homogène. Pas de litage visible à proprement dit. Le quartz se présente sous forme de veines, surtout dans des fractures de la dolomie.	Dolomie	gray	Basalte	gray	Argilite			black			SPP2	20	35	Dolomie: patine d'altération brun-rouge; Basalte: Couleur d'altération brunâtre; Argilite: Noir grisâtre	Présence de sulfures dans la roche mais impossible de dire si c'est de la pyrite ou de la chalcopyrite, ou les deux.	Plan axial	100	40	Dolomie						
1908-3003	29-Jun-08	531323	6266596	Outcrop	Dolomie à grains non-visible car la roche a été recristallisée. Aspect uniforme. Argilite à grains trop petits pour être vus à la loupe. On peut voir des interlits plus pales qui ont moins d'un mm d'épaisseur. Le quartz se présente en veines dans la dolomie.	Dolomie	gray	Argilite	gray	Quartz	white					SPP2	20	60	Dolomie: Patine d'altération rouge-brun; Argilite: Couleur d'altération gris foncé avec passe rouille; Quartz: Pas d'altération visible. Elle demeure blanche à la surface.		Bedding	30	65	Argilite	Axe de pli sub-horizontal	50	0	Dolomie		
1908-3004	29-Jun-08	531303	6266577	Outcrop	Argilite à grains très fins invisible à l'œil. Présence de lits plus pales de l'ordre du mm.	Argilite	gray									SPP2	40	60	Couleur d'altération gris pale.		Bedding	0	80	Argilite						
1908-3005	29-Jun-08	531250	6266548	Outcrop	Argilite à grains très fins invisible à l'œil. Présence de lits plus pales de l'ordre du mm.	Argilite	gray									SPP2	35	75	Couleur d'altération gris pale.			0	75	Argilite						
1908-3006	29-Jun-08	531179	6266500	Outcrop	Argilite à grains très fins invisible à l'œil. Présence de lits plus pales de l'ordre du mm.	Argilite	gray									SPP2	30	60	Couleur d'altération gris pale.		Bedding	170	90	Argilite						
1908-3007	29-Jun-08	531182	6266427	Outcrop	Argilite à grains très fins invisible à l'œil. Présence de lits plus pales de l'ordre du mm.	Argilite	gray									SPP2	40	60	Couleur d'altération gris pale.			170	70	Argilite						



Tableau 7 - Tableau synoptique des traverses géologiques de Minowean 2008

No. Station géologique	Date	Coord. NAD83 Nordant	Coord. NAD83 Estant	Affleurement ou Bloc	Description de(s) la lithologie(s)	Pendage/ Plongée 3	Réf. 3	Type de structure 4	Azimuth 4	Pendage/ Plongée 4	Réf. 4	Type de structure 5	Azimuth 5	Pendage/ Plongée 5	Réf. 5	Type de structure 6	Azimuth 6	Pendage/ Plongée 6	Réf. 6	Type de structure 7	Azimuth 7	Pendage/ Plongée 7	Réf. 7	Échantillon(s)	Photo(s)
1908-1118	19-Jul-08	526524	6251856	Outcrop	Sur la surface altérée, on distingue des grains de quartz provenant du grès dolomitique dont la matrice était dissoute.																				
1908-1119	19-Jul-08	526575	6251858	Outcrop	Grains non-jointifs. Phase de silicification sur quelques endroits. Présence de quelques grains arrondis de quartz. Injection de la dolomie sous forme de lit non-linéaire. Boudinage dans la zone d'altération des injections.																				
1908-1120	19-Jul-08	526591	6251875	Outcrop	Grains non-jointifs. Phase de silicification sur quelques endroits. Présence de quelques grains arrondis de quartz. Injection de la dolomie sous forme de lit non-linéaire. Boudinage dans la zone d'altération des injections.																				
1908-1121	19-Jul-08	526546	6251679	Outcrop	Injections (sills) de dolomie stockwerk. Phase de silicification à quelques endroits.																				
1908-1122	19-Jul-08	526522	6251701	Outcrop	Injections (sills) de dolomie stockwerk. Phase de silicification à quelques endroits.																				
1908-1123	19-Jul-08	526564	6251128	Boulder																					
1908-3001	29-Jun-08	531361	6266543	Outcrop	Dolomie à grains très fins non-visibles à l'oeil nu. Basalte composé à 80% pyroxène, 15% olivine et 5% plagioclase.																			1908-3001/1 & /2	
1908-3002	29-Jun-08	531359	6266469	Outcrop	Roche recristallisée, impossible de voir de granulométrie. Aspect homogène. Pas de litage visible à proprement dit. Le quartz se présente sous forme de veines, surtout dans des fractures de la dolomie.																				
1908-3003	29-Jun-08	531323	6266596	Outcrop	Dolomie à grains non-visible car la roche a été recristallisée. Aspect uniforme. Argilite à grains trop petits pour être vus à la loupe. On peut voir des interlits plus pâles qui ont moins d'un mm d'épaisseur. Le quartz se présente en veines dans la dolomie.																			114019 29 Juin 2008 19-08-3003/1, /2, /3 & /4	
1908-3004	29-Jun-08	531303	6266577	Outcrop	Argilite à grains très fins invisible à l'oeil. Présence de lits plus pâles de l'ordre du mm.																				
1908-3005	29-Jun-08	531250	6266548	Outcrop	Argilite à grains très fins invisible à l'oeil. Présence de lits plus pâles de l'ordre du mm.																				
1908-3006	29-Jun-08	531179	6266500	Outcrop	Argilite à grains très fins invisible à l'oeil. Présence de lits plus pâles de l'ordre du mm.																			119019 29 Juin 2008 19-08-3006/1	
1908-3007	29-Jun-08	531182	6266427	Outcrop	Argilite à grains très fins invisible à l'oeil. Présence de lits plus pâles de l'ordre du mm.																				

Tableau 7 - Tableau synoptique des traverses géologiques de Minowean 2008

No. Station géologique	Date	Coord. NAD83 Nordant	Coord. NAD83 Estant	Affleurement ou Bloc	Description de(s) la lithologie(s)	Lithologie A	Couleur A	Lithologie B	Couleur B	Lithologie C	Couleur C	Lithologie D	Couleur D	Lithologie E	Couleur E	Radiomètre utilisé	Rad. Brut de fond (cps)	Rad. Max. (cps)	Altération(s)	Minéralisation(s)	Type de structure 1	Azimuth 1	Pendage/ Plongée 1	Réf. 1	Type de structure 2	Azimuth 2	Pendage/ Plongée 2	Réf. 2	Type de structure 3	Azimuth 3
1908-3008	29-Jun-08	531421	6265906	Outcrop	Dolomie recristallisée, impossible de voir de granulométrie. Aspect homogène. Pas de litage visible à proprement dit. Argilite à grains très fins invisible à l'œil. Présence de lits plus pâles de l'ordre du mm. Le quartz se présente en stockwerk.	Dolomie	gray	Argilite	gray	Quartz	white					SPP2	20	60	Dolomie: Couleur d'altération rouge-brun; Argilite: Couleur d'altération gris pâle; Quartz: Couleur altérée blanche;	60 cps dans argilite.		160	70	Dolomie						
1908-3009	29-Jun-08	531381	6265827	Outcrop	Argilite à grains très fins invisible à l'œil. Présence de lits plus pâles de l'ordre du mm. Breche quartzifère	Argilite	gray	Quartz	white							SPP2	40	80	Argilite: Couleur d'altération gris pâle; Quartz: Couleur blanche;	on a trouvé de la pyrite liée dans l'argilite (moins de 1%). Niveau de shale plus foncé dans l'argilite.	Bedding	50	80	Argilite	Diaclase	120	90	Argilite		
1908-3010	29-Jun-08	531346	6266147	Outcrop	Argilite à matrice calcique. Quartz en petites veines.	Argilite	gray	Quartz	white	Dolomie	gray					SPP2	30	50	Argilite: Couleur d'altération gris moyen; Quartz: Pas d'altération visible. Blanche à la surface; Dolomie: Patine d'altération beige;		Bedding	170	90		Veinules de calcite	70	40			
1908-3011	29-Jun-08	531344	6266248	Outcrop	Argilite à matrice calcique	Argilite	gray									SPP2	40	60	Surface altérée de couleur gris moyen.		Bedding	160	40	Argilite						
1908-3012	29-Jun-08	531399	6266282	Outcrop	Dolomie à grains non-visible, roche re-cristallisée. Veinules de calcite présentes dans l'argilite. Quartz en veines	Dolomie	gray	Argilite	gray	Quartz	white					SPP2	40	60	Dolomie: Patine d'altération rouge-brun; Argilite: Couleur d'altération gris moyen; Quartz: Pas d'altération. Couleur blanche à la surface;		Bedding	160	90							
1908-3013	30-Jun-08	530863	6267612	Outcrop	Argilite à matrice à ciment calcique. Granulométrie très fine, non-visible à l'œil nu.	Argilite	gray									SPP2	40	55	Patine d'altération gris clair		Bedding	155	60	Argilite						
1908-3014	30-Jun-08	530858	6267611	Outcrop	La dolomie se casse suivant des plans contenant des veinules de calcite. Grosseur des grains indéterminée, car la roche a été re-cristallisée.	Dolomie	gray									SPP2	15	25	Patine d'altération brun-rouge.	L'effervescence à l'HCL provient de la calcite encore présente sur les plans ou se casse la dolomie. Sur cet arret, on retrouve deux affleurements. Le second se trouve aux coordonnées: E530819, N 6267608 et fait environ 3m X 3m.										
1908-3015	30-Jun-08	530827	6267657	Outcrop	Dolomie dont la granulométrie non visible parce que la roche a été re-cristallisée. Une partie de l'affleurement contient plus de quartz et quelques grains rhomboédrique (moins de 1 mm). Volume estimé : 10% dolomie avec quartz.	Dolomie	gray									SPP2	15	25	brun-rouge	Présence de micas dans la roche (chlorite = verdâtre).										
1908-3016	30-Jun-08	530794	6267673	Outcrop	Dolomie à grains non-visible car la roche a été re-cristallisée. Présence de chlorite en lits millimétriques.	Dolomie	gray									SPP2	15	25	Patine d'altération rouge-brun.	Note: trace de quartz.	Bedding	350	44	Dolomie	Diaclase	250	65	Dolomie	Diaclase	280
1908-3017	30-Jun-08	530771	6267370	Outcrop	Dolomie à grains non-visible à l'œil nu, car roche re-cristallisée.	Dolomie	gray									SPP2	10	25	Patine d'altération rouge-brun.	Présence de pyrite sub-automorphe en trace.										
1908-3018	30-Jun-08	530336	6266447	Outcrop	Gabbro à grains fins (millimétrique et moins).	Gabbro	black									SPP2	10	20	Patine d'altération gris-beige.	Présence de pyrite sub-automorphe. Proportion des minéraux dans le gabbro: Pyroxène (80%), plagioclase (10%), Olivine (10%).										
1908-3019	30-Jun-08	530301	6266367	Outcrop	Gabbro à grains fins (millimétrique et moins).	Gabbro	black									SPP2	10	25	Patine d'altération gris-sombre.	Proportion des minéraux dans gabbro: Pyroxène (80%), Plagioclase (10%), Olivine (10%). Présence de calcite surtout près des plans de faille, et un peu sur surface altérée.	Thrust fault	90	45	Gabbro	stries de faille	180	45	Gabbro		

Tableau 7 - Tableau synoptique des traverses géologiques de Minowean 2008

No. Station géologique	Date	Coord. NAD83 Nordant	Coord. NAD83 Estant	Affleurement ou Bloc	Description de(s) la lithologie(s)	Pendage/ Plongée 3	Réf. 3	Type de structure 4	Azimuth 4	Pendage/ Plongée 4	Réf. 4	Type de structure 5	Azimuth 5	Pendage/ Plongée 5	Réf. 5	Type de structure 6	Azimuth 6	Pendage/ Plongée 6	Réf. 6	Type de structure 7	Azimuth 7	Pendage/ Plongée 7	Réf. 7	Échantillon(s)	Photo(s)
1908-3008	29-Jun-08	531421	6265906	Outcrop	Dolomie recristallisée, impossible de voir de granulométrie. Aspect homogène. Pas de litage visible a proprement dit. Argilite à grains très fins invisible a l'oeil. Presence de lits plus pales de l'ordre du mm. Le quartz se presente en stockwerk.																				
1908-3009	29-Jun-08	531381	6265827	Outcrop	Argilite à grains très fins invisible a l'oeil. Presence de lits plus pales de l'ordre du mm. Breche quartzifere																			1908-3009/1	
1908-3010	29-Jun-08	531346	6266147	Outcrop	Argilite à matrice calcique. Quartz en petites veines.																				
1908-3011	29-Jun-08	531344	6266248	Outcrop	Argilite à matrice calcique																				
1908-3012	29-Jun-08	531399	6266282	Outcrop	Dolomie à grains non-visible, roche re-cristallisée. Veinules de calcite presentent dans l'argilite. Quartz en veines																				
1908-3013	30-Jun-08	530863	6267612	Outcrop	Argilite à matrice a ciment calcique. Granulométrie tres fine, non-visible a l'oeil nu.																				
1908-3014	30-Jun-08	530858	6267611	Outcrop	La dolomie se casse suivant des plans contenant des veinules de calcite. Grosseur des grains indeterminee, car la roche a ete re-cristallisée.																				
1908-3015	30-Jun-08	530827	6267657	Outcrop	Dolomie dont la granulométrie non visible parce que la roche a ete re-cristallisée. Une partie de l'affleurement contient plus de quartz et quelques grains rhomboedrique (moins de 1 mm). Volume estime : 10% dolomie avec quartz.																				
1908-3016	30-Jun-08	530794	6267673	Outcrop	Dolomie à grains non-visibles car la roche a ete re-cristallisée. Presence de chlorite en lits millimetriques.	85	Dolomie																		
1908-3017	30-Jun-08	530771	6267370	Outcrop	Dolomie à grains non-visible a l'oeil nu, car roche re-cristallisée.																				
1908-3018	30-Jun-08	530336	6266447	Outcrop	Gabbro a grins fins (millimetrique et moins).																				
1908-3019	30-Jun-08	530301	6266367	Outcrop	Gabbro a grins fins (millimetrique et moins).																				



Tableau 7 - Tableau synoptique des traverses géologiques de Minowean 2008

No. Station géologique	Date	Coord. NAD83 Nordant	Coord. NAD83 Estant	Affleurement ou Bloc	Description de(s) la lithologie(s)	Lithologie A	Couleur A	Lithologie B	Couleur B	Lithologie C	Couleur C	Lithologie D	Couleur D	Lithologie E	Couleur E	Radiomètre utilisé	Rad. Brut de fond (cps)	Rad. Max. (cps)	Altération(s)	Minéralisation(s)	Type de structure 1	Azimuth 1	Pendage/ Plongée 1	Réf. 1	Type de structure 2	Azimuth 2	Pendage/ Plongée 2	Réf. 2	Type de structure 3	Azimuth 3
1908-3020	30-Jun-08	530329	6266395	Outcrop	Gabbro a grins fins (millimetrique et moins).	Gabbro	black									SPP2	10	25	Patine d'alteration gris-sombre.	Proportion des mineraux dans gabbro: Pyroxene (80%), Plagio (10%), Olivine (10%).	Thrust fault	74	75	Gabbro	Thrust fault	105	80	Gabbro		
1908-3021	30-Jun-08	530397	6266334	Outcrop	Gabbro a grins fins (millimetrique et moins).	Gabbro	black									SPP2	10	25	Patine d'alteration gris-sombre.	Proportion des mineraux dans gabbro: Pyroxene (80%), Plagio (10%), Olivine (10%). Presence de calcite, car on commence a avoir de l'effervescence a HCL. Des blocs detachés du sommet de la falaise montrent des plagio plus nombreux et plus gros qu'au bas										
1908-3022	30-Jun-08	530394	6266280	Outcrop	Gabbro a grins fins (millimetrique et moins).	Gabbro	black									SPP2	10	25	Patine d'alteration gris-sombre.	Proportion des mineraux dans gabbro: Pyroxene (85%), Plagio (5%), Olivine (10%). Presence de calcite, effervescence plus forte. Trace de sulfures (pyrite?).										
1908-3023	30-Jun-08	530396	6266231	Outcrop	gabbro a grains tres fins (<mm). En allant vers le SE, on observe une variation de facies dans la roche surtout au niveau des plagio, et de la calcite (plus effervescent).	Gabbro	black									SPP2	10	25	Patine d'alteration gris-sombre.	Proportion des mineraux dans gabbro: Pyroxene (85%), Plagio (5%), Olivine (10%). Presence de calcite, effervescence plus forte.										
1908-3024	30-Jun-08	530391	6266193	Outcrop	Gabbro a grains moyens (millimetriques).	Gabbro	black									SPP2	10	25	Patine d'alteration gris-sombre.	Proportion des mineraux dans gabbro: Pyroxene (80%), Plagio (10%), Olivine (10%). L'effervescence diminue a nouveau, et semble liee a des veinules entre les grains.										
1908-3025	30-Jun-08	530516	6266134	Outcrop	Gabbro à grains fins	Gabbro	black									SPP2	15	30	Patine d'alteration gris-sombre.	Proportion des mineraux dans gabbro: Pyroxene (80%), Plagio (10%), Olivine (10%). L'effervescence au HCL a completement disparue. Trace de sulfures (probablement pyrite)										
1908-3026	02-Jul-08	531742	6269136	Boulder	On se retrouve dans du quaternaire a cet endroit. On n'a pas ete capable d'atteindre la roche. Quelques roches ont ete retirees du sol sans pour autant obtenir de mesure relativement elevee de ces roches. Roche de nature volcanique.	Basalte										SPP2	120	200												
1908-3027	02-Jul-08	531818	6269152	Boulder	A la limite entre un gabbro a grains tres fin et un basalte.	Basalte	gray									SPP2	100	160	Couleur alteree gris pale.	Les roches sont schisteuses, et peut-etre silicifiees. Les dimensions des blocs sont d'ordre metrique.										
1908-3028	02-Jul-08	531915	6269125	Boulder	Gros bloc de basalte. Il semble que l'endroit ou on mesure le plus de coups soit associe a une petite fissure dans le bloc.	Basalte	gray									SPP gamma	120	170	Couleur alteree gris moyen											

Tableau 7 - Tableau synoptique des traverses géologiques de Minowean 2008

No. Station géologique	Date	Coord. NAD83 Nordant	Coord. NAD83 Estant	Affleurement ou Bloc	Description de(s) la lithologie(s)	Pendage/Plongée 3	Réf. 3	Type de structure 4	Azimuth 4	Pendage/Plongée 4	Réf. 4	Type de structure 5	Azimuth 5	Pendage/Plongée 5	Réf. 5	Type de structure 6	Azimuth 6	Pendage/Plongée 6	Réf. 6	Type de structure 7	Azimuth 7	Pendage/Plongée 7	Réf. 7	Échantillon(s)	Photo(s)
1908-3020	30-Jun-08	530329	6266395	Outcrop	Gabbro a grins fins (millimetrique et moins).																				
1908-3021	30-Jun-08	530397	6266334	Outcrop	Gabbro a grins fins (millimetrique et moins).																				
1908-3022	30-Jun-08	530394	6266280	Outcrop	Gabbro a grins fins (millimetrique et moins).																				
1908-3023	30-Jun-08	530396	6266231	Outcrop	gabbro a grains tres fins (<mm). En allant vers le SE, on observe une variation de facies dans la roche surtout au niveau des plagio, et de la calcite (plus effervescent).																			1908-3023/1	
1908-3024	30-Jun-08	530391	6266193	Outcrop	Gabbro a grains moyens (millimetriques).																				
1908-3025	30-Jun-08	530516	6266134	Outcrop	Gabbro à grains fins																				
1908-3026	02-Jul-08	531742	6269136	Boulder	On se retrouve dans du quaternaire 'a cet endroit. On n'a pas ete capable d'atteindre la roche. Quelques roches ont ete retirées du sol sans pour autant obtenir de mesure relativement elevee de ces roches. Roche de nature volcanique.																			1908-3026/1 & /2	
1908-3027	02-Jul-08	531818	6269152	Boulder	A la limite entre un gabbro a grains tres fin et un basalte.																				
1908-3028	02-Jul-08	531915	6269125	Boulder	Gros bloc de basalte. Il semble que l'endroit ou on mesure le plus de coups soit associe a une petite fissure dans le bloc.																			1908-3028/1	



Tableau 7 - Tableau synoptique des traverses géologiques de Minowean 2008

No. Station géologique	Date	Coord. NAD83 Nordant	Coord. NAD83 Estant	Affleurement ou Bloc	Description de(s) la lithologie(s)	Lithologie A	Couleur A	Lithologie B	Couleur B	Lithologie C	Couleur C	Lithologie D	Couleur D	Lithologie E	Couleur E	Radiomètre utilisé	Rad. Brutt de fond (cps)	Rad. Max. (cps)	Altération(s)	Minéralisation(s)	Type de structure 1	Azimuth 1	Pendage/ Plongée 1	Réf. 1	Type de structure 2	Azimuth 2	Pendage/ Plongée 2	Réf. 2	Type de structure 3	Azimuth 3	
1908-3029	02-Jul-08	531781	6268763	Outcrop	Basalte a grain fin. Le quartz se presente sous forme de veine (ou lentilles) qui sont contenues dans le plan de foliation. On pouvait egalement distinguer dans le quartz des cristaux de feldspath alcalins, et peut-etre de plagio (albite?).	Basalte	gray	Quartz	white							SPP2	120	250	Basalte: Couleur d'alteration gris moyen; Quartz: Couleur a la surface blanche.		Foliation	150	35	Basalte							
1908-3030	02-Jul-08	531853	6268645	Boulder	Blocs de dimensions metriques sub-angulaires a angulaires.	Basalte	gray									SPP2	100	120	couleur d'alteration gris moyen. Peut-etre une chloritisation.												
1908-3031	02-Jul-08	531852	6268646	Boulder	Blocs de basalte sub-anguleux a anguleux.	Basalte	gray									SPP gamma	100	120	Couleur d'alteration gris moyen. Peut-etre un peu de chloritisation.	La source des blocs doit etre proche car les blocs sont plus souvent anguleux.											
1908-3032	02-Jul-08	532128	6267585	Boulder	Blocs de basalte sub-anguleux a anguleux.	Basalte	gray									SPP gamma	100	120	Chloritization; Couleur d'alteration gris moyen. Peut-etre un peu de chloritisation.												
1908-3033	02-Jul-08	532174	6267120	Outcrop		Basalte	gray									SPP2	110	210	Chloritization; Couleur d'alteration gris moyen. Ici, on peut voir clairement la chlorite dans les zones fortement foliees.	On retrouvait dans cet affleurement des zones dans la roche plus fortement foliees, et d'autres plus massives. La chlorite se retrouvait surtout dans les zones fortement foliees. Pas de quartz observe.	Foliation	158	55	Basalte							
1908-3034	03-Jul-08	533177	6267249	Outcrop	Les grains semblent etre un peu plus gros que ceux en bas de la colline.	Basalte	gray									SPP2	15	25	Couleur d'alteration gris moyen.												
1908-3035	03-Jul-08	533177	6267249	Outcrop	Les grains semblent etre un peu plus gros que ceux en bas de la colline.	Basalte	gray									SPP2	15	25	Couleur alteree gris moyen												
1908-3036	03-Jul-08	533038	6267267	Outcrop	Les grains semblent etre un peu plus gros que ceux en bas de la colline.	Basalte	gray									SPP2	15	25	Couleur alteree gris moyen.												
1908-3037	03-Jul-08	532977	6267292	Outcrop		Basalte	gray									SPP2	60	95	Couleur d'alteration gris moyen		Foliation	350	65	Basalte							
1908-3038	03-Jul-08	532880	6267220	Outcrop	Les grains semblent etre un peu plus gros que ceux en bas de la colline.	Basalte	gray									SPP2	25	30	Couleur d'alteration gris moyen.												
1908-3039	03-Jul-08	532832	6267119	Outcrop	Les grains semblent etre un peu plus gros que ceux en bas de la colline.	Basalte	gray									SPP2	25	30	Couleur d'alteration gris moyen.	stries glaciaires de direction N070-N250.											
1908-3040	03-Jul-08	532756	6267075	Outcrop		Basalte	gray									SPP2	110	160	Couleur d'alteration gris moyen		Foliation	350	55	Basalte							
1908-3041	03-Jul-08	532681	6267015	Outcrop	Les grains semblent etre un peu plus gros que ceux en bas de la colline.	Basalte	gray									SPP2	35	40	Couleur d'alteration gris moyen.	Il semble y avoir une alternance entre le basalte "massif" et le "basalte schisteux". C'est dans ces schistes que la radiometrie est la plus elevee.											
1908-3042	03-Jul-08	532674	6266923	Outcrop	Les grains semblent etre un peu plus gros que ceux en bas de la colline.	Basalte	gray									SPP2	35	40	couleur d'alteration gris moyen												
1908-3043	03-Jul-08	532591	6266728	Outcrop	Les grains semblent etre un peu plus gros que ceux en bas de la colline.	Basalte	gray									SPP2	35	40	couleur d'alteration gris moyen												
1908-3044	03-Jul-08	532505	6266372	Outcrop	Basalte avec zones schisteuses. On peut voir de petits "lits" millimetriques dans le plan de la schistosite (alignement preferentiel de mineraux).	Basalte	gray	Quartz	white							SPP2	95	110	Basalte: Couleur d'alteration gris-moyen; Quartz: couleur d'alteration rosatre;		Foliation	0	55	Basalte							
1908-3045	03-Jul-08	532500	6266116	Outcrop	Basalte avec zones schisteuses. On peut voir de petits "lits" millimetriques dans le plan de la schistosite (alignement preferentiel de mineraux).	Basalte	gray	Quartz	white							SPP2	90	110	Basalte: Couleur d'alteration gris-moyen; Quartz: couleur d'alteration rosatre;		Foliation	0	60	Basalte							
1908-3046	03-Jul-08	532335	6265952	Boulder	Veines de quartz contenues dans les plans de schistosite.	Basalte	gray	Quartz	white							SPP2	110	120	Basalte: Couleur d'alteration gris moyen;	Blocs de basalte de dimensions metriques a plurimetriques dont certains contiennent des veines de quartz dans le plan de la schistosite.											



Tableau 7 - Tableau synoptique des traverses géologiques de Minowean 2008

No. Station géologique	Date	Coord. NAD83 Nordant	Coord. NAD83 Estant	Affleurement ou Bloc	Description de(s) la lithologie(s)	Pendage/ Plongée 3	Réf. 3	Type de structure 4	Azimuth 4	Pendage/ Plongée 4	Réf. 4	Type de structure 5	Azimuth 5	Pendage/ Plongée 5	Réf. 5	Type de structure 6	Azimuth 6	Pendage/ Plongée 6	Réf. 6	Type de structure 7	Azimuth 7	Pendage/ Plongée 7	Réf. 7	Échantillon(s)	Photo(s)
1908-3029	02-Jul-08	531781	6268763	Outcrop	Basalte a grain fin. Le quartz se presente sous forme de veine (ou lentilles) qui sont contenues dans le plan de foliation. On pouvait egalement distinguer dans le quartz des cristaux de feldspath alcalins, et peut-etre de plagio (albite?).																				
1908-3030	02-Jul-08	531853	6268645	Boulder	Blocs de dimensions metriques sub-angulaires a angulaires.																				
1908-3031	02-Jul-08	531852	6268646	Boulder	Blocs de basalte sub-anguleux a anguleux.																				
1908-3032	02-Jul-08	532128	6267585	Boulder	Blocs de basalte sub-anguleux a anguleux.																				
1908-3033	02-Jul-08	532174	6267120	Outcrop																					
1908-3034	03-Jul-08	533177	6267249	Outcrop	Les grains semblent etre un peu plus gros que ceux en bas de la colline.																				
1908-3035	03-Jul-08	533177	6267249	Outcrop	Les grains semblent etre un peu plus gros que ceux en bas de la colline.																				
1908-3036	03-Jul-08	533038	6267267	Outcrop	Les grains semblent etre un peu plus gros que ceux en bas de la colline.																				
1908-3037	03-Jul-08	532977	6267292	Outcrop																					114019 3 Juillet 2008 19-08-3037/1
1908-3038	03-Jul-08	532880	6267220	Outcrop	Les grains semblent etre un peu plus gros que ceux en bas de la colline.																				
1908-3039	03-Jul-08	532832	6267119	Outcrop	Les grains semblent etre un peu plus gros que ceux en bas de la colline.																				
1908-3040	03-Jul-08	532756	6267075	Outcrop																				1908-3040/1	
1908-3041	03-Jul-08	532681	6267015	Outcrop	Les grains semblent etre un peu plus gros que ceux en bas de la colline.																				
1908-3042	03-Jul-08	532674	6266923	Outcrop	Les grains semblent etre un peu plus gros que ceux en bas de la colline.																				
1908-3043	03-Jul-08	532591	6266728	Outcrop	Les grains semblent etre un peu plus gros que ceux en bas de la colline.																				
1908-3044	03-Jul-08	532505	6266372	Outcrop	Basalte avec zones schisteuses. On peut voir de petits "lits" millimetriques dans le plan de la schistosite (alignement preferentiel de mineraux).																			1908-3044/1	114019 3 Juillet 2008 19-08-3044/1
1908-3045	03-Jul-08	532500	6266116	Outcrop	Basalte avec zones schisteuses. On peut voir de petits "lits" millimetriques dans le plan de la schistosite (alignement preferentiel de mineraux).																				
1908-3046	03-Jul-08	532335	6265952	Boulder	Veines de quartz contenues dans les plans de schistosite.																				

Tableau 7 - Tableau synoptique des traverses géologiques de Minowean 2008

No. Station géologique	Date	Coord. NAD83 Nordant	Coord. NAD83 Estant	Affleurement ou Bloc	Description de(s) la lithologie(s)	Lithologie A	Couleur A	Lithologie B	Couleur B	Lithologie C	Couleur C	Lithologie D	Couleur D	Lithologie E	Couleur E	Radiomètre utilisé	Rad. Brut de fond (cps)	Rad. Max. (cps)	Altération(s)	Minéralisation(s)	Type de structure 1	Azimuth 1	Pendage/Plongée 1	Réf. 1	Type de structure 2	Azimuth 2	Pendage/Plongée 2	Réf. 2	Type de structure 3	Azimuth 3	
1908-3047	03-Jul-08	532318	6265796	Outcrop	Basalte avec plan de schistosité. Granulométrie très fine. Quartz en veines millimétriques qui semblent être sub-parallèles entre-elles.	Basalte	gray	Quartz								SPP2	110	120	Basalte: Couleur d'altération gris moyen;												
1908-3048	04-Jul-08	532202	6265253	Outcrop	Veines de quartz millimétriques qui recoupent des veines centimétriques.	Basalte	gray	Quartz								SPP2	100	125	Basalte: Couleur d'altération gris moyen/rose	Présence d'un petit minéral noir (magnétite?) et de pyrite.											
1908-3049	04-Jul-08	532267	6265184	Outcrop		Basalte	gray									SPP2	90	105	Basalte: Couleur d'altération gris moyen/rose	Idem 19-08-3048. Présence d'un petit minéral noir (magnétite?) et de pyrite.											
1908-3050	04-Jul-08	532267	6265098	Outcrop	Basalte avec des plans de schistosité.	Basalte	gray	Quartz	white							SPP2	110	150	Basalte: Couleur d'altération gris moyen; Quartz: Couleur d'altération blanc;	Présence de chlorite dans les plans de schistosité. Une veine de quartz recoupée par une autre qui est parallèle à la schistosité (voir figure dans carnet de terrain).	Foliation	350	56	Basalte							
1908-3051	04-Jul-08	532301	6264781	Outcrop	Basalte contenant des plans de schistosité.	Basalte	gray	Quartz	white							SPP2	100	120	Basalte: Couleur d'altération gris moyen; Quartz: Couleur d'altération blanc;	La partie altérée semble magnétique alors que la partie plus au centre "basalte massif" ne l'est pas. Magnétite sur 1 à 2 cm d'épaisseur.	Foliation	355	75	Basalte							
1908-3052	04-Jul-08	532352	6264640	Outcrop	Quartz en petites veines	Basalte	gray	Quartz	white							SPP2	110	180	Basalte: Couleur d'altération gris moyen; Quartz: Couleur altérée blanc;	Présence de sulfure en traces, et altération légèrement magnétique.											
1908-3053	04-Jul-08	532352	6264496	Outcrop	Basalte à granulométrie très fine et texture homogène. Quartz en petites veines	Basalte	gray	Quartz	white							SPP2	110	140	Basalte: Couleur d'altération gris moyen; Quartz: Couleur d'altération blanc;	Petits cristaux de pyrite bien développés (millimétriques).											
1908-3054	04-Jul-08	532373	6264387	Outcrop	Basalte à granulométrie très fine et texture homogène. Quartz en petites veines	Basalte	gray	Quartz	white							SPP2	90	100	Basalte: Couleur d'altération gris moyen; Quartz: Couleur d'altération blanc;		Foliation	140	67	Basalte							
1908-3055	04-Jul-08	532256	6264025	Outcrop	Basalte à granulométrie très fine et texture homogène. Quartz en petites veines. On observe une troisième lithologie d'un ton beige-brun, très homogène, sans grains apparents (recristallisés). Ressemble beaucoup à de la gouge de faille.	Basalte	gray	Quartz	white	Gouge	brown					SPP2	110	120	Basalte: Couleur d'altération gris moyen; Quartz: Couleur d'altération blanc;	Contient de la magnétite, dans certains cas elle est alignée dans des plans (lites). Les cristaux sont sub-automorphes à automorphes. Magnétique dans la partie la plus grossière.	Foliation	10	70	Basalte	Thrust fault	110	55	Basalte			
1908-3056	04-Jul-08	532152	6263661	Outcrop	Basalte à granulométrie très fine et texture homogène. Quartz en petites veines d'orientation préférentielle N130-N310, sub-parallèles. 2 types de gabbro: Un à gros très fins proche du basalte, et un plus grossier ou on peut reconnaître les plagioclases, pyroxène et olivine.	Basalte	gray	Quartz	white	Gabbro	gray					SPP2	25	30	Basalte: Couleur d'altération gris moyen; Quartz: Couleur d'altération blanc; Gabbro: Couleur d'altération gris moyen;												
1908-3057	04-Jul-08	531393	6263821	Outcrop	Basalte à granulométrie très fine et texture homogène.	Basalte	gray									SPP gamma	20	25	Couleur d'altération gris moyen	Basalte ou gabbro à grains très fins comme ceux de la station 19-08-3056.											
1908-3058	05-Jul-08	532076	6263230		Gabbro contenant des cristaux jusqu'au centimètre. Basalte à grains très fin, texture uniforme (pas capable de discerner les grains à l'œil). Veines de quartz ou lentilles.	Gabbro	gray	Basalte	gray	Quartz	white					SPP gamma	35	50	Gabbro: Couleur d'altération gris moyen; Basalte: Couleur d'altération gris moyen; Quartz: Pas d'altération;	Contient de l'épidote, pyroxène (ortho), plagioclase et/ou olivine/diopside. On retrouve également ce qui ressemble beaucoup à de la serpentine (début de serpentinisation?? ?).											

Tableau 7 - Tableau synoptique des traverses géologiques de Minowean 2008

No. Station géologique	Date	Coord. NAD83 Nordant	Coord. NAD83 Estant	Affleurement ou Bloc	Description de(s) la lithologie(s)	Pendage/ Plongée 3	Réf. 3	Type de structure 4	Azimuth 4	Pendage/ Plongée 4	Réf. 4	Type de structure 5	Azimuth 5	Pendage/ Plongée 5	Réf. 5	Type de structure 6	Azimuth 6	Pendage/ Plongée 6	Réf. 6	Type de structure 7	Azimuth 7	Pendage/ Plongée 7	Réf. 7	Échantillon(s)	Photo(s)
1908-3047	03-Jul-08	532318	6265796	Outcrop	Basalte avec plan de schistosité. Granulométrie très fine. Quartz en veines millimétriques qui semblent être sub-parallèles entre-elles.																				
1908-3048	04-Jul-08	532202	6265253	Outcrop	Veines de quartz millimétriques qui recoupent des veines centimétriques.																			1908-3048/1	
1908-3049	04-Jul-08	532267	6265184	Outcrop																					
1908-3050	04-Jul-08	532267	6265098	Outcrop	Basalte avec des plans de schistosité.																				
1908-3051	04-Jul-08	532301	6264781	Outcrop	Basalte contenant des plans de schistosité.																			1908-3051/1	
1908-3052	04-Jul-08	532352	6264640	Outcrop	Quartz en petites veines																				
1908-3053	04-Jul-08	532352	6264496	Outcrop	Basalte à granulométrie très fine et texture homogène. Quartz en petites veines																				
1908-3054	04-Jul-08	532373	6264387	Outcrop	Basalte à granulométrie très fine et texture homogène. Quartz en petites veines																				
1908-3055	04-Jul-08	532256	6264025	Outcrop	Basalte à granulométrie très fine et texture homogène. Quartz en petites veines. On observe une troisième lithologie d'un ton beige-brun, très homogène, sans grains apparents (recristallisés). Ressemble beaucoup à de la gouge de faille.																		1908-3055/1	114019.4 Juillet 2008- 19-08-3055/1 & /2	
1908-3056	04-Jul-08	532152	6263661	Outcrop	Basalte à granulométrie très fine et texture homogène. Quartz en petites veines d'orientation préférentielle N130-N310, sub-parallèles. 2 types de gabbro: Un a gros très fins proche du basalte, et un plus grossier ou on peut reconnaître les plagioclases, pyroxène et olivine.																		1908-3056/1 & /2		
1908-3057	04-Jul-08	531393	6263821	Outcrop	Basalte à granulométrie très fine et texture homogène.																				
1908-3058	05-Jul-08	532076	6263230		Gabbro contenant des cristaux jusqu'au centimètre. Basalte à grains très fins, texture uniforme (pas capable de discerner les grains à l'œil). Veines de quartz ou lentilles.																		1908-3058/1, /2 & /3		



Tableau 7 - Tableau synoptique des traverses géologiques de Minowean 2008

No. Station géologique	Date	Coord. NAD83 Nordant	Coord. NAD83 Estant	Affleurement ou Bloc	Description de(s) la lithologie(s)	Lithologie A	Couleur A	Lithologie B	Couleur B	Lithologie C	Couleur C	Lithologie D	Couleur D	Lithologie E	Couleur E	Radiomètre utilisé	Rad. Brut de fond (cps)	Rad. Max. (cps)	Altération(s)	Minéralisation(s)	Type de structure 1	Azimuth 1	Pendage/ Plongée 1	Réf. 1	Type de structure 2	Azimuth 2	Pendage/ Plongée 2	Réf. 2	Type de structure 3	Azimuth 3	
1908-3059	05-Jul-08	532098	6263121	Outcrop	Basalte a grains tres fins, de texture uniforme, grains non-visible a l'oeil.	Basalte	gray									SPP gamma	110	290	Couleur d'alteration gris moyen.	Un de nos echantillon donne 100 cps. Radiometrie elevee, mais sur l'affleurement comme tel, pas de schistosité. On retrouve cette schisto 'a environs 50m direction N130 de la station dans la meme litho. On dirait qu'il y a un peu plus de sulfurs dans	Foliation	340	45	Basalte							
1908-3060	05-Jul-08	532109	6262907	Outcrop	Gabbro contenant des cristaux jusqu'au centimetre. Basalte a grains tres fins, de texture uniforme, grains non-visible a l'oeil. Le quartz se presente en petites veinules.	Gabbro	gray	Basalte	gray	Quartz	white					SPP gamma	25	30	Gabbro: Couleur d'alteration gris moyen; Basalte: Couleur d'alteration gris moyen; Quartz: Couleur d'alteration blanc;	Lithologie similaire a 19-08-3058. On retrouve presque toujours les 2 lithologie (gabbro et basalte) sur les memes affleurements. Elles semblent etroitement associees.											
1908-3061	05-Jul-08	532204	6262845	Outcrop	Gabbro contenant des cristaux jusqu'au centimetre. Basalte a grains tres fins, de texture uniforme, grains non-visible a l'oeil. Le quartz se presente en petites veinules.	Gabbro	gray	Basalte	gray	Quartz	white					SPP gamma	35	40	Gabbro: Couleur d'alteration gris moyen; Basalte: Couleur d'alteration gris moyen; Quartz: Pas d'alteration. Couleur a la surface blanc;	Meme que station 19-08-3060.	Thrust fault	150	67	Basalte							
1908-3062	05-Jul-08	532144	6262767	Outcrop	Gabbro contenant des cristaux jusqu'au centimetre. Basalte a grains tres fins, de texture uniforme, grains non-visible a l'oeil. Le quartz se presente en petites veinules.	Gabbro	gray	Basalte	gray	Quartz	white					SPP gamma	30	40	Gabbro: Couleur d'alteration gris moyen; Basalte: Couleur d'alteration gris moyen; Quartz: Pas d'alteration. Couleur a la surface blanc;	Meme que station 19-08-3060											
1908-3063	05-Jul-08	532173	6262629	Outcrop	Gabbro contenant des cristaux jusqu'au centimetre. Basalte a grains tres fins, de texture uniforme, grains non-visible a l'oeil. Le quartz se presente en petites veinules.	Gabbro	gray	Basalte	gray	Quartz	white					SPP gamma	75	90	Gabbro: Couleur d'alteration gris moyen; Basalte: Couleur d'alteration gris moyen; Quartz: Pas d'alteration. Couleur a la surface blanc;	Bien que la schistosité ne soit pas observable sur l'affleurement, on mesure un bruit de fond plus eleve. Elle est probablement cachee sous le couvert de mousse.											
1908-3064	05-Jul-08	532104	6262544	Outcrop	Gabbro contenant des cristaux jusqu'au centimetre. On retrouve ce qui ressembla a un dyke granitique (granodiorite) sur l'affleurement.	Gabbro	gray	Granodiorite	pink							SPP gamma	25	30	Gabbro: Couleur d'alteration gris moyen; Granodiorite: Couleur d'alteration gris moyen;	On observe dans le dyke felsique du quartz, plagio et un peu de Feldspath K. On trouve egalement un petit mineral noir difficile a identifier. L'orientation des fentes de tension pointe 'a pointe est environs N120-N300. Photos 114019-5 Juillet 2008-19	Vein, Dyke	345	56	Gabbro	Fentes de tension	15	90	Gabbro			
1908-3065	05-Jul-08	532132	6262381	Outcrop	Gabbro contenant des cristaux jusqu'au centimetre. Veine de quartz visible sur environs 1m de long.	Gabbro	gray	Quartz	white							SPP gamma	25	30	Gabbro: Couleur d'alteration gris moyen; Quartz: Pas d'alteration. Couleur a la surface blanc;	On ne retrouve pas de basalte sur cet affleurement comme observe precedemment sur d'autres affleurements.											

Tableau 7 - Tableau synoptique des traverses géologiques de Minowean 2008

No. Station géologique	Date	Coord. NAD83 Nordant	Coord. NAD83 Estant	Affleurement ou Bloc	Description de(s) la lithologie(s)	Pendage/ Plongée 3	Réf. 3	Type de structure 4	Azimuth 4	Pendage/ Plongée 4	Réf. 4	Type de structure 5	Azimuth 5	Pendage/ Plongée 5	Réf. 5	Type de structure 6	Azimuth 6	Pendage/ Plongée 6	Réf. 6	Type de structure 7	Azimuth 7	Pendage/ Plongée 7	Réf. 7	Échantillon(s)	Photo(s)
1908-3059	05-Jul-08	532098	6263121	Outcrop	Basalte a grains tres fins, de texture uniforme, grains non-visible a l'oeil.																			1908-3059/1 & /2	
1908-3060	05-Jul-08	532109	6262907	Outcrop	Gabbro contenant des cristaux jusqu'au centimetre. Basalte a grains tres fins, de texture uniforme, grains non-visible a l'oeil. Le quartz se presente en petites veinules.																				
1908-3061	05-Jul-08	532204	6262845	Outcrop	Gabbro contenant des cristaux jusqu'au centimetre. Basalte a grains tres fins, de texture uniforme, grains non-visible a l'oeil. Le quartz se presente en petites veinules.																				
1908-3062	05-Jul-08	532144	6262767	Outcrop	Gabbro contenant des cristaux jusqu'au centimetre. Basalte a grains tres fins, de texture uniforme, grains non-visible a l'oeil. Le quartz se presente en petites veinules.																				
1908-3063	05-Jul-08	532173	6262629	Outcrop	Gabbro contenant des cristaux jusqu'au centimetre. Basalte a grains tres fins, de texture uniforme, grains non-visible a l'oeil. Le quartz se presente en petites veinules.																				
1908-3064	05-Jul-08	532104	6262544	Outcrop	Gabbro contenant des cristaux jusqu'au centimetre. On retrouve ce qui ressemble a un dyke granitique (granodiorite) sur l'affleurement.																			114019 5 Juillet 2008- 19-08-3064/1 & /2	
1908-3065	05-Jul-08	532132	6262381	Outcrop	Gabbro contenant des cristaux jusqu'au centimetre. Veine de quartz visible sur environs 1m de long.																				

Tableau 7 - Tableau synoptique des traverses géologiques de Minowean 2008

No. Station géologique	Date	Coord. NAD83 Nordant	Coord. NAD83 Estant	Affleurement ou Bloc	Description de(s) la lithologie(s)	Lithologie A	Couleur A	Lithologie B	Couleur B	Lithologie C	Couleur C	Lithologie D	Couleur D	Lithologie E	Couleur E	Radiomètre utilisé	Rad. Brut de fond (cps)	Rad. Max. (cps)	Altération(s)	Minéralisation(s)	Type de structure 1	Azimuth 1	Pendage/ Plongée 1	Réf. 1	Type de structure 2	Azimuth 2	Pendage/ Plongée 2	Réf. 2	Type de structure 3	Azimuth 3
1908-3066	05-Jul-08	532394	6260866	Outcrop	Gabbro contenant des cristaux jusqu'au centimètre. Basalte a grains tres fins, de texture uniforme, grains non-visible a l'oeil.	Gabbro	gray	Basalte	gray							SPP gamma	120	140	Gabbro: Couleur d'alteration gris moyen; Basalte: Couleur d'alteration gris moyen;	On a pu mesurer a cet endroit la variation de la radiometrie du basalte jusqu'au gabbro: Basalte de 100 a 140cps; Transition de 30 a 40 cps; gabbro de 15 a 20 cps.	Foliation	345	64	Basalte	Thrust fault	260	32	Gabbro		
1908-3067	06-Jul-08	532524	6260255	Outcrop	Gabbro leucocrate a grains moyens, dont certains cristaux peuvent aller jusqu'a 5-7 mm.	Gabbro	gray									SPP gamma	30	40	Couleur alteree gris moyen. Peut-etre epidote.	on retrouve du plagioclase et du quartz surtout. On a egalement trouve de la magnetite dont un gros "chunk" d'environ 1cm tres magnetique. On retrouve egalement des sulfures en traces, ainsi que pyroxene et peut-etre un peu de hornblende.										
1908-3068	06-Jul-08	532440	6260181	Outcrop	Granitoide a grains moyens, dont certains cristaux peuvent aller jusqu'a 5-7 mm	Granodiorite	gray									SPP gamma	20	40	Couleur alteree gris moyen. Elle peut varier de moyen a rosatre. Peut-etre epidote.	Affleurement avec la meme lithologie que 19-08-3067. On observe par endroit ce qui ressemble a des dykes qui sont plus potassique.										
1908-3069	06-Jul-08	532359	6260430	Outcrop	Granitoide a grains moyens, dont certains cristaux peuvent aller jusqu'a 5-7 mm	Gabbro	gray									SPP gamma	30	35	Couleur alteree gris moyen. Elle peut varier de moyen a rosatre. Peut-etre epidote.	La roche est cassee par le gel, et il est difficile de distinguer des plans de faille dans la roche.										
1908-3070	06-Jul-08	532306	6260494	Outcrop	Granitoide a grains moyens, dont certains cristaux peuvent aller jusqu'a 5-7 mm. Gabbro melancrate a grains fins	gabbro leucocrate	gray	Gabbro	gray							SPP gamma	20	30	Gabbro leucocrate: Couleur alteree gris moyen. Elle peut varier de moyen a rosatre; Gabbro: Couleur d'alteration gris moyen;	On se trouve ici dans la zone de contact entre les gabbro/basalte et le gabbro leucocrate sur environ 2m. On a pas pu observer clairement si le contact etait net ou graduel a cause du recouvrement de quaternaire entre les deux. On note toute fois une d	Foliation	250	60	Gabbro	Fault zone breccia	190	80	Gabbro	Fault zone breccia	210
1908-3071	06-Jul-08	532310	6260578	Outcrop	Gabbro a grains fins et un peu plus grossier (toujours 5mm et moins). Basalte a grains tres fins, de texture uniforme, grains non-visible a l'oeil.	Gabbro	gray	Basalte	gray							SPP gamma	25	30	Gabbro: Couleur d'alteration gris moyen; Basalte: Couleur d'alteration gris moyen;	Photo 114019-6 juillet 2008-19-08-3071/1.	Fault zone breccia	200	55	Basalte	Fault zone breccia	350	57	Basalte		
1908-3072	06-Jul-08	532324	6260274	Outcrop	Gabbro a grains fins et un peu plus grossier (toujours 5mm et moins). Basalte a grains tres fins, de texture uniforme, grains non-visible a l'oeil.	Gabbro	gray	Basalte	gray							SPP gamma	25	30	Gabbro: Couleur d'alteration gris moyen; Basalte: Couleur d'alteration gris moyen;	Granulometrie et litho similaire a 19-08-3071.	Fault zone breccia	350	45	Gabbro	Fault zone breccia	20	53	Gabbro	Fault zone breccia	315
1908-3073	08-Jul-08	532882	6267567	Outcrop	Granulometrie tres fine et uniforme	Basalte	gray									SPP2	20	25	Couleur d'alteration gris moyen	Photo 114019- 8 juillet 2008-19-08-3073/1										
1908-3074	08-Jul-08	532634	6267585	Outcrop	Granulometrie tres fine et uniforme	Basalte	gray									SPP2	30	35	Couleur d'alteration gris moyen	Pas sur que l'affleurement est en place.										
1908-3075	08-Jul-08	532675	6267424	Outcrop	Granulometrie tres fine et uniforme	Basalte	gray									SPP gamma	90	140	Couleur d'alteration gris moyen	Photo 114019- 8 juillet 2008-19-08-3075/1										
1908-3076	08-Jul-08	532740	6267299	Boulder	Granulometrie tres fine et uniforme	Basalte	gray									SPP2	30	35	Couleur d'alteration gris moyen	Quelques blocs schisteux parmi les basalte "massifs".										



Tableau 7 - Tableau synoptique des traverses géologiques de Minowean 2008

No. Station géologique	Date	Coord. NAD83 Nordant	Coord. NAD83 Estant	Affleurement ou Bloc	Description de(s) la lithologie(s)	Pendage/ Plongée 3	Réf. 3	Type de structure 4	Azimuth 4	Pendage/ Plongée 4	Réf. 4	Type de structure 5	Azimuth 5	Pendage/ Plongée 5	Réf. 5	Type de structure 6	Azimuth 6	Pendage/ Plongée 6	Réf. 6	Type de structure 7	Azimuth 7	Pendage/ Plongée 7	Réf. 7	Échantillon(s)	Photo(s)
1908-3066	05-Jul-08	532394	6260866	Outcrop	Gabbro contenant des cristaux jusqu'au centimetre. Basalte a grains tres fins, de texture uniforme, grains non-visible a l'oeil.																				
1908-3067	06-Jul-08	532524	6260255	Outcrop	Gabbro leucocrate a grains moyens, dont certains cristaix peuvent aller jusqu'a 5-7 mm.																			1908-3067/1	
1908-3068	06-Jul-08	532440	6260181	Outcrop	Granitoide a grains moyens, dont certains cristaix peuvent aller jusqu'a 5-7 mm																				
1908-3069	08-Jul-08	532359	6260430	Outcrop	Granitoide a grains moyens, dont certains cristaix peuvent aller jusqu'a 5-7 mm																				
1908-3070	06-Jul-08	532306	6260494	Outcrop	Granitoide a grains moyens, dont certains cristaix peuvent aller jusqu'a 5-7 mm. Gabbro melanocrate a grains fins	80	Gabbro																		
1908-3071	06-Jul-08	532310	6260578	Outcrop	Gabbro a grains fins et un peu plus grossier (toujours 5mm et moins). Basalte a grains tres fins, de texture uniforme, grains non-visible a l'oeil.																				114019-6 juillet 2008 19-08-3071/1
1908-3072	06-Jul-08	532324	6260274	Outcrop	Gabbro a grains fins et un peu plus grossier (toujours 5mm et moins). Basalte a grains tres fins, de texture uniforme, grains non-visible a l'oeil.	65	Gabbro																		
1908-3073	08-Jul-08	532882	6267567	Outcrop	Granulometrie tres fine et uniforme																				114019-8 Juillet 2008- 19-08-3073/1
1908-3074	08-Jul-08	532634	6267585	Outcrop	Granulometrie tres fine et uniforme																				
1908-3075	08-Jul-08	532675	6267424	Outcrop	Granulometrie tres fine et uniforme																				114019-8 Juillet 2008- 19-08-3075/1
1908-3076	08-Jul-08	532740	6267299	Boulder	Granulometrie tres fine et uniforme																			1908-3076/1	

Tableau 7 - Tableau synoptique des traverses géologiques de Minowean 2008

No. Station géologique	Date	Coord. NAD83 Nordant	Coord. NAD83 Estant	Affleurement ou Bloc	Description de(s) la lithologie(s)	Lithologie A	Couleur A	Lithologie B	Couleur B	Lithologie C	Couleur C	Lithologie D	Couleur D	Lithologie E	Couleur E	Radiomètre utilisé	Rad. Brut de fond (cps)	Rad. Max. (cps)	Altération(s)	Minéralisation(s)	Type de structure 1	Azimuth 1	Pendage/ Plongée 1	Réf. 1	Type de structure 2	Azimuth 2	Pendage/ Plongée 2	Réf. 2	Type de structure 3	Azimuth 3	
1908-3077	08-Jul-08	532704	6267229	Outcrop	Granulometrie tres fine et uniforme	Basalte	gray									SPP gamma	120	315	Couleur d'alteration gris moyen	Affleurement difficile d'accès. On peut distinguer des "lits" (ou plans) plus massifs et compacts sans schistosité. Photo 114019-8 Juillet 2008-19-08-3077/1.	Foliation	0	60	Basalte	Thrust fault	210	72	Basalte			
1908-3078	08-Jul-08	532756	6267075													SPP2	110	120	Couleur d'alteration gris moyen	Identique et memes coordonnees que 19-08-3040. A proximite d'une anomalie determinee par relevés géophysiques. Zone de basalte schisteux.											
1908-3079	08-Jul-08	532396	6267027	Outcrop	Granulometrie tres fine et homogene.	Basalte	gray									SPP2	110	170	Couleur d'alteration gris moyen.	Photo 114019-8 Juillet 2008-19-08-3079/1 & /2	Foliation	0	45	Basalte	Thrust fault	230	90	Basalte	Thrust fault	100	
1908-3080	08-Jul-08	532157	6267020	Boulder	Granulometrie tres fine et homogene.	Basalte	gray									SPP2	110	300	Couleur d'alteration gris moyen	On peut voir quelques veines de quartz paralleles aux plans de schistosité. Un des blocs a monte jusqu'a 300 cps.											
1908-3081	08-Jul-08	531942	6266676		Basalte à granulometrie tres fine et homogene. Quartz à granulometrie plus grossiere (<1cm) pour le quartz. Veines de 2-3 cm d'epaisseur dans les plans de schistosité.	Basalte	gray	Quartz	white							SPP2	100	150	Basalte: Couleur d'alteration gris moyen; Quartz: Aucune. Couleur a la surface blanche;		Foliation	350	60	Basalte							
1908-3082	08-Jul-08	532257	6265843	Outcrop	Basalte à granulometrie tres fine et homogene. Veines de quartz millimetriques paralleles a sub-paralleles au plan de schistosité.	Basalte	gray	Quartz	white							SPP2	100	150	Basalte: Couleur d'alteration gris moyen; Quartz: Aucune. Couleur a la surface blanche;	Presence de petits cristaux de magnetite automorphe dans la roche.											
1908-3083	08-Jul-08	532162	6265494	Outcrop	Basalte à granulometrie tres fine et homogene. Veines de quartz millimetriques paralleles a sub-paralleles au plan de schistosité.	Basalte	gray	Quartz	white							SPP2	100	100	Basalte: Couleur d'alteration gris moyen; Quartz: Aucune. Couleur a la surface blanche;												
1908-3084	09-Jul-08	532722	6260816	Boulder	Basalte schisteux (Radiométrie de 250 cps dans un boulder de basalte schisteux). Dolomie rose	Basalte	gray	Dolomie	pink							SPP2	50	250	Basalte: Couleur d'alteration gris moyen;	Champ de boulder avec beaucoup de recouvrement quaternaire											
1908-3085	09-Jul-08	532387	6259976	Outcrop	granulométrie très fine et homogene	Basalte	gray									SPP2	15	25	couleur alteree est gris moyen	trace de sulfures et presence de magnetite dans la roche											
1908-3086	09-Jul-08	532157	6260161	Outcrop	Basalte à granulométrie fine et homogene. Quartz en veine avec muscovite avec un granulométrie moyenne ( environ 0,5 cm)	Basalte	gray	Quartz	white							SPP2	15	25	Basalte: Couleur alterée gris moyen; Quartz: Couleur alterée rosâtre;		fault	190	75	Basalte	fault	240	85	Basalte			
1908-3087	09-Jul-08	532277	6259636	Outcrop	granulométrie fine et homogene	Basalte	gray									SPP2	15	25	couleur alterée gris moyen	Idem 19-08-3086 Possibilité de presence de veine de quartz	fault	150	75	Basalte	fault	80	82	Basalte	fault	50	
1908-3088	09-Jul-08	532302	6259590	Outcrop	granulométrie fine et homogene	Basalte	gray									SPP2	15	25	couleur alterée gris moyen	Idem 19-08-3086 veine de quartz sans de muscovite	Vein, Sill	140	72		fault	70	72		Vein, Sill	260	
1908-3089	09-Jul-08	532221	6259561	Outcrop	granulométrie fine et homogene	Basalte	gray									SPP2	15	25	couleur alterée gris moyen	idem 19-08-3086											
1908-3090	09-Jul-08	531574	6259332	Boulder	Gabbro et basalte à granulometrie tres fine et homogene. Grain grossier avec matrice calcitique.	gabbro et basalte	gray	Arainite Quarzitique	white							SPP2	10	20	Gabbro et basalte: Couleur alterée gris moyen; Arainite quartzitique: Couleur alterée noire;												

Tableau 7 - Tableau synoptique des traverses géologiques de Minowean 2008

No. Station géologique	Date	Coord. NAD83 Nordant	Coord. NAD83 Estant	Affleurement ou Bloc	Description de(s) la lithologie(s)	Pendage/ Plongée 3	Réf. 3	Type de structure 4	Azimuth 4	Pendage/ Plongée 4	Réf. 4	Type de structure 5	Azimuth 5	Pendage/ Plongée 5	Réf. 5	Type de structure 6	Azimuth 6	Pendage/ Plongée 6	Réf. 6	Type de structure 7	Azimuth 7	Pendage/ Plongée 7	Réf. 7	Échantillon(s)	Photo(s)
1908-3077	08-Jul-08	532704	6267229	Outcrop	Granulometrie tres fine et uniforme																				114019-8 Juillet 2008- 19-08-3077/1
1908-3078	08-Jul-08	532756	6267075																						
1908-3079	08-Jul-08	532396	6267027	Outcrop	Granulometrie tres fine et homogene.	80	Basalte																		114019-8 Juillet 2008- 19-08-3079/1 & /2
1908-3080	08-Jul-08	532157	6267020	Boulder	Granulometrie tres fine et homogene.																			1908-3080/1	
1908-3081	08-Jul-08	531942	6266676		Basalte à granulometrie tres fine et homogene. Quartz à granulometrie plus grossiere (<1cm) pour le quartz. Veines de 2-3 cm d'epaisseur dans les plans de schistosite.																				
1908-3082	08-Jul-08	532257	6265843	Outcrop	Basalte à granulometrie tres fine et homogene. Veines de quartz millimetriques paralleles a sub-paralleles au plan de schistosite.																				
1908-3083	08-Jul-08	532162	6265494	Outcrop	Basalte à granulometrie tres fine et homogene. Veines de quartz millimetriques paralleles a sub-paralleles au plan de schistosite.																				
1908-3084	09-Jul-08	532722	6260816	Boulder	Basalte schisteux (Radiométrie de 250 cps dans un boulder de basalte schisteux). Dolomie rose																				
1908-3085	09-Jul-08	532387	6259976	Outcrop	granulométrie très fine et homogene																				
1908-3086	09-Jul-08	532157	6260161	Outcrop	Basalte à granulométrie fine et homogene. Quartz en veine avec muscovite avec un granulométrie moyenne ( environ 0,5 cm)																				
1908-3087	09-Jul-08	532277	6259636	Outcrop	granulométrie fine et homogene	83	Basalte																		
1908-3088	09-Jul-08	532302	6259590	Outcrop	granulométrie fine et homogene	90																			114019-9 Juillet 2008- 19-08-3088/1 & /2
1908-3089	09-Jul-08	532221	6259561	Outcrop	granulométrie fine et homogene																				
1908-3090	09-Jul-08	531574	6259332	Boulder	Gabbro et basalte à granulometrie tres fine et homogene. Grain grossier avec matrice calcitique.																			1908-3090/1	



Tableau 7 - Tableau synoptique des traverses géologiques de Minowean 2008

No. Station géologique	Date	Coord. NAD83 Nordant	Coord. NAD83 Estant	Affleurement ou Bloc	Description de(s) la lithologie(s)	Lithologie A	Couleur A	Lithologie B	Couleur B	Lithologie C	Couleur C	Lithologie D	Couleur D	Lithologie E	Couleur E	Radiomètre utilisé	Rad. Brut de fond (cps)	Rad. Max. (cps)	Altération(s)	Minéralisation(s)	Type de structure 1	Azimuth 1	Pendage/Plongée 1	Réf. 1	Type de structure 2	Azimuth 2	Pendage/Plongée 2	Réf. 2	Type de structure 3	Azimuth 3
1908-3091	09-Jul-08	531680	6258938	Outcrop	grains fins	Gabbro	gray									SPP2	10	20	couleur altérée brun pale		fault	290	80	Gabbro						
1908-3092	09-Jul-08	531679	6258905	Outcrop	grains fins	Gabbro	gray									SPP2	10	20	couleur altérée brun pale	idem a 19-08-3091	fault	240	82	Gabbro						
1908-3093	09-Jul-08	531706	6258585	Outcrop	basalte massif, granulométrie très fine et homogène	Basalte	gray									SPP2	15	25	couleur altérée gris moyen		fault	30	76	Basalte	fault	310	90	Basalte	fault	130
1908-3094	09-Jul-08	531917	6258360	Outcrop	basalte massif, granulométrie très fine et homogène	Basalte	gray									SPP2	15	25	couleur altérée gris moyen	idem a 19-08-3093										
1908-3095	10-Jul-08	532018	6258220	Outcrop	Granulométrie très fine et homogène, et un peu plus grossière par endroit (texture gabbroïque mais même composition). Trace de sulfures dans la roche et très légèrement magnétique.	Basalte	gray									SPP gamma	25	40			Cleavage (s1)	120	52	Basalte						
1908-3096	10-Jul-08	532080	6257024	Outcrop	Basalte très schisteux, granulométrie très fine et homogène. Veine de quartz avec hématite, granulométrie plus grossière (1cm)	Basalte	gray	Quartz	white							SPP gamma	65	80	Basalte: Gris moyen; Quartz: Blanchâtre;	Pas sur à 100% que l'affleurement soit en place. On rencontre plusieurs blocs de dolomie entre 19-08-3095 et 19-08-3096	Cleavage (s1)	0	45	Basalte						
1908-3097	10-Jul-08	532650	6258510	Outcrop	massif, granulométrie très fine et homogène	Basalte	gray									SPPgamma	15	20	Gris moyen		Cleavage (s1)	260	80	Basalte						
1908-3098	10-Jul-08	532784	6258523	Outcrop	Gabbro à grain fin. On retrouve des traces de sulfures dans le gabbro. On distingue également des cristaux d'épidote et des veines d'épidote dans des plans sub-parallèles. On retrouve dans le quartz un petit minéral vert fibreux qui devient rouge lorsque altéré (amphibole trémolite/actinote) (Photo). Contient également de la calcite.	Gabbro	gray	Quartz	white							SPP gamma	25	35	Gabbro: Gris moyen; Quartz: Blanc rosâtre;		Cleavage (s1)	170	75	Gabbro	fault	275	85	Gabbro		
1908-3099	10-Jul-08	533057	6258567	Outcrop	Grain fin. On retrouve des traces de sulfures dans le gabbro. On distingue également des cristaux d'épidote et des veines d'épidote dans des plans sub-parallèles, plus petites que 19-08-3098	Gabbro	gray									SPP gamma	15	25	Gris moyen		fault	235	75	Gabbro	Vein, Dyke	110	90	Gabbro		
1908-3105	11-Jul-08	536026	6252736	Outcrop	Gabbro à grain fin à 99%. Quartz, calcite et actinote (1%). Granulométrie plus grossière que pour le gabbro (5-7mm) dont certains cristaux sont bien développés. Une autre veine de quartz pleine de magnétite (50% quartz, 50% magnétite)	Gabbro		Quartz								SPP gamma	15	25		On observe quelques zones de broyage difficiles à mesurer car seulement visible sur quelques centimètres.	Vein, Dyke	0	90	Gabbro	Vein, Dyke	160	90	Gabbro	fault	40
1908-3106	11-Jul-08	536413	6253285	Outcrop	Granulométrie fine	Gabbro										SPP gamma	20	25		Pas sur qu'il soit en place. Il y a plusieurs autres blocs de gabbro autour et du quaternaire.										
1908-3107	11-Jul-08	534901	6253481	Boulder	Granulométrie fine (limite du basalte), présence d'un minéral rouge dans la roche	Gabbro	gray									SPP gamma	50	1000	Gris moyen											
1908-3108	11-Jul-08	534936	6253668	Boulder	99% des blocs	Gabbro										SPP gamma	30	60		aussi blocs de d'arenite, de dolomie et de B.L.F. (1%) Ce devrait être un affleurement de 2000 cps. Le seul vrai affleurement se trouve au milieu de la rivière en bas et n'est pas accessible à cause du courant.										
1908-3109	11-Jul-08	535007	6253757	Boulder		Gabbro										SPP gamma	40	60		Suppose une anomalie géophysique.										
1908-3110	11-Jul-08	534826	6253865	Boulder		Gabbro	gray									SPP gamma	45	110	Couleur d'altération gris moyen.	Se trouve à proximité des sites anormaux de 1000 et 2000 cps.										
1908-3100	10-Jul-08	532050	6256939													SPP gamma				Trous d'ou ont été enlevés un bloc minéralisé.										
1908-3101	10-Jul-08	532020	6256920													SPP gamma				Trous d'ou ont été enlevés un bloc minéralisé.										
1908-3102	11-Jul-08	531947	6256859													SPP gamma				Trous d'ou ont été enlevés un bloc minéralisé.										
1908-3103	10-Jul-08	532026	6256793													SPP gamma				Trous d'ou ont été enlevés un bloc minéralisé.										

Tableau 7 - Tableau synoptique des traverses géologiques de Minowean 2008

No. Station géologique	Date	Coord. NAD83 Nordant	Coord. NAD83 Estant	Affleurement ou Bloc	Description de(s) la lithologie(s)	Pendage/ Plongée 3	Réf. 3	Type de structure 4	Azimuth 4	Pendage/ Plongée 4	Réf. 4	Type de structure 5	Azimuth 5	Pendage/ Plongée 5	Réf. 5	Type de structure 6	Azimuth 6	Pendage/ Plongée 6	Réf. 6	Type de structure 7	Azimuth 7	Pendage/ Plongée 7	Réf. 7	Échantillon(s)	Photo(s)	
1908-3091	09-Jul-08	531680	6258938	Outcrop	grains fins																					
1908-3092	09-Jul-08	531679	6258905	Outcrop	grains fins																				1908-3092/1	
1908-3093	09-Jul-08	531706	6258585	Outcrop	basalte massif, granulométrie très fine et homogène	72	Basalte																			
1908-3094	09-Jul-08	531917	6258360	Outcrop	basalte massif, granulométrie très fine et homogène																					
1908-3095	10-Jul-08	532018	6258220	Outcrop	Granulométrie très fine et homogène, et un peu plus grossière par endroit (texture gabbroïque mais même composition). Trace de sulfures dans la roche et très légèrement manétique.																					
1908-3096	10-Jul-08	532080	6257024	Outcrop	Basalte très schisteux, granulométrie très fine et homogène. Veine de quartz avec hémalite, granulométrie plus grossière (1cm)																				1908-3096/1	
1908-3097	10-Jul-08	532650	6256510	Outcrop	massif, granulométrie très fine et homogène																					
1908-3098	10-Jul-08	532784	6256523	Outcrop	Gabbro à grain fin. On retrouve des traces de sulfures dans le gabbro. On distingue également des cristaux d'épidote et des veines d'épidote dans des plans sub-parallèles. On retrouve dans le quartz un petit minéral vert fibreux qui devient rouge lorsque altéré (amphibole trémolite/actinote) (Photo). Contient également de la calcite.																				114019-10 Juillet 2008- 19-08- 3098/1, /2, /3 & /4	
1908-3099	10-Jul-08	533057	6256567	Outcrop	Grain fin. On retrouve des traces de sulfures dans le gabbro. On distingue également des cristaux d'épidote et des veines d'épidote dans des plans sub-parallèles, plus petites que 19-08-3098																				114019-10 Juillet 2008- 19-08-3099/1 & /2	
1908-3105	11-Jul-08	536026	6252736	Outcrop	Gabbro à grain fin à 99%. Quartz, calcite et actinote (1%). Granulométrie plus grossière que pour le gabbro (5-7mm) dont certains cristaux sont bien développés. Une autre veine de quartz pleine de magnetite (50% quartz, 50% magnetite)	85	Gabbro																			
1908-3106	11-Jul-08	536413	6253285	Outcrop	Granulométrie fine																					
1908-3107	11-Jul-08	534901	6253481	Boulder	Granulométrie fine (limite du basalte), présence d'un minéral rouge dans la roche																				1908-3107/1	
1908-3108	11-Jul-08	534936	6253668	Boulder	99% des blocs																					
1908-3109	11-Jul-08	535007	6253757	Boulder																						
1908-3110	11-Jul-08	534826	6253865	Boulder																						
1908-3100	10-Jul-08	532050	6256939																							
1908-3101	10-Jul-08	532020	6256920																						114019-10 Juillet 2008- 19-08-3101/1	
1908-3102	11-Jul-08	531947	6256859																							
1908-3103	10-Jul-08	532026	6256793																							



Tableau 7 - Tableau synoptique des traverses géologiques de Minowean 2008

No. Station géologique	Date	Coord. NAD83 Nordant	Coord. NAD83 Estant	Affleurement ou Bloc	Description de(s) la lithologie(s)	Lithologie A	Couleur A	Lithologie B	Couleur B	Lithologie C	Couleur C	Lithologie D	Couleur D	Lithologie E	Couleur E	Radiomètre utilisé	Rad. Brut de fond (cps)	Rad. Max. (cps)	Altération(s)	Minéralisation(s)	Type de structure 1	Azimuth 1	Pendage/ Plongée 1	Réf. 1	Type de structure 2	Azimuth 2	Pendage/ Plongée 2	Réf. 2	Type de structure 3	Azimuth 3
1908-3104	11-Jul-08	532170	6256718													SPP gamma				Rebuts de forage laissés sur place par Eldorado Nuclear.										
1908-3111	12-Jul-08			Outcrop	Grès à grains fins mais visible à la loupe, et à matrice calcique. Veines de calcite	Gres	gray	Calcite	brown							SPP gamma			Grès: Couleur d'altération brun foncé; Calcite: Couleur d'altération beige;											
1908-3112	12-Jul-08	527740	6255415		gres quartzeux	Gres	gray									SPP gamma	40	5600	Couleur d'altération brun foncé	Par endroit, ciment carbonate. On observe également une brèche hydrothermale à ciment carbonate. Les anomalies semblent suivre les plans de fracture.	Bedding	315	56	Gres	fault	275	72	Gres		
1908-3113	12-Jul-08	527762	6255464	Outcrop	Gres quartzeux dolomitique et veines de carbonate	Gres	gray	Carbonate	brown							SPP gamma	30	40	Grès: Couleur d'altération brun foncé; Carbonate: Couleur d'altération beige moyen;		Vein, Dyke	34	16	Gres						
1908-3114	12-Jul-08	527832	6255506	Outcrop	Gres quartzeux légèrement dolomitique (matrice carbonatée).	Gres	gray									SPP2	20	25	Couleur d'altération brun foncé.		Bedding	312	52	Gres	fault	125	52	Gres		
1908-3115	12-Jul-08	527861	6255524	Outcrop	Gres quartzeux dolomitique et fentes de tensions (riedels) remplies de quartz	Gres	gray	Quartz	white							SPP gamma	100	3500	Grès: Couleur d'altération brun foncé; Quartz: Pas d'altération. Couleur à la surface blanc.	Note: On retrouve également de très petites veines de calcite qui sont recouvertes par les riedels. On retrouve également une zone bréchifiée à matrice carbonatée.	Bedding	304	62	Gres	Riedels	180	68	Gres	fault	170
1908-3116	12-Jul-08	528012	6255637	Outcrop	Gres quartzeux. Veines de quartz	Gres	gray	Quartz	white							SPP gamma	15	25	Grès: Couleur d'altération brun foncé; Quartz: Pas d'altération. Couleur surface blanc.		Bedding	334	66	Gres	Vein, Dyke	300	28	Gres		
1908-3117	12-Jul-08	528039	6255651	Outcrop	gres quartzeux	Gres	gray									SPP2	60	450	Couleur d'altération brun foncé.		fault	342	60	Gres	stries de faille	100	48	Gres		
1908-3118	12-Jul-08	528114	6255706	Outcrop	Gres quartzeux. Siltite située à la base de l'affleurement	Gres	gray	siltite	gray							SPP gamma	35	107	Grès: Couleur d'altération brun foncé; Siltite: Couleur d'altération gris moyen.	Maximum gamma dans fracture. Radiométrie plus élevée (80 cps) dans siltite.	Bedding	315	44	Gres	fault	270	82	Gres	fault	312
1908-3119	12-Jul-08	527778	6255593	Outcrop	Gres quartzeux.	Gres	gray									SPP gamma	20	25	couleur d'altération brun-foncé.											
1908-3120	12-Jul-08	527727	6255550	Outcrop	Gres quartzitique. Veinules de quartz	Gres	gray	Quartz	white							SPP2	20	25	Grès: Couleur d'altération brun foncé; Quartz: Pas d'altération. Couleur de surface blanche.		Bedding	325	55	Gres	Vein, Dyke	355	8	Gres		
1908-3121	12-Jul-08	527702	6255527	Outcrop	Gres quartzitique à matrice calcique (ou dolomitique). Veinules de quartz	Gres	gray	Quartz	white							SPP gamma	20	25	Grès: Couleur d'altération brun foncé; Quartz: Pas d'altération. Couleur de surface blanche.	Quelques veines de gres dolomitise.	Bedding	328	70	Gres	Vein, Dyke	300	30	Gres		
1908-3123	12-Jul-08	527759	6255691	Outcrop	Gres quartzitique. Veinules de quartz.	Gres	gray	Quartz	white							SPP gamma	2000	40000	Grès: Couleur d'altération brun foncé; Quartz: Pas d'altération. Couleur de surface blanche.	Indice ferme-Nord.										



Tableau 7 - Tableau synoptique des traverses géologiques de Minowean 2008

No. Station géologique	Date	Coord. NAD83 Nordant	Coord. NAD83 Estant	Affleurement ou Bloc	Description de(s) la lithologie(s)	Pendage/ Plongée 3	Réf. 3	Type de structure 4	Azimuth 4	Pendage/ Plongée 4	Réf. 4	Type de structure 5	Azimuth 5	Pendage/ Plongée 5	Réf. 5	Type de structure 6	Azimuth 6	Pendage/ Plongée 6	Réf. 6	Type de structure 7	Azimuth 7	Pendage/ Plongée 7	Réf. 7	Échantillon(s)	Photo(s)
1908-3104	11-Jul-08	532170	6256718																						114019-10 Juillet 2008- 19-08-3104/1
1908-3111	12-Jul-08			Outcrop	Grès à grains fins mais visible a la loupe, et à matrice calcique. Veines de calcite																				114019-12 Juillet 2008- 19-08-3111/1
1908-3112	12-Jul-08	527740	6255415		gres quartzeux																				114019-12 juillet 2008- 19-08- 3112/1, /2, /3, /4, /5, /6, /7, /8 & /9
1908-3113	12-Jul-08	527762	6255464	Outcrop	Gres quartzeux dolomitique et veines de carbonate																				114019-12 juillet 2008- 19-08-3113/1
1908-3114	12-Jul-08	527832	6255506	Outcrop	Gres quartzeux legerement dolomitique (matrice carbonatee).																				114019-12 juillet 2008- 19-08-3114/1
1908-3115	12-Jul-08	527861	6255524	Outcrop	Gres quartzeux dolomitique et fentes de tensions (riedels) remplies de quartz	68	Gres																		114019-12 juillet 2008- 19-08- 3115/1, /2, /3, /4, /5, /6, /7 & /8
1908-3116	12-Jul-08	528012	6255637	Outcrop	Gres quartzeux. Veines de quartz																				114019-12 Juillet 2008- 19-08-3116/1
1908-3117	12-Jul-08	528039	6255651	Outcrop	gres quartzeux																				114019-12 juillet 2008- 19-08- 3117/1, /2, /3, /4 & /5
1908-3118	12-Jul-08	528114	6255706	Outcrop	Gres quartzeux. Sillite situee a la base de l'affleurement	75	Gres																		114019-12 Juillet 2008- 19-08- 3118/1, /2, /3 & /4
1908-3119	12-Jul-08	527778	6255593	Outcrop	Gres quartzeux.																				
1908-3120	12-Jul-08	527727	6255550	Outcrop	Gres quartzitique. Veinules de quartz																				114019-12 juillet 2008- 19-08-3120/1 & /2
1908-3121	12-Jul-08	527702	6255527	Outcrop	Gres quartzitique a matrice calcique (ou dolomitique). Veinules de quartz																				114019-12 juillet 2008- 19-08-3121/1 & /2
1908-3123	12-Jul-08	527759	6255691	Outcrop	Gres quartzitique. Veinules de quartz.																				114019-12 Juillet 2008- 19-08- 3123/1, /2, /3, /4 & /5

Tableau 7 - Tableau synoptique des traverses géologiques de Minowean 2008

No. Station géologique	Date	Coord. NAD83 Nordant	Coord. NAD83 Estant	Affleurement ou Bloc	Description de(s) la lithologie(s)	Lithologie A	Couleur A	Lithologie B	Couleur B	Lithologie C	Couleur C	Lithologie D	Couleur D	Lithologie E	Couleur E	Radiomètre utilisé	Rad. Brut de fond (cps)	Rad. Max. (cps)	Altération(s)	Minéralisation(s)	Type de structure 1	Azimuth 1	Pendage/Plongée 1	Réf. 1	Type de structure 2	Azimuth 2	Pendage/Plongée 2	Réf. 2	Type de structure 3	Azimuth 3	
1908-3122	12-Jul-08	527670	6255583	Outcrop	Gres quartzeux. Veinules de quartz.	Gres	gray	Quartz	white							SPP2	25	350	Grès: Couleur d'alteration brun foncé; Quartz: Pas d'alteration. Couleur de surface blanche.		Bedding	350	45	Gres	Vein, Dyke	232	68	Gres			
1908-3124	13-Jul-08	527598	6255632	Outcrop	Gres quartzitique a matrice calcique. Lentilles ou veines de carbonate	Gres	gray	Carbonate	white							SPP gamma	20	47	Grès: Couleur d'alteration gris clair; Carbonate: Couleur a la surface blanc;	On a obtenu 47 cps dans une zone schisteuse au creux d'une cavite. Photo 114019-12. Juillet 2008-19-08-3124/1 et /2.	fault	318	44	Gres	stries de faille	120	27	Gres			
1908-3125	13-Jul-08	527718	6256002	Outcrop	Gres quartzitique a grains fins et moyenne (heterogeneite de la taille des grains). Veines de carbonate	Gres	gray	Quartz	white	Carbonate	white					SPP gamma	20	25	Grès: Couleur d'alteration gris moyen; Quartz: Pas d'alteration, mais couleur de surface blanc; Carbonate: Couleur de surface blanc;	On peut observer une zone brechique dans le gres quartzitique avec des clastes de gres et dolomie. La matrice est calcique. Elle fait environs 1,50m d'epaisseur et est situee a la base de la serie. Les veinules de quartz sont anterieur a la breche. On	Vein, Dyke	70	68	Gres	Vein, Dyke	264	90	Gres	Bedding	339	
1908-3126	13-Jul-08	527709	6255821	Outcrop	Gres quartzitique a matrice carbonatee. Veinules de quartz	Gres	gray	Quartz	white							SPP2	25	800	Grès: Couleur d'alteration brun-beige; Quartz: Pas d'alteration. Couleur de surface blanc;	On retrouve une petite zone brechique a matrice calcique a proximite de l'anomalie a 800 cps. Photos 114019-13. Juillet 2008-19-08-3126/1 & /2.	Vein, Dyke	118	35	Gres							
1908-3127	13-Jul-08	527771	6255818	Outcrop	Gres quartzitique. Veines de quartz	Gres	gray	Quartz	white							SPP gamma	20	25	Grès: Couleur d'alteration gris moyen; Quartz: Couleur de surface blanc;	Petite zone de breche silicifée (brechique). Photo 114019-13. Juillet 2008-19-08-3127/1.	Bedding	2		Gres							
1908-3128	13-Jul-08	527795	6255798	Outcrop	Quartz en veinules	Gres	gray	Quartz	white							SPP gamma	15	20	Grès: Couleur d'alteration gris moyen; Quartz: Pas d'alteration. Couleur de surface blanc;	Petits cubes de pyrite alteres rougeatres. Les sties montrent une faille normale décrochante dextre.	fault	253	50	Gres	stries de faille	91	41	Gres			
1908-3129	13-Jul-08	527803	6255854			Gres	gray	Quartz	white							SPP gamma	15	20	Grès: Couleur d'alteration gris moyen; Quartz: Pas d'alteration. Couleur de surface blanc;												
1908-3130	13-Jul-08	527916	6255924	Outcrop	Veine de quartz de 5 a 5 cm d'epaisseur.	Gres	gray	Quartz	white							SPP gamma	15	20	Grès: Couleur d'alteration gris moyen; Quartz: Pas d'alteration. Couleur de surface blanc;		Vein, Dyke	125	3	Gres							
1908-3131	15-Jul-08	526235	6260326	Boulder	Grès à granulometrie tres fine. Veinules de quartz	Gres	gray	Quartz	white							SPP gamma	25	30	Grès: Couleur d'alteration gris moyen; Quartz: Pas d'alteration. Couleur de surface blanc;	Pas sur que l'affleurement est en place. C'est pourquoi il faut prendre les mesures structurales avec prudence. Photo 114019-15. Juillet 2008-19-08-3121/1 (litage) et /2 (affleurement).	Bedding	260	30	Gres							
1908-3132	15-Jul-08	526457	6260202	Boulder	Grès à granulometrie tres fine. Veinules de quartz	Gres	gray	Quartz	white							SPP gamma	15	20	Grès: Couleur d'alteration gris moyen; Quartz: Pas d'alteration. Couleur de surface blanc;												

Tableau 7 - Tableau synoptique des traverses géologiques de Minowean 2008

No. Station géologique	Date	Coord. NAD83 Nordant	Coord. NAD83 Estant	Affleurement ou Bloc	Description de(s) la lithologie(s)	Pendage/Plongée 3	Réf. 3	Type de structure 4	Azimuth 4	Pendage/Plongée 4	Réf. 4	Type de structure 5	Azimuth 5	Pendage/Plongée 5	Réf. 5	Type de structure 6	Azimuth 6	Pendage/Plongée 6	Réf. 6	Type de structure 7	Azimuth 7	Pendage/Plongée 7	Réf. 7	Échantillon(s)	Photo(s)
1908-3122	12-Jul-08	527070	6255583	Outcrop	Gres quartziteux. Veinules de quartz.																				114019-12 Juillet 2008- 19-08-3122/1
1908-3124	13-Jul-08	527598	6255632	Outcrop	Gres quartzitique a matrice calcique. Lentilles ou veines de carbonate																				114019-13 Juillet 2008- 19-08-3124/1 & /2
1908-3125	13-Jul-08	527718	6256002	Outcrop	Gres quartzitique a grains fins et moyenne (heterogeneite de la taille des grains). Veines de carbonate	77	Gres																		114019-13 juillet 2008- 19-08-3125/1 & /2
1908-3126	13-Jul-08	527709	6255821	Outcrop	Gres quartzitique a matrice carbonatee. Veinules de quartz																				114019-13 juillet 2008- 19-08-3126/1
1908-3127	13-Jul-08	527771	6255818	Outcrop	Gres quartzitique. Veines de quartz																				114019-13 juillet 2008- 19-08-3127/1
1908-3128	13-Jul-08	527795	6255798	Outcrop	Quartz en veinules																				
1908-3129	13-Jul-08	527803	6255854																						
1908-3130	13-Jul-08	527916	6255924	Outcrop	Veine de quartz de 5 a 5 cm d'epaisseur.																				
1908-3131	15-Jul-08	526235	6260326	Boulder	Grès à granulometrie tres fine. Veinules de quartz																				114019-15 juillet 2008- 19-08-3131/1 7 /2
1908-3132	15-Jul-08	526457	6260202	Boulder	Grès à granulometrie tres fine. Veinules de quartz																				



Tableau 7 - Tableau synoptique des traverses géologiques de Minowean 2008

No. Station géologique	Date	Coord. NAD83 Nordant	Coord. NAD83 Estant	Affleurement ou Bloc	Description de(s) la lithologie(s)	Lithologie A	Couleur A	Lithologie B	Couleur B	Lithologie C	Couleur C	Lithologie D	Couleur D	Lithologie E	Couleur E	Radiomètre utilisé	Rad. Bruit de fond (cps)	Rad. Max. (cps)	Altération(s)	Minéralisation(s)	Type de structure 1	Azimuth 1	Pendage/Plongée 1	Réf. 1	Type de structure 2	Azimuth 2	Pendage/Plongée 2	Réf. 2	Type de structure 3	Azimuth 3
1908-3133	15-Jul-08	526165	6260561	Boulder	Gres quartzitique et gres dolomitise	Gres	gray	Dolomie	gray							SPP gamma	30	40	Grès: Couleur d'alteration gris moyen; Dolomie: Couleur d'alteration gris clair;	on avait egalement des boulder qui provenaient de breches et tres alters.										
1908-3134	15-Jul-08	526342	6261168	Outcrop	quartz en veines	siltite	gray	Dolomie	gray	Quartz	white					SPP gamma	15	20	Siltite: Couleur d'alteration gris pale a verdatre (peut-etre chloritisation); Dolomie: Couleur d'alteration beige; Quartz: Pas d'alteration. Couleur de surface blanc.	On semble avoir une breche a la base de l'affleurement dans laquelle on retrouve un gros bloc de dolomie. La matrice semble legerement calcique. Photo 114019-15 Juillet 2008-19-08-3134/1 (siltite), /2 (breche) et /3 (faille).										
1908-3135	16-Jul-08	533497	6248402	Boulder	grains tres fins et rougeatre.	siltite	red									SPP gamma	80	150	Couleur rougeatre due a l'alteration par hematization.	Ce secteur est une cible anomalique geophysique. On constate que le bruit de fond est assez eleve, mais sous une couche de quaternaire importante. Il nous est donc impossible de confirmer ou non que c'est effectivement le roche qui est en place.										
1908-3136	16-Jul-08	533740	6248419		Siltite grise a patine grise pale	siltite	gray									SPP gamma	60	75	Couleur d'alteration gris pale. On observe egalement des taches rouges caracteristiques de l'alteration de la pyrite. On observe egalement a quelques endroits des cristaux de chlorite (chloritisation???) sur quelques surfaces alterees.	Trace de prite dans la roche. Photos 114019-16 juillet 2008-19-08-3136/2 (affleurement et schisto) et /2 (litage).	Cleavage (s1)	340	70	siltite	Bedding	355	20	siltite		
1908-3137	16-Jul-08	533728	6249410	Boulder	siltite rouge	siltite	red									SPP gamma	70	110	Couleur d'alteration rouge	Encore ici, le bruit de fond eleve semble etroitement lie a la siltite rouge. C'est autour de ces blocs que la radiometrie est la plus elevee.										
1908-3138	16-Jul-08	533531	6249720	Boulder	siltite rouge	siltite	red									SPP gamma	100	150	Couleur d'alteration rouge due a l'hematization	ici, le bruit de fond est plus eleve car on se trouve dans un champ de boulders. La majorite des blocs sont de la siltite rouge. On peut egalement y voir du gres, de la dolomie, mais pas de bloc de gabro observe dans le champ.										
1908-3139	17-Jul-08	532450	6250101	Outcrop	Siltite fortement schistosee	siltite	gray									SPP gamma	70	80	Couleur d'alteration gris moyen a verdatre par endroit (peut-etre chloritisation).	Pas de mineraux visibles, mais couleur rougeatre par endroit probablement due a l'alteration de la pyrite par endroit.	Cleavage (s1)	330	73	siltite						

Tableau 7 - Tableau synoptique des traverses géologiques de Minowean 2008

No. Station géologique	Date	Coord. NAD83 Nordant	Coord. NAD83 Estant	Affleurement ou Bloc	Description de(s) la lithologie(s)	Pendage/ Plongée 3	Réf. 3	Type de structure 4	Azimuth 4	Pendage/ Plongée 4	Réf. 4	Type de structure 5	Azimuth 5	Pendage/ Plongée 5	Réf. 5	Type de structure 6	Azimuth 6	Pendage/ Plongée 6	Réf. 6	Type de structure 7	Azimuth 7	Pendage/ Plongée 7	Réf. 7	Échantillon(s)	Photo(s)
1908-3133	15-Jul-08	526165	6260581	Boulder	Grès quartzitique et grès dolomitique																				
1908-3134	15-Jul-08	526342	6261168	Outcrop	quartz en veines																			1908-3134/1 & /2	114019-15 juillet 2008-19-08-3134/1, /2 & /3
1908-3135	16-Jul-08	533497	6248402	Boulder	grains tres fins et rougeatre.																			1908-3135/1	
1908-3136	16-Jul-08	533740	6248419		Siltite grise a patine grise pale																				114019- 16 juillet 2008-19-08-3136/1 & /2
1908-3137	16-Jul-08	533728	6249410	Boulder	siltite rouge																			1908-3137/1	
1908-3138	16-Jul-08	533531	6249720	Boulder	siltite rouge																				
1908-3139	17-Jul-08	532450	6250101	Outcrop	Siltite fortement schistosee																				

Tableau 7 - Tableau synoptique des traverses géologiques de Minowean 2008

No. Station géologique	Date	Coord. NAD83 Nordant	Coord. NAD83 Estant	Affleurement ou Bloc	Description de(s) la lithologie(s)	Lithologie A	Couleur A	Lithologie B	Couleur B	Lithologie C	Couleur C	Lithologie D	Couleur D	Lithologie E	Couleur E	Radiomètre utilisé	Rad. Brut de fond (cps)	Rad. Max. (cps)	Altération(s)	Minéralisation(s)	Type de structure 1	Azimuth 1	Pendage/ Plongée 1	Réf. 1	Type de structure 2	Azimuth 2	Pendage/ Plongée 2	Réf. 2	Type de structure 3	Azimuth 3
1908-3140	17-Jul-08	532571	6250536		Siltite fortement schistosee	siltite	gray									SPP2	60	75	Couleur d'alteration gris moyen a verdatre par endroit (peut-etre chloritisation).	Pas de mineraux visibles, mais couleur rougeatre par endroit probablement due a l'alteration de la pyrite par endroit.	Cleavage (s1)	330	63	siltite						
1908-3141	17-Jul-08	531978	6251038	Outcrop	Siltite fortement schistosee	siltite	gray									SPP2	50	55	Couleur d'alteration gris moyen a verdatre par endroit (peut-etre chloritisation).	Pas de mineraux visibles, mais couleur rougeatre par endroit probablement due a l'alteration de la pyrite par endroit. Photo 114019-17 Juillet 2008-19-08-3141/1 (affleurement, faille et schistosité).	Cleavage (s1)	330	67	siltite	fault	230	85	siltite	fault	230
1908-3142	17-Jul-08	533056	6251465	Outcrop	Dolomie siltitique a grains tres fins. Quartz à granulometrie un peu plus grossiere que la dolomie. Il se presente en veinules qui s'entre-croisent.	Dolomie	gray	Quartz	white							SPP2	25	35	Dolomie: Couleur d'alteration brun-beige; Quartz: Pas d'alteration. Couleur de surface blanc.	On peu voir egalement une substance d'origine organique (charbon ou graphite) qui sont le resultat de la chaleur produite par le frottement (cisaillement) dans la roche. Photos 114019-17 juillet 2008-19-08-3142/1 et /2.	Vein, Dyke	120	64	Dolomie	fault	250	85	Dolomie		
1908-3143	17-Jul-08	533201	6251468	Outcrop	Dolomie siltitique a grains tres fins. Quartz à granulometrie un peu plus grossiere que la dolomie. Il se presente en veinules qui s'entre-croisent.	Dolomie	gray	Quartz	white							SPP2	25	35	Dolomie: Couleur d'alteration brun-beige; Quartz: Pas d'alteration. Couleur de surface blanc.	On remarque aussi ce qui semble etre une breche hydrothermale avec matrice calcique et ciste de dolomie. Photo 114019-17 juillet 2008-19-08-3143/1 et /2.	fault	70	63	Dolomie						
1908-3144	17-Jul-08	533342	6251321		Dolomie siltitique a grains tres fins. Quartz à granulometrie un peu plus grossiere que la dolomie. Il se presente en veinules qui s'entre-croisent.	Dolomie	gray	Quartz	white							SPP2	25	35	Dolomie: Couleur d'alteration brun-beige; Quartz: Pas d'alteration. Couleur de surface blanc.	Pas d'indices structuraux visibles sur l'affleurement.										
1908-3145	19-Jul-08	528292	6259582	Boulder	Gres quartzitique	Gres	gray	Basalte	gray	Dolomie	gray	siltite	gray			SPP gamma	55	80	Grès: Patine d'alteration gris moyen; Basalte: Patine d'alteration gris moyen; Dolomie: Patine d'alteration brun-beige; Siltite: Patine d'alteration gris pale a vert tres pale (chlorite);	Champ de boulders de dimensions metriques certains anguleux, d'autres arrondis et de nature differente: Gres quartzitique, dolomie, siltite et basalte.										
1908-3146	19-Jul-08	527783	6258773	Boulder	gres quartzitique dolomitique	Gres	gray									SPP gamma	70	160	Patine d'alteration brun-beige	Max 160 cps probablement du a un effet de masse. Certaines roches semblent un peu plus schisteuses que d'autres et un peu chloritisees.										
1908-3147	19-Jul-08	528030	6257858			Gres	gray									SPP gamma	100	220	Patine d'alteration gris pale.	Max 200 cps probablement du a un effet de masse. Photo 114019-19 Juillet 2008-19-08-3147/2 et /2.										



Tableau 7 - Tableau synoptique des traverses géologiques de Minowean 2008

No. Station géologique	Date	Coord. NAD83 Nordant	Coord. NAD83 Estant	Affleurement ou Bloc	Description de(s) la lithologie(s)	Pendage/ Plongée 3	Réf. 3	Type de structure 4	Azimuth 4	Pendage/ Plongée 4	Réf. 4	Type de structure 5	Azimuth 5	Pendage/ Plongée 5	Réf. 5	Type de structure 6	Azimuth 6	Pendage/ Plongée 6	Réf. 6	Type de structure 7	Azimuth 7	Pendage/ Plongée 7	Réf. 7	Échantillon(s)	Photo(s)
1908-3140	17-Jul-08	532571	6250536		Siltite fortement schistosee																				
1908-3141	17-Jul-08	531978	6251038	Outcrop	Siltite fortement schistosee	90	siltite																		114019-17 juillet 2008- 19-08-3141/1
1908-3142	17-Jul-08	533056	6251465	Outcrop	Dolomie siltitique a grains tres fins. Quartz à granulometrie un peu plus grossiere que la dolomie. Il se presente en veinules qui s'entre-croisent.																			1908-3142/1	114019-17 Juillet 2008- 19-08-3142/1 & /2
1908-3143	17-Jul-08	533201	6251468	Outcrop	Dolomie siltitique a grains tres fins. Quartz à granulometrie un peu plus grossiere que la dolomie. Il se presente en veinules qui s'entre-croisent.																				114019-17 Juillet 2008- 19-08-3143/1 & /2
1908-3144	17-Jul-08	533342	6251321		Dolomie siltitique a grains tres fins. Quartz à granulometrie un peu plus grossiere que la dolomie. Il se presente en veinules qui s'entre-croisent.																				
1908-3145	19-Jul-08	528292	6259582	Boulder	Gres quartzitique																				
1908-3146	19-Jul-08	527783	6258773	Boulder	gres quartzitique dolomitique																				
1908-3147	19-Jul-08	528030	6257858																						114019-19 Juillet 2008- 19-08-3147/1 & /2

Tableau 7 - Tableau synoptique des traverses géologiques de Minowean 2008

No. Station géologique	Date	Coord. NAD83 Nordant	Coord. NAD83 Estant	Affleurement ou Bloc	Description de(s) la lithologie(s)	Lithologie A	Couleur A	Lithologie B	Couleur B	Lithologie C	Couleur C	Lithologie D	Couleur D	Lithologie E	Couleur E	Radiomètre utilisé	Rad. Bruit de fond (cps)	Rad. Max. (cps)	Altération(s)	Minéralisation(s)	Type de structure 1	Azimuth 1	Pendage/ Plongée 1	Réf. 1	Type de structure 2	Azimuth 2	Pendage/ Plongée 2	Réf. 2	Type de structure 3	Azimuth 3		
1908-3148	19-Jul-08	528188	6257438	Outcrop		Dolomie	gray									SPP gamma	20	25	Patine d'altération brun-beige.	Pas sur que la roche soit en place. Elle ressemble plus a un gros bloc qui a été mis en place par les glaciers. Photo 114019-19 Juillet 2008-19-08-3148/1												
1908-3149	19-Jul-08	528345	6256395	Outcrop	siltite avec plan de schistosité. Granulométrie très fine.	siltite	gray									SPP gamma	75	90	Patine d'altération gris clair.	Photo 114019-19 Juillet 2008-19-08-3149/1 et /2.	Cleavage (s1)	340	63	siltite								
1908-3150	20-Jul-08	532593	6263675	Outcrop	Basalte schisteux	Basalte	gray									SPP gamma	110	160	Couleur d'altération gris moyen. On observe aussi quelques veinules verdâtres-gris qui sont probablement de la sericitisation.	La roche a probablement été re-cristallisée. Certaines sont plus pâles (probablement le plagio qui a recristallisé et qui donne cette teinte plus pâle, et qui s'altère par la suite en taches rougeâtres). On a cassé une roche qui semblait en place et dans	Cleavage (s1)	0	30	Basalte	fault	290	80	Basalte				
1908-3151	20-Jul-08	532612	6263672		Basalte schisteux	Basalte	gray									SPP gamma	100	140	Couleur d'altération gris moyen. On observe aussi quelques veinules verdâtres-gris qui sont probablement de la sericitisation.													
1908-3152	20-Jul-08	532705	6263681	Outcrop	Basalte schisteux	Basalte	gray									SPP gamma	90	100	Couleur d'altération gris moyen. On observe aussi quelques veinules verdâtres-gris qui sont probablement de la sericitisation.	On remarque sur l'affleurement parmi les dépôts quaternaire un bloc rouge qui ressemble à de l'arkose litée, bloc assez anguleux (Photo 114019-20 Juillet 2008-19-08-3152/1). Situé à environ 50 m d'une anomalie géophysique.	Cleavage (s1)	10	53	Basalte								
1908-3153	20-Jul-08	532730	6263624	Outcrop	Basalte schisteux	Basalte	gray									SPP gamma	90	100	Couleur d'altération gris moyen. On observe aussi quelques veinules verdâtres-gris qui sont probablement de la sericitisation.		fault	290	80	Basalte								
1908-3154	20-Jul-08	532676	6263345	Outcrop	Basalte schisteux	Basalte	gray									SPP gamma	120	150	Couleur d'altération gris moyen. On observe aussi quelques veinules verdâtres-gris qui sont probablement de la sericitisation.	Les veinules semblent être déviées par la schistosité (cisaillement).	Cleavage (s1)	350	40	Basalte	Vein, Dyke	160	75	Basalte				
1908-3155	20-Jul-08	532713	6263178	Outcrop	Basalte schisteux. Veines de quartz hématisées	Basalte	gray	Quartz	white							SPP gamma	70	80	Basalte: Couleur d'altération gris moyen. On observe aussi quelques veinules verdâtres-gris qui sont probablement de la sericitisation; Quartz: Couleur blanche, mais beaucoup d'hématite et magnétite dans la veine.		Vein, Dyke	155	90	Basalte								

Tableau 7 - Tableau synoptique des traverses géologiques de Minowean 2008

No. Station géologique	Date	Coord. NAD83 Nordant	Coord. NAD83 Estant	Affleurement ou Bloc	Description de(s) la lithologie(s)	Pendage/ Plongée 3	Réf. 3	Type de structure 4	Azimuth 4	Pendage/ Plongée 4	Réf. 4	Type de structure 5	Azimuth 5	Pendage/ Plongée 5	Réf. 5	Type de structure 6	Azimuth 6	Pendage/ Plongée 6	Réf. 6	Type de structure 7	Azimuth 7	Pendage/ Plongée 7	Réf. 7	Échantillon(s)	Photo(s)
1908-3148	19-Jul-08	528188	6257438	Outcrop																					114019-19 Juillet 2008- 19-08-3148/1
1908-3149	19-Jul-08	528345	6256395	Outcrop	siltite avec plan de schistosité. Granulométrie très fine.																				114019-19 Juillet 2008- 19-08-3149/1 & /2
1908-3150	20-Jul-08	532593	6263675	Outcrop	Basalte schisteux																				
1908-3151	20-Jul-08	532612	6263672		Basalte schisteux																				
1908-3152	20-Jul-08	532705	6263681	Outcrop	Basalte schisteux																				114019-20 Juillet 2008- 19-08-3152/1
1908-3153	20-Jul-08	532730	6263624	Outcrop	Basalte schisteux																				114019-20 Juillet 2008- 19-08-3153/1
1908-3154	20-Jul-08	532676	6263345	Outcrop	Basalte schisteux																				
1908-3155	20-Jul-08	532713	6263178	Outcrop	Basalte schisteux. Veines de quartz hematisees																				114019-20 juillet 2008- 19-08-3155/1 & /2



Tableau 7 - Tableau synoptique des traverses géologiques de Minowean 2008

No. Station géologique	Date	Coord. NAD83 Nordant	Coord. NAD83 Estant	Affleurement ou Bloc	Description de(s) la lithologie(s)	Lithologie A	Couleur A	Lithologie B	Couleur B	Lithologie C	Couleur C	Lithologie D	Couleur D	Lithologie E	Couleur E	Radiomètre utilisé	Rad. Brut de fond (cps)	Rad. Max. (cps)	Altération(s)	Minéralisation(s)	Type de structure 1	Azimuth 1	Pendage/Plongée 1	Réf. 1	Type de structure 2	Azimuth 2	Pendage/Plongée 2	Réf. 2	Type de structure 3	Azimuth 3
1908-3156	20-Jul-08	532719	6263043	Outcrop	Basalte schisteux	Basalte	gray									SPP gamma	80	90	Couleur d'altération gris moyen. On observe aussi quelques veinules verdâtres-gris qui sont probablement de la sericitisation.		Vein, Dyke	120	60	Basalte	Vein, Dyke	130	80	Basalte		
1908-3157	20-Jul-08	532912	6262880	Outcrop	Basalte schisteux	Basalte	gray									SPP gamma	100	110	veinules de couleur verdâtre avec de l'amphibole à l'intérieur.		Cleavage (s1)	10	25	Basalte	Cleavage (s1)	355	25	Basalte		
1908-3158	20-Jul-08	532758	6262220	Boulder	Gres dolomitique	Basalte	gray	Gres	gray							SPP gamma	70	80	Basalte: Couleur d'altération gris moyen. On observe aussi quelques veinules verdâtres-gris qui sont probablement de la sericitisation; Grès: Couleur d'altération brun-beige	On observe également un gros bloc de dimension plurimétrique de BIF sub-anguleux. La majorité du site est recouvert de mousse. Moins de 50 m d'une anomalie géophysique.										
1908-3159	20-Jul-08	532487	6262008	Boulder	Gres quartzitique	Basalte	gray	Gres	gray	Dolomie	gray					SPP gamma	100	120	Basalte: Couleur d'altération gris moyen. On observe aussi quelques veinules verdâtres-gris qui sont probablement de la sericitisation; Grès: Couleur d'altération gris moyen; Dolomie: Couleur d'altération brun-beige	Le site est recouvert de mousse et de quaternaire. Les blocs sont de dimensions métriques à plurimétriques, et sub-anguleux. On observe dans le gres des cubes de pyrites et des mouches de pyrite oxydée suivant des plans de fracture dans le gres.										
1908-3160	21-Jul-08	533786	6261631	Boulder	Basalte schisteux. Gres dolomitique.	Basalte	gray	Gres	gray							SPP gamma	100	140	Basalte: Couleur d'altération gris moyen. Petites fractures qui semblent être sericitisées; Grès: Couleur d'altération brun-beige	Les blocs sont d'anguleux à sub-anguleux, et de dimensions plurimétriques. On observe également dans quelques blocs de la pyrite et de la magnetite (automorphe) dissimines. Correspond à une anomalie géophysique.										
1908-3161	21-Jul-08	533708	6261455	Boulder	Basalte schisteux. Gres dolomitique.	Basalte	gray	Gres	gray							SPP gamma	100	140	Basalte: Couleur d'altération gris moyen. Petites fractures qui semblent être sericitisées; Grès: Couleur d'altération brun-beige	Les blocs sont d'anguleux à sub-anguleux, et de dimensions plurimétriques. On observe également dans quelques blocs de la pyrite et de la magnetite (automorphe) dissimines. Correspond à une anomalie géophysique.										
1908-3162	21-Jul-08	533570	6261308	Boulder	Basalte schisteux. Gres dolomitique.	Basalte	gray	Gres	gray							SPP gamma	100	140	Basalte: Couleur d'altération gris moyen. Petites fractures qui semblent être sericitisées; Grès: Couleur d'altération brun-beige	Les blocs sont d'anguleux à sub-anguleux, et de dimensions plurimétriques. On observe également dans quelques blocs de la pyrite et de la magnetite (automorphe) dissimines. A proximité d'une anomalie géophysique.										

Tableau 7 - Tableau synoptique des traverses géologiques de Minowean 2008

No. Station géologique	Date	Coord. NAD83 Nordant	Coord. NAD83 Estant	Affleurement ou Bloc	Description de(s) la lithologie(s)	Pendage/ Plongée 3	Réf. 3	Type de structure 4	Azimuth 4	Pendage/ Plongée 4	Réf. 4	Type de structure 5	Azimuth 5	Pendage/ Plongée 5	Réf. 5	Type de structure 6	Azimuth 6	Pendage/ Plongée 6	Réf. 6	Type de structure 7	Azimuth 7	Pendage/ Plongée 7	Réf. 7	Échantillon(s)	Photo(s)
1908-3156	20-Jul-08	532719	6263043	Outcrop	Basalte schisteux																				
1908-3157	20-Jul-08	532912	6262880	Outcrop	Basalte schisteux																			1908-3157/1	
1908-3158	20-Jul-08	532758	6262220	Boulder	Gres dolomitique																				
1908-3159	20-Jul-08	532487	6262008	Boulder	Gres quartzitique																				
1908-3160	21-Jul-08	533786	6261631	Boulder	Basalte schisteux. Gres dolomitique.																				
1908-3161	21-Jul-08	533708	6261455	Boulder	Basalte schisteux. Gres dolomitique.																				
1908-3162	21-Jul-08	533570	6261308	Boulder	Basalte schisteux. Gres dolomitique.																				

Tableau 7 - Tableau synoptique des traverses géologiques de Minowean 2008

No. Station géologique	Date	Coord. NAD83 Nordant	Coord. NAD83 Estant	Affleurement ou Bloc	Description de(s) la lithologie(s)	Lithologie A	Couleur A	Lithologie B	Couleur B	Lithologie C	Couleur C	Lithologie D	Couleur D	Lithologie E	Couleur E	Radiomètre utilisé	Rad. Bruit de fond (cps)	Rad. Max. (cps)	Altération(s)	Minéralisation(s)	Type de structure 1	Azimuth 1	Pendage/ Plongée 1	Réf. 1	Type de structure 2	Azimuth 2	Pendage/ Plongée 2	Réf. 2	Type de structure 3	Azimuth 3	
1908-3163	21-Jul-08	532918	6261418	Boulder	Basalte schisteux. Gres dolomitique.	Basalte	gray	Gres	gray							SPP gamma	80	100	Basalte: Couleur d'alteration gris moyen. Petites fractures qui semblent être sericitisées; Grès: Couleur d'alteration brun-beige	Les blocs sont d'angleux a sub-angleux, et de dimensions plurimétriques. On observe également dans quelques blocs de la pyrite et de la magnétite (automorphe) dissimulées. A proximité d'une anomalie géophysique.											
1908-3164	21-Jul-08	532749	6261517	Boulder	Basalte schisteux. Gres dolomitique.	Basalte	gray	Gres	gray							SPP gamma	100	140	Basalte: Couleur d'alteration gris moyen. Petites fractures qui semblent être sericitisées; Grès: Couleur d'alteration brun-beige	Les blocs sont d'angleux a sub-angleux, et de dimensions plurimétriques. On observe également dans quelques blocs de la pyrite et de la magnétite (automorphe) dissimulées. A proximité d'une anomalie géophysique.											
1908-3165	21-Jul-08	532585	6261672	Boulder	Basalte schisteux. Gres dolomitique.	Basalte	gray	Gres	gray							SPP gamma	90	120	Basalte: Couleur d'alteration gris moyen. Petites fractures qui semblent être sericitisées; Grès: Couleur d'alteration brun-beige	Les blocs sont d'angleux a sub-angleux, et de dimensions plurimétriques. On observe également dans quelques blocs de la pyrite et de la magnétite (automorphe) dissimulées. A proximité d'une anomalie géophysique.											
1908-3166	21-Jul-08	532354	6260428	Outcrop	Gabbro melancrate et leucocrate (plus pale). Granulométrie assez grossiere avec des cristaux pouvant mesurer autour de 5mm.	gabbro	gray									SPP gamma			Petites veinules d'epidote dans l'affleurement. Couleur d'alteration gris moyen	Les gabbros melancrates et leucocrates semblent le produit d'une différenciation magmatique car les deux ont été observés a plusieurs autres endroits autour de ce point. Photos 114019-21 juillet 2008-19-08-3166/1 et /2.	fault	0	45	gabbro	fault	25	90	gabbro	fault	205	
1908-3167	22-Jul-08	531789	6269157	Boulder	Basalte schisteux. Granulométrie tres fine.	Basalte	gray									SPP gamma	100	220	Couleur d'alteration gris moyen. Certains blocs semblent sericitise ou chloritises.	Le 220 cps du probablement a un effet géométrique.											
1908-3168	22-Jul-08	532101	6269391		Basalte schisteux a grains tres fins	Basalte	gray									SPP gamma	90	110	Couleur d'alteration gris moyen. Certains blocs semblent sericitise ou chloritises.	On peut voir quelques veines de quartz dans certains blocs, dont une qui semble avoir les épones epidotisées. On voit aussi des mouches oxydées (pyrites???) et une certaine différenciation (leucocrate/melancrate) dans quelques blocs. On a également dan											



Tableau 7 - Tableau synoptique des traverses géologiques de Minowean 2008

No. Station géologique	Date	Coord. NAD83 Nordant	Coord. NAD83 Estant	Affleurement ou Bloc	Description de(s) la lithologie(s)	Pendage/ Plongée 3	Réf. 3	Type de structure 4	Azimuth 4	Pendage/ Plongée 4	Réf. 4	Type de structure 5	Azimuth 5	Pendage/ Plongée 5	Réf. 5	Type de structure 6	Azimuth 6	Pendage/ Plongée 6	Réf. 6	Type de structure 7	Azimuth 7	Pendage/ Plongée 7	Réf. 7	Échantillon(s)	Photo(s)
1908-3163	21-Jul-08	532918	6261418	Boulder	Basalte schisteux. Gres dolomitique.																				
1908-3164	21-Jul-08	532749	6261517	Boulder	Basalte schisteux. Gres dolomitique.																				
1908-3165	21-Jul-08	532585	6261672	Boulder	Basalte schisteux. Gres dolomitique.																				
1908-3166	21-Jul-08	532354	6260428	Outcrop	Gabbro melanocrate et leucocrate (plus pale). Granulometrie assez grossiere avec des cristaux pouvant mesurer autour de 5mm.	75	gabbro																	114019-21 Juillet 2008- 19-08-3166/1 & /2	
1908-3167	22-Jul-08	531789	6269157	Boulder	Basalte schisteux. Granulometrie tres fine.																				
1908-3168	22-Jul-08	532101	6269391		Basalte schisteux a grains tres fins																			114019-22 Juillet 2008- 19-08-3168/1	

Tableau 7 - Tableau synoptique des traverses géologiques de Minowean 2008

No. Station géologique	Date	Coord. NAD83 Nordant	Coord. NAD83 Estant	Affleurement ou Bloc	Description de(s) la lithologie(s)	Lithologie A	Couleur A	Lithologie B	Couleur B	Lithologie C	Couleur C	Lithologie D	Couleur D	Lithologie E	Couleur E	Radiomètre utilisé	Rad. Brut de fond (cps)	Rad. Max. (cps)	Altération(s)	Minéralisation(s)	Type de structure 1	Azimuth 1	Pendage/ Plongée 1	Réf. 1	Type de structure 2	Azimuth 2	Pendage/ Plongée 2	Réf. 2	Type de structure 3	Azimuth 3
1908-3169	22-Jul-08	531901	6269402		Basalte schisteux a grains tres fins	Basalte	gray									SPP gamma	100	220	Couleur d'alteration gris moyen. Certains blocs semblent sericitise ou chloritises.	on a observe dans un bloc une veine de quartz hematisee. Les blocs sont anguleux a sub-anguleux comme pour 19-08-3167 et 3168. Certains sont plurimetriques et contiennent de la pyrite et de la magnetite. La lithologie des blocs est tres homogene. On a										
1908-3170	22-Jul-08	531837	6269805	Boulder	Basalte schisteux a grains tres fins	Basalte	gray									SPP gamma	150	300	Couleur d'alteration gris moyen. Certains blocs semblent sericitise ou chloritises.	Tres gros bloc de basalte qui donne jusqu'à 300 cps. Se trouve a moins de 25 m d'une anomalie geophysique.										
1908-3171	22-Jul-08	531682	6270420	Boulder	Basalte schisteux a grains tres fins	Basalte	gray									SPP gamma	100	220	Couleur d'alteration gris moyen. Certains blocs semblent sericitise ou chloritises.	Blocs anguleux. Le max de 220cps encore une fois dans une zone sericitisee et/ou chloritisee. On note aussi un bloc avec des morceaux plus roses qui semblent plus feldspathiques. Photo 114019-22 Juillet 2008-19-08-3171/1. Correspond a une anomalie										
1908-3172	22-Jul-08	531442	62670406	Boulder	Basalte schisteux a granulometrie tres fine.	Basalte	gray									SPP gamma	100	200	Couleur d'alteration gris moyen. Certains blocs semblent sericitise ou chloritises.	Toujours les memes blocs de basalte schisteux anguleux a sub-anguleux. On retrouve egalement par endroits, quelques blocs de gres et dolomie dont un petit bloc de couleur rouge a matrice calcique. Photo 114019-22 Juillet 2008-19-08-3172/1. on remarque										
1908-3173	22-Jul-08	531433	6270505		Basalte schisteux a granulometrie tres fine.	Basalte	green									SPP gamma	85	100	Couleur d'alteration gris moyen. Lorsque casse dans la schistosite, couleur vert chlorite.		Cleavage (s1)	350	65	Basalte	fault	70	90	Basalte		
1908-3174	23-Jul-08	531549	6271021	Boulder	Basalte schisteux	Basalte	gray									SPP gamma	95	120	Couleur d'alteration gris pate et verdâtre aux endroits chloritises.	Dans certains blocs, presence de magnetite et trace de pyrite. Blocs angulaire a sub-angulaires, de taille metrique. La couverture de mousse est tres importante, mais on devine la presence de blocs en-dessous. Se trouve a environs 20 m d'une anomalie g										

Tableau 7 - Tableau synoptique des traverses géologiques de Minowean 2008

No. Station géologique	Date	Coord. NAD83 Nordant	Coord. NAD83 Estant	Affleurement ou Bloc	Description de(s) la lithologie(s)	Pendage/ Plongée 3	Réf. 3	Type de structure 4	Azimuth 4	Pendage/ Plongée 4	Réf. 4	Type de structure 5	Azimuth 5	Pendage/ Plongée 5	Réf. 5	Type de structure 6	Azimuth 6	Pendage/ Plongée 6	Réf. 6	Type de structure 7	Azimuth 7	Pendage/ Plongée 7	Réf. 7	Échantillon(s)	Photo(s)
1908-3169	22-Jul-08	531901	6269402		Basalte schisteux a grains tres fins																			1908-3169/1	114019-22 Juillet 2008- 19-08-3169/1 & /2
1908-3170	22-Jul-08	531837	6269805	Boulder	Basalte schisteux a grains tres fins																			1908-3170/1	
1908-3171	22-Jul-08	531682	6270420	Boulder	Basalte schisteux a grains tres fins																			1908-3171/1	114019-22 Juillet 2008- 19-08-3171/1
1908-3172	22-Jul-08	531442	62670406	Boulder	Basalte schisteux a granulometrie tres fine.																				114019-22 Juillet 2008- 19-08-3172/1
1908-3173	22-Jul-08	531433	6270505		Basalte schisteux a granulometrie tres fine.																			1908-3173/1	114019-22 Juillet 2008- 19-08-3173/1 & /2
1908-3174	23-Jul-08	531549	6271021	Boulder	Basalte schisteux																				



Tableau 7 - Tableau synoptique des traverses géologiques de Minowean 2008

No. Station géologique	Date	Coord. NAD83 Nordant	Coord. NAD83 Estant	Affleurement ou Bloc	Description de(s) la lithologie(s)	Lithologie A	Couleur A	Lithologie B	Couleur B	Lithologie C	Couleur C	Lithologie D	Couleur D	Lithologie E	Couleur E	Radiomètre utilisé	Rad. Brut de fond (cps)	Rad. Max. (cps)	Altération(s)	Minéralisation(s)	Type de structure 1	Azimuth 1	Pendage/ Plongée 1	Réf. 1	Type de structure 2	Azimuth 2	Pendage/ Plongée 2	Réf. 2	Type de structure 3	Azimuth 3
1908-3175	23-Jul-08	531285	6271322	Boulder	Basalte schisteux	Basalte	gray									SPP gamma	100	120	Couleur d'altération gris pale et verdâtre aux endroits chloritises.	Ce champ de blocs est plus dégage que la station 19-08-3174. 99% du champ est compose de basalte schisteux. Presence d'un bloc de fer rubanne qui contient de la magnetite et de l'hematite. Blocs de dimension metrique, et sub-anguleux. Correspond a une										
1908-3176	23-Jul-08	531212	6271422	Outcrop	Basalte schisteux. La granulometrie est tres fine, mais on peut distinguer quelques cristaux de chlorite. Quartz en veines	Basalte	gray	Quartz	white							SPP gamma	95	115	Basalte: Couleur d'altération gris pale et verdâtre aux endroits chloritises; Quartz: Couleur de surface blanc. Pas de trace d'hematite.	Presence de magnetite dans certains horizons. On dirait qu'il y a un second clivage mal developpe dans la schistosite. Photo 114019-23 juillet 2008-19-08-3176/1 a /4.	Cleavage (s1)	355	75	Basalte	fault	80	Basalte			
1908-3177	23-Jul-08	531174	6271569	Outcrop	Basalte schisteux. La granulometrie est tres fine, mais on peut distinguer quelques cristaux de chlorite. Quartz en veines	Basalte	gray	Quartz	white							SPP gamma	80	110	Basalte: Couleur d'altération gris pale et verdâtre aux endroits chloritises; Quartz: Couleur de surface blanc;	Affleurement meme que 19-08-3176. Le second clivage y est mieux defini. Photo 114019-23 Juillet 2008-19-08-3177/1, /2 et /3. A moins de 20m d'une anomalie geophysique.	Cleavage (s1)	355	70	Basalte	Cleavage (s1)	330	65	Basalte		
1908-3178	23-Jul-08	531558	6271644	Boulder	Basalte schisteux. La granulometrie est tres fine, mais on peut distinguer quelques cristaux de chlorite.	Basalte	gray									SPP gamma	75	85	Couleur d'altération gris pale et verdâtre aux endroits chloritises.	Recouvrement quaternaire et vegetal tres important. Quelques blocs de basaltes schisteux visibles, et on devine la presence d'autres sous la mousse. Correspond a une anomalie de geophysique.										
1908-3179	23-Jul-08	531548	6271921	Boulder	Basalte schisteux. La granulometrie est tres fine, mais on peut distinguer quelques cristaux de chlorite.	Basalte	gray									SPP gamma	110	140	Couleur d'altération gris pale et verdâtre aux endroits chloritises.	Presence de magnetite, et trace de pyrite dans certains blocs. Blocs de dimension metrique, anguleux a sub-anguleux. Correspond a une anomalie geophysique.										
1908-3180	23-Jul-08	531574	6272228	Boulder	Basalte schisteux. La granulometrie est tres fine, mais on peut distinguer quelques cristaux de chlorite.	Basalte	gray									SPP gamma	85	100	Couleur d'altération gris pale et verdâtre aux endroits chloritises.	blocs de dimension metrique, et anguleux a sub-anguleux. Un bloc de gres dolomitique sub-arrondis parmi les blocs de basalte. Correspond a une anomalie geophysique.										

Tableau 7 - Tableau synoptique des traverses géologiques de Minowean 2008

No. Station géologique	Date	Coord. NAD83 Nordant	Coord. NAD83 Estant	Affleurement ou Bloc	Description de(s) la lithologie(s)	Pendage/ Plongée 3	Réf. 3	Type de structure 4	Azimuth 4	Pendage/ Plongée 4	Réf. 4	Type de structure 5	Azimuth 5	Pendage/ Plongée 5	Réf. 5	Type de structure 6	Azimuth 6	Pendage/ Plongée 6	Réf. 6	Type de structure 7	Azimuth 7	Pendage/ Plongée 7	Réf. 7	Échantillon(s)	Photo(s)	
1908-3175	23-Jul-08	531285	6271322	Boulder	Basalte schisteux																				114019-23 Juillet 2008- 19-08-3175/1	
1908-3176	23-Jul-08	531212	6271422	Outcrop	Basalte schisteux. La granulométrie est très fine, mais on peut distinguer quelques cristaux de chlorite. Quartz en veines																				114019-23 Juillet 2008- 19-08- 3176/1, /2, /3 & /4	
1908-3177	23-Jul-08	531174	6271569	Outcrop	Basalte schisteux. La granulométrie est très fine, mais on peut distinguer quelques cristaux de chlorite. Quartz en veines																				114019-23 Juillet 2008- 19-08- 3177/1, /2 & /3	
1908-3178	23-Jul-08	531558	6271644	Boulder	Basalte schisteux. La granulométrie est très fine, mais on peut distinguer quelques cristaux de chlorite.																					
1908-3179	23-Jul-08	531548	6271921	Boulder	Basalte schisteux. La granulométrie est très fine, mais on peut distinguer quelques cristaux de chlorite.																					
1908-3180	23-Jul-08	531574	6272228	Boulder	Basalte schisteux. La granulométrie est très fine, mais on peut distinguer quelques cristaux de chlorite.																					

Tableau 7 - Tableau synoptique des traverses géologiques de Minowean 2008

No. Station géologique	Date	Coord. NAD83 Nordant	Coord. NAD83 Estant	Affleurement ou Bloc	Description de(s) la lithologie(s)	Lithologie A	Couleur A	Lithologie B	Couleur B	Lithologie C	Couleur C	Lithologie D	Couleur D	Lithologie E	Couleur E	Radiomètre utilisé	Rad. Brut de fond (cps)	Rad. Max. (cps)	Altération(s)	Minéralisation(s)	Type de structure 1	Azimuth 1	Pendage/ Plongée 1	Réf. 1	Type de structure 2	Azimuth 2	Pendage/ Plongée 2	Réf. 2	Type de structure 3	Azimuth 3
1908-3181	23-Jul-08	531665	6272382		Basalte schisteux. La granulometrie est tres fine, mais on peut distinguer quelques cristaux de chlorite.	Basalte	gray									SPP gamma	80	120	Couleur d'alteration gris pale et verdatre aux endroits chloritises.	On remarque dans ce champ des blocs de lithologie differente (gres, dolomie, et gabbro) qui sont plus arrondis compare a ceux de basalte. Certains font de 3 a 6m de diametre. 95% du champ compose de basalte. Correspond a une anomalie geophysique. Phot										
1908-3182	23-Jul-08	531604	6272629	Boulder	Gabbro a grain tres fin.	gabbro	gray									SPP gamma	20	25	Couleur d'alteration gris pale et verdatre aux endroits chloritises.	Les blocs sont assez gtros (3 a 5m) et sub-anguleux a sub-arrondis. Les basaltes ont pratiquement disparus du champ de blocs. La radiometrie a egatement baissee significativement.										
1908-3183	23-Jul-08	531502	6272813		Gabbro a grain tres fin, a la limite du basalte.	gabbro	gray									SPP gamma	20	30	Couleur d'alteration gris pale et verdatre aux endroits chloritises.	Photo 114019-23 Juillet 2008-19-08-3183/1.	fault	85	70	gabbro	fault	210	74	gabbro		
1908-3184	24-Jul-08	527992	6271035	Boulder	Basalte schisteux a grains tres fins. Gres a matrice calcique	Basalte	gray	Gres	gray							SPP gamma	100	120	Basalte: Couleur d'alteration gris moyen avec des teintes verdattes dues a la chlorite; Gres: Couleur d'alteration brun foncé.	Les blocs sont sub angulaires et peuvent aller jusqu'a 2m. Photo 114019-24 Juillet 2008-19-08-3184/1.										
1908-3185	24-Jul-08	528078	6271174	Outcrop	Basalte schisteux a grains tres fins. Petites veines de quartz qui recourent la schistosite.	Basalte	gray	Quartz	white							SPP gamma	75	100	Basalte: Couleur d'alteration gris moyen avec des teintes verdattes dues a la chlorite; Quartz: Pas d'alteration. Couleur de surface blanc.	Photo 114019-24 Juillet 2008-19-08-3185/1, /2 et /3.	Cleavage (s1)	25	66	Basalte	Vein, Dyke	135	80	Basalte		
1908-3186	24-Jul-08	528133	6271472		Basalte schisteux a grains tres fins.	Basalte	gray									SPP gamma	85	115	Couleur d'alteration gris moyen avec des teintes verdattes dues a la chlorite	La zone correspond a une anomalie geophysique, mais a part quelques blocs de basalte eparpilles, la zone est recouverte de mousse et de vegetation.										
1908-3187	24-Jul-08	527719	6271610	Boulder		Basalte	gray									SPP gamma	60	80	Couleur d'alteration gris moyen avec des teintes verdattes dues a la chlorite	La zone correspond a une anomalie geophysique et se trouve sur une colline de depots quaternaires. Aucun affleurement visible si ce n'est quelques blocs ici et la dans la mousse.										



Tableau 7 - Tableau synoptique des traverses géologiques de Minowean 2008

No. Station géologique	Date	Coord. NAD83 Nordant	Coord. NAD83 Estant	Affleurement ou Bloc	Description de(s) la lithologie(s)	Pendage/ Plongée 3	Réf. 3	Type de structure 4	Azimuth 4	Pendage/ Plongée 4	Réf. 4	Type de structure 5	Azimuth 5	Pendage/ Plongée 5	Réf. 5	Type de structure 6	Azimuth 6	Pendage/ Plongée 6	Réf. 6	Type de structure 7	Azimuth 7	Pendage/ Plongée 7	Réf. 7	Échantillon(s)	Photo(s)
1908-3181	23-Jul-08	531665	6272382		Basalte schisteux. La granulometrie est tres fine, mais on peut distinguer quelques cristaux de chlorite.																				114019-23 Juillet 2008- 19-08-3181/1
1908-3182	23-Jul-08	531604	6272629	Boulder	Gabbro a grain tres fin.																				
1908-3183	23-Jul-08	531502	6272813		Gabbro a grain tres fin, a la limite du basalte.																			1908-3183/1	114019-23 Juillet 2008- 19-08-3183/1 & /2
1908-3184	24-Jul-08	527992	6271035	Boulder	Basalte schisteux a grains tres fins. Gres a matrice calcique																			1908-3184/1	114019-24 Juillet 2008- 19-08-3184/1
1908-3185	24-Jul-08	528078	6271174	Outcrop	Basalte schisteux a grains tres fins. Petites veines de quartz qui recouperent la schistosite.																			1908-3185/1	114019-24 Juillet 2008- 19-08- 3185/1, /2 & /3
1908-3186	24-Jul-08	528133	6271472		Basalte schisteux a grains tres fins.																				
1908-3187	24-Jul-08	527719	6271610	Boulder																					

Tableau 7 - Tableau synoptique des traverses géologiques de Minowean 2008

No. Station géologique	Date	Coord. NAD83 Nordant	Coord. NAD83 Estant	Affleurement ou Bloc	Description de(s) la lithologie(s)	Lithologie A	Couleur A	Lithologie B	Couleur B	Lithologie C	Couleur C	Lithologie D	Couleur D	Lithologie E	Couleur E	Radiomètre utilisé	Rad. Bruit de fond (cps)	Rad. Max. (cps)	Altération(s)	Minéralisation(s)	Type de structure 1	Azimuth 1	Pendage/ Plongée 1	Réf. 1	Type de structure 2	Azimuth 2	Pendage/ Plongée 2	Réf. 2	Type de structure 3	Azimuth 3
1908-3188	24-Jul-08	527986	6271885	Boulder	Basalte schisteux a grains tres fins. Gres a matrice calcique	Basalte	gray	Gres	gray							SPP gamma	85	100	Basalte: Couleur d'alteration gris moyen avec des teintes verdâtres dues a la chlorite; Grès: Couleur d'alteration brun foncé;	Station situee a environs 30 m d'une anomalie geophysique. Beaucoup de recouvrement quaternaire. Les blocs sont sub-anguleux et certains sont de dimension metrique.										
1908-3189	24-Jul-08	528121	6272074	Boulder	Basalte schisteux a grains tres fins. Gres a matrice calcique	Basalte	gray	Gres	gray							SPP gamma	90	105	Basalte: Couleur d'alteration gris moyen avec des teintes verdâtres dues a la chlorite; Grès: Couleur d'alteration brun foncé;	Station a environs 30m d'une anomalie geophysique. Beaucoup de recouvrement quaternaire autour. Les blocs sont sub-anguleux et plus petits que les stations precedentes.										
1908-3190	24-Jul-08	528863	6272076	Boulder	Basalte schisteux a grains tres fins. Gres a matrice calcique	Basalte	gray	Gres	gray							SPP gamma			Basalte: Couleur d'alteration gris moyen avec des teintes verdâtres dues a la chlorite; Grès: Couleur d'alteration brun foncé;	Correspond a une anomalie geophysique. Blocs sub-anguleux de dimension metrique (2 a 3m). On retrouve egalement quelques blocs de gabbro. Beaucoup de recouvrement de quaternaire et de vegetation sur le point.										
1908-3191	24-Jul-08	528032	6272407	Boulder	Basalte schisteux a grains tres fins. Gres a matrice calcique	Basalte	gray	Gres	gray							SPP gamma	80	115	Basalte: Couleur d'alteration gris moyen avec des teintes verdâtres dues a la chlorite; Grès: Couleur d'alteration brun foncé;	Quelques blocs de basalte ici et la et un enorme bloc (4m X 2m haut) sub-arrondis de gres. Se trouve au sommet d'une colline de depot quaternaire avec vegetation. Correspond a une anomalie geophysique.										
1908-3192	24-Jul-08	527902	6272542	Boulder	Basalte schisteux a grains tres fins.	Basalte	gray									SPP gamma	70	95	Couleur d'alteration gris moyen avec des teintes verdâtres dues a la chlorite	Correspond a une anomalie geophysique. Station situee sur un terrain quaternaire.										
1908-3193	24-Jul-08	528205	6272710	Boulder	Basalte schisteux a grains tres fins. Gres a matrice calcique. Gabbro a grain fins - moyen	Basalte	gray	Gres	gray	gabbro	gray					SPP gamma	70	95	Basalte: Couleur d'alteration gris moyen avec des teintes verdâtres dues a la chlorite; Grès: Couleur d'alteration brun foncé; Gabbro: Couleur de surface gris moyen;	Correspond a une anomalie geophysique. Blocs de dimensions metriques (2 a 3m) sub-anguleux a sub arrondis. On note une odeur d'oëuf pourri lorsque l'on depose de l'acide sur le gabbro etrece de sulfures. Il est pratiquement compose de pyroxene a 99%.										

Tableau 7 - Tableau synoptique des traverses géologiques de Minowean 2008

No. Station géologique	Date	Coord. NAD83 Nordant	Coord. NAD83 Estant	Affleurement ou Bloc	Description de(s) la lithologie(s)	Pendage/ Plongée 3	Réf. 3	Type de structure 4	Azimuth 4	Pendage/ Plongée 4	Réf. 4	Type de structure 5	Azimuth 5	Pendage/ Plongée 5	Réf. 5	Type de structure 6	Azimuth 6	Pendage/ Plongée 6	Réf. 6	Type de structure 7	Azimuth 7	Pendage/ Plongée 7	Réf. 7	Échantillon(s)	Photo(s)
1908-3188	24-Jul-08	527986	6271885	Boulder	Basalte schisteux a grains tres fins. Gres a matrice calcique																				
1908-3189	24-Jul-08	528121	6272074	Boulder	Basalte schisteux a grains tres fins. Gres a matrice calcique																				
1908-3190	24-Jul-08	528863	6272076	Boulder	Basalte schisteux a grains tres fins. Gres a matrice calcique																				
1908-3191	24-Jul-08	528032	6272407	Boulder	Basalte schisteux a grains tres fins. Gres a matrice calcique																				
1908-3192	24-Jul-08	527902	6272542	Boulder	Basalte schisteux a grains tres fins.																				
1908-3193	24-Jul-08	528205	6272710	Boulder	Basalte schisteux a grains tres fins. Gres a matrice calcique. Gabbro a grain fins - moyen																				



Tableau 7 - Tableau synoptique des traverses géologiques de Minowean 2008

No. Station géologique	Date	Coord. NAD83 Nordant	Coord. NAD83 Estant	Affleurement ou Bloc	Description de(s) la lithologie(s)	Lithologie A	Couleur A	Lithologie B	Couleur B	Lithologie C	Couleur C	Lithologie D	Couleur D	Lithologie E	Couleur E	Radiomètre utilisé	Rad. Bruit de fond (cps)	Rad. Max. (cps)	Altération(s)	Minéralisation(s)	Type de structure 1	Azimuth 1	Pendage/ Plongée 1	Réf. 1	Type de structure 2	Azimuth 2	Pendage/ Plongée 2	Réf. 2	Type de structure 3	Azimuth 3	
1908-3194	24-Jul-08	528062	6272855	Boulder	Gabbro a grains fins	gabbro	gray									SPP gamma	20	30	Couleur d'alteration gris moyen.	presence de pyrite sub-automorphe a l'interieur. On distingue egalement des plaquettes de plagioclases dans la roche. Photo 114019-24 Juillet 2008-19-08-3194/1 et /2.	fault	120	85	gabbro							
1908-3195	25-Jul-08	528820	6273724	Boulder	Le grès ressemble beaucoup a nos basalte schisteux par la granulometrie, mais les petits interlits plus pales reagissent a l'acide. Basalte schisteux	Gres	gray	Basalte	gray							SPP gamma	65	75	Grès: Couleur d'alteration brun-beige; Basalte: Couleur d'alteration gris moyen, et verdâtre par endroit ou on retrouve la chlorite.	Correspond a une anomalie geophysique. Les roches font moins d'un metre, et sont sub-arrondis. On remarque surtout des gres et quelques basaltes. Le recouvrement quaternaire et la veetation sont tres importants.											
1908-3196	25-Jul-08	528562	6275628													SPP gamma	70	85		Aucun affleurement, ni bloc dans un rayon de 75m. Recouvrement vegetal tres important.											
1908-3197	25-Jul-08	528563	6273445	Boulder	Basalte schisteux a grains tres fins. Gres a grains tres fins dont les interlits plus pales reagissent avec l'acide.	Basalte	gray	Gres	gray							SPP gamma	120	200	Basalte: Couleur d'alteration gris moyen, et verdâtre par endroit ou on retrouve la chlorite; Grès: Couleur d'alteration gris mmoyen, avec a certains endroits une teinte verdâtre qui rappelle la chlorite.	Situe a environs 20 m d'une anomalie geophysique. Le max a 200 cps du a un effet de geometrie.											
1908-3198	25-Jul-08	528049	6273566	Boulder	Basalte schisteux a grains tres fins.	Basalte	gray									SPP gamma	80	110	Couleur d'alteration gris moyen, et verdâtre par endroit ou on retrouve la chlorite.	Correspond a une anomalie geophysique. On voit des blocs plus gros (2 a 3m), mais tres disperses sur la zone. On observe principalement des basalte, et un petit bloc de siltite rouge. Le recouvrement vegetal est important.											
1908-3199	25-Jul-08	528547	6273953	Boulder	Basalte schisteux a grains tres fins. Gabbro a grains fins. Gres a grains fins a matrice calcique	Basalte	gray	gabbro	gray	Gres	gray					SPP gamma	30	75	Basalte: Couleur d'alteration gris moyen, et verdâtre par endroit ou on retrouve la chlorite; Gabbro: A certains endroits, couleur verdâtre rappelant la chlorite. Sur un cassure fraiche, sur le bord d'alteration, on observe une couleur rougeatre qui ressemble a de l'albitisation; Grès: Couleur alteree brun foncé.	Maximum obtenu dans un bloc de basalte schisteux.											

Tableau 7 - Tableau synoptique des traverses géologiques de Minowean 2008

No. Station géologique	Date	Coord. NAD83 Nordant	Coord. NAD83 Estant	Affleurement ou Bloc	Description de(s) la lithologie(s)	Pendage/ Plongée 3	Réf. 3	Type de structure 4	Azimuth 4	Pendage/ Plongée 4	Réf. 4	Type de structure 5	Azimuth 5	Pendage/ Plongée 5	Réf. 5	Type de structure 6	Azimuth 6	Pendage/ Plongée 6	Réf. 6	Type de structure 7	Azimuth 7	Pendage/ Plongée 7	Réf. 7	Échantillon(s)	Photo(s)
1908-3194	24-Jul-08	528062	6272855	Boulder	Gabbro a grains fins																			1908-3194/1	114019-24 Juillet 2008- 19-08- 3194/1, /2 & /3
1908-3195	25-Jul-08	528820	6273724	Boulder	Le grès ressemble beaucoup a nos basalte schisteux par la granulometrie, mais les petits interlits plus pales reagissent a l'acide. Basalte schisteux																				
1908-3196	25-Jul-08	528562	6275628																						
1908-3197	25-Jul-08	528563	6273445	Boulder	Basalte schisteux a grains tres fins. Gres a grains tres fins dont les interlits plus pales reagissent avec l'acide.																			1908-3197/1	
1908-3198	25-Jul-08	528049	6273566	Boulder	Basalte schisteux a grains tres fins.																				
1908-3199	25-Jul-08	528547	6273953	Boulder	Basalte schisteux a grains tres fins. Gabbro a grains fins. Gres a grains fins a matrice calcique																				

Tableau 7 - Tableau synoptique des traverses géologiques de Minowean 2008

No. Station géologique	Date	Coord. NAD83 Nordant	Coord. NAD83 Estant	Affleurement ou Bloc	Description de(s) la lithologie(s)	Lithologie A	Couleur A	Lithologie B	Couleur B	Lithologie C	Couleur C	Lithologie D	Couleur D	Lithologie E	Couleur E	Radiomètre utilisé	Rad. Brut de fond (cps)	Rad. Max. (cps)	Altération(s)	Minéralisation(s)	Type de structure 1	Azimuth 1	Pendage/ Plongée 1	Réf. 1	Type de structure 2	Azimuth 2	Pendage/ Plongée 2	Réf. 2	Type de structure 3	Azimuth 3
1908-3200	27-Jul-08	528057	6273903													SPP gamma	70	80		Colline de dépôts quaternaires avec quelques blocs de basalte et grès éparpillés ici et là sur la zone. Les plus gros font environ 1m de diamètre, et sont sub-arrondis. Correspond à une anomalie géophysique.										
1908-3201	27-Jul-08	528312	6273892	Boulder	Gabbro à grains fins. Grès à grains fins	gabbro	gray	Grès	gray							SPP gamma	30	40	Gabbro: Sur l'affleurement, la roche est de couleur gris moyen, mais lorsqu'on a une coupe fraîche, on constate une mince couche rouge d'altération des plagioclases (albitisation??); Grès: Couleur d'altération brun-beige.											
1908-3202	27-Jul-08	528315	6273957	Outcrop	Gabbro à grains très fins	gabbro	gray									SPP gamma	20	25	Sur l'affleurement, la roche est de couleur gris moyen, mais lorsqu'on a une coupe fraîche, on constate une mince couche rouge d'altération des plagioclases (albitisation??)	photos 114019-27 Juillet 2008-19-08-3202/1, /2, /3 et /4.	fault	270	58	gabbro	fault	242	90	gabbro		
1908-3203	27-Jul-08	528325	6274290	Outcrop	Gabbro à grains fins à la limite du basalte (ou recristallisé).	gabbro	gray									SPP gamma	20	25	Sur l'affleurement, la roche est de couleur gris moyen, mais lorsqu'on a une coupe fraîche, on constate une mince couche rouge d'altération des plagioclases (albitisation??)	A moins de 100 m d'une anomalie géophysique qui tombe dans un lac. Sur le flanc de l'affleurement, on observe une brèche hydrothermale à matrice calcique. Photos 114019-27 Juillet 2008-19-08-3203/1, /2 et /3. Dans certaines parties de l'affleurement, on	fault	345	80	gabbro	fault	20	70	gabbro	stries de faille	340
1908-3204	27-Jul-08	527875	6274941	Outcrop	Basalte schisteux. Veines de quartz	Basalte	gray	Quartz	white							SPP gamma	95	130	Grès: Couleur de surface gris moyen avec par endroit une teinte verdâtre due à la chlorite; Quartz: Couleur de surface gris moyen et rosâtre par endroit.	photos 114019-27 Juillet 2008-19-08-3204/1, /2 et /3.	Cleavage (s1)	340	63	Basalte	Cleavage (s2)	340	85	Basalte	Axede pli	160
1908-3205	27-Jul-08	528047	6275076													SPP gamma	65	70		Correspond à une anomalie géophysique. Aucun affleurement sinon quelques blocs sub-arrondis de gabbro et basalte (sommet d'une colline de dépôt quaternaire).										



Tableau 7 - Tableau synoptique des traverses géologiques de Minowean 2008

No. Station géologique	Date	Coord. NAD83 Nordant	Coord. NAD83 Estant	Affleurement ou Bloc	Description de(s) la lithologie(s)	Pendage/ Plongée 3	Réf. 3	Type de structure 4	Azimuth 4	Pendage/ Plongée 4	Réf. 4	Type de structure 5	Azimuth 5	Pendage/ Plongée 5	Réf. 5	Type de structure 6	Azimuth 6	Pendage/ Plongée 6	Réf. 6	Type de structure 7	Azimuth 7	Pendage/ Plongée 7	Réf. 7	Échantillon(s)	Photo(s)
1908-3200	27-Jul-08	528057	6273903																						
1908-3201	27-Jul-08	528312	6273892	Boulder	Gabbro a grains fins. Gres a grains fins																				
1908-3202	27-Jul-08	528315	6273957	Outcrop	Gabbro a grains tres fins																				114019-27 Juillet 2008- 19-08- 3202/1, /2, /3 & /4
1908-3203	27-Jul-08	528325	6274290	Outcrop	Gabbro a grains fins a la limite du basalte (ou recristallise).	20		gabbro																1908-3203/1	114019-27 Juillet 2008- 19-08- 3203/1, /2, /3 & /4
1908-3204	27-Jul-08	527875	6274941	Outcrop	Basalte schisteux. Veines de quartz	0		Basalte																1908-3204/1	114019-27 Juillet 2008- 19-08- 3204/1, /2, /3 & /4
1908-3205	27-Jul-08	528047	6275076																						

Tableau 7 - Tableau synoptique des traverses géologiques de Minowean 2008

No. Station géologique	Date	Coord. NAD83 Nordant	Coord. NAD83 Estant	Affleurement ou Bloc	Description de(s) la lithologie(s)	Lithologie A	Couleur A	Lithologie B	Couleur B	Lithologie C	Couleur C	Lithologie D	Couleur D	Lithologie E	Couleur E	Radiomètre utilisé	Rad. Brut de fond (cps)	Rad. Max. (cps)	Altération(s)	Minéralisation(s)	Type de structure 1	Azimuth 1	Pendage/ Plongée 1	Réf. 1	Type de structure 2	Azimuth 2	Pendage/ Plongée 2	Réf. 2	Type de structure 3	Azimuth 3
1908-3217	01-Aug-08	527784	6255784	Outcrop	Gres a grains tres fins et arrondis. Le roche semble recristallisee et la matrice disparue (ou silicifiee).	Gres	gray									SPP gamma	20	25	Patine d'alteration beige surtout due a l'alteration de la pyrite. La surface semble lessivee ne laissant que les grains de quartz blanchis.	Presence de pyrite automorphe a sub-automorphe, et de taille mmétrique et moins. Les cristaux sont entre les grains de silice du gres, dans la matrice (amenes par les fluides hydrothermaux???)	Vein, Dyke	190	80	Gres	Vein, Dyke	60	65	Gres		
1908-3218	01-Aug-08	527798	6255738		Gres a grains tres fins, de forme arrondis a sub-arrondis, et matrice silicifiee. On observe egalement sur cet affleurement des grains de quartz noir associes a de la matiere organique. La taille des grains de quartz est proportionnelle a la taille des veines, plus elles sont grosses, plus ls grains sont gros. Egalement, plus les veines sont grosse, et moins le contact est net avec le gres.	Gres quartzitique	gray	Quartz	white							SPP gamma	20	30	Grès: La couleur d'alteration est gris moyen a sombre. On observe tres peu de taches rougeatre associes a l'oxydation de la pyrite. La matrice du gres est silicifiee; Quartz: Pas d'alteration observee dans le quartz.	Tres peu de pyrite dans le gres par rapport aux affleurements precedents, mais toujours mmétriques et moins, et automorphe a sub-automorphe. Photos 114019-1 aout 2008-169-08-3218/1 a /4.	Vein, Dyke	145	12	Gres	Vein, Dyke	230	64	Gres	stries de faille	115
1908-3219	03-Aug-08	527757	6255758	Outcrop	Gres a grains tres fins, de forme arrondis a sub-arrondis, et matrice silicifiee. On observe egalement sur cet affleurement des grains de quartz noir associes a de la matiere organique. Veines de quartz centimetrique.	Gres quartzitique	gray	Quartz	white							SPP gamma	70	5900	Grès: La couleur d'alteration est gris moyen a sombre. On observe tres peu de taches rougeatre associes a l'oxydation de la pyrite. La matrice du gres est silicifiee; Quartz: Pas d'alteration visible, couleur blanc.	Anomalie non-repertoriee pres de l'indice ferme nord. Impossible de prendre un echantillon de la roche. Photo 114019-3 aout 2008-19-08-3219/1.	Vein, Dyke									
1908-3220	03-Aug-08	527806	6255703	Outcrop	Gres a grains tres fins, de forme arrondis a sub-arrondis, et matrice silicifiee. On observe egalement sur cet affleurement des grains de quartz noir associes a de la matiere organique. La taille des grains de quartz est proportionnelle a la taille des veines, plus elles sont grosses, plus ls grains sont gros. Egalement, plus les veines sont grosse, et moins le contact est net avec le gres.	Gres quartzitique	gray	Quartz	white							SPP gamma	20	30	Grès: La couleur d'alteration est gris moyen a sombre. On observe tres peu de taches rougeatre associes a l'oxydation de la pyrite. La matrice du gres est silicifiee; Quartz: Pas d'alteration observee dans le quartz.	On retrouve toujours notre pyrite dissiminee dans le gres, mais moins abondante. On observe egalement moins d'alteration rougeatre que sur les affleurements precedents (moins de pyrite). Photos 114019-3 Aout 2008-19-08-3220/1 et /2.	Vein, Dyke	195	57	Gres	fault	265	84	Gres	fault	335
1908-3221	03-Aug-08	527785	6255723	Drill core												SPP gamma				Trains de forage d'Eldorado										
1908-3222	03-Aug-08	527763	6255710	Outcrop	Gres a grains tres fins, de forme arrondis a sub-arrondis, et matrice silicifiee. On observe egalement sur cet affleurement des grains de quartz noir associes a de la matiere organique. La taille des grains de quartz est proportionnelle a la taille des veines, plus elles sont grosses, plus ls grains sont gros. Egalement, plus les veines sont grosse, et moins le contact est net avec le gres.	Gres quartzitique	gray	Quartz	white							SPP gamma	90	140	Grès: La couleur d'alteration est gris moyen a sombre. Peu de taches rougeatre associes a l'oxydation de la pyrite. La matrice du gres est silicifiee; Quartz: Couleur de surface blanc	Sur cet affleurement, pas de sulfures visibles (peu de taches rougeatres associes a l'oxydation de la pyrite non plus). Photo 114019-3 aout 2008-19-08-3222/1										

Tableau 7 - Tableau synoptique des traverses géologiques de Minowean 2008

No. Station géologique	Date	Coord. NAD83 Nordant	Coord. NAD83 Estant	Affleurement ou Bloc	Description de(s) la lithologie(s)	Pendage/ Plongée 3	Réf. 3	Type de structure 4	Azimuth 4	Pendage/ Plongée 4	Réf. 4	Type de structure 5	Azimuth 5	Pendage/ Plongée 5	Réf. 5	Type de structure 6	Azimuth 6	Pendage/ Plongée 6	Réf. 6	Type de structure 7	Azimuth 7	Pendage/ Plongée 7	Réf. 7	Échantillon(s)	Photo(s)
1908-3206	27-Jul-08	528183	6275470																						
1908-3207	27-Jul-08	527418	6257768																						
1908-3208	27-Jul-08	527281	6276272																						
1908-3209	28-Jul-08	527758	6255709	Outcrop	Gres quartzitique a matrice calcique	86	Gres																		114019-28 Juillet 2008- 19-08-3209/1 à /16
1908-3210	28-Jul-08	527759	6255695	Outcrop	Gres quartzitique a matrice calcique	50	Gres																	1908-3210/1	114019-28 Juillet 2008- 19-08-3210/1 à /9
1908-3211	30-Jul-08	527974	6255847	Outcrop	Gres a grains tres fins et legerement re-cristallises (matrice partiquement disparue). Tres legerement calcique par endroit (peut-etre des residus de la matrice originale).	51	Gres																	1908-3211/1	114019-30 Juillet 2008- 19-08-3211/1 à /8
1908-3212	30-Jul-08	527970	6255823		Gres a grains tres fins, avec tres peu de matrice et qui est re-cristallise (ou matrice silicifree par fluide hydrothermaux). Les grains sont arrondis a sub-arrondis. La dimensions des grains de quartz varie en fonction de l'epaisseur de la veine.	77	Gres																	1908-3212/1, /2 & /3	114019-30 Juillet 2008- 19-08-3212/1 à /5 et 114019-31 Juillet 2008- 19-08-3212/6 à /11



Tableau 7 - Tableau synoptique des traverses géologiques de Minowean 2008

No. Station géologique	Date	Coord. NAD83 Nordant	Coord. NAD83 Estant	Affleurement ou Bloc	Description de(s) la lithologie(s)	Lithologie A	Couleur A	Lithologie B	Couleur B	Lithologie C	Couleur C	Lithologie D	Couleur D	Lithologie E	Couleur E	Radiomètre utilisé	Rad. Brut de fond (cps)	Rad. Max. (cps)	Altération(s)	Minéralisation(s)	Type de structure 1	Azimuth 1	Pendage/ Plongée 1	Réf. 1	Type de structure 2	Azimuth 2	Pendage/ Plongée 2	Réf. 2	Type de structure 3	Azimuth 3
1908-3213	31-Jul-08	527927	6255829	Outcrop	Gres quartzitique a grains fins. La matrice est silicifiée (environs 15% de la roche), et les grains sont arrondis. Veine et veinules de quartz dont la granulometrie varie en fonction de l'épaisseur de la veine (mmétriques a cmétriques).	Gres	gray	Quartz	white							SPP gamma	20	25	Grès: Couronne d'alteration rouge-brun autour de la cassure fraîche. On a également une couleur de surface qui va de gris moyen a beige; Quartz: Les veines ne sont pas alterees, et sont de couleur blanche.	Quelques grains de pyrite dissimines dans la roche, et qui se retrouve entre les grains. On semble distinguer un autre mineral foncé de nature inconnus et qui donne peut-etre la couleur foncé a la roche. Le contact entre les veines et veinules de quartz	Bedding	330	64	Gres	Vein, Dyke	200	41	Gres	fault	100
1908-3214	01-Aug-08	527893	6255779	Outcrop	gres a grains tres fins et arrondis. Le roche semble re-cristallisee et la matrice disparue (ou silicifiée). Dans le quartz, dependant de la dimension de la veine, les grains peuvent aller jusqu'au centimetre. On observe un contact net entre le gres et le quartz.	Gres	gray	Quartz	white							SPP gamma	15	20	Grès: Patine d'alteration beige surtout due a l'alteration de la pyrite. La surface semble lessivee ne laissant que les grains de quartz blanchis; Quartz: Pas d'alteration comme telle observee dans le quartz. Couleur de surface blanche.	Presence de pyrite automorphe a sub-automorphe, et de taille mmétrique et moins. Les cristaux sont entre les grains de silice du gres, dans la matrice (amenes par les fluides hydrothermaux???) Photos 114019-31 juillet 2008-19-08-3214/1 a 5	fault	225	86	Gres	fault	130	27	Gres	Vein, Dyke	120
1908-3215	01-Aug-08	527898	6255820	Outcrop	Gres a grains tres fins et arrondis. Le roche semble re-cristallisee et la matrice disparue (ou silicifiée). Dans le quartz, dependant de la dimension de la veine, les grains peuvent aller jusqu'au centimetre. On observe un contact net entre le gres et le quartz.	Gres	gray	Quartz	white							SPP gamma	20	25	Grès: Patine d'alteration beige surtout due a l'alteration de la pyrite. La surface semble lessivee ne laissant que les grains de quartz blanchis; Quartz: Pas d'alteration comme telle observee dans le quartz. Couleur de surface blanche.	Presence de pyrite automorphe a sub-automorphe, et de taille mmétrique et moins. Les cristaux sont entre les grains de silice du gres, dans la matrice (amenes par les fluides hydrothermaux???) Photos 114019-1 Aout 2008-19-08-3215/1 a /3.	Bedding	0	85	Gres	Vein, Dyke	250	68	Gres		
1908-3216	01-Aug-08	527880	6255826	Outcrop	Gres a grains tres fins et arrondis. Le roche semble re-cristallisee et la matrice disparue (ou silicifiée). Dans le quartz, dependant de la dimension de la veine, les grains peuvent aller jusqu'au centimetre. On observe un contact net entre le gres et le quartz.	Gres	gray	Quartz	white							SPP gamma	15	20	Grès: Patine d'alteration beige surtout due a l'alteration de la pyrite. La surface semble lessivee ne laissant que les grains de quartz blanchis; Quartz: Pas d'alteration comme telle observee dans le quartz. Couleur de surface blanche.	Presence de pyrite automorphe a sub-automorphe, et de taille mmétrique et moins. Les cristaux sont entre les grains de silice du gres, dans la matrice (amenes par les fluides hydrothermaux???) Photos 114019-1 Aout 2008-19-08-3216/1 et /2.	fault	105	80	Gres	fault	195	33	Gres		

Tableau 7 - Tableau synoptique des traverses géologiques de Minowean 2008

No. Station géologique	Date	Coord. NAD83 Nordant	Coord. NAD83 Estant	Affleurement ou Bloc	Description de(s) la lithologie(s)	Pendage/ Plongée 3	Réf. 3	Type de structure 4	Azimuth 4	Pendage/ Plongée 4	Réf. 4	Type de structure 5	Azimuth 5	Pendage/ Plongée 5	Réf. 5	Type de structure 6	Azimuth 6	Pendage/ Plongée 6	Réf. 6	Type de structure 7	Azimuth 7	Pendage/ Plongée 7	Réf. 7	Échantillon(s)	Photo(s)
1908-3213	31-Jul-08	527927	6255829	Outcrop	Gres quartzitique a grains fins. La matrice est silicifiée (environs 15% de la roche), et les grains sont arrondis. Veine et veinules de quartz dont la granulometrie varie en fonction de l'epaisseur de la veine (mmtriques a cmtriques).	74		Gres																1908-3213/1	114019-31 Juillet 2008- 19-08- 3213/1, /2 & /3
1908-3214	01-Aug-08	527893	6255779	Outcrop	gres a grains tres fins et arrondis. Le roche semble re-cristallisee et la matrice disparue (ou silicifiée). Dans le quartz, dependant de la dimension de la veine, les grains peuvent aller jusqu'au centimetre. On observe un contact net entre le gres et le quartz.	86		Gres																1908-3214/1	114019-31 Juillet 2008- 19-08-3214/1 et 114019-1 aout 2008-19 08-3214/2 à /5
1908-3215	01-Aug-08	527898	6255820	Outcrop	Gres a grains tres fins et arrondis. Le roche semble re-cristallisee et la matrice disparue (ou silicifiée). Dans le quartz, dependant de la dimension de la veine, les grains peuvent aller jusqu'au centimetre. On observe un contact net entre le gres et le quartz.																				114019-1 aout 2008-19 08-3215/1 à /3
1908-3216	01-Aug-08	527880	6255826	Outcrop	Gres a grains tres fins et arrondis. Le roche semble re-cristallisee et la matrice disparue (ou silicifiée). Dans le quartz, dependant de la dimension de la veine, les grains peuvent aller jusqu'au centimetre. On observe un contact net entre le gres et le quartz.																				114019-1 aout 2008-19 08-3216/1

Tableau 7 - Tableau synoptique des traverses géologiques de Minowean 2008

No. Station géologique	Date	Coord. NAD83 Nordant	Coord. NAD83 Estant	Affleurement ou Bloc	Description de(s) la lithologie(s)	Lithologie A	Couleur A	Lithologie B	Couleur B	Lithologie C	Couleur C	Lithologie D	Couleur D	Lithologie E	Couleur E	Radiomètre utilisé	Rad. Brut de fond (cps)	Rad. Max. (cps)	Altération(s)	Minéralisation(s)	Type de structure 1	Azimuth 1	Pendage/ Plongée 1	Réf. 1	Type de structure 2	Azimuth 2	Pendage/ Plongée 2	Réf. 2	Type de structure 3	Azimuth 3
1908-3217	01-Aug-08	527784	6255784	Outcrop	Gres a grains tres fins et arrondis. Le roche semble re-cristallisee et la matrice disparue (ou silicifiee).	Gres	gray									SPP gamma	20	25	Patine d'alteration beige surtout due a l'alteration de la pyrite. La surface semble lessivee ne laissant que les grains de quartz blanchis.	Presence de pyrite automorphe a sub-automorphe, et de taille mmétrique et moins. Les cristaux sont entre les grains de silice du gres, dans la matrice (amenes par les fluides hydrothermaux???)	Vein, Dyke	190	80	Gres	Vein, Dyke	60	65	Gres		
1908-3218	01-Aug-08	527798	6255738		Gres a grains tres fins, de forme arrondis a sub-arrondis, et matrice silicifiee. On observe egalement sur cet affleurement des grains de quartz noir associes a de la matiere organique. La taille des grains de quartz est proportionnelle a la taille des veines, plus elles sont grosses, plus ls grains sont gros. Egalement, plus les veines sont grosse, et moins le contact est net avec le gres.	Gres quartzitique	gray	Quartz	white							SPP gamma	20	30	Grès: La couleur d'alteration est gris moyen a sombre. On observe tres peu de taches rougeatre associes a l'oxydation de la pyrite. La matrice du gres est silicifiee; Quartz: Pas d'alteration observee dans le quartz.	Tres peu de pyrite dans le gres par rapport aux affleurements precedents, mais toujours mmétriques et moins, et automorphe a sub-automorphe. Photos 114019-1 aout 2008-169-08-3218/1 a /4.	Vein, Dyke	145	12	Gres	Vein, Dyke	230	64	Gres	stries de faille	115
1908-3219	03-Aug-08	527757	6255758	Outcrop	Gres a grains tres fins, de forme arrondis a sub-arrondis, et matrice silicifiee. On observe egalement sur cet affleurement des grains de quartz noir associes a de la matiere organique. Veines de quartz centimetrique.	Gres quartzitique	gray	Quartz	white							SPP gamma	70	5900	Grès: La couleur d'alteration est gris moyen a sombre. On observe tres peu de taches rougeatre associes a l'oxydation de la pyrite. La matrice du gres est silicifiee; Quartz: Pas d'alteration visible, couleur blanc.	Anomalie non-repertoriee pres de l'indice ferme nord. Impossible de prendre un echantillon de la roche. Photo 114019-3 aout 2008-19-08-3219/1.	Vein, Dyke									
1908-3220	03-Aug-08	527806	6255703	Outcrop	Gres a grains tres fins, de forme arrondis a sub-arrondis, et matrice silicifiee. On observe egalement sur cet affleurement des grains de quartz noir associes a de la matiere organique. La taille des grains de quartz est proportionnelle a la taille des veines, plus elles sont grosses, plus ls grains sont gros. Egalement, plus les veines sont grosse, et moins le contact est net avec le gres.	Gres quartzitique	gray	Quartz	white							SPP gamma	20	30	Grès: La couleur d'alteration est gris moyen a sombre. On observe tres peu de taches rougeatre associes a l'oxydation de la pyrite. La matrice du gres est silicifiee; Quartz: Pas d'alteration observee dans le quartz.	On retrouve toujours notre pyrite dissiminee dans le gres, mais moins abondante. On observe egalement moins d'alteration rougeatre que sur les affleurements precedents (moins de pyrite). Photos 114019-3 Aout 2008-19-08-3220/1 et /2.	Vein, Dyke	195	57	Gres	fault	265	84	Gres	fault	335
1908-3221	03-Aug-08	527785	6255723	Drill core												SPP gamma				Trains de forage d'Eldorado										
1908-3222	03-Aug-08	527783	6255710	Outcrop	Gres a grains tres fins, de forme arrondis a sub-arrondis, et matrice silicifiee. On observe egalement sur cet affleurement des grains de quartz noir associes a de la matiere organique. La taille des grains de quartz est proportionnelle a la taille des veines, plus elles sont grosses, plus ls grains sont gros. Egalement, plus les veines sont grosse, et moins le contact est net avec le gres.	Gres quartzitique	gray	Quartz	white							SPP gamma	90	140	Grès: La couleur d'alteration est gris moyen a sombre. Peu de taches rougeatre associees a l'oxydation de la pyrite. La matrice du gres est silicifiee; Quartz: Couleur de surface blanc	Sur cet affleurement, pas de sulfures visibles (peu de taches rougeatres associees a l'oxydation de la pyrite non plus). Photo 114019-3 aout 2008-19-08-3222/1										



Tableau 7 - Tableau synoptique des traverses géologiques de Minowean 2008

No. Station géologique	Date	Coord. NAD83 Nordant	Coord. NAD83 Estant	Affleurement ou Bloc	Description de(s) la lithologie(s)	Pendage/ Plongée 3	Réf. 3	Type de structure 4	Azimuth 4	Pendage/ Plongée 4	Réf. 4	Type de structure 5	Azimuth 5	Pendage/ Plongée 5	Réf. 5	Type de structure 6	Azimuth 6	Pendage/ Plongée 6	Réf. 6	Type de structure 7	Azimuth 7	Pendage/ Plongée 7	Réf. 7	Échantillon(s)	Photo(s)
1908-3217	01-Aug-08	527784	6255784	Outcrop	Gres a grains tres fins et arrondis. Le roche semble re-cristallisee et la matrice disparue (ou silicifiee).																				
1908-3218	01-Aug-08	527798	6255738		Gres a grains tres fins, de forme arrondis a sub-arrondis, et matrice silicifiee. On observe egalement sur cet affleurement des grains de quartz noir associes a de la matiere organique. La taille des grains de quartz est proportionnelle a la taille des veines, plus elles sont grosses, plus ls grains sont gros. Egalement, plus les veines sont grosse, et moins le contact est net avec le gres.	46	Gres																		114019-3 aout 2008-19 08-3218/1, /2, /3 & /4
1908-3219	03-Aug-08	527757	6255758	Outcrop	Gres a grains tres fins, de forme arrondis a sub-arrondis, et matrice silicifiee. On observe egalement sur cet affleurement des grains de quartz noir associes a de la matiere organique. Veines de quartz centimetrique.																				114019-3 aout 2008-19 08-3219/1
1908-3220	03-Aug-08	527806	6255703	Outcrop	Gres a grains tres fins, de forme arrondis a sub-arrondis, et matrice silicifiee. On observe egalement sur cet affleurement des grains de quartz noir associes a de la matiere organique. La taille des grains de quartz est proportionnelle a la taille des veines, plus elles sont grosses, plus ls grains sont gros. Egalement, plus les veines sont grosse, et moins le contact est net avec le gres.	72	Gres																		114019-3 aout 2008-19 08-3220/1 & /2
1908-3221	03-Aug-08	527785	6255723	Drill core																					
1908-3222	03-Aug-08	527763	6255710	Outcrop	Gres a grains tres fins, de forme arrondis a sub-arrondis, et matrice silicifiee. On observe egalement sur cet affleurement des grains de quartz noir associes a de la matiere organique. La taille des grains de quartz est proportionnelle a la taille des veines, plus elles sont grosses, plus ls grains sont gros. Egalement, plus les veines sont grosse, et moins le contact est net avec le gres.																			1908-3222/1	114019-3 aout 2008-19 08-3222/1

Tableau 7 - Tableau synoptique des traverses géologiques de Minowean 2008

No. Station géologique	Date	Coord. NAD83 Nordant	Coord. NAD83 Estant	Affleurement ou Bloc	Description de(s) la lithologie(s)	Lithologie A	Couleur A	Lithologie B	Couleur B	Lithologie C	Couleur C	Lithologie D	Couleur D	Lithologie E	Couleur E	Radiomètre utilisé	Rad. Brut de fond (cps)	Rad. Max. (cps)	Altération(s)	Minéralisation(s)	Type de structure 1	Azimuth 1	Pendage/ Plongée 1	Réf. 1	Type de structure 2	Azimuth 2	Pendage/ Plongée 2	Réf. 2	Type de structure 3	Azimuth 3	
1908-3223	03-Aug-08	527759	6255668	Outcrop	Gres a grains tres fins, de forme arrondis a sub-arrondis, et matrice silicifiée. On observe également sur cet affleurement des grains de quartz noir associés a de la matiere organique. Gres quartzitique a matrice dolomitique (pas de quartz sombre dans ce gres).	Gres quartzitique	gray	Gres dolomitique	gray							SPP gamma	40	410	Grès quartzitique: La couleur d'alteration est gris moyen a sombre. Peu de taches rougeatre associees a l'oxydation de la pyrite. La matrice du gres est silicifiée; Gres dolomitique: Surface alteree beige produit de l'alteration de la matrice dolomitique.	Pas de surfures observees dans les deux gres. Photos 114019-13 aout 2008-19-08-3223/1 et plan compteur 0.5m.	Vein, Dyke	125	557	Gres dolomitique	Contact discordant	320			Gres dolomitique & Gres quartzitique		
1908-3224	04-Aug-08	527749	6255626	Outcrop	Gres a grains tres fins, de forme arrondis a sub-arrondis, et matrice silicifiée. On observe également sur cet affleurement des grains de quartz noir associés a de la matiere organique. Gres quartzitique a matrice dolomitique (pas de quartz sombre dans ce gres). Les veines de quartz etant millimetriques, les grains de quartz sont difficilement observable.	Gres quartzitique	gray	Gres dolomitique	gray	Quartz	white					SPP gamma	20	30	Grès quartzitique: La couleur d'alteration est gris moyen a sombre. Peu de taches rougeatre associees a l'oxydation de la pyrite. La matrice du gres est silicifiée; Gres dolomitique: Surface alteree beige produit de l'alteration de la matrice dolomitique; Quartz: Couleur de surface blanc	Aucune sulfures visibles dans les lithologies. On observe une couronne rouge associee a l'oxydation du fer (pyrite??). La matrice en bordure est completement lessivee ne laissant que les grains de quartz. Photo 114019-4 Aout 2008-19-08-3224/1 et /2	Bedding	315	69	Gres dolomitique	fault	270	61		Gres dolomitique & Gres quartzitique		
1908-3225	04-Aug-08	527704	6255763	Outcrop	Gres quartzitique a matrice dolomitique (pas de quartz sombre dans ce gres). Veines de quartz millimetriques avec granulometrie inferieure a 1mm.	Gres quartzitique	gray	Quartz	white							SPP gamma	20	25	Grès: Surface alteree beige produit de l'alteration de la matrice dolomitique; Quartz: Couleur de surface blanc	Aucun sulfures observees dans la roche. Couronne d'alteration autour de la cassure fraiche reliee au lessivage de la matrice carbonatee. On observe également un peu de couleur rougeatre reliee a l'oxydation du fer (Pyrite??). Photo 114019-4 Aout 2008-1	fault	335	69	Gres quartzitique	Vein, Dyke	230	68		Gres quartzitique	Vein, Dyke	120
1908-3226	04-Aug-08	527691	6255740	Outcrop	Gres a grains tres fins, de forme arrondis a sub-arrondis, et matrice silicifiée. On observe également sur cet affleurement des grains de quartz noir associés a de la matiere organique. Gres quartzitique a matrice dolomitique (pas de quartz sombre dans ce gres). Veines de quartz millimetriques avec granulometrie inferieure a 1mm.	Gres quartzitique	gray	Gres dolomitique	gray	Quartz	white					SPP gamma	20	25	Grès quartzitique: La couleur d'alteration est gris moyen a sombre. Peu de taches rougeatre associees a l'oxydation de la pyrite. La matrice du gres est silicifiée; Gres dolomitique: Surface alteree beige produit de l'alteration de la matrice dolomitique; Quartz: Couleur de surface blanc	Aucune sulfures visibles dans les lithologies. On observe une couronne rouge associee a l'oxydation du fer (pyrite??). La matrice en bordure est completement lessivee ne laissant que les grains de quartz. Photo 114019-4 Aout 2008-19-08-3226/1 et /2.	Bedding	340	75	Gres dolomitique	stries de faille	10	39		Gres dolomitique		

Tableau 7 - Tableau synoptique des traverses géologiques de Minowean 2008

No. Station géologique	Date	Coord. NAD83 Nordant	Coord. NAD83 Estant	Affleurement ou Bloc	Description de(s) la lithologie(s)	Pendage/ Plongée 3	Réf. 3	Type de structure 4	Azimuth 4	Pendage/ Plongée 4	Réf. 4	Type de structure 5	Azimuth 5	Pendage/ Plongée 5	Réf. 5	Type de structure 6	Azimuth 6	Pendage/ Plongée 6	Réf. 6	Type de structure 7	Azimuth 7	Pendage/ Plongée 7	Réf. 7	Échantillon(s)	Photo(s)
1908-3223	03-Aug-08	527759	6255668	Outcrop	Gres a grains tres fins, de forme arrondis a sub-arrondis, et matrice silicifiée. On observe également sur cet affleurement des grains de quartz noir associés a de la matiere organique. Gres quartzitique a matrice dolomitique (pas de quartz sombre dans ce gres).																			1908-3223/1a, /1b & /2	114019-3 Aout 2008-19-08-3223/1 & /2
1908-3224	04-Aug-08	527749	6255626	Outcrop	Gres a grains tres fins, de forme arrondis a sub-arrondis, et matrice silicifiée. On observe également sur cet affleurement des grains de quartz noir associés a de la matiere organique. Gres quartzitique a matrice dolomitique (pas de quartz sombre dans ce gres). Les veines de quartz etant millimetriques, les grains de quartz sont difficilement observable.																			1908-3224/1	114019-4 Aout 2008-19-08-3224/1, /2 & /3
1908-3225	04-Aug-08	527704	6255763	Outcrop	Gres quartzitique a matrice dolomitique (pas de quartz sombre dans ce gres). Veines de quartz millimetriques avec granulometrie inferieure a 1mm.	41																			114019-4 Aout 2008-19-08-3225/1 & /2
1908-3226	04-Aug-08	527691	6255740	Outcrop	Gres a grains tres fins, de forme arrondis a sub-arrondis, et matrice silicifiée. On observe également sur cet affleurement des grains de quartz noir associés a de la matiere organique. Gres quartzitique a matrice dolomitique (pas de quartz sombre dans ce gres). Veines de quartz millimetriques avec granulometrie inferieure a 1mm.																				114019-4 Aout 2008-19-08-3226/1 & /2



Tableau 7 - Tableau synoptique des traverses géologiques de Minowean 2008

No. Station géologique	Date	Coord. NAD83 Nordant	Coord. NAD83 Estant	Affleurement ou Bloc	Description de(s) la lithologie(s)	Lithologie A	Couleur A	Lithologie B	Couleur B	Lithologie C	Couleur C	Lithologie D	Couleur D	Lithologie E	Couleur E	Radiomètre utilisé	Rad. Bruit de fond (cps)	Rad. Max. (cps)	Altération(s)	Minéralisation(s)	Type de structure 1	Azimuth 1	Pendage/Plongée 1	Réf. 1	Type de structure 2	Azimuth 2	Pendage/Plongée 2	Réf. 2	Type de structure 3	Azimuth 3
1908-3227	04-Aug-08	527722	6255626	Outcrop	Gres quartzitique a matrice dolomitique (pas de quartz sombre dans ce gres). Veinules de quartz millimetriques	Gres dolomitique	gray	Quartz	white							SPP gamma	20	35	Grès: Surface alteree beige produit de l'alteration de la matrice dolomitique; Quartz: Couleur de surface blanc	Sur cet affleurement, on peut observer la presence de sulfures dissimines dans la roche (pyrite et peut-etre chalcopryite). Ils etaient xenomorphes et avaient 1 mm et moins. Photo 114019-4 aout 2008-19-08-3227/1.	Bedding	295	72	Gres dolomitique	Vein, Dyke	40	82	Gres dolomitique		
1908-3228	04-Aug-08	527695	6255617	Outcrop	Gres quartzitique a matrice dolomitique (Les grains de quartz semblent un peu plus sombres dans ce gres).	Gres dolomitique	gray									SPP gamma	20	30	Surface un peu plus rouge que les precedentes peut-etre dues a de l'oxydation de pyrite invisible a la loupe, et dissiminee dans la roche.	Pas de sulfures observes dans la roche, mais l'oxydation sur la face externe suggere la presence de pyrite tres fine dissiminee dans la roche. La matrice rappelle le gres dolomitique, et les grains de quartz ceux du gres quartzitique.	Bedding	330	73	Gres dolomitique						
1908-3229	04-Aug-08	527639	6255620	Outcrop	Gres quartzitique a matrice dolomitique (Les grains de quartz semblent un peu plus sombres dans ce gres). Veines de carbonates centimetriques. Veines de quartz de 1 a 5 millimetres d'epaisseur recoupant le gres et les carbonates.	Gres dolomitique	gray	Carbonate	gray	Quartz	white					SPP gamma	20	35	Grès: Surface alteree beige produit de l'alteration de la matrice dolomitique. Egalement un peu de rouge associe a l'oxydation du fer (pyrite??); Carbonate: Surface d'alteration de beige a gris pale; Quartz: Couleur de surface blanc.	Pas de sulfures presents dans la roche. Photos 114019-4 aout 2008-19-08-3229/1 a /3.	Bedding	345	67	Gres dolomitique	Vein, Dyke	250	54	Gres dolomitique	fault	290
1908-3230	05-Aug-08	527968	6255942	Outcrop	Gres avec grains tres fin (moins de 1mm, sub-arrondis) dans une matrice tres legerement calcique. Quartz en veines sont millimetriques.	Gres quartzitique	gray	Quartz	white							SPP gamma	20	30	Grès: Couleur rougeatre d'oxydation de la pyrite, et lessivage de la matrice originale sur les face exposee de la roche. Matrice en partie silicifiee; Quartz: Couleur de surface blanc	tres peu de pyrite dissiminee (moins de 1mm, sub-automorphe a automorphe).	Vein, Dyke	105	20	Gres quartzitique						
1908-3231	05-Aug-08	527915	6255916	Outcrop	Gres avec grains tres fins (moins de 1mm, sub-arrondis) et matrice silicifiee. Quartz en veines millimetriques a centimetriques (contact moins net que dans 19-08-3230).	Gres quartzitique	gray	Quartz	white							SPP gamma	20	30	Quartz: Couleur de surface blanc	pyrite dissiminee dont les plus gros cristaux font environs 5mm, sub-automorphe a xenomorphe. Photo 114019-8 Aout 2008-19-08-3231/1.										
1908-3232	05-Aug-08	527795	6255920	Outcrop	Greins tres fins (moins de 1mm). Les grains pales sont sub-arrondis, tandis que ceux fonces sont plus anguleux, et diffuses entre ceux plus pales. La matrice est peu importante car les grains sont appuyes les uns sur les autres.	Gres quartzitique	gray									SPP gamma	20	35	Couleur rougeatre de l'oxydation de la pyrite, et silicification de la matrice.	pyrite dissiminee dont les plus gros cristaux font environs 5mm, sub-automorphe a xenomorphe										
1908-3233	05-Aug-08	527826	6255882	Outcrop	Grains tres fins (moins de 1mm). Les grains pales sont sub-arrondis, tandis que ceux fonces sont plus anguleux, et diffuses entre ceux plus pales. La matrice est peu importante car les grains sont appuyes les uns sur les autres. Quartz en veinules millimetriques, avec granulometrie tres fine	Gres quartzitique	gray	Quartz	white							SPP gamma	15	25	Grès: Couleur rougeatre de l'oxydation de la pyrite, et matrice silicifiee; Quartz: Couleur de surface blanc	pyrite dissiminee dont les cristaux font environs 1mm et moins, sub-automorphe a automorphe. Photo 114019-8 Aout 2008-19-08-3233/1. Ancienne station MW07-47-02.	fault	280	60	Gres quartzitique						

Tableau 7 - Tableau synoptique des traverses géologiques de Minowean 2008

No. Station géologique	Date	Coord. NAD83 Nordant	Coord. NAD83 Estant	Affleurement ou Bloc	Description de(s) la lithologie(s)	Pendage/ Plongée 3	Réf. 3	Type de structure 4	Azimuth 4	Pendage/ Plongée 4	Réf. 4	Type de structure 5	Azimuth 5	Pendage/ Plongée 5	Réf. 5	Type de structure 6	Azimuth 6	Pendage/ Plongée 6	Réf. 6	Type de structure 7	Azimuth 7	Pendage/ Plongée 7	Réf. 7	Échantillon(s)	Photo(s)
1908-3227	04-Aug-08	527722	6255626	Outcrop	Gres quartzitique a matrice dolomitique (pas de quartz sombre dans ce gres). Veinules de quartz millimetriques																			1908-3227/1	114019-4 Aout 2008-19-08-3227/1
1908-3228	04-Aug-08	527695	6255617	Outcrop	Gres quartzitique a matrice dolomitique (Les grains de quartz semblent un peu plus sombres dans ce gres).																			1908-3228/1	
1908-3229	04-Aug-08	527639	6255620	Outcrop	Gres quartzitique a matrice dolomitique (Les grains de quartz semblent un peu plus sombres dans ce gres). Veines de carbonates centimetriques. Veines de quartz de 1 a 5 millimetres d'epaisseur recoupant le gres et les carbonates.	66		Gres dolomitique																	114019-4 Aout 2008-19-08-3229/1, /2 & /3
1908-3230	05-Aug-08	527968	6255942	Outcrop	Gres avec grains tres fin (moins de 1mm, sub-arrondis) dans une matrice tres legerement calcique. Quartz en veines sont millimetriques.																				
1908-3231	05-Aug-08	527915	6255916	Outcrop	Gres avec grains tres fins (moins de 1mm, sub-arrondis), et matrice silicifiee. Quartz en veines millimetriques a centimetriques (contact moins net que dans 19-08-3230).																				114019-5 Aout 2008-19-08-3231/1
1908-3232	05-Aug-08	527795	6255920	Outcrop	Greins tres fins (moins de 1mm). Les grains pales sont sub-arrondis, tandis que ceux fonces sont plus anguleux, et diffuses entre ceux plus pales. La matrice est peu importante car les grains sont appuyes les uns sur les autres.																				
1908-3233	05-Aug-08	527826	6255882	Outcrop	Grains tres fins (moins de 1mm). Les grains pales sont sub-arrondis, tandis que ceux fonces sont plus anguleux, et diffuses entre ceux plus pales. La matrice est peu importante car les grains sont appuyes les uns sur les autres. Quartz en veinules millimetriques, avec granulometrie tres fine																				114019-5 Aout 2008-19-08-3233/1



Tableau 7 - Tableau synoptique des traverses géologiques de Minowean 2008

No. Station géologique	Date	Coord. NAD83 Nordant	Coord. NAD83 Estant	Affleurement ou Bloc	Description de(s) la lithologie(s)	Lithologie A	Couleur A	Lithologie B	Couleur B	Lithologie C	Couleur C	Lithologie D	Couleur D	Lithologie E	Couleur E	Radiomètre utilisé	Rad. Brut de fond (cps)	Rad. Max. (cps)	Alteration(s)	Minéralisation(s)	Type de structure 1	Azimuth 1	Pendage/Plongée 1	Réf. 1	Type de structure 2	Azimuth 2	Pendage/Plongée 2	Réf. 2	Type de structure 3	Azimuth 3
1908-3234	05-Aug-08	527810	6255878		Grains tres fins (moins de 1mm). Les grains pales sont sub-arrondis, tandis que ceux fonces sont plus anguleux, et diffuses entre ceux plus pales. La matrice est peu importante car les grains sont appuyes les uns sur les autres. Moins de quartz noir. Veines de quartz millimetriques et centimetriques, avec quelques grains jusqu'a 1cm de diametre. Sub-arrondis a sug-anguleux.	Gres quartzitique	gray	Quartz	white							SPP gamma	15	25	grès: Oxydation de la pyrite, et silicification de la matrice; Quartz: Couleur de surface blanc	Ancienne station MW07-47-03. Pyrite automorphe a sub-automorphe avec cristaux jusqu'a 5mm. Possibilite que dans certaines zones, la silicification ait ete plus precece qua d'autres, laissent le temps a la matrice originale de se faire lessiver avant de	Vein, Dyke	140	30	Gres quartzitique	Vein, Dyke	185	24	Gres quartzitique		
1908-3235	06-Aug-08	527814	6255840	Outcrop	Gres a grains tres fins (moins de 1mm), sub-arrondis pour les grains pales, et sub-anguleux pour les grains noirs. Quartz en veines millimetriques et centimetriques.	Gres quartzitique	gray	Quartz	white							SPP gamma	20	30	Grès: Couleur d'alteration gris moyen due au lessivage de la matrice originale, silicification de la matrice et oxydation de la pyrite; Quartz: Couleur d'alteration blanc.	Mineralisation de pyrite (millimetrique) automorphe a sub-automorphe. Photos 114019-6 Aout 2008-19-08-3235/1 a /4.	Vein, Dyke	235	42	Gres quartzitique	Vein, Dyke	150	50	Gres quartzitique	Bedding	350
1908-3236	06-Aug-08	527786	6255850	Outcrop	Gres a grains tres fins (moins de 1mm), sub-arrondis pour les grains pales, et sub-anguleux pour les grains noirs (matrice moins de 15% du volume de la roche). Quartz en veines millimetriques et centimetriques.	Gres quartzitique	gray	Quartz	white							SPP gamma	20	30	Grès: Couleur d'alteration gris moyen due au lessivage de la matrice originale, silicification de la matrice et oxydation de la pyrite; Quartz: Couleur d'alteration blanc.	3 petits affleurement d'environ 2m X 2m, et faisant partie d'un meme affleurement recouvert de mousse. Pyrite automorphe a sub-automorphe de 1mm et moins. Difficile de voir de la structure sur l'affleurement qui relativement plat. Comme depuis le debu										
1908-3237	06-Aug-08	527773	6255834	Outcrop	Gres a grains tres fins (moins de 1mm), sub-arrondis pour les grains pales, et sub-anguleux pour les grains noirs (matrice moins de 15% du volume de la roche). Quartz en veines millimetriques et centimetriques.	Gres quartzitique	gray	Quartz	white							SPP gamma	20	430	Grès: Couleur d'alteration gris moyen due au lessivage de la matrice originale, silicification de la matrice et oxydation de la pyrite; Quartz: Couleur d'alteration blanc.	A cet endroit, anomalie de 430 cps associee a une breche silicifiee et ce qui ressemble a du cisaillement dans les gres tout juste a cote. On retrouve de la pyrite dissiminee de 1mm et moins, automorphe a sub-automorphe. De plus, sur l'anomalie, on sembl	fault	330	76	Gres quartzitique	stries de faille	145	9	Gres quartzitique	Vein, Dyke	245
1908-3238	07-Aug-08	527745	6255786	Outcrop	Gres a grains tres fins (moins de 1mm), sub-arrondis pour les grains pales, et sub-anguleux pour les grains noirs (matrice moins de 15% du volume de la roche). Gres a grain tres fin (moins de 1mm), et avec une matrice dolomitisee qui occupe environs 25% de la roche. Quartz en veines et veinules (millimetriques a centimetriques).	Gres quartzitique	gray	Gres dolomitique	gray	Quartz	white					SPP gamma	20	30	Grès quartzitique: Couleur d'alteration gris moyen due au lessivage de la matrice originale, silicification de la matrice et oxydation de la pyrite; Grès dolomitique: Couleur d'alteration brun-beige. Matrice fortement lessivee mettant en relief positif les veines de quartz.	Mineralisation de pyrite dissiminee (moins de 1mm de diametre), de forme automorphe a sub-automorphe. Photos 114019-7 aout 2008-19-0-3238/1 et /2.	Vein, Dyke	265	65	Gres quartzitique	Vein, Dyke	240	72	Gres dolomitique	Contact	350



Tableau 7 - Tableau synoptique des traverses géologiques de Minowean 2008

No. Station géologique	Date	Coord. NAD83 Nordant	Coord. NAD83 Estant	Affleurement ou Bloc	Description de(s) la lithologie(s)	Pendage/ Plongée 3	Réf. 3	Type de structure 4	Azimuth 4	Pendage/ Plongée 4	Réf. 4	Type de structure 5	Azimuth 5	Pendage/ Plongée 5	Réf. 5	Type de structure 6	Azimuth 6	Pendage/ Plongée 6	Réf. 6	Type de structure 7	Azimuth 7	Pendage/ Plongée 7	Réf. 7	Échantillon(s)	Photo(s)
1908-3234	05-Aug-08	527810	6255878		Grains tres fins (moins de 1mm). Les grains pales sont sub-arrondis, tandis que ceux fonces sont plus anguleux, et diffuses entre ceux plus pales. La matrice est peu importante car les grains sont appuyes les uns sur les autres. Moins de quartz noir. Veines de quartz millimetriques et centimetriques, avec quelques grains jusqu'a 1cm de diametre. Sub-arrondis a sug-anguleux.																				
1908-3235	06-Aug-08	527814	6255840	Outcrop	Gres a grains tres fins (moins de 1mm), sub-arrondis pour les grains pales, et sub-anguleux pour les grains noirs. Quartz en veines millimetriques et centimetriques.	82	Gres quartzitique																		114019-6 Aout 2008- 19-08- 3235/1, /2, /3 & /4
1908-3236	06-Aug-08	527766	6255850	Outcrop	Gres a grains tres fins (moins de 1mm), sub-arrondis pour les grains pales, et sub-anguleux pour les grains noirs (matrice moins de 15% du volume de la roche). Quartz en veines millimetriques et centimetriques.																				
1908-3237	06-Aug-08	527773	6255834	Outcrop	Gres a grains tres fins (moins de 1mm), sub-arrondis pour les grains pales, et sub-anguleux pour les grains noirs (matrice moins de 15% du volume de la roche). Quartz en veines millimetriques et centimetriques.	88	Gres quartzitique																		114019-6 Aout 2008- 19-08-3237/1 à /5
1908-3238	07-Aug-08	527745	6255786	Outcrop	Gres a grains tres fins (moins de 1mm), sub-arrondis pour les grains pales, et sub-anguleux pour les grains noirs (matrice moins de 15% du volume de la roche). Gres a grain tres fin (moins de 1mm), et avec une matrice dolomitisee qui occupe environs 25% de la roche. Quartz en veines et veinules (millimetriques a centimetriques).		Gres quartzitique & Gres dolomitique																		114019-7 aout 2008-19 0-3238/1

Tableau 7 - Tableau synoptique des traverses géologiques de Minowean 2008

No. Station géologique	Date	Coord. NAD83 Nordant	Coord. NAD83 Estant	Affleurement ou Bloc	Description de(s) la lithologie(s)	Lithologie A	Couleur A	Lithologie B	Couleur B	Lithologie C	Couleur C	Lithologie D	Couleur D	Lithologie E	Couleur E	Radiomètre utilisé	Rad. Bruit de fond (cps)	Rad. Max. (cps)	Altération(s)	Minéralisation(s)	Type de structure 1	Azimuth 1	Pendage/ Plongée 1	Réf. 1	Type de structure 2	Azimuth 2	Pendage/ Plongée 2	Réf. 2	Type de structure 3	Azimuth 3
1908-3239	07-Aug-08	527725	6255843	Outcrop	Gres a grain tres fin (moins de 1mm), et avec une matrice dolomitisee qui occupe environs 25% de la roche. Quartz en veines et veinules (millimetriques a centimetriques).	Gres dolomitique	gray	Quartz	white							SPP gamma	20	5000	Grès: Couleur d'alteration brun-beige. Matrice fortement lessivee mettant en relief positif les veines de quartz; Quartz; Couleur de surface blanc	Anomalie ponctuelle de 5000 cps qui semble associee a une veine de quartz ayant une oreole metamorphique. Mineralisation de pyrite automorphe a sub-automorphe (moins de 1mm de diametre). Photo 114019-7 Aout 2008-19-08-3239/1 et /2.	Bedding	340	76	Gres dolomitique						
1908-3240	07-Aug-08	527699	6255804	Outcrop	Gres a grain tres fin (moins de 1mm), et avec une matrice dolomitisee qui occupe environs 25% de la roche. Quartz en veines et veinules (millimetriques a centimetriques).	Gres dolomitique	gray	Quartz	white							SPP gamma	20	30	Grès: Couleur d'alteration brun-beige. Matrice fortement lessivee mettant en relief positif les veines de quartz; Quartz; Couleur de surface blanc	Anomalie ponctuelle de 850 cps qui semble associee a zone brechique a matrice de silice. Mineralisation de pyrite automorphe a sub-automorphe (moins de 1mm de diametre). Photo 114019-7 Aout 2008-19-08-3240/1 et /2.	Vein, Dyke	125	42	Gres dolomitique	Bedding	335	67	Gres dolomitique	Fentes de tension	120
1908-3241	07-Aug-08	527672	6255809	Outcrop	Gres a grain tres fin (moins de 1mm), et avec une matrice dolomitisee qui occupe environs 25% de la roche. Quartz en veines et veinules (millimetriques a centimetriques).	Gres dolomitique	gray	Quartz	white							SPP gamma	20	30	Grès: Couleur d'alteration brun-beige. Matrice fortement lessivee mettant en relief positif les veines de quartz. On note un debut d'alteration qui ressemble a un debut de chloritisation de la roche dans le bas de l'affleurement; Quartz; Couleur de surface blanc	Mineralisation de pyrite automorphe a sub-automorphe (moins de 0.5mm de diametre). Photos 114019-7 aout 2008-19-08-3241/1 et 114019-8 aout 2008-19-08-3241/2. Cet affleurement qui est a la base d'une falaise parait plus deforme que ceux de la meme lithol	Vein, Dyke	53	80	Gres dolomitique	fault	130	73	Gres dolomitique		
1908-3242	08-Aug-08	527647	6255818		Gres a grains tres fins (moins de 1mm), sub-arrondis pour les grains pales, et sub-anguleux pour les grains noirs (matrice moins de 15% du volume de la roche).	Gres quartzitique	gray									SPP gamma	20	25	Couleur d'alteration gris moyen due au lessivage de la matrice originale, silicification de la matrice et oxydation de la pyrite.	Mineralisation de pyrite dissiminee dans la roche. Cristaux tres fins (moins de 0,5mm), mais impossible de dire si automorphes ou xenomorphes. Photos 114019-7 Aout 2008-19-08-3242/1 et /2.	Vein, Dyke	265	90	Gres quartzitique						
1908-3243	08-Aug-08	527655	6255795	Outcrop	Gres a grains tres fins (moins de 1mm), sub-arrondis pour les grains pales, et sub-anguleux pour les grains noirs (matrice moins de 15% du volume de la roche). Gres dolomitique a grain tres fin (moins de 1mm), et avec une matrice dolomitisee qui occupe environs 25% de la roche. Quartz en veines millimetriques et plus rare que sur les autres affleurements.	Gres quartzitique	gray	Gres dolomitique	gray	Quartz	white					SPP gamma	20	25	Grès quartzitique: Couleur d'alteration gris moyen due au lessivage de la matrice originale, silicification de la matrice et oxydation de la pyrite; Grès dolomitique: Couleur d'alteration brun-beige. Matrice fortement lessivee mettant en relief positif les veines de quartz; Quartz; Couleur de surface blanc	On observe des alternances de lits quartzitique et dolomitique. On constate egalement des variations laterales dans l'epaisseur des lits de gres quartziques et dolomitiques. Pas de minéralisation visible dans la roche, mais une couronne d'oxydation sur	Bedding	355	70	Gres dolomitique						

Tableau 7 - Tableau synoptique des traverses géologiques de Minowean 2008

No. Station géologique	Date	Coord. NAD83 Nordant	Coord. NAD83 Estant	Affleurement ou Bloc	Description de(s) la lithologie(s)	Pendage/ Plongée 3	Réf. 3	Type de structure 4	Azimuth 4	Pendage/ Plongée 4	Réf. 4	Type de structure 5	Azimuth 5	Pendage/ Plongée 5	Réf. 5	Type de structure 6	Azimuth 6	Pendage/ Plongée 6	Réf. 6	Type de structure 7	Azimuth 7	Pendage/ Plongée 7	Réf. 7	Échantillon(s)	Photo(s)
1908-3239	07-Aug-08	527725	6255843	Outcrop	Gres a grain tres fin (moins de 1mm), et avec une matrice dolomitisee qui occupe environs 25% de la roche. Quartz en veines et veinules (millimetriques a centimetriques).																			1908-3239/1	114019-7 aout 2008-19 0-3239/1 & /2
1908-3240	07-Aug-08	527699	6255804	Outcrop	Gres a grain tres fin (moins de 1mm), et avec une matrice dolomitisee qui occupe environs 25% de la roche. Quartz en veines et veinules (millimetriques a centimetriques).	49	Gres dolomitique																	1908-3240/1	114019-7 aout 2008-19 0-3240/1 & /2
1908-3241	07-Aug-08	527672	6255809	Outcrop	Gres a grain tres fin (moins de 1mm), et avec une matrice dolomitisee qui occupe environs 25% de la roche. Quartz en veines et veinules (millimetriques a centimetriques).																				114019-7 aout 2008-19 0-3241/1 et 114019-8 aout 2008-19 08-3241/2 & /3
1908-3242	08-Aug-08	527647	6255818		Gres a grains tres fins (moins de 1mm), sub-arrondis pour les grains pales, et sub-anguleux pour les grains noirs (matrice moins de 15% du volume de la roche).																				114019-7 aout 2008-19 0-3242/1 & /2
1908-3243	08-Aug-08	527655	6255795	Outcrop	Gres a grains tres fins (moins de 1mm), sub-arrondis pour les grains pales, et sub-anguleux pour les grains noirs (matrice moins de 15% du volume de la roche). Gres dolomitique a grain tres fin (moins de 1mm), et avec une matrice dolomitisee qui occupe environs 25% de la roche. Quartz en veines millimetriques et plus rare que sur les autres affleurements.																				



Tableau 7 - Tableau synoptique des traverses géologiques de Minowean 2008

No. Station géologique	Date	Coord. NAD83 Nordant	Coord. NAD83 Estant	Affleurement ou Bloc	Description de(s) la lithologie(s)	Lithologie A	Couleur A	Lithologie B	Couleur B	Lithologie C	Couleur C	Lithologie D	Couleur D	Lithologie E	Couleur E	Radiomètre utilisé	Rad. Brut de fond (cps)	Rad. Max. (cps)	Altération(s)	Minéralisation(s)	Type de structure 1	Azimuth 1	Pendage/Plongée 1	Réf. 1	Type de structure 2	Azimuth 2	Pendage/Plongée 2	Réf. 2	Type de structure 3	Azimuth 3	
1908-3244	08-Aug-08	527582	6255798	Outcrop	Gres a grains tres fins (moins de 1mm), sub-arrondis pour les grains pales, et sub-anguleux pour les grains noirs (matrice moins de 15% du volume de la roche).	Gres quartzitique	gray									SPP gamma	25	40	Couleur d'alteration gris moyen due au lessivage de la matrice originale, silicification de la matrice et oxydation de la pyrite.	Note: Bien que la Ra soit basse, on observe une legere augmentation de la valeur, soit 40cps, dans une petite zone lilee de couleur beige fonce et noir (ressemble a un mudstone). On a essaye de suivre cette zone, mais on l'a perdue rapidement sous le co	Bedding	340	73	Gres quartzitique							
1908-3245	09-Aug-08	527566	6255841	Outcrop	Gres a grains tres fins (moins de 1mm), a matrice silicifiee par endroit, sub-arrondis. Gres dolomitique a grains tres fins de moins de 1mm, sub-arrondis. A noter que dans ce gres, les grains sont plus sombres, et on peut y observer des lits millimetriques plus sombres. Veines de quartz millimetriques, grains tres petits.	Gres quartzitique	gray	Gres dolomitique	gray	Quartz	white	Carbonate	gray	Dolomie	gray	SPP gamma	20	190	Grès quartzitique: Couleur de surface gris moyen a beige. Silicification de la matrice, et lessivage sur la face externe de la roche; Grès dolomitique: Lessivage de la matrice de dolomie; Quartz: Pas d'alteration de surface, couleur blanc; Carbonate: Alteration des lentilles par les eaux de surface; Dolomie: Surface alteree par eaux meteoriques.	On retrouve des lentilles de carbonates dans le gres quartzitique, en forme de lentille dans le meme plan que le contact. Pas de mineralisation comme telle observee dans la roche. Lentille de carbonate anterieures aux veines de quartz. Photos 114019-8 A	fault	330	73	Gres quartzitique & Gres dolomitique	Vein, Dyke	260	74	Gres quartzitique			
1908-3246	09-Aug-08	527605	6255715	Outcrop	On distingue dans la dolomie quelques grains de quartz dans la dolomie, mais pas assez pour appeler la roche un gres. Grains sub-arrondis. Grains tres fin invisible a la loupe dans les carbonates. Veines de quartz avec grains jusqu'a 1cm.	Dolomie	gray	Carbonate	gray	Quartz	white					SPP gamma	15	20	Dolomie: Surface exterieure lessivee par eau meteorique; Carbonate: Surface d'alteration lessivee par les eaux meteoriques; Quartz: Couleur de surface blanc.	Grains de silice dans la matrice de la breche avec une oreole rougeatre autour (ressemble a de la nucleation). Photo 114019-9 Aout 2008-19-08-3246/1. Pas de sulfures visibles dans la roche.	Bedding	325	67	Dolomie							
1908-3247	09-Aug-08	527588	6255693	Outcrop	Gres a grains tres fins de moins de 1mm de diametre, sub-arrondis dans une matrice dolomitique environs 25% de la roche. Granulometrie tres fine, impossible de la voir a la loupe dans les carbonates. Veines de quartz tres minces avec grains autour de 5mm de diametre	Gres dolomitique	gray	Carbonate	gray	Quartz	white					SPP gamma	15	25	Grès: Surface alteree par les eaux meteoriques, et de couleur brun-beige; Carbonates: Lessivage des carbonates par eau meteorique; Quartz: Couleur de surface blanc.	Presence de sulfures dans de petites lentilles fortement alterees (xenomorphes). Cette alteration va jusqu'a l'hematization. Egalement, presence d'un petit mineral jaunatre difficile a identifier). Photos 114019-9 aout 2008-19-08-3247/1 a /5	Bedding	325	74	Gres dolomitique							
1908-4001	29-Jun-08	531362	6266470	Outcrop	Dolosparite, roche entièrement recristallisée	Dolomie	gray									SPP2	20	45	patine grisâtre		Fault zone breccia	90	40	Dolomie							
1908-4002	29-Jun-08	531344	6266534	Outcrop	Argilite à interlits blanchâtres millimétriques. Gabbro à pyroxène 75 %, Olivine 15 %, Plagioclases 10%	Argilite	gray	Gabbro	gray							SPP gamma			Gabbro: patine lie de vin à brunâtre		Foliation	215	80								
1908-4003	29-Jun-08	531328	6266577	Outcrop	Dolomie dont la roche est intensément parcourue de fractures sèches infracentimétriques, sans déplacement apparent. Présence de nombreuses fentes de tension à remplissage de quartz	Argilite	black	Dolomie	gray							SPP gamma	18	57	Dolomie: patine rougâtre de la roche;		Lineation	30	65	Argilite							
1908-4004	29-Jun-08	531256	6266548	Outcrop	On remarque des minéraux phylliteux mais non identifiable. Finement cristallisé	Argilite	gray									SPP gamma	35	75			Cleavage (s0/1)	0	75	Argilite	Fold	140	90	Argilite			
1908-4005	29-Jun-08	531177	6266501	Outcrop		Argilite	gray									SPP gamma	30	60		Photo pli	Cleavage (s0/1)	170	90	Argilite	Fold	105	90	Argilite			
1908-4006	29-Jun-08	531188	6264430	Outcrop		Argilite	gray									SPP gamma					Cleavage (s1)	350	70	Argilite							
1908-4007	29-Jun-08	531424	6265906	Outcrop	Veines de quartz, pas de structures visibles.	Dolomie	gray									SPP gamma	20	30	Patine brune avec stockwork												

Tableau 7 - Tableau synoptique des traverses géologiques de Minowean 2008

No. Station géologique	Date	Coord. NAD83 Nordant	Coord. NAD83 Estant	Affleurement ou Bloc	Description de(s) la lithologie(s)	Pendage/ Plongée 3	Réf. 3	Type de structure 4	Azimuth 4	Pendage/ Plongée 4	Réf. 4	Type de structure 5	Azimuth 5	Pendage/ Plongée 5	Réf. 5	Type de structure 6	Azimuth 6	Pendage/ Plongée 6	Réf. 6	Type de structure 7	Azimuth 7	Pendage/ Plongée 7	Réf. 7	Échantillon(s)	Photo(s)
1908-3244	08-Aug-08	527582	6255798	Outcrop	Gres a grains tres fins (moins de 1mm), sub-arrondis pour les grains pales, et sub-anguleux pour les grains noirs (matrice moins de 15% du volume de la roche).																				114019-8 aout 2008-19-08-3244/1
1908-3245	09-Aug-08	527566	6255841	Outcrop	Gres a grains tres fins (moins de 1mm), a matrice silicifiée par endroit, sub-arrondis. Gres dolomitique à grains tres fins de moins de 1mm, sub-arrondis. A noter que dans ce gres, les grains sont plus sombres, et on peut y observer des lits millimetriques plus sombres. Veines de quartz millimetriques, grains tres petits.																				114019-8 aout 2008-19-08-3245/1, /2, /3, /4 et 114019-9 Aout 2008-19-08-3245/5
1908-3246	09-Aug-08	527605	6255715	Outcrop	On distingue dans la dolomie quelques grains de quartz dans la dolomie, mais pas assez pour appeler la roche un gres. Grains sub-arrondis. Grains tres fin invisible a la loupe dans les carbonates. Veines de quartz avec grains jusqu'a 1cm.																			1908-3246/1	114019-9 Aout 2008-19-08-3246/1
1908-3247	09-Aug-08	527588	6255693	Outcrop	Gres a grains tres fins de moins de 1mm de diametre, sub-arrondis dans une matrice dolomitique environs 25% de la roche. Granulometrie tres fine, impossible de la voir a la loupe dans les carbonates. Veines de quartz tres minces avec grains autour de 5mm de diametre																			1908-3247/1	114019-9 Aout 2008-19-08-3247/1 à /6
1908-4001	29-Jun-08	531362	6266470	Outcrop	Dolosparite, roche entièrement recristallisée																				
1908-4002	29-Jun-08	531344	6266534	Outcrop	Argilite à interlits blanchâtres millimétriques. Gabbro à pyroxène 75 %, Olivine 15 %, Plagioclases 10%																				
1908-4003	29-Jun-08	531328	6266577	Outcrop	Dolomie dont la roche est intensément parcourue de fractures sèches infracentimétriques, sans déplacement apparent. Présence de nombreuses fentes de tension à remplissage de quartz																				
1908-4004	29-Jun-08	531256	6266548	Outcrop	On remarque des minéraux phylliteux mais non identifiable. Finement cristallisé																				
1908-4005	29-Jun-08	531177	6266501	Outcrop																					114019-29.06.08-4005/1
1908-4006	29-Jun-08	531188	6264430	Outcrop																					
1908-4007	29-Jun-08	531424	6265906	Outcrop	Veines de quartz, pas de structures visibles.																				114019-29.06.08-4007/1



Tableau 7 - Tableau synoptique des traverses géologiques de Minowean 2008

No. Station géologique	Date	Coord. NAD83 Nordant	Coord. NAD83 Estant	Affleurement ou Bloc	Description de(s) la lithologie(s)	Lithologie A	Couleur A	Lithologie B	Couleur B	Lithologie C	Couleur C	Lithologie D	Couleur D	Lithologie E	Couleur E	Radiomètre utilisé	Rad. Brut de fond (cps)	Rad. Max. (cps)	Altération(s)	Minéralisation(s)	Type de structure 1	Azimuth 1	Pendage/ Plongée 1	Réf. 1	Type de structure 2	Azimuth 2	Pendage/ Plongée 2	Réf. 2	Type de structure 3	Azimuth 3	
1908-4008	29-Jun-08	531384	6265826	Outcrop	Pyrite (chalcopyrite probable) sur parties rouillées a l'affleurement, Matrice fine carbonatée, brèche polygénique a élément quartz et argilite calcaire. On observe des litages de pyrite et de shale noir dans l'argilite grise a matrice carbonatée.	Argilite										SPP gamma	40	80		Photo	Cleavage (s0/1)	50	80	Argilite	Fold	50	80	Argilite			
1908-4009	29-Jun-08	531352	6266144	Outcrop	matrice carbonatée, fentes de quartz et calcite d'orientation variable	Argilite	gray									SPP gamma	30	50	patine gris		Cleavage (s0/1)	170	90	Argilite	Fente de tension	250	70	Argilite			
1908-4010	29-Jun-08	531336	6266251	Outcrop	Matrice carbonatée	Argilite	gray									SPP gamma	40	60			Cleavage (s0/1)	160	40	Argilite							
1908-4011	29-Jun-08	531392	6266289	Outcrop	Dolomite (mélange de calcite et dolomite), veine de quartz, matrice très fine. Argilite: Interband avec veines de calcite (réaction a l'HCl dans les veines).	Dolomie		Argilite								SPP gamma			Dolomie: patine rougeâtre;		Cleavage (s0/1)	60	90	Argilite							
1908-4012	30-Jun-08	530865	6267618	Outcrop	Matrice Carbonatée	Argilite	gray									SPP2	40	55	Patine: Lie de vin clair		Cleavage (s0/1)	335	60	Argilite							
1908-4013	30-Jun-08	530859	6267611	Outcrop	Recristallisé avec présence de veinules de calcite (HCl +), 10% du volume de l'affleurement	Dolomie	gray									SPP2	25	15	Patine: brun rouge	Zone broyée avec une patine plus clair, difficilement accessible											
1908-4014	30-Jun-08	530831	6267657	Outcrop	Cristallisée (dolosparte). Présence de lit quartzeux (diamètre des grains: 1 mm)	Dolomie	gray									SPP gamma			Patine: brunâtre rouge		Cleavage (s1)	330	20	Dolomie							
1908-4015	30-Jun-08	530794	6267673		Dolospartique, 18 % dolosparte, 1% quartz, 1 % mica	Dolomie	gray									SPP2	25	15	Patine : Verdâtre très pâle a blanche. Pulvéulente		Cleavage (s1)	350	40	Dolomie							
1908-4016	30-Jun-08			Boulder												SPP gamma															
1908-4017	30-Jun-08	530772	6267369	Boulder	Très cristallisée, 1% pyrite ou	Dolomie	gray									SPP2	10	25													
1908-4018	30-Jun-08	530333	6266453		10% olivine, 10% plagioclase, 80 % Pyroxène, Présence de pyrite sub automorphe	Basalte	black									SPP gamma	10	20	Patine: Blanche a rosâtre												
1908-4019	30-Jun-08	530286	6266387	Outcrop	Carbonatisé avec veinule de calcite, Pyroxène 80%, olivine 10 %, 10 % plagioclase	gabbro										SPP2	10	25			Thrust fault	90	45	gabbro	fracture	74	75	gabbro			
1908-4020	30-Jun-08	530324	6266375		Carbonatisé,	gabbro										SPP gamma	15	20		Sur le sommet, il ya présence de bloc éboulé avec une richesse accrue en plagioclase, baguette millimétrique dans 15 % de la roche	Thrust fault	105	80	gabbro							
1908-4021	30-Jun-08	530374	6266337		15% plagioclase, 85 % de pyroxène et olivine. Roche mélanocrate	gabbro	gray									SPP2	10	25	Patine: gris blanchâtre												
1908-4022	30-Jun-08	530387	6266294		Plus ou moins broyé, fracture riche pas de cinématique visible, pas de contact visible avec l'argilite	gabbro	black									SPP2					Zone broyé	170	0	gabbro							
1908-4023	30-Jun-08	530390	6266190	Outcrop	Avec des faciès très fin et difficile a identifier dans l'affleurement précédent (Même lithologie de le basalte précédent) A la base de la meme zone, couli de basalte a grain fin, faible réaction au HCl. Pyroxène 90%, plagioclase 10 %.	gabbro	gray									SPP gamma															
1908-4024	02-Jul-08	531733	6269119	Boulder	Pyrite automorphe 5 %, 95% Pyroxène, Schistosité bien développer dans bloc leucocrate. Autre roche schisteuse(possibilité de sillite) avec faible réaction HCl avec développement minérale phylliteux sur le plan schistosité	Basalte	gray	Sillite (?)								SPPgamma	70	130	Patine: grisâtre	Radiométrie élevé apparait de manière diffuse Possibilité d'effet de masse du 130 au fond du trou creusé (40 cm) Lorsqu'on poursuit vers l'est, les blocs schisteux sont de plus en plus nombreux pas de signes de transport glacière, possibilité que la prove											
1908-4025	02-Jul-08	531820	6269121	Boulder	Basalte schisteux et silicifié	Basalte	gray									SPP gamma		130		colluvions											
1908-4026	02-Jul-08	539898	6269134	Outcrop		Basalte										SPP gamma	70	90		Subaffleurant	cleavage (s1)	310	25	Basalte							
1908-4027	02-Jul-08	531778	6268770		foliation pénétrative, roche pulvéulente. Nombreuses lentilles de quartz centimétrique dans le plan de foliation avec autour une chloritisation intense du plan schistosité, variation de pendage autour d'un groupe de lentille de quartz métrique	Basalte	white									SPP gamma			Patine: gris vert		cleavage (s1)	330	30	Basalte	cleavage (s1)	350	55	Basalte			
1908-4028	02-Jul-08	532114	6267383	Outcrop	encore plus pulvéulant, schistosité. Possibilité d'un basalte complètement dolomitisé	Basalte	gray									SPP gamma	120	210	Patine: gris	photo:	cleavage (s1)	350	55	Basalte	Zone broyée	338	55	Basalte			
1908-4029	03-Jul-08	530097	6275150	Outcrop	Horizon blanchi plus ou moins schisteux et pulvéulant. On remarque des niveaux très schistosés avec des lentilles de quartz, cette zone présente démontre une évidence de broyage. Les quartz sont pénétrés par la schistosité.	basalte	black									SPP gamma				Toutefois, sur l'ensemble de l'affleurement, la fabrique tectonique parait fruste	cleavage (s1)	345	40	Basalte	filon	80	90	Basalte			



Tableau 7 - Tableau synoptique des traverses géologiques de Minowean 2008

No. Station géologique	Date	Coord. NAD83 Nordant	Coord. NAD83 Estant	Affleurement ou Bloc	Description de(s) la lithologie(s)	Pendage/ Plongée 3	Réf. 3	Type de structure 4	Azimuth 4	Pendage/ Plongée 4	Réf. 4	Type de structure 5	Azimuth 5	Pendage/ Plongée 5	Réf. 5	Type de structure 6	Azimuth 6	Pendage/ Plongée 6	Réf. 6	Type de structure 7	Azimuth 7	Pendage/ Plongée 7	Réf. 7	Échantillon(s)	Photo(s)
1908-4008	29-Jun-08	531384	6265826	Outcrop	Pyrite (chalcopyrite probable) sur paries rouillées a l'affleurement, Matrice fine carbonatée, brèche polygénique a élément quartz et argilite calcaire. On observe des litages de pyrite et de shale noir dans l'argilite grise a matrice carbonatée.																				114019-29.06.08-4008/1 &/2
1908-4009	29-Jun-08	531352	6266144	Outcrop	matrice carbonatée, fentes de quartz et calcite d'orientation variable																				
1908-4010	29-Jun-08	531336	6266251	Outcrop	Matrice carbonatée																				
1908-4011	29-Jun-08	531392	6266289	Outcrop	Dolomiticite (mélange de calcite et dolomite), veine de quartz, matrice très fine. Argilite: Interband avec veines de calcite (réaction a l'HCl dans les veines).																				
1908-4012	30-Jun-08	530865	6267618	Outcrop	Matrice Carbonatée																				
1908-4013	30-Jun-08	530859	6267611	Outcrop	Recristallisé avec présence de veinules de calcite (HCl +), 10% du volume de l'affleurement																				
1908-4014	30-Jun-08	530831	6267657	Outcrop	Cristallisée (dolosparte). Présence de lit quartzeux ( diamètre des grains: 1 mm)																				
1908-4015	30-Jun-08	530794	6267673		Dolosparitique, 18 % dolosparte, 1% quartz, 1 % mica																				
1908-4016	30-Jun-08			Boulder																					
1908-4017	30-Jun-08	530772	6267369	Boulder	Très cristallisée, 1% pyrite ou																				
1908-4018	30-Jun-08	530333	6266453		10% olivine, 10% plagioclase, 80 % Pyroxène, Présence de pyrite sub automorphe																				
1908-4019	30-Jun-08	530286	6266387	Outcrop	Carbonatisé avec veinule de calcite, Pyroxène 80%, olivine 10 %, 10 % plagioclase																				
1908-4020	30-Jun-08	530324	6266375		Carbonatisé,																				
1908-4021	30-Jun-08	530374	6266337		15% plagioclase, 85 % de pyroxène et olivine. Roche mélanocrate																				
1908-4022	30-Jun-08	530387	6266294		Plus ou moins broyé, fracture riche pas de cinématique visible, pas de contact visible avec l'argilite																				
1908-4023	30-Jun-08	530390	6266190	Outcrop	Avec des facies très fin et difficile a identifier dans l'affleurement précédent (Même lithologie de la basalte précédent) A la base de la meme zone, couli de basalte a grain fin, faible réaction au HCl. Pyroxène 90%, plagioclase 10 %.																				
1908-4024	02-Jul-08	531733	6269119	Boulder	Pyrite automorphe 5 %, 95% Pyroxène, Schistosité bien développer dans bloc leucocrate. Autre roche schisteuse( possibilité de siltite) avec faible réaction HCl avec développement minérale phylliteux sur le plan schistosité																				
1908-4025	02-Jul-08	531820	6269121	Boulder	Basalte schisteux et silicifié																				1908-4025/1
1908-4026	02-Jul-08	539898	6269134	Outcrop																					
1908-4027	02-Jul-08	531778	6268770		foliation pénétrative, roche pulvérulente. Nombreuses lentilles de quartz centimétrique dans le plan de foliation avec autour une chloritisation intense du plan schistosité. variation de pendage autour d'un groupe de lentille de quartz métrique																				
1908-4028	02-Jul-08	532114	6267383	Outcrop	encore plus pulvérulant, schistosité. Possibilité d'un basalte complètement dolomitée																				114019-02.07.08-4028/1 &/2
1908-4029	03-Jul-08	530097	6275150	Outcrop	Horizon blanchi plus ou moins schisteux et pulvérulant. On remarque des niveaux très schistosés avec des lentilles de quartz, cette zone présente démontre une évidence de broyage. Les quartz sont pénétrés par la schistosité.																				

Tableau 7 - Tableau synoptique des traverses géologiques de Minowean 2008

No. Station géologique	Date	Coord. NAD83 Nordant	Coord. NAD83 Estant	Affleurement ou Bloc	Description de(s) la lithologie(s)	Lithologie A	Couleur A	Lithologie B	Couleur B	Lithologie C	Couleur C	Lithologie D	Couleur D	Lithologie E	Couleur E	Radiomètre utilisé	Rad. Brut de fond (cps)	Rad. Max. (cps)	Altération(s)	Minéralisation(s)	Type de structure 1	Azimuth 1	Pendage/ Plongée 1	Réf. 1	Type de structure 2	Azimuth 2	Pendage/ Plongée 2	Réf. 2	Type de structure 3	Azimuth 3	
1908-4030	03-Jul-08	530063	6275236		pyrite automorphe millimétrique, minéraux rougâtre à éclat gris, habitus prismatique à base carré, Pyrite très probable car identifiés dans d'autres formations sous cette forme	Basalte										SPP gamma	10	21													
1908-4031	03-Jul-08	530201	6275440	Outcrop	on observe une fabrique tectonique pénétrative avec une direction préférentielle des minéraux. Plagioclase 20%, Pyroxène 70%, minéraux phileux chlorite	basalte	black									SPP gamma			Patine: grisâtre a brune	photographie	Fente de tension	100	90	basalte	filonnet	70	70	basalte	Fente de tension	60	
1908-4032	03-Jul-08	530379	6275586	Boulder												SPP gamma				Zone éboulee et de bloc affleurement anguleux, lithologie variables avec blocs de siltite rouge											
1908-4033	03-Jul-08	530810	6275503	Outcrop	basalte massif ç grain très fin. Pas de déformation indentifiée	Basalte	gray									SPP gamma	12	20	Patine: Blanchâtre												
1908-4034	03-Jul-08	530573	6275228	Boulder		Argilite										SPP gamma															
1908-4035	03-Jul-08	530608	6274552	Outcrop		formation de fer										SPP gamma				bloc de fer rubanée											
1908-4036	04-Jul-08	531470	6274883	Outcrop		Basalte	gray									SPP gamma	10	15	Patine: gris blanchâtre avec des zones rouillées		Zone broyée	160	90	Basalte	fracture	90	90	Basalte			
1908-4037	04-Jul-08	531490	6274908	Outcrop	Amydales de 3 à 5 mm de calcite entourées d'une fine couche de pyrite. Les amydales plus petites ne contiennent que de la pyrite. On note la présence de dolomie au contact entre le basalte sain et la zone plus schisteuse dans des fractures radiales	Basalte										SPP gamma	80	100		dans basaltes enclave de materiel réduit, possiblement riche en matière organique, lui-même recoupé par des veinules de calcite	filonnet			Basalte							
1908-4038	05-Jul-08	530945	6268739		15% de plagioclase, 70% de Pyroxène, 15% de serpentine, on remarque une orientation préférentielle des minéraux, particulièrement au contact de plans striés	gabbro	gray									SPP gamma					faille	330	65	gabbro	filonnet	160	80	gabbro			
1908-4039	05-Jul-08	530921	6268732	Outcrop	présence de quelque fente millimétrique à remplissage de calcite	Argilite	gray									SPP2	40	50	Patine: Dark gray	photo Ech.: 19-084039/1	filonnet	160	80	Argilite	Zone broyée	220	45	Argilite	Cleavage (s1)	290	
1908-4040	05-Jul-08	530874	6268771	Outcrop	roche gris sombre à certain endroit-> Tectonite, la surface paraît irrégulière et de nombreuse zones sont broyées	gabbro	gray									SPP2	30	45	Patine: Rosé	photo de la zone broyées	faille	150	90	gabbro	stries de faille	225	65	gabbro			
1908-4041	05-Jul-08	530904	6268849	Outcrop	plagioclase 20 %, pyroxène 80 %, nombreuse fracture, mais pas d'hématite	gabbro	green									SPP2	10	25	Patine: Gris blanchâtre		faille	330	90	gabbro	stries de faille		50				
1908-4042	05-Jul-08	530810	6268816	Outcrop	Gabbro: affleurement très fragmentaire, 2 plan de fragmentation; Possibilité d'argilite au plan N170E, jour très schisteux et tourmenté avec veinule millimétrique de Cc et Qz	gabbro	green	Argilite	gray							SPP2	30	90	Gabbro: patine gris moyen; Argilite: patine: gris noir;		fracture	90	75	gabbro	fracture	350	35	gabbro	Cleavage (s0/1)	290	
1908-4043	05-Jul-08	530431	6268860	Outcrop	mouches de pyrite plurimillimétriques	gabbro										SPP gamma	10	25													
1908-4044	05-Jul-08	530502	6268709	Outcrop		Argilite	black									SPP gamma	50	70	Patine blanchâtre		Cleavage (s0/1)	350	80	Argilite	Fold	0	0	Argilite	Axe de pli	135	
1908-4045	06-Jul-08	526786	6264571	Outcrop		Argilite	gray									SPP gamma	50	90	Patine grisâtre	roches subaffleurantes photo, 114019-08.07.07-4045KinkBandsRivièreSwampyBay	Cleavage (s1)	170	90	Argilite							
1908-4046	06-Jul-08	526576	6264573	Outcrop		Argilite	gray									SPP gamma	80	125	Patine gris blanche à brunâtre	Affleurement le long de la Rivière Swampy Bay	Cleavage (s1)	350	80	Argilite	Kink fold with plunge	250	80	Argilite	Axe	20	
1908-4047	06-Jul-08	526563	6264624	Outcrop	Au sein de de la siltite sont présentes des lentilles de subarénite quartzuse à matrice carbonnaté (%matrice environ 5%); Sandstone: lentilles centimétriques dans la siltite.	Siltstone	gray	Sandstone	Undefined							SPP gamma	80	125	Siltstone: Patine gris brunâtre		Cleavage (s0/1)	350	70	Siltstone	Linéation minérale	0	70	Siltstone	Plan axial	150	
1908-4048	06-Jul-08	526559	6265404	Outcrop		Siltstone	gray									SPP2	50	75	Patine blanchâtre	roche subaffleurantes Le long de la rivière Swampy Bay	Cleavage (s1)	130	90	Siltstone							
1908-4049	06-Jul-08	526626	6265631	Outcrop	arénite ou wacke lithique à élément de roches granito-gneissiques (Feld, Qtz, Mica noir) millimétriques. Des micas noir sont également présent dans la matrice, ainsi que des mouches de pyrite xénomorphes	Sandstone	red									SPP gamma	80	150		photo, 114019-08.07.07-4049ZonationsCoteAréniteLithique-1 Variation due à des variations granulométriques les niveaux les plus fins apparaissant plus sombres	Cleavage (s1)	170	90	Sandstone							



Tableau 7 - Tableau synoptique des traverses géologiques de Minowean 2008

No. Station géologique	Date	Coord. NAD83 Nordant	Coord. NAD83 Estant	Affurement ou Bloc	Description de(s) la lithologie(s)	Pendage/ Plongée 3	Réf. 3	Type de structure 4	Azimuth 4	Pendage/ Plongée 4	Réf. 4	Type de structure 5	Azimuth 5	Pendage/ Plongée 5	Réf. 5	Type de structure 6	Azimuth 6	Pendage/ Plongée 6	Réf. 6	Type de structure 7	Azimuth 7	Pendage/ Plongée 7	Réf. 7	Échantillon(s)	Photo(s)	
1908-4030	03-Jul-08	530063	6275238		pyrite automorphe millimétrique, minéraux rougâtre a éclat gris, habitus prismatique a base carré. Pyrite très probable car identifiés dans d'autres formations sous cette forme																			1908-4030/1		
1908-4031	03-Jul-08	530201	6275440	Outcrop	on observe une fabrique tectonique pénétrative avec une direction préférentielle des minéraux. Plagioclase 20%, Pyroxène 70%, minéraux phluteux chlorite	90	basalte																		114019-03.07.08-4028/1 à /7	
1908-4032	03-Jul-08	530379	6275586	Boulder																						
1908-4033	03-Jul-08	530810	6275503	Outcrop	basalte massif ç grain très fin.Pas de déformation indentifiée																				1908-4034/1	
1908-4034	03-Jul-08	530573	6275228	Boulder																					1908-4035/1	
1908-4035	03-Jul-08	530608	6274552	Outcrop																						
1908-4036	04-Jul-08	531470	6274883	Outcrop																					114019-04.07.08-4036/1 & /2	
1908-4037	04-Jul-08	531490	6274908	Outcrop	Amydales de 3 à 5 mm de calcite entourées d'une fine couche de pyrite. Les amydales plus petites ne contiennent que de la pyrite. On note la présence de dolomie au contact entre le basalte sain et la zone plus schisteuse dans des fractures radiales																			1908-4037/1, /2 & /3	114019-04.07.08-4037/1 & /2	
1908-4038	05-Jul-08	530945	6268739		15% de plagioclase, 70% de Pyroxène, 15% de serpentine, on remarque une orientation préférentielle des minéraux, particulièrement au contact de plans striés																				1908-4038/1	114019-05.07.08-4038/1
1908-4039	05-Jul-08	530921	6268732	Outcrop	présence de quelque fente millimétrique à remplissage de calcite	50	Argillite																		1908-4039/1	114019-05.07.08-4039/1
1908-4040	05-Jul-08	530874	6268771	Outcrop	roche gris sombre à certain endroit->Tectonite, la surface paraît irrégulière et de nombreuse zones sont broyées																				1908-4040/1	114019-05.07.08-4040/1
1908-4041	05-Jul-08	530904	6268849	Outcrop	plagioclase 20 %, pyroxène 80 %, nombreuse fracture, mais pas d'hématite																					
1908-4042	05-Jul-08	530810	6268816	Outcrop	Gabbro: affleurement très fragmentaire, 2 plan de fragmentation; Possibilité d'argillite au plan N170E, jour très schisteux et tourmenté avec veinule millimétrique de Cc et Qz	35	Argillite																		1908-4042/1, /2 & /3	114019-05.07.08-4042/1, /2 & /3
1908-4043	05-Jul-08	530431	6268860	Outcrop	mouches de pyrite plurimillimétriques																					
1908-4044	05-Jul-08	530502	6268709	Outcrop		10																				114019-05.07.08-4044/1
1908-4045	06-Jul-08	526786	6264571	Outcrop																						114019-06.07.08-4045/1
1908-4046	06-Jul-08	526576	6264573	Outcrop		80	Argillite																		1908-4046/1	
1908-4047	06-Jul-08	526563	6264624	Outcrop	Au sein de de la siltite sont présentes des lentilles de subarénite quartzreuse à matrice carbonnaté (%matrice environ 5%); Sandstone: lentilles centimétriques dans la siltite.	90																			1908-4047/1	
1908-4048	06-Jul-08	526559	6265404	Outcrop																						
1908-4049	06-Jul-08	526626	6265631	Outcrop	arénite ou wacke lithique à élément de roches granito-gneissiques (Feld,Qtz, Mica noir) millimétriques. Des micas noir sont également présent dans la matrice, ainsi que des mouches de pyrite xénomorphes																				1908-4049/1	114019-06.07.08-4049/1 à /4



Tableau 7 - Tableau synoptique des traverses géologiques de Minowean 2008

No. Station géologique	Date	Coord. NAD83 Nordant	Coord. NAD83 Estant	Affurement ou Bloc	Description de(s) la lithologie(s)	Lithologie A	Couleur A	Lithologie B	Couleur B	Lithologie C	Couleur C	Lithologie D	Couleur D	Lithologie E	Couleur E	Radiomètre utilisé	Rad. Brut de fond (cps)	Rad. Max. (cps)	Altération(s)	Minéralisation(s)	Type de structure 1	Azimuth 1	Pendage/ Plongée 1	Réf. 1	Type de structure 2	Azimuth 2	Pendage/ Plongée 2	Réf. 2	Type de structure 3	Azimuth 3
1908-4050	06-Jul-08	526558	6265553	Outcrop	alterance de lits beiges et lit de vin à violacés centimétriques	Siltstone	brown									SPP gamma				114019-08.07.07-4050-1lits Siltite 114019-08.07.07-4050-2SiltitePlissée 114019-08.07.07-4050-3PilisFente_veine QtzPI	Cleavage (s1)	340	70	Siltstone	Fold	160	90	Siltstone	Axe de pli	0
1908-4051	08-Jul-08	527107	6266103	Boulder	Gabbro: Pyroxène 85% Plagioclase 15 %; Argilite interfilées avec de la dolomie à grain très fin ( dolomicrite); Bloc de quartz laiteux.	gabbro	black	Argilite	black	Quartz	white					SPP gamma	40			vérification anomalie géophysique aéroportée Champ de bloc métriques subarrondis										
1908-4052	08-Jul-08	527026	6266218	Boulder	La roche et chloritisé et silicifié	Argilite	gray									SPP gamma				vérification d'anomalies géophysiques aéroporté										
1908-4053	08-Jul-08	526976	6266395		Bloc plurimétrique	Argilite	black									SPP gamma				Reconnaissance anomalie géophysique aéroporté										
1908-4054	08-Jul-08	526625	6266201	Outcrop	Roche à texture très fine, difficilement identifiable et intensément déformée	Siltstone	gray									SPP gamma				photo	Cleavage (s1)	150	90	Siltstone	Fold	160	90	Siltstone	Fold	70
1908-4055	08-Jul-08	526638	6266289	Outcrop	Sandstone: Niveau de subarkose litique Qtz 85%, Feldsph 10% et clastes 5%, avec granoclassement postif. Dans ce niveau on note la présence de grains millimétriques de roches du socle à Qtz,Pl,Bt, On note également des niveau d'arénite quartzitique centimétriques	Siltstone	red	Sandstone								SPP gamma	50	60		alternance de pélite et siltites avec des niveaux détritiques plus grossiers Photo	Fold	150	90	Siltstone & Sandstone						
1908-4056	08-Jul-08	526649	6266442	Outcrop	Sandstone: Arénite quartitique avec grain de diamètres millimétriques de formes variables et angulaires. La matrice est quasi inexistante et l'on note une recristallisation; Siltstone: Roche très altérés de 30 cm de puissance développés au sein de l'arénite quartzitique dont elle semble délimiter des blocs	Sandstone	gray	Siltstone								SPP gamma			Blanchissement de la roche à proximités de zones très altérés											
1908-4057	08-Jul-08	526783	626653	Boulder												SPP gamma				vérification d'anomalie de géophysique aéroporté Champ de bloc sur une butte( quaternaire)										
1908-4058	08-Jul-08	526712	6266854	Boulder	Bloc plurimétriques avec lamines noir et briques milli à centimétriques	Siltstone	gray									SPP gamma	80	100		vérification d'anomalie de géophysique aéroporté Champ de bloc sur une butte( quaternaire)										
1908-4059	08-Jul-08	526665	6266924	Outcrop	Lamination rouge et noir	Siltstone										SPP gamma		60		roche subaffleuranates	Bedding	350	55	Siltstone	Cleavage (s1)	160	55	Siltstone		
1908-4060	08-Jul-08	526636	6267113	Outcrop	Sandstone: Arénite quartitique, avec grains subangulaires. Présence de pyrite automorphe sous forme de cubes oxydés et de cristaux sains; Siltstone: Alternance de niveaux gris noir à rouge brique violacé. Les niveaux les plus violacés associent des pyrites automorphes centimétriques.	Sandstone	brown	Siltstone	black							SPP gamma	40	120	Sandstone: Patine légèrement rosée; Siltstone: Patine gris clair;	Contact en arénite quartitique et siltite	Cleavage (s1)	150	90	Siltstone	Cleavage (s2)	170	90	Siltstone	Zone broyée	290
1908-4061	08-Jul-08	527056	6267590	Boulder												SPP gamma				Reconnaissance d'anomalies géophysiques aéroportées										
1908-4062	09-Jul-08	531404	6264841	Outcrop	pyroxènes 80 %, Plagioclases 20 %, gabbro à grain moyen cristaux 1 à 2 mm. Pas de fabrique tectonique évidente au sein de la roche	gabbro	black									SPP gamma					fracture	170	90	gabbro						
1908-4063	09-Jul-08	531409	6264943	Outcrop	pyroxènes 80%, plagioclases 15 %, calcite et chlorite 5% + minéraux d'altération sous la forme d'une poudre blanchâtre ( Saussuritisation)	gabbro	black									SPP gamma	5	15		pas de différence de radiométrie entre la roche saine et celle fracturée	faille	50	90	gabbro						
1908-4064	09-Jul-08	531322	6265072	Outcrop	pyroxène 80 %, plagioclases 20 % plus quelques mouches de pyrite. Gabbro à grain fin les cristaux sont de taille inframillimétrique	gabbro	black									SPP gamma	5	15	Patine grisâtre	en contrebas de la zone décrite la roche apparaît très réorientée avec un assemblage 60% pyroxène, 40 % plagioclases	fracture	90	90	gabbro	Fracture 2	140	90	gabbro		
1908-4065	09-Jul-08	530640	6265226	Outcrop	pyroxène80 %, plagioclases 20%. Gabbro à grain fin cristaux < 1/2 mm. La roche présente un fin broyage tectonique ce qui rend l'identification des minéraux difficile.	gabbro	black									SPP gamma	10	20			fracture	190	35	gabbro						

Tableau 7 - Tableau synoptique des traverses géologiques de Minowean 2008

No. Station géologique	Date	Coord. NAD83 Nordant	Coord. NAD83 Estant	Affleurement ou Bloc	Description de(s) la lithologie(s)	Pendage/ Plongée 3	Réf. 3	Type de structure 4	Azimuth 4	Pendage/ Plongée 4	Réf. 4	Type de structure 5	Azimuth 5	Pendage/ Plongée 5	Réf. 5	Type de structure 6	Azimuth 6	Pendage/ Plongée 6	Réf. 6	Type de structure 7	Azimuth 7	Pendage/ Plongée 7	Réf. 7	Échantillon(s)	Photo(s)		
1908-4050	06-Jul-08	526558	6265553	Outcrop	alterance de lits beiges et lit de vin à violacés centimétriques	65		Siltstone																	1908-4050/1 & /2	114019-06.07.08-4050/1 à /3	
1908-4051	08-Jul-08	527107	6266103	Boulder	Gabbro: Pyroxène 85% Plagioclase 15%; Argilite interlitées avec de la dolomie à grain très fin ( dolomiticite); Bloc de quartz laiteux.																				1908-4051/1		
1908-4052	08-Jul-08	527026	6266218	Boulder	La roche et chloritisé et silicifié																					1908-4052/1	
1908-4053	08-Jul-08	526976	6266395		Bloc plurimétrique																					1908-4053/1 & /2	
1908-4054	08-Jul-08	526625	6266201	Outcrop	Roche à texture très fine, difficilement identifiable et intensément déformée	90		Siltstone																		1908-4054/1	
1908-4055	08-Jul-08	526638	6266289	Outcrop	Sandstone: Niveau de subarkose litique Qtz 85%, Feldsph 10% et clastes 5%, avec granoclassement positif. Dans ce niveau on note la présence de grains millimétriques de roches du socle à Qtz,Pl,Bt. On note également des niveau d'arénite quartzitique centimétriques																						
1908-4056	08-Jul-08	526649	6266442	Outcrop	Sandstone: Arénite quartzitique avec grain de diamètres millimétriques de formes variables et angulaires. La matrice est quasi inexistante et l'on note une recristallisation; Siltstone: Roche très altérée de 30 cm de puissance développés au sein de l'arénite quartzitique dont elle semble délimiter des blocs																					1908-4056/1	
1908-4057	08-Jul-08	526783	626653	Boulder																							
1908-4058	08-Jul-08	526712	6266854	Boulder	Bloc plurimétriques avec lamines noir et briques mill à centimétriques																						114019-08.07.08-4058/1
1908-4059	08-Jul-08	526665	6266924	Outcrop	Lamination rouge et noir																						
1908-4060	08-Jul-08	526636	6267113	Outcrop	Sandstone: Arénite quartzitique, avec grains subangulaires. Présence de pyrite automorphe sous forme de cubes oxydés et de cristaux sains; Siltstone: Alternance de niveaux gris noir à rouge brique violacé. Les niveaux les plus violacés associent des pyrites automorphes centimétriques.	65																				1908-4060/1 & /2	
1908-4061	08-Jul-08	527056	6267590	Boulder																							
1908-4062	09-Jul-08	531404	6264841	Outcrop	pyroxènes 80 %, Plagioclases 20 %, gabbro à grain moyen cristaux 1 à 2 mm. Pas de fabrique tectonique évidente au sein de la roche																						
1908-4063	09-Jul-08	531409	6264943	Outcrop	pyroxènes 80%, plagioclases 15 %, calcite et chlorite 5% + minéraux d'altération sous la forme d'une poudre blanchâtre ( Saussuritisation)																						
1908-4064	09-Jul-08	531322	6265072	Outcrop	pyroxène 80 %, plagioclases 20 % plus quelques mouches de pyrite. Gabbro à grain fin les cristaux sont de taille inframillimétrique																						
1908-4065	09-Jul-08	530640	6265226	Outcrop	pyroxène 80 %, plagioclases 20%. Gabbro à grain fin cristaux < 1/2 mm. La roche présente un fin broyage tectonique ce qui rend l'identification des minéraux difficile.																						



Tableau 7 - Tableau synoptique des traverses géologiques de Minowean 2008

No. Station géologique	Date	Coord. NAD83 Nordant	Coord. NAD83 Estant	Affleurement ou Bloc	Description de(s) la lithologie(s)	Lithologie A	Couleur A	Lithologie B	Couleur B	Lithologie C	Couleur C	Lithologie D	Couleur D	Lithologie E	Couleur E	Radiomètre utilisé	Rad. Brut de fond (cps)	Rad. Max. (cps)	Altération(s)	Minéralisation(s)	Type de structure 1	Azimuth 1	Pendage/ Plongée 1	Réf. 1	Type de structure 2	Azimuth 2	Pendage/ Plongée 2	Réf. 2	Type de structure 3	Azimuth 3	
1908-4066	09-Jul-08	530548	6265261	Outcrop	Gabbro à grain fin < 1mm très recristallisé, cassure au marteau difficile	gabbro	gray									SPP gamma			Saussuritization; Silicification probable	on observe une fracturation dans la masse sans déplacement, délimitant des blocs décimétriques											
1908-4067	09-Jul-08	530281	6265431	Outcrop	pyroxène 80 % Plagioclase 10 % Biotite 10 %	gabbro	black									SPP gamma															
1908-4068	09-Jul-08	529389	6265398	Outcrop	Gabbro à grain fin < 1mm, quelques fente avec un remplissage de quartz 60%, albite 40%	gabbro	gray									SPP gamma			Patine blanche rosée												
1908-4069	09-Jul-08	529396	6264915			Argillite	black									SPP gamma	60			zone très tourmentée avec zone de bréchification. Conditions d'affleurement médiocre, nettoyage de la surface nécessaire pour meilleur interprétation	Cleavage (s1)	20	90	Argillite	Cleavage (s2)	170	90	Argillite			
1908-4070	09-Jul-08	529189	6265242	Outcrop	texture recristallisé avec des grains de diamètres 1mm. Pas de structures misent en évidence	gabbro	gray									SPP gamma			Saussuritization; Altération des plagioclases, roche rayée par le marteau												
1908-4071	09-Jul-08	529123	6264603	Boulder		Argillite	black									SPP gamma	50	70		reconnaissance d'anomalie de géophysique aéroportée. Champ de bloc											
1908-4072	10-Jul-08	529199	6264309	Outcrop	Sandstone: Diamètre 1mm, tri moyen et grain sub-arrondis avec des surfaces présentant peu d'aspérités. Matrice carbonnatée très fine. banc de plusieurs mètres de puissance; Sandstone2: On note aussi une deuxième arénite quartzitique avec disparition quasi-totale de la matrice. Cette seconde arénite est non-cohésive et pulvérulente. Grain 1mm de diamètre, arrondis à sub anguleux avec tri moyen, 10cm de puissance; Siltstone: Alternances de lits millimétriques avec quelques géodes de quartz millimétriques. Roche pulvérulente.	Sandstone	gray	Sandstone 2	gray	Siltstone	black						SPP2	20	35	Sandstone: Patine blanchâtre; Sandstone 2: Patine lie de vin à violette; Siltstone: Patine gris clair;		Bedding	20	70	Siltstone						
1908-4073	10-Jul-08	529635	6263926	Outcrop		Argillite	gray									SPP2	50	65	Patine gris clair à blanchâtre		Cleavage (s1)	50	50	Argillite	Linéation minérale	45	20	Argillite			
1908-4074	10-Jul-08	529547	6263668	Outcrop	La roche présente un grain très fin de boue dolomitique (dolomiticite), elle présente une intense fracturation et une forte schistosité	Dolomie	gray									SPP2	45	75	Patine gris clair à blanchâtre sauf dans zones plissés et plus altérés rougâtres avec des veines		Cleavage (s1)	5	80	Dolomie							
1908-4075	10-Jul-08	529291	6263171	Outcrop	gabbro à grain fin minéraux< 1mm pyroxène 80 %, plagioclases 20 %, pas de fabrique tectonique visible	gabbro	gray									SPP gamma	25	35	Saussuritization; Patine grisâtre de la roche												
1908-4076	10-Jul-08	529292	6262902	Outcrop		Argillite										SPP gamma					Cleavage (s0/1)	170	55	Argillite							
1908-4077	10-Jul-08	529273	6262515	Outcrop	gabbro à grain moyen pyroxène 80%, plagioclase 20 %. Multiples fractures d'orientation variées	gabbro	black									SPP gamma	10	20	Patine grisâtre												
1908-4078	10-Jul-08	530263	6261674	Outcrop		Argillite	gray									SPP2	90	125	Patine gris blanchâtre		Bedding	315	35	Argillite							
1908-4079	10-Jul-08	530254	6261659	Outcrop	Basalte ou gabbro roche très tectonisés mais dont on reconnaît encore l'origine mafique	Argillite	gray	Basalte	gray							SPP gamma	90	125		Contact argillite/basalte ou gabbro altéré avec présence d'un niveau argileux durci Hcl-silicifié, plus veinules de quartz	Bedding	315	35	Argillite	faille	60	40	Basalte			
1908-4080	11-Jul-08	530099	6261499	Outcrop	gabbro à grain moyen cristaux 1mm pyroxène 75% Plagioclase 15 % calcite 10 %. Recristallisé et orienté veinules de calcite millimétriques	gabbro	gray									SPP gamma	10	15	Patine gris clair		zone bréchique	60	50	gabbro	Lineation	30	40	gabbro			
1908-4081	11-Jul-08	530096	6261458	Outcrop	Minéraux < 1/10mm présence de mouches de pyrite de même taille	Basalte	gray									SPP gamma	40	50	Patine grisâtre	affleurement assez discontinu, zone broyé en partie masquée sous la végétation	Zone broyée	30	35	Basalte							
1908-4082	11-Jul-08	530235	6260913	Outcrop	la roche laisse une trace grise sur les doigts, présence probable de matière organique	Argillite	black									SPP gamma	30	50	Patine gris clair		Cleavage (s1)	60	60	Argillite							
1908-4083	11-Jul-08	530346	6260907	Outcrop		Siltstone										SPP gamma				plis dans l'argillite photo	Fold	50	60	Siltstone	Axe	50	40	Siltstone	Shear zone	20	



Tableau 7 - Tableau synoptique des traverses géologiques de Minowean 2008

No. Station géologique	Date	Coord. NAD83 Nordant	Coord. NAD83 Estant	Affleurement ou Bloc	Description de(s) la lithologie(s)	Pendage/ Plongée 3	Réf. 3	Type de structure 4	Azimuth 4	Pendage/ Plongée 4	Réf. 4	Type de structure 5	Azimuth 5	Pendage/ Plongée 5	Réf. 5	Type de structure 6	Azimuth 6	Pendage/ Plongée 6	Réf. 6	Type de structure 7	Azimuth 7	Pendage/ Plongée 7	Réf. 7	Échantillon(s)	Photo(s)	
1908-4066	09-Jul-08	530548	6265261	Outcrop	Gabbro à grain fin < 1mm très recristallisé, cassure au marteau difficile																				1908-4066/1	
1908-4067	09-Jul-08	530281	6265431	Outcrop	pyroxène 80 % Plagioclase 10 % Biotite 10 %																				1908-4067/1	
1908-4068	09-Jul-08	529389	6265398	Outcrop	Gabbro à grain fin < 1mm, quelques fente avec un remplissage de quartz 60%, albite 40%																				1908-4068/1	
1908-4069	09-Jul-08	529396	6264915																							
1908-4070	09-Jul-08	529189	6265242	Outcrop	texture recristallisé avec des grains de diamètres 1mm. Pas de structures misent en évidence																					
1908-4071	09-Jul-08	529123	6264603	Boulder																						
1908-4072	10-Jul-08	529199	6264309	Outcrop	Sandstone: Diamètre 1mm, tri moyen et grain sub-arrondis avec des surfaces présentant peu d'aspérités. Matrice carbonnatée très fine. banc de plusieurs metres de puissance; Sandstone2: On note aussi une deuxième arénite quartzitique avec disparition quasi-totale de la matrice. Cette seconde arénite est non-cohésive et pulvérulente. Grain 1mm de diamètre, arrondis à sub anguleux avec tri moyen, 10cm de puissance; Siltstone: Alternances de lits millimétriques avec quelques géodes de quartz millimétriques. Roche pulvérulente.																				114019-10.07.08-4072/1, /2 & /3	
1908-4073	10-Jul-08	529635	6263926	Outcrop																						
1908-4074	10-Jul-08	529547	6263668	Outcrop	La roche présente un grain très fin de boue dolomitique ( dolomicrite), elle présente une intense fracturation et une forte schistosité																					
1908-4075	10-Jul-08	529291	6263171	Outcrop	gabbro à grain fin minéraux< 1mm pyroxène 80 %, plagioclases 20 %, pas de fabrique tectonique visible																					
1908-4076	10-Jul-08	529292	6262902	Outcrop																						
1908-4077	10-Jul-08	529273	6262515	Outcrop	gabbro à grain moyen pyroxène 80%, plagioclase 20 %. Multiples fractures d'orientation variées																					
1908-4078	10-Jul-08	530263	6261674	Outcrop																					1908-4078/1	
1908-4079	10-Jul-08	530254	6261659	Outcrop	Basalte ou gabbro roche très tectonisés mais dont on reconnaît encore l'origine mafique																					
1908-4080	11-Jul-08	530099	6261499	Outcrop	gabbro à grain moyen cristaux 1mm pyroxène 75% Plagioclase 15 % calcite 10 %. Recristallisé et orienté veinules de calcite millimétriques																					
1908-4081	11-Jul-08	530096	6261458	Outcrop	Minéraux < 1/10mm présence de mouches de pyrite de même taille																					
1908-4082	11-Jul-08	530235	6260913	Outcrop	la roche laisse une trace grise sur les doigts, présence probable de matière organique																					
1908-4083	11-Jul-08	530346	6260907	Outcrop		60	Siltstone																			

Tableau 7 - Tableau synoptique des traverses géologiques de Minowean 2008

No. Station géologique	Date	Coord. NAD83 Nordant	Coord. NAD83 Estant	Affleurement ou Bloc	Description de(s) la lithologie(s)	Lithologie A	Couleur A	Lithologie B	Couleur B	Lithologie C	Couleur C	Lithologie D	Couleur D	Lithologie E	Couleur E	Radiomètre utilisé	Rad. Brut de fond (cps)	Rad. Max. (cps)	Altération(s)	Minéralisation(s)	Type de structure 1	Azimuth 1	Pendage/Plongée 1	Réf. 1	Type de structure 2	Azimuth 2	Pendage/Plongée 2	Réf. 2	Type de structure 3	Azimuth 3	
1908-4084	11-Jul-08	530335	6260652	Outcrop	gabbro à grain fin avec recristallisation, minéraux 1mm. V	gabbro	gray									SPP gamma			Saussuritization: La roche est altérée avec une rayure aisée. On note une légère carbonatation aux épontes de veines de quartz et calcite		filon	125	80	gabbro							
1908-4085	11-Jul-08	530163	6260468	Outcrop	gabbro à grain moyen minéraux 1-2 mm avec Pyrite et Chalcopyrite. On note également des lentilles de calcite	gabbro	gray									SPP gamma			Saussuritization		faille	355	20	gabbro	Fault zone breccia	175	65	gabbro			
1908-4086	12-Jul-08	530282	6260496	Outcrop	gabbro très altéré et broyé séparant des éléments décimétriques. Présence de filonet noir d'amphiboles(hornblende supposée) sans orientation préférentielles	gabbro	gray									SPP gamma	10	15	Saussuritization; Patine blanche verdâtre à rosé												
1908-4087	12-Jul-08	526901	6257245	Outcrop	Sandstone: Arénite quartzreuse à matrice dolomitique. Matrice < 5%. 2 pop de grain: (1) 5/10 mm Qtz subarrondi, bon tri surface régulière, (2) 1à 2 /10 mm tri bon à moyen par endroit cette population est abondante dans la roche; Dolomiticrite, banc puissance 1à 10 cm, on note quelques lentilles de calcite au contact avec l'arénite quartzreuse.	Sandstone	gray	Dolomie	gray							SPP gamma	5	10	Sandstone: Patine gris blanchâtre; Dolomie: Patine blanche à rosée;		Bedding	90	80	Dolomie							
1908-4088	12-Jul-08	526918	6267169	Outcrop	Sandstone: Arénite quartzreuse à matrice dolomitique alternance de lits avec la dolomie; dolomie: Fortement veinée par des filonnets de quartz millimétriques.	Sandstone	gray	Dolomie	gray							SPP gamma			Sandstone: Patine grisâtre	affleurement sur les rives du Lac Minowean. Une zone de brèche (3x3m) à élément centi et décimétriques d'arénite quartzreuse à matrice dolomitique et dolomie est identifié mais les formations adjacentes sont peu évident. Il semble qu'il s'	zone bréchique	290	60	Sandstone	Bedding	190	80	Dolomie	Fente de tension	110	
1908-4089	12-Jul-08	526992	6257273	Outcrop	arénite quartzreuse à matrice dolomitique. Grain millimétriques tri moyen, grain subarrondis à subanguleux	Sandstone	gray									SPP gamma				échantillon 4089/1 et 4089/2	fracture	30	80	Sandstone	Fracture 2		0	Sandstone			
1908-4090	12-Jul-08	527007	6257280	Outcrop	arénite quartzreuse à ciment dolomitique. Faciès plus fin que ceux des stations 4087 et 4088. grain 1- 5 / 10 mm 70%, grain 1mm 30%. Grain subangulaires à subarrondis	Sandstone	gray	Argilite	black							SPP gamma			Sandstone: Patine grisâtre	échantillon 4090/1 et 4090/2											
1908-4091	12-Jul-08	527167	6257538	Outcrop	subarkose quartzitique avec < 5% de latte de feldspath plagioclase	Sandstone	gray									SPP gamma				roche subaffleurante dont le caractère en place n'est pas totalement établi	Bedding	90	45	Sandstone							
1908-4092	12-Jul-08	527063	6257673	Outcrop	arénite quartzreuse à matrice dolomitique. Grain 1/10 mm subarrondis à angulaires ( éléments de quartz hyalin et fumés) quelques pyrites millimétriques sont observées	Sandstone	gray									SPP gamma				roches subaffleurantes mais probablement en place	Bedding	210	45	Sandstone							
1908-4093	12-Jul-08	527018	6257895	Outcrop	Sandstone: Arénite quartzreuse, tri moyen avec grain subangulaires à subarrondis de 0,1 à 0,5 mm. La roche est par place recristallisé ce qui rend l'identification pétrographique plus difficile; Sandstone 2: Sub-arkose grain 0,1 à 0,5 mm tri moyen et grain angulaires à sub arrondis	Sandstone	gray	Sandstone 2								SPP gamma				roche subaffleurantes, présence de deux pétrographies sur des bloc angulaires											
1908-4094	13-Jul-08	526853	6257877	Outcrop	arénite quartzreuse à matrice dolomitique, réaction HCl + matrice, grain 0,1 mm anguleux	Sandstone	gray									SPP gamma	10	15	Sandstone: Patine gris clair												
1908-4095	12-Jul-08	526795	6257814		Sandstone: Arénite quartzreuse à matrice dolomitique à interlits centimétriques de dolomie et cristaux de pyrite millimétriques	Sandstone	gray	Dolomie	gray							SPP gamma	10	15			Bedding	240	80	Sandstone							
1908-4096	12-Jul-08	526770	6257777	Outcrop	arénite quartzitique à matrice dolomitique	Sandstone	gray									SPP gamma					zone bréchique			Sandstone							
1908-4097	12-Jul-08	526744	6257749	Outcrop	arénite quartzreuse à matrice dolomitique	Sandstone	gray									SPP gamma	10	15													
1908-4098	13-Jul-08	526338	6257672	Outcrop	Sandstone: Arénite quartzreuse à matrice dolomitique. Matrice < 5%. 2 pop de grain: (1) 5/10 mm Qtz subarrondi, bon tri surface régulière, (2) 1à 2 /10 mm tri bon à moyen par endroit cette population est abondante dans la roche. On observe de nombreuses zones bréchiques; dolomie: Interlits déci à centimétriques dans l'arénite	Sandstone	gray	Dolomie								SPP gamma	15	20		Mx: Pyrite cristaux millimétriques dans l'arénite 114084098 Critère de cisaillement dans l'arénite quartzreuse.JPG	Bedding	195	75	Sandstone	Bedding	290	30	Sandstone			
1908-4099	14-Jul-08	526489	6257651	Outcrop	arénite quartzreuse à matrice dolomitique, idem station 1908-4098	Sandstone	gray									SPP gamma				a proximité de la station MW07-128 13	Bedding	100	60	Sandstone							



Tableau 7 - Tableau synoptique des traverses géologiques de Minowean 2008

No. Station géologique	Date	Coord. NAD83 Nordant	Coord. NAD83 Estant	Affleurement ou Bloc	Description de(s) la lithologie(s)	Pendage/ Plongée 3	Réf. 3	Type de structure 4	Azimuth 4	Pendage/ Plongée 4	Réf. 4	Type de structure 5	Azimuth 5	Pendage/ Plongée 5	Réf. 5	Type de structure 6	Azimuth 6	Pendage/ Plongée 6	Réf. 6	Type de structure 7	Azimuth 7	Pendage/ Plongée 7	Réf. 7	Échantillon(s)	Photo(s)
1908-4084	11-Jul-08	530335	6260652	Outcrop	gabbro à grain fin avec recristallisation, minéraux 1mm. V																				
1908-4085	11-Jul-08	530163	6260468	Outcrop	gabbro à grain moyen minéraux 1-2 mm avec Pyrite et Chalcopyrite. On note également des lentilles de calcite																			1908-4085/1 & /2	
1908-4086	12-Jul-08	530282	6260496	Outcrop	gabbro très altéré et broyé séparant des éléments décimétriques. Présence de filonet noir d'amphiboles(hornblende supposée) sans orientation préférentielles																			1908-4086/1 & /2	
1908-4087	12-Jul-08	526901	6257245	Outcrop	Sandstone: Arénite quartzeuse à matrice dolomitique. Matrice < 5%. 2 pop de grain: (1) 5/10 mm Qtz subarrondi, bon tri surface régulière, (2) 1 à 2 /10 mm tri bon à moyen par endroit cette population est abondante dans la roche; Dolomicite, banc puissance 1 à 10 cm, on note quelques lentilles de calcite au contact avec l'arénite quartzeuse.																			1908-4087/1	
1908-4088	12-Jul-08	526918	6267169	Outcrop	Sandstone: Arénite quartzeuse à matrice dolomitique alternance de lits avec la dolomie; dolomie: Fortement veinée par des filonnets de quartz millimétriques.	75	Dolomie																		
1908-4089	12-Jul-08	526992	6257273	Outcrop	arénite quartzeuse à matrice dolomitique. Grain millimétriques tri moyen, grain subarrondis à subanguleux																				1908-4089/1
1908-4090	12-Jul-08	527007	6257280	Outcrop	arénite quartzeuse à ciment dolomitique. Faciès plus fin que ceux des stations 4087 et 4088, grain 1- 5 / 10 mm 70%, grain 1mm 30%. Grain subangulaires à subarrondis																				1908-4090/1&2
1908-4091	12-Jul-08	527167	6257538	Outcrop	subarkose quartzitique avec < 5% de latte de feldspath plagioclase																				
1908-4092	12-Jul-08	527063	6257673	Outcrop	arénite quartzeuse à matrice dolomitique. Grain 1/10 mm subarrondis à angulaires ( éléments de quartz hyalin et fumés) quelques pyrites millimétriques sont observées																				
1908-4093	12-Jul-08	527018	6257895	Outcrop	Sandstone: Arénite quartzeuse, tri moyen avec grain subangulaires à subarrondis de 0,1 à 0,5 mm. La roche est par place recristallisé ce qui rend l'identification pétrographique plus difficile; Sandstone 2: Sub-arkose grain 0,1 à 0,5 mm tri moyen et grain angulaires à sub arrondis																				
1908-4094	13-Jul-08	526853	6257877	Outcrop	arénite quartzeuse à matrice dolomitique, réaction HCl + matrice, grain 0,1 mm anguleux																				
1908-4095	12-Jul-08	526795	6257814		Sandstone: Arénite quartzeuse à matrice dolomitique à interfrits centimétriques de dolomie et cristaux de pyrite millimétriques																				
1908-4096	12-Jul-08	526770	6257777	Outcrop	arénite quartzitique à matrice dolomitique																				
1908-4097	12-Jul-08	526744	6257749	Outcrop	arénite quartzeuse à matrice dolomitique																				
1908-4098	13-Jul-08	526338	6257672	Outcrop	Sandstone: Arénite quartzeuse à matrice dolomitique. Matrice < 5%. 2 pop de grain: (1) 5/10 mm Qtz subarrondi, bon tri surface régulière, (2) 1 à 2 /10 mm tri bon à moyen par endroit cette population est abondante dans la roche. On observe de nombreuses zones bréchiques; dolomie: Interfrits déci à centimétriques dans l'arénite																			1908-4098/1	114019-13.07.08-4098/1
1908-4099	14-Jul-08	526489	6257651	Outcrop	arénite quartzeuse à matrice dolomitique, idem station 1908-4098																				



Tableau 7 - Tableau synoptique des traverses géologiques de Minowean 2008

No. Station géologique	Date	Coord. NAD83 Nordant	Coord. NAD83 Estant	Affleurement ou Bloc	Description de(s) la lithologie(s)	Lithologie A	Couleur A	Lithologie B	Couleur B	Lithologie C	Couleur C	Lithologie D	Couleur D	Lithologie E	Couleur E	Radiomètre utilisé	Rad. Brut de fond (cps)	Rad. Max. (cps)	Altération(s)	Minéralisation(s)	Type de structure 1	Azimuth 1	Pendage/ Plongée 1	Réf. 1	Type de structure 2	Azimuth 2	Pendage/ Plongée 2	Réf. 2	Type de structure 3	Azimuth 3
1908-4100	14-Jul-08	526592	6257599	Outcrop	arénite quartzreuse à matrice dolomitique. Grain 0,1 mm angulaires à sub-arrondis, matrice par endroit plus abondante dans la roche. 2 teinte de grain de quartz: (1) gris clair à beige, (2) gris sombre à noir; présence de pyrite dans les parties plus clair	Sandstone	gray									SPP gamma	10		Limite entre les zones claires et sombres marquée par contour courbes	la pyrite paraît oxydée dans les parties les plus sombres	fracture	280	80	Sandstone						
1908-4101	14-Jul-08	526597	6257769	Outcrop	arénite quartzreuse à matrice dolomitique. Grain 0,1 mm angulaires à sub-arrondis, matrice par endroit plus abondante dans la roche. 2 teinte de grain de quartz: (1) gris clair à beige, (2) gris sombre à noir; présence de pyrite dans les parties plus clair	Sandstone	gray									SPP gamma	10	15	Patine grisâtre	trace de feldspath	Bedding	350	25	Sandstone						
1908-4102	14-Jul-08	526531	6257858	Outcrop	subarkose, feldspath < 5%, pyrite fréquente, grain 1-2 mm. On observe des îlots d'arénite blanchâtre dans la roche, ainsi que des zones verdies probablement chloritisée	Sandstone	gray									SPP gamma			Chloritisation											
1908-4103	14-Jul-08	526601	6257957	Outcrop	Sub-arkose grain 1-2mm subangulaires à subarrondis, avec cristaux de pyrite millimétriques	Sandstone										SPP gamma					faille	0	40	Sandstone						
1908-4104	14-Jul-08	526495	6257985	Outcrop	Arénite quartzreuse à matrice dolomitique	Sandstone	gray									SPP gamma														
1908-4105	15-Jul-08	525389	6258017	Outcrop	arénite quartzreuse à matrice dolomitique (Matrice 5-10%) faible réaction HCl de la matrice. 2 pop de grain: (1) 5/10 mm Qtz subarrondi, bon tri surface régulière, (2) 1 à 2 /10 mm tri bon à moyen par endroit. Qtz noir et niv. Bréchiques à el AQMD	Sandstone	gray									SPP gamma				Arénite Quartzreuse à Matrice Dolomitique (AQMD). Photo:11401908.15.07-4105-1StratificationObliquePolaritéNormale.JPG 11401908.15.07-4105-2Brèche Arénite à ciment dolomitique.JPG 11401908.15.07-4105-3 Brèche Arénite à ciment dolomitique diffusion Dol.JPG	Bedding	40	50	Sandstone						
1908-4106	15-Jul-08	525212	6258054	Outcrop	Arénite quartzreuse à matrice dolomitique, matrice 15% avec niveau dolomitiques. On remarque la diffusion progressive de la dolomitisation dans l'arénite	Sandstone	gray	Dolomie	brown							SPP gamma				11401908.15.07-4106-1Strat obliques Arénite à ciment dolomitique diffusion doll.JPG 11401908.15.07-4106-2Niveau dolomitisé dans Arénite à matrice Dolomitique.JPG										
1908-4107	15-Jul-08	525185	6258081		grès à cailloux avec matrice abondante, cristaux de pyrite millimétriques. Elements ovoïdes de dolomie ou d'argilite	Sandstone	gray									SPP gamma					fion	90	90	Sandstone	faille	240	80	Sandstone	Stries de faille	60
1908-4108	15-Jul-08	525215	6258150		Sandstone: Arénite quartzreuse à matrice dolomitique avec présence de zones plus foncées dans la roche. Elle est par endroit schistosée (limites de blocs); dolomie: Niveau bréchifié; Chert beige et noir;	Sandstone	gray	Dolomie	brown	Chert	black					SPP gamma	3700		Hematite alteration; Sandstone: Présence d'une zone hématite associée à la minéralisation	zone minéralisée avec produits jaunes. Photo: 11401908.15.07-4108-1DsAréniteNiveau Dolomie schisteuse à proximitéZoneMinéralisée.JPG	faille	350	60	Dolomie	Stries de faille	180	19	Dolomie		
1908-4109	22-Jul-08	526547	6262648	Outcrop	gabbro à grain fin, grain < au millimètres. Zones plus fines et plus blanches saussuritisées	gabbro	gray									SPP gamma	10	15	Gabbro: Saussurization + serpentinitisation sur les plans striés	photo 11401908-22.07-4109-1Gabbro avec 2 plans striés à 2gen de stries.JPG	faille	230	80	gabbro	faille2	330	40	gabbro	Lineation	150
1908-4110	22-Jul-08	526476	6262784	Outcrop	gabbro à grain fin grain < 1mm	gabbro	gray									SPP gamma			Saussurization; Mx phylliteux sur les plans striés, pas de serpentinitisation		faille	50	90	gabbro	faille2	280	60	gabbro	fracture	50
1908-4111	22-Jul-08	526297	6262896	Outcrop	gabbro à grain fin < mm	gabbro	gray									SPP gamma			Saussurization + probable silicification roche difficile à rayer et plagioclases difficiles à Identifier		filonnet	60	90	gabbro						
1908-4112	22-Jul-08	526151	6263051	Outcrop	gabbro à grain fin à proxirmté de la zone faillé et bréchifié, roche plus grossière avec mélange qtz/ pyroxènes	gabbro	gray									SPP gamma			Patine grisâtre	11401908-22.07-41012Zone bréchique dans le plan de faille.JPG	Fault zone breccia	110	60	gabbro	faille	110	60	gabbro	Fente de tension	110

Tableau 7 - Tableau synoptique des traverses géologiques de Minowean 2008

No. Station géologique	Date	Coord. NAD83 Nordant	Coord. NAD83 Estant	Affleurement ou Bloc	Description de(s) la lithologie(s)	Pendage/ Plongée 3	Réf. 3	Type de structure 4	Azimuth 4	Pendage/ Plongée 4	Réf. 4	Type de structure 5	Azimuth 5	Pendage/ Plongée 5	Réf. 5	Type de structure 6	Azimuth 6	Pendage/ Plongée 6	Réf. 6	Type de structure 7	Azimuth 7	Pendage/ Plongée 7	Réf. 7	Échantillon(s)	Photo(s)	
1908-4100	14-Jul-08	526592	6257599	Outcrop	arénite quartzreuse à matrice dolomitique. Grain 0,1 mm angulaires à sub-arrondis, matrice par endroit plus abondante dans la roche. 2 teinte de grain de quartz: (1) gris clair à beige, (2) gris sombre à noir; présence de pyrite dans les parties plus clair																			1908-4100/1		
1908-4101	14-Jul-08	526597	6257769	Outcrop	arénite quartzreuse à matrice dolomitique. Grain 0,1 mm angulaires à sub-arrondis, matrice par endroit plus abondante dans la roche. 2 teinte de grain de quartz: (1) gris clair à beige, (2) gris sombre à noir; présence de pyrite dans les parties plus clair																			1908-4101/1		
1908-4102	14-Jul-08	526531	6257858	Outcrop	subarkose, feldspath < 5%, pyrite fréquente, grain 1-2 mm On observe des îlots d'arénite blanchâtre dans la roche, ainsi que des zones verdies probablement chloritisée																					
1908-4103	14-Jul-08	526601	6257957	Outcrop	Sub-arkose grain 1-2mm subangulaires à subarrondis, avec cristaux de pyrite millimétriques																					
1908-4104	14-Jul-08	526495	6257985	Outcrop	Arénite quartzreuse à matrice dolomitique																				1908-4104/1	
1908-4105	15-Jul-08	525389	6258017	Outcrop	arénite quartzreuse à matrice dolomitique (Matrice 5-10%) faible réaction HCl de la matrice. 2 pop de grain: (1) 5/10 mm Qtz subarrondi, bon tri surface régulière, (2) 1 à 2 /10 mm tri bon à moyen par endroit. Qtz noir et niv. Bréchiques à et AQMD																				114019-15.07.08-4105/1, /2 & /3	
1908-4106	15-Jul-08	525212	6258054	Outcrop	Arénite quartzreuse à matrice dolomitique, matrice 15% avec niveau dolomitiques. On remarque la diffusion progressive de la dolomitisation dans l'arénite																				1908-4106/1	114019-15.07.08-4106/1 & /2
1908-4107	15-Jul-08	525185	6258081		grès à cailloux avec matrice abondante, cristaux de pyrite millimétriques. Elements ovoïdes de dolomie ou d'argilite	22	Sandstone																		1908-4107/1	
1908-4108	15-Jul-08	525215	6258150		Sandstone: Arénite quartzreuse à matrice dolomitique avec présence de zones plus foncées dans la roche. Elle est par endroit schistosée (limites de blocs); dolomie: Niveau bréchifié; Chert beige et noir;																				1908-4108/1, /2 & /3	114019-15.07.08-4108/1
1908-4109	22-Jul-08	526547	6262648	Outcrop	gabbro à grain fin, grain < au millimètres. Zones plus fines et plus blanches saussuritisées	10	gabbro																		1908-4109/1	114019-22.07.08-4109/1 & /2
1908-4110	22-Jul-08	526476	6262784	Outcrop	gabbro à grain fin grain < 1mm	90	gabbro																		1908-4110/1	
1908-4111	22-Jul-08	526297	6262896	Outcrop	gabbro à grain fin < mm																				1908-4111/1	
1908-4112	22-Jul-08	526151	6263051	Outcrop	gabbro à grain fin à proximité de la zone faillé et bréchifié, roche plus grossière avec mélange qtz/ pyroxènes	80	gabbro																		1908-4112/1 & /2	



Tableau 7 - Tableau synoptique des traverses géologiques de Minowean 2008

No. Station géologique	Date	Coord. NAD83 Nordant	Coord. NAD83 Estant	Affleurement ou Bloc	Description de(s) la lithologie(s)	Lithologie A	Couleur A	Lithologie B	Couleur B	Lithologie C	Couleur C	Lithologie D	Couleur D	Lithologie E	Couleur E	Radiomètre utilisé	Rad. Brut de fond (cps)	Rad. Max. (cps)	Altération(s)	Minéralisation(s)	Type de structure 1	Azimuth 1	Pendage/ Plongée 1	Réf. 1	Type de structure 2	Azimuth 2	Pendage/ Plongée 2	Réf. 2	Type de structure 3	Azimuth 3
1908-4113	22-Jul-08	526244	6263399	Boulder	gabbr à grain fin	gabbro	gray									SPP gamma	5	10		champ de bloc sub angulaires m à décimétriques, 90% gabbro et 10% roches séd vaires et formation de fer. Relief probablement armé par butte de gabbro										
1908-4114	22-Jul-08	526266	6263820	Outcrop		Siltstone	black									SPP gamma			Patine grise	roches subaffleurentes	Cleavage (s0/1)	240	80	Siltstone						
1908-4115	23-Jul-08	526354	6264010	Outcrop	gabbr à grain fin grain < 0,5mm Feldspath difficilement identifiable, rayure assez aisée	gabbro	gray									SPP gamma			Saussuritization	roche subaffleurantes										
1908-4116	22-Jul-08	526446	6264116	Outcrop	niveau très riches en matière carbonnée, tache noir sur les doigts	Argillite	black									SPP gamma			Patine rouille à brune clair		Cleavage (s1)	295	80	Argillite						
1908-4117	22-Jul-08	526498	6264285			Argillite	black									SPP gamma			Noir à beige brun	AFLLT dans les tailles le long de la rivière Swampy Bay	Cleavage (s1)	0	90	Argillite						
1908-4118	22-Jul-08	526659	6264345	Outcrop		Siltstone	gray									SPP gamma					Bedding	290	50	Siltstone	Cleavage (s1)	30	85	Siltstone		
1908-4119	23-Jul-08	525229	6264165	Outcrop	arénite quartzeuse à matrice dolomitique 10-15% deux pop de grain 1) mm subarondis et 2) 0,1 à 0,5mm anguleux	Sandstone	gray									SPP gamma			Patine gris plus sombre	caractère en place peu évident, bloc probable										
1908-4120	23-Jul-08	525471	6264150	Outcrop	Sandstone: Arénite à matrice dolomitique et niveau de grès à cailloux; Sandstone 2: Subarkose det presence FK	Sandstone	gray	Sandstone 2	brown							SPP gamma					Bedding	220	80	Sandstone	Cleavage (s1)	220	80	Sandstone		
1908-4121	23-Jul-08	525837	6264179	Boulder	grès dolomitique	Sandstone	gray									SPP gamma			Patine gris brunatre	champ de bloc										
1908-4122	23-Jul-08	526123	6264294	Outcrop		gabbro										SPP gamma	10	15		Roches subaffleurantes	Zone broyée	350	10	gabbro						
1908-4123	23-Jul-08	526353	6264392	Outcrop		Siltstone	gray									SPP gamma				zone d'affleurement discontinue masquer par la végétation photo plis 11401908-23.07-4123-1SxPlanAxial et So plissée.JPG 11401908-23.07-4123-2Zone plissé et cisailée.JPG	Bedding	250	65	Siltstone	Cleavage (s1), Fold et Shear zone	340	80	Siltstone	Bedding 2	135
1908-4124	24-Jul-08	526335	6264766		legerement plus fine que sur l'affleurement 4123	Siltstone	gray									SPP gamma			Patine gris clair		Zone broyée	0	60	Siltstone						
1908-4125	23-Jul-08	526367	6265328		il est possible de distinguer qq elements à la loupe, silte moyen	Siltstone	gray									SPP gamma	45	75		Photo des plis 11401908-23.07-4125-1Plis Siltite.JPG 11401908-23.07-4125-2Plisfente qtzisoclinaux.JPG	Fold	70	90	Siltstone	Cleavage (s1)	330	80	Siltstone	Fold 2	195
1908-4126	24-Jul-08	526807	6267745	Outcrop	arénite quartzeuse, bien recristallisé,	Argillite	gray	Sandstone	gray							SPP gamma				champ de bloc reconnaissance anomalie géophysique aéroportée Bloc assez anguleux, 2x3 jusqu'à 0,5x0,5x0,5m de coté										
1908-4127	24-Jul-08	527088	6268302	Boulder	Siltstone: Aternance de lamine gris clair et blanchâtres avec également des niveaux plus gréseux; Sandstone: Arénite quartzeuse recristallisé, avec grains de quartz noir bloc avec évidence de fracturation hysroliques, brèche à matrice de quartz;	Siltstone	gray	Sandstone	black							SPP gamma			Sandstone: Patine gris clair											
1908-4128	24-Jul-08	526751	6268328	Boulder		Siltstone	gray	Sandstone	black							SPP gamma				reconnaissance d'anomalie géophysique aéroportée champ de bloc subangulaires( 0,5x0,5x0,5m)										
1908-4129	24-Jul-08	526617	6268511			Siltstone	gray									SPP gamma			Patine gris moyen		Cleavage (s1)	340	80	Siltstone						



Tableau 7 - Tableau synoptique des traverses géologiques de Minowean 2008

No. Station géologique	Date	Coord. NAD83 Nordant	Coord. NAD83 Estant	Affleurement ou Bloc	Description de(s) la lithologie(s)	Pendage/ Plongée 3	Réf. 3	Type de structure 4	Azimuth 4	Pendage/ Plongée 4	Réf. 4	Type de structure 5	Azimuth 5	Pendage/ Plongée 5	Réf. 5	Type de structure 6	Azimuth 6	Pendage/ Plongée 6	Réf. 6	Type de structure 7	Azimuth 7	Pendage/ Plongée 7	Réf. 7	Échantillon(s)	Photo(s)	
1908-4113	22-Jul-08	526244	6263399	Boulder	gabbr à grain fin																					
1908-4114	22-Jul-08	526266	6263820	Outcrop																					1908-4114/1	
1908-4115	23-Jul-08	526354	6264010	Outcrop	gabro à grain fin grain < 0,5mm Feldspath difficilement identifiable, rayure assez aisée																					
1908-4116	22-Jul-08	526446	6264116	Outcrop	niveau très riches en matière carbonnée, tâche noir sur les doigts																					
1908-4117	22-Jul-08	526498	6264285																							
1908-4118	22-Jul-08	526659	6264345	Outcrop																						
1908-4119	23-Jul-08	525229	6264165	Outcrop	arénite quartzeuse à matrice dolomitique 10-15% deux pop de grain 1) mm subarrondis et 2) 0,1 à 0,5mm anguleux																					
1908-4120	23-Jul-08	525471	6264150	Outcrop	Sandstone: Arénite à matrice dolomitique et niveau de grès à cailloux; Sandstone 2: Subarkose det presence FK																				1908-4120/1 & /2	
1908-4121	23-Jul-08	525837	6264179	Boulder	grès dolomitique																					
1908-4122	23-Jul-08	526123	6264294	Outcrop																					1908-4122/1	
1908-4123	23-Jul-08	526353	6264392	Outcrop		85		Siltstone																	114019-23.07.08-4123/1 & /2	
1908-4124	24-Jul-08	526335	6264766		legerement plus fine que sur l'affleurement 4123																					
1908-4125	23-Jul-08	526367	6265328		il est possible de distinguer qq elements à la loupe, sille moyen	80		Siltstone																	114019-23.07.08-4125/1 & /2	
1908-4126	24-Jul-08	526807	6267745	Outcrop	arénite quartzeuse, bien recristallisé,																					
1908-4127	24-Jul-08	527098	6268302	Boulder	Siltstone: Alternance de lamine gris clair et blanchâtres avec également des niveaux plus gréseux; Sandstone: Arénite quartzeuse recristallisé, avec grains de quatz noir bloc avec évidence de fractation hysroliques, brèche à matrice de quartz;																					
1908-4128	24-Jul-08	526751	6268328	Boulder																						
1908-4129	24-Jul-08	526617	6268511																							

Tableau 7 - Tableau synoptique des traverses géologiques de Minowean 2008

No. Station géologique	Date	Coord. NAD83 Nordant	Coord. NAD83 Estant	Affleurement ou Bloc	Description de(s) la lithologie(s)	Lithologie A	Couleur A	Lithologie B	Couleur B	Lithologie C	Couleur C	Lithologie D	Couleur D	Lithologie E	Couleur E	Radiomètre utilisé	Rad. Bruit de fond (cps)	Rad. Max. (cps)	Altération(s)	Minéralisation(s)	Type de structure 1	Azimuth 1	Pendage/Plongée 1	Réf. 1	Type de structure 2	Azimuth 2	Pendage/Plongée 2	Réf. 2	Type de structure 3	Azimuth 3
1908-4130	24-Jul-08	526405	6268618	Outcrop	Sandstone: Arénite quartzreuse, faible réaction HCl au niveau de la matrice. Cette dernière est pas endroit particulièrement au éponte du dyke de microgabbro très recristallisé; Gabbro: Dyke de microgabbro, 30 cm de puissance, cristaux fins mais identifiables assemblage à plagioclase 20 et pyroxène 80, quelquesmouches de pyrite. Fente recoupé par dyke et aussi refracté aux epointes.	Sandstone	gray	gabbro	black	Argillite	gray					SPP gamma			Sandstone: Silicification, recristallisation des grains en eux; Gabbro: Patine brunatre	photos 11401908-24.07-4130-1Sigmoide dans arénite qtz_loupe terrain.JPG 11401908-24.07-4130-2ContactgabbroArénite.JPG 11401908-24.07-4130-3FentesQtzEchelon et zone cis à qtz.JPG	Shear zone	170	80	Sandstone	Fente de tension	170	90	Sandstone		
1908-4131	24-Jul-08	526245	6268698	Outcrop		Argillite	gray									SPP gamma					Cleavage (s1)	0	45	Argillite	Lineation	120	45	Argillite		
1908-4132	24-Jul-08	526165	6268920	Outcrop	lamination grises 0,5cm et noir < 1mm	Argillite	gray									SPP gamma			Patine gris moyen		Cleavage (s0/1)	10	80	Argillite						
1908-4133	24-Jul-08	526346	6269061	Boulder	Sandstone: Arénite quartzreuse avec veines de quartz; Sandstone 2: Arénite de quartz à grain noir brillant;	Sandstone	gray	Sandstone 2	black	Argillite	gray					SPP gamma			Sandstone: Patine miel; Argillite: Patine gris clair	reconnaissance d'anomalie géophysique aéroporté. Champ de bloc peu dense et de petite taille, à proximité d'une butte relativement importante. Pb donnée geophy?										
1908-4134	25-Jul-08	526246	6269058	Outcrop		Dolomie	gray	Argillite	gray							SPP gamma			Dolomie: Patine rosée;	photo	Cleavage (s1)	190	85	Argillite	Cleavage (s2)	20	60	Argillite	Fente de tension	330
1908-4135	25-Jul-08	526554	6269064	Outcrop		Siltstone	gray									SPP gamma			Patine gris blanche à brunâtre		Cleavage (s0/1), Bedding, Fold	350	80	Siltstone	Lineation	0	45	Siltstone	Fold 2	150
1908-4136	25-Jul-08	526514	6269281			Siltstone	gray									SPP gamma			Altération météorique importante	reconnaissance d'anomalie de géophysique aéroportée	Cleavage (s1)	150	90	Siltstone	Fold	150	90	Siltstone		
1908-4137	26-Jul-08			Outcrop	Sandstone: Arénite quartzreuse	Siltstone	gray	Sandstone								SPP gamma	110		Siltstone: Patine gris blanche à brunâtre	reconnaissance d'anomalie gophysique aéroportée										
1908-4138	25-Jul-08	526723	6269422	Outcrop		Argillite	black	Siltstone	gray	Sandstone	brown					SPP gamma			Nombresuses lentilles de quartz parfois sigmoïde		Cleavage (s1)	0	90	Argillite	Fold	260	80	Argillite	Axe micro-plis	90
1908-4139	25-Jul-08	526993	6269540	Outcrop	Sandstone: Arénite quartzreuse à matrice dolomitique, présence de quartz noir. La roche présente un début de recristallisation; Quartzite: Roche massive, parcourue de veines de quartz et zones schistosees avec chloritisation;	Sandstone	gray	Quartzite	gray							SPP gamma			Quartzite: Chloritization le long de plans cisailés	Photos LAMES ET ANALYSES PRIORITAIRE!!										
1908-4140	25-Jul-08	527269	6269637	Outcrop	Quartzite: Arénite quartzreuse recristallisé; Siltstone: Siltite et grès interlithés;	Quartzite		Siltstone	gray							SPP gamma				bande quartzite orientée N170, strati non identifiée et geometrie de la structure difficile a mettre en évidence										
1908-4141	25-Jul-08	527371	6269855	Boulder	Sandstone: Grès fin à grain de quartz noir brillant; Siltstone: Siltite interlithée avec des niveaux gréseux legerement plus rouges;	Sandstone	black	Siltstone	gray							SPP gamma		120		reconnaissance d'anomalie géophysique aéroportée, champ de bloc										
1908-4142	25-Jul-08	527793	6270257	Boulder		Argillite		Siltstone								SPP gamma				reconnaissance d'anomalie géophysique aéroporté champ de bloc 100cps au niveau de la mousse par endroits										
1908-4143	25-Jul-08	528003	6270282	Boulder	grès a grain très fin et recristallisé	Sandstone	gray									SPP gamma		150		reconnaissance d'anomalie géophysique aéroporté, champ de bloc plurimétrique										
1908-4144	26-Jul-08	525144	6271996	Boulder	Intrusive rock: Granitoïde à assemblage de qtz, feldspath potassique biotite et éventuelle amphibole; Sandstone: Arénite quartzreuse, recristallisé avec matrice siliceuse, subsiste néanmoins quelques zones de matrices donnant une réaction positive mais faible à l'HCl;	Intrusive rock	gray	Sandstone	brown							SPP gamma				reconnaissance anomalie géophysique aéroportée Champ de bloc décimétriques										



Tableau 7 - Tableau synoptique des traverses géologiques de Minowean 2008

No. Station géologique	Date	Coord. NAD83 Nordant	Coord. NAD83 Estant	Affleurement ou Bloc	Description de(s) la lithologie(s)	Pendage/ Plongée 3	Réf. 3	Type de structure 4	Azimuth 4	Pendage/ Plongée 4	Réf. 4	Type de structure 5	Azimuth 5	Pendage/ Plongée 5	Réf. 5	Type de structure 6	Azimuth 6	Pendage/ Plongée 6	Réf. 6	Type de structure 7	Azimuth 7	Pendage/ Plongée 7	Réf. 7	Échantillon(s)	Photo(s)
1908-4130	24-Jul-08	526405	6268618	Outcrop	Sandstone: Arénite quartzeuse, faible réaction HCl au niveau de la matrice. Cette dernière est pas endroit particulièrement au éponte du dyke de microgabbro très recristallisé; Gabbro: Dyke de microgabbro, 30 cm de puissance, cristaux fins mais identifiables assemblage à plagioclase 20 et pyroxène 80, quelquesmouches de pyrite. Fente recoupé par dyke et aussi refracté aux epontes.																			1908-4130/1 & /2	114019-24.07.08-4130/1, /2 & /3
1908-4131	24-Jul-08	526245	6268698	Outcrop																					
1908-4132	24-Jul-08	526165	6268920	Outcrop	lamination grises 0,5cm et noir < 1mm																				
1908-4133	24-Jul-08	526346	6269061	Boulder	Sandstone: Arénite quartzeuse avec veines de quartz; Sandstone 2: Arénite de quartz à grain noir brillant;																				
1908-4134	25-Jul-08	526246	6269058	Outcrop		70	Dolomie																		114019-25.07.08-4134/1 à /4
1908-4135	25-Jul-08	526554	6269064	Outcrop		90	Siltstone																		
1908-4136	25-Jul-08	526514	6269281																						
1908-4137	26-Jul-08			Outcrop	Sandstone: Arénite quartzeuse																				
1908-4138	25-Jul-08	526723	6269422	Outcrop		70	Argilite																		114019-25.07.08-4138/1
1908-4139	25-Jul-08	526993	6269540	Outcrop	Sandstone: Arénite quartzeuse à matrice dolomitique, présence de quartz noir. La roche présente un début de recristallisation; Quartzite: Roche massive, parcourue de veines de quartz et zones schistosée avec chlortisation;																			1908-4139/1, 2 & /3	114019-25.07.08-4139/1 & /2
1908-4140	25-Jul-08	527269	6269637	Outcrop	Quartzite: Arénite quartzeuse recristallisé; Siltstone: Siltite et grès interlités;																				
1908-4141	25-Jul-08	527371	6269855	Boulder	Sandstone: Grès fin à grain de quartz noir brillant; Siltstone: Siltite interlitée avec des niveaux gréseux legerement plus rouges;																				
1908-4142	25-Jul-08	527793	6270257	Boulder																					
1908-4143	25-Jul-08	528003	6270282	Boulder	grès a grain trs fin et recristallisé																				1908-4143/1
1908-4144	26-Jul-08	525144	6271996	Boulder	Intrusive rock: Granitoïde à assemblage de qtz, feldspath potassique biotite et éventuelle amphibole; Sandstone: Arénite quartzeuse, recristallisé avec matrice siliceuse, subsiste néanmoins quelques zones de matrices donnant une réaction positive mais faible à l'HCl;																				1908-4144/1



Tableau 7 - Tableau synoptique des traverses géologiques de Minowean 2008

No. Station géologique	Date	Coord. NAD83 Nordant	Coord. NAD83 Estant	Affleurement ou Bloc	Description de(s) la lithologie(s)	Lithologie A	Couleur A	Lithologie B	Couleur B	Lithologie C	Couleur C	Lithologie D	Couleur D	Lithologie E	Couleur E	Radiomètre utilisé	Rad. Brut de fond (cps)	Rad. Max. (cps)	Altération(s)	Minéralisation(s)	Type de structure 1	Azimuth 1	Pendage/ Plongée 1	Réf. 1	Type de structure 2	Azimuth 2	Pendage/ Plongée 2	Réf. 2	Type de structure 3	Azimuth 3	
1908-4145	26-Jul-08	525175	6272531	Boulder	Dolomie: Arénite quartzreuse dolomitisé car on observe des zones "reliques" avec une texture d'arénite quartzreuse à matrice dolomitique. On observe également des zones pseudo géodiques avec des cristaux de quartz hyalins plus tardifs. Par place dol. Massive; Sandstone: Arkose, tri moyen grain sub-anguleux à anguleux grain< 1mm, matrice siliceuse; Intrusive rock: Roche de type granitoïde présentant un faciès pegmatitique(cristaux cm). Assemblage à Qtz 40, Feldspath potassique 55 et ferromagnésien : Bt et p é amphibole;	Dolomie	pink	Sandstone				Intrusive rock					SPP gamma			Dolomie: Silicification	reconnaissance anomalie géophysique aéroportée bloc décimétriques et quelques blocs métriques										
1908-4146	26-Jul-08	525622	6273442	Boulder	granitoïde porphyrique à mégacristaux de feldspath (cm) Assemblage à Qtz, FK, Bt, Ms et pyrite automorphe	Intrusive rock										SPP gamma				reconnaissance anomalie géophysique aéroportée Champ de bloc monogénique pluri-métriques subanguleux											
1908-4147	26-Jul-08	525843	6273406	Boulder	Sandstone: Arénite quartzreuse à matrice dolomitique avec pyrite subautomorphe. Grain <mm subangulaires; Intrusive rock: Orthogneiss à Qtz,FK, quelques ferromagnésiens;	Sandstone		Intrusive rock	gray							SPP gamma				reconnaissance anomalie géophysique aéroportée Champ de bloc métrique subarrondis											
1908-4148	26-Jul-08	525598	6273922		granitoïde à FK rose 70, Qtz 20 % et ferromagnésiens, faciès variable jusqu'à à la pegmatite ou grnité porphyrique	Intrusive rock										SPP gamma	150			reconnaissance anomalie géophysique aéroportée Champ de bloc subarrondis monogéniques. Radiométrie homogène que l'on soit sur les bloc ou la mousse Max obtenu par excavation dans till, effet géométrique											
1908-4149	26-Jul-08	526135	6274174	Outcrop	granitoïde à FK rose 70, Qtz 20 % et ferromagnésiens, faciès variable jusqu'à à la pegmatite ou grnité porphyrique	Intrusive rock	gray									SPP gamma				roche sub en place à proximité d'une zone de géophysique aéroporté											
1908-4150	26-Jul-08	526157	6274269	Boulder	granitoïde à FK rose 70, Qtz 20 % et ferromagnésiens, faciès variable jusqu'à à la pegmatite ou grnité porphyrique	Intrusive rock	gray									SPP gamma				reconnaissance d'anomalie de géophysique aéroporté. Champ de blocs, avec continuité sous la végétation Pas de zone particulière avec radiométrie plus importante											
1908-4151	26-Jul-08	525175	6274592	Boulder	granitoïde à FK rose 60 Qtz 20 % et ferromagnésiens Bt certaine et amphibole mais a vérifier, faciès variable jusqu'à à la pegmatite ou grnité porphyrique	Intrusive rock										SPP gamma	120			Reconnaissance d'anomalie géophysique aéroportée Blocs monolithologiques subangulaires métriques											
1908-4152	27-Jul-08	524661	6275031	Boulder	Intrusive rock: Granitoïde riche en feldspath potassique 60 % de la roche; Sandstone: Arénite quartzreuse à matrice siliceuse, peut être formation de Chakonipau;	Intrusive rock	pink	Sandstone								SPP gamma				champ de bloc arrondis assez claisémés											
1908-4153	27-Jul-08	524848	6274984	Boulder	Sandstone: Grès arkosique très proximal, avec cristaux centimétriques de FK, grain de quartz anguleux à arrondis; Intrusive rock: Granitoïde;	Sandstone		Intrusive rock	pink							SPP gamma				champ de bloc plurimétriques. Archeen sous forme de roche subaffleurant photo d'affleurement											
1908-4154	27-Jul-08	525194	6275173	Boulder	Intrusive rock: Bloc de granitoïde, radiomètre importante dans un bloc stockwerk de veinules de quartz, zone également très riche en FK mais de plus petite taille; Sandstone: Arénite quartzreuse;	Intrusive rock	pink	Sandstone	white	Siltstone	gray	Conglomerat e (matrix-support)				SPP gamma		175		reconnaissance d'anomalie géophysique aéroportée Champ de bloc avec couvert de mousse important											

Tableau 7 - Tableau synoptique des traverses géologiques de Minowean 2008

No. Station géologique	Date	Coord. NAD83 Nordant	Coord. NAD83 Estant	Affleurement ou Bloc	Description de(s) la lithologie(s)	Pendage/ Plongée 3	Réf. 3	Type de structure 4	Azimuth 4	Pendage/ Plongée 4	Réf. 4	Type de structure 5	Azimuth 5	Pendage/ Plongée 5	Réf. 5	Type de structure 6	Azimuth 6	Pendage/ Plongée 6	Réf. 6	Type de structure 7	Azimuth 7	Pendage/ Plongée 7	Réf. 7	Échantillon(s)	Photo(s)
1908-4145	26-Jul-08	525175	6272531	Boulder	Dolomie: Arénite quartzreuse dolomitisée car on observe des zones "reliques" avec une texture d'arénite quartzreuse à matrice dolomitique. On observe également des zones pseudo géodiques avec des cristaux de quartz hyalins plus tardifs. Par place dol. Massive; Sandstone: Arkose, tri moyen grain sub-anguleux à anguleux grain< 1mm, matrice siliceuse; Intrusive rock: Roche de type granitoïde présentant un faciès pegmatitique(cristaux cm). Assemblage à Qtz 40, Feldspath potassique 55 et ferromagnésien : Bt et p é amphibole;																				
1908-4146	26-Jul-08	525622	6273442	Boulder	granitoïde porphyrique à mégacristaux de feldspath (cm) Assemblage à Qtz, FK, Bt, Ms et pyrite automorphe																			1908-4146/1	
1908-4147	26-Jul-08	525843	6273406	Boulder	Sandstone: Arénite quartzreuse à matrice dolomitique avec pyrite subautomorphe. Grain <mm subangulaires; Intrusive rock: Orthogneiss à Qtz,FK, quelques ferromagnésiens;																				
1908-4148	26-Jul-08	525598	6273922		granitoïde à FK rose 70, Qtz 20 % et ferromagnésiens, faciès variable jusqu'à à la pegmatite ou grnite porphyrique																			1908-4148/1 & /2	
1908-4149	26-Jul-08	526135	6274174	Outcrop	granitoïde à FK rose 70, Qtz 20 % et ferromagnésiens, faciès variable jusqu'à à la pegmatite ou grnite porphyrique																				
1908-4150	26-Jul-08	526157	6274269	Boulder	granitoïde à FK rose 70, Qtz 20 % et ferromagnésiens, faciès variable jusqu'à à la pegmatite ou grnite porphyrique																				
1908-4151	26-Jul-08	525175	6274592	Boulder	granitoïde à FK rose 60 Qtz 20 % et ferromagnésiens Bt certaine et amphibole mais a vérifier, faciès variable jusqu'à à la pegmatite ou grnite porphyrique																				
1908-4152	27-Jul-08	524661	6275031	Boulder	Intrusive rock: Granitoïde riche en feldspath potassique 60 % de la roche; Sandstone: Arénite quartzreuse à matrice siliceuse, peut être formation de Chakonipau;																			1908-4152/1	
1908-4153	27-Jul-08	524848	6274984	Boulder	Sandstone: Grès arkosique très proximal, avec cristaux centimétriques de FK, grain de quartz anugleux à arrondis; Intrusive rock: Granitoïde;																			1908-4153/1	114019-27.07.08-4153/1 & /2
1908-4154	27-Jul-08	525194	6275173	Boulder	Intrusive rock: Bloc de granitoïde, radiomètre importante dans un bloc stockwerk de veinules de quartz, zone également très riche en FK mais de plus petite taille; Sandstone: Arénite quartzreuse;																			1908-4154/1	



Tableau 7 - Tableau synoptique des traverses géologiques de Minowean 2008

No. Station géologique	Date	Coord. NAD83 Nordant	Coord. NAD83 Estant	Affleurement ou Bloc	Description de(s) la lithologie(s)	Lithologie A	Couleur A	Lithologie B	Couleur B	Lithologie C	Couleur C	Lithologie D	Couleur D	Lithologie E	Couleur E	Radiomètre utilisé	Rad. Brut de fond (cps)	Rad. Max. (cps)	Altération(s)	Minéralisation(s)	Type de structure 1	Azimuth 1	Pendage/ Plongée 1	Réf. 1	Type de structure 2	Azimuth 2	Pendage/ Plongée 2	Réf. 2	Type de structure 3	Azimuth 3
1908-4155	28-Jul-08	525118	6275107	Boulder	alternance d'arkose très peu mature à FK cm et de conglomérats à galet de roche granitique et siltite rouge/violacée; Présence de stratification obliques dans l'arkose	Conglomerate (clast-support)	gray									SPP gamma			Sericite: Séricitisation assez forte de la matrice et également veine de quartz avec hématite	bloc dans zone anormale photographié conglomérat et zones altérées										
1908-4156	27-Jul-08	525443	6275039	Boulder		Conglomerate (clast-support)	gray									SPP gamma	60	130		Champ de bloc subanguleux, purimétriques à métriques										
1908-4157	27-Jul-08	525620	6275237		Intrusive rock: Qtz, Qtz fumé, cristaux cm de FK, pyrite fréquente; Sandstone: Présence d'une zone de brèche hydrothermale dans l'arkose. On observe de la pyrite limonitisée;	intrusive rock		Sandstone								SPP gamma				Reconnaissance d'anomalie de géophysique aéroportée. Champ de bloc métriques sub affleurants subanguleux à arrondis photos de la zone										
1908-4158	27-Jul-08	525893	627542	Boulder	Intrusive rock: Granitoïde à faciès fin jusqu'à pegmatitique; Sandstone: Arénite quartzuse à matrice dolomitiques (quelques blocs);	Intrusive rock		Sandstone	gray							SPP gamma	60	120	Sandstone: Patine grisâtre	Champ de bloc subangulaires photo de la zone de bloc										
1908-4159	27-Jul-08	526093	6275683		Intrusive rock: Granitoïde à FK; Conglomérat à éléments granitiques avec matrice importante; Bloc de dolomie;	Intrusive rock		Conglomerate (clast-support)		Dolomie	gray					SPP gamma	60	120	Conglomerate (clast-support); Sericite, alteration importante de la matrice;	Champ de bloc subarrondis à la proximité de la rupture de pente vers le Lac Patu										
1908-4160	27-Jul-08	525701	6276007	Boulder	granitoïde avec FK abondant et zones de stockwerk	Intrusive rock										SPP gamma			Sericite: Dans les zones de stockwerk	champ de bloc monolithologique										
1908-4161	27-Jul-08	525551	6275950		granitoïde à FK et faciès fin riche en feldspath(150cps)	Intrusive rock										SPP gamma	60	150		champ de bloc arrondis à subanguleux										
1908-4162	27-Jul-08	525509	6276354	Boulder	granitoïde	Intrusive rock										SPP gamma		100		reconnaissance d'anomalie de géophysique aéroportée										
1908-4163	27-Jul-08	525438	6276567	Boulder	granitoïde	Intrusive rock										SPP gamma				Champ de bloc										
1908-4164	27-Jul-08	525405	6276725	Boulder	granitoïde à faciès grossier	Intrusive rock										SPP gamma	70	100		champ de bloc plurimétriques										
1908-4165	27-Jul-08	525337	6276366	Boulder	granite faciès pegmatitique .Nodules de quartz recristallisés	Intrusive rock										SPP gamma	70	300	Sericite: Alteration dans la masse de la roche	photos										
1908-4166	28-Jul-08	524952	6258657	Outcrop	gabbro à grain moyen	gabbro	gray									SPP gamma			Patine grisâtre	11401908-28.07-4166-1fracturation ds gabbro.JPG										
1908-4167	28-Jul-08	524866	6258713		gabbro à grain fin à moyen, roche facile à rayer aléatoire des feldspath	gabbro	gray									SPP gamma				photo	fracture	150	60	gabbro						
1908-4168	28-Jul-08	524497	6258740	Outcrop	gabbro à grain moyen	gabbro	black									SPP gamma			Hematite alteration: À proximité de fractures	photo 11401908-28.07-4168-1Zone d'affleurement.JPG 11401908-28.07-4168-2Zone d'affleurementdétaillé.JPG 11401908-28.07-4168-3Plan failleInverse et normale.JPG 11401908-28.07-4168-4Fente de tension marque mvt inverse .JPG 11401908-28.07-4168-5Fentes de tensi	faille	350	40	gabbro	Fente de tension	170	20	gabbro	Fente de tension	350
1908-4169	28-Jul-08	524618	6258617	Outcrop	gabbro à grain moyen, quelques cristaux de pyrite	gabbro	gray									SPP gamma			Saussuritization	photo affleurement 11401908-28.07-4169-1zone d'affleurement.JPG										
1908-4170	28-Jul-08	524582	6258558	Outcrop	gabbro	gabbro	gray									SPP gamma				photo 11401908-28.07-4170-1Faille Normale.JPG 11401908-28.07-4170-2Deuxième plan strié mvt dextre.JPG	faille	290	45	gabbro	faille	20	90	gabbro	faille	240



Tableau 7 - Tableau synoptique des traverses géologiques de Minowean 2008

No. Station géologique	Date	Coord. NAD83 Nordant	Coord. NAD83 Estant	Affleurement ou Bloc	Description de(s) la lithologie(s)	Pendage/ Plongée 3	Réf. 3	Type de structure 4	Azimuth 4	Pendage/ Plongée 4	Réf. 4	Type de structure 5	Azimuth 5	Pendage/ Plongée 5	Réf. 5	Type de structure 6	Azimuth 6	Pendage/ Plongée 6	Réf. 6	Type de structure 7	Azimuth 7	Pendage/ Plongée 7	Réf. 7	Échantillon(s)	Photo(s)
1908-4155	26-Jul-08	525118	6275107	Boulder	alternance d'arkose très peu mature à FK cm et de conglomérats à galet de roche granitique et siltite rouge/violacée; Présence de stratification obliques dans l'arkose																			1908-4155/1	114019-27.07.08-4155/1 à /7
1908-4156	27-Jul-08	525443	6275039	Boulder																					114019-27.07.08-4156/1, /2 & /3
1908-4157	27-Jul-08	525620	6275237		Intrusive rock: Qtz, Qtz fumé, cristaux cm de FK, pyrite fréquente; Sandstone: Présence d'une zone de brèche hydrothermale dans l'arkose. On observe de la pyrite limonitisée;																				114019-27.07.08-4157/1
1908-4158	27-Jul-08	525893	627542	Boulder	Intrusive rock: Granitoïde à faciès fin jusqu'à pegmatitique; Sandstone: Arénite quartzuse à matrice dolomitiques (quelques blocs);																				114019-27.07.08-4158/1
1908-4159	27-Jul-08	526093	6275683		Intrusive rock: Granitoïde à FK; Conglomérat à éléments granitiques avec matrice importante; Bloc de dolomie;																				
1908-4160	27-Jul-08	525701	6276007	Boulder	granitoïde avec FK abondant et zones de stockwerk																				114019-27.07.08-4160/1
1908-4161	27-Jul-08	525551	6275950		granitoïde à FK et faciès fin riche en feldspath(150cps)																				
1908-4162	27-Jul-08	525509	6276354	Boulder	granitoïde																				
1908-4163	27-Jul-08	525438	6276567	Boulder	granitoïde																				
1908-4164	27-Jul-08	525405	6276725	Boulder	granitoïde à faciès grossier																				
1908-4165	27-Jul-08	525337	6276366	Boulder	granite faciès pegmatitique. Nodules de quartz recristallisés																			1908-4165/1	114019-27.07.08-4165/1, /2 & /3
1908-4166	28-Jul-08	524952	6258657	Outcrop	gabbro à grain moyen																				114019-28.07.08-4166/1
1908-4167	28-Jul-08	524866	6258713		gabbro à grain fin à moyen, roche facile à rayer aléatoire des feldspath																				
1908-4168	28-Jul-08	524497	6258740	Outcrop	gabbro à grain moyen	20	gabbro																		114019-28.07.08-4168/1 à /7
1908-4169	28-Jul-08	524618	6258617	Outcrop	gabbro à grain moyen, quelques cristaux de pyrite																				114019-28.07.08-4169/1
1908-4170	28-Jul-08	524582	6258558	Outcrop	gabbro	40	gabbro																		114019-28.07.08-4170/1 & /2

Tableau 7 - Tableau synoptique des traverses géologiques de Minowean 2008

No. Station géologique	Date	Coord. NAD83 Nordant	Coord. NAD83 Estant	Affurement ou Bloc	Description de(s) la lithologie(s)	Lithologie A	Couleur A	Lithologie B	Couleur B	Lithologie C	Couleur C	Lithologie D	Couleur D	Lithologie E	Couleur E	Radiomètre utilisé	Rad. Bruit de fond (cps)	Rad. Max. (cps)	Altération(s)	Minéralisation(s)	Type de structure 1	Azimuth 1	Pendage/ Plongée 1	Réf. 1	Type de structure 2	Azimuth 2	Pendage/ Plongée 2	Réf. 2	Type de structure 3	Azimuth 3	
1908-4171	28-Jul-08	524574	6258612	Outcrop	Siltstone: En réalité cataclasite mylonitisé du Lace Lake; Gabbro à grain moyen.	Siltstone	gray	gabbro	gray							SPP gamma			Siltstone: Patine grisâtre; Gabbro: Carbonatization intense et pénétraive au niveau du contact sur 1,5metres. Plus oxydation supergène de pyrite/hématisation.	contact tectonique Lace Lake/Gabbro du Montagnais 11401908-28.07-4171-7zone mylonitisé ds gabbro contact gabbro siltiteLaceLake.JPG 11401908-28.07-4171-5zone mylonitisé ds gabbro contact gabbro siltiteLaceLake.JPG 11401908-28.07-4171-5zone mylonitisé ds g	Cleavage (s0/1)	70	35	Siltstone	Fente de tension	0	50	gabbro	Fold	120	
1908-4172	28-Jul-08	524568	6258581	Outcrop	Basalte: Quelques cristaux de pyrite et chalcopyrite	Basalte	gray	Siltstone								SPP gamma			Basalte: Carbonatization par endroits dans la roches et nobreuses veinules de qtz.	contact basalte siltite, photo 11401908-28.07-4172-1 11401908-28.07-4172-2ContactBasalteSiltite	Cleavage (s0/1)	0	40	Basalte	faille	20	40	Basalte & Siltstone	Stries de faille	0	
1908-4173	28-Jul-08	524571	6258594	Outcrop	contact eventuel au sein de la même unité entre les basalts et les gabbros du Montagnais	Basalte										SPP gamma															
1908-4174	30-Jul-08	526106	6265951	Boulder		Argillite	gray									SPP gamma				roche sur les rives du Lac minowean											
1908-4175	30-Jul-08	526005	6256996	Outcrop		Argillite										SPP gamma				11401908-29.07-4175-1Affil.JPG	Bedding	350	85	Argillite							
1908-4176	30-Jul-08	525900	6257031	Boulder	wacke quartzeux à matrice dolomitique. 2 pop de grain .1 surarrondie millimétriques et 2 anguleux, surtout présent dans zones avec matrice abondante. Reaction HCl variables selon les endroits sur les échantillons	Sandstone	gray									SPP gamma			Silicification	11401908-29.07-4176-1Affil.JPG											
1908-4177	30-Jul-08	525722	6256940	Boulder	arénite ou wacke quartzeux, existence de zones dolomitisées et silicifiées ainsi que des zones de brèches hydrothermales à éléments de dolomies et arénite	Sandstone	gray									SPP gamma			Silicification et dolomitisation	bloc pour décrit ou tracer les lithologiers sur le cours de la traverse 11401908-29.07-4177-1Zonedolomitisé bréchique.JPG											
1908-4178	30-Jul-08	525605	6256681	Outcrop	Sandstone: Arénite quartzeuse à matrice dolomitique à grain de quartz noir; Dolomie: À proximité d'une zone bréchique	Sandstone	gray	Dolomie	gray							SPP gamma			Sandstone: Patine grisâtre	11401908-29.07-4178-1Zonedolomitisé bréchiqueà el arénite et dol.JPG	zone bréchique	210	60	Sandstone & Dolomie							
1908-4179	30-Jul-08	525641	6256593	Outcrop	grès dolomitique en alternance avec des niveaux dolomitiques, présence de petites fractures d'orientation non réglés à remplissage de qtz	Sandstone	gray									SPP gamma				11401908-29.07-4179-1Affil.JPG											
1908-4180	30-Jul-08	525482	6256545	Outcrop	grès quartzeux à matrice dolomitique et quelques grains du pyrite. + niveau plus verdâtre arkosique avec feldspath, plus niveau bréchique	Sandstone	gray									SPP gamma				11401908-29.07-4180-1Zone affil.JPG 11401908-29.07-4180-2Strati_oblique polarité normale.JPG 11401908-29.07-4180-3Relation géométriques zones sombres et clair de la patine de l'arénite.JPG 11401908-29.07-4180-4Zone bréchique.JPG	Bedding	340	40	Sandstone							

Tableau 7 - Tableau synoptique des traverses géologiques de Minowean 2008

No. Station géologique	Date	Coord. NAD83 Nordant	Coord. NAD83 Estant	Affleurement ou Bloc	Description de(s) la lithologie(s)	Pendage/ Plongée 3	Réf. 3	Type de structure 4	Azimuth 4	Pendage/ Plongée 4	Réf. 4	Type de structure 5	Azimuth 5	Pendage/ Plongée 5	Réf. 5	Type de structure 6	Azimuth 6	Pendage/ Plongée 6	Réf. 6	Type de structure 7	Azimuth 7	Pendage/ Plongée 7	Réf. 7	Échantillon(s)	Photo(s)	
1908-4171	28-Jul-08	524574	6258612	Outcrop	Siltstone: En réalité cataclasite mylonitisé du Lace Lake; Gabbro à grain moyen.	15		Siltstone																	1908-4171/1	114019-28.07.08-4171/1 à /7
1908-4172	28-Jul-08	524568	6258581	Outcrop	Basalte: Quelques cristaux de pyrite et chalcopyrite	10		Basalte & Siltstone																		114019-28.07.08-4172/1 & /2
1908-4173	28-Jul-08	524571	6258594	Outcrop	contact éventuel au sein de la même unité entre les basalts et les gabbros du Montagnais																					
1908-4174	30-Jul-08	526106	6265951	Boulder																						
1908-4175	30-Jul-08	526005	6258996	Outcrop																						114019-30.07.08-4175/1
1908-4176	30-Jul-08	525900	6257031	Boulder	wacke quartzeux à matrice dolomitique, 2 pop de grain :1 surarrondie millimétriques et 2 anguleux, surtout présent dans zones avec matrice abondante. Reaction HCl variables selon les endroits sur les échantillons																			1908-4176/1	114019-30.07.08-4176/1	
1908-4177	30-Jul-08	525722	6256940	Boulder	arénite ou wacke quartzeux, existence de zones dolomitisées et silicifiées ainsi que des zones de brèches hydrothermales à éléments de dolomies et arénite																			1908-4177/1	114019-30.07.08-4177/1	
1908-4178	30-Jul-08	525605	6256681	Outcrop	Sandstone: Arénite quartzeuse à matrice dolomitique à grain de quartz noir; Dolomie: À proximité d'une zone bréchique																			1908-4178/1	114019-30.07.08-4178/1	
1908-4179	30-Jul-08	525641	6256593	Outcrop	grès dolomitique en alternance avec des niveaux dolomitiques, présence de petites fractures d'orientation non réglés à remplissage de qtz																					114019-30.07.08-4179/1
1908-4180	30-Jul-08	525482	6256545	Outcrop	grès quartzeux à matrice dolomitique et quelques grains du pyrite. + niveau plus verdâtre arkosique avec feldspath, plus niveau bréchique																			1908-4180/1, /2, /3 & /4	114019-30.07.08-4180/1, /2 & /3	



Tableau 7 - Tableau synoptique des traverses géologiques de Minowean 2008

No. Station géologique	Date	Coord. NAD83 Nordant	Coord. NAD83 Estant	Affleurement ou Bloc	Description de(s) la lithologie(s)	Lithologie A	Couleur A	Lithologie B	Couleur B	Lithologie C	Couleur C	Lithologie D	Couleur D	Lithologie E	Couleur E	Radiomètre utilisé	Rad. Brutt de fond (cps)	Rad. Max. (cps)	Altération(s)	Minéralisation(s)	Type de structure 1	Azimuth 1	Pendage/ Plongée 1	Réf. 1	Type de structure 2	Azimuth 2	Pendage/ Plongée 2	Réf. 2	Type de structure 3	Azimuth 3	
1908-4181	30-Jul-08	525244	6256656	Outcrop	arénite quartzreuse matrice < 10 %, niveau recristallisé et qtz automorphe centripètes sur plan ouverture	Sandstone	gray									SPP gamma				11401908-29.07-4181-1Plan fracture Qtz automorphe centripète(ouverture).JPG 11401908-29.07-4181-2Plan de faille et de fente de tension au mur(critère normal).JPG	fracture	65	90	Sandstone	faille	130	35	Sandstone	Fente de tension	50	
1908-4182	30-Jul-08	525202	6256804	Outcrop	arénite quartzreuse à matrice dolomitique et siliceuse	Sandstone	gray									SPP gamma				11401908-29.07-4182-1Aftt.JPG	remplissage de qtz	240	65	Sandstone							
1908-4183	30-Jul-08	524951	6257096	Boulder	siltite rouge brique, blocs anguleux	Siltstone	red									SPP gamma		120		11401908-29.07-4183-1Zone de bloc à fond élevé.JPG											
1908-4184	30-Jul-08	524697	6257198	Boulder		Siltstone	red									SPP gamma		110		champ de bloc de siltite avec fond radiométrique élevé 11401908-29.07-4184-1Blocs de siltite rouge.JPG											
1908-4185	30-Jul-08	524530	6257414		basalte ou roche a determiner dolomitisé avec une fracturation importante,	Basalte	gray									SPP gamma			Hematite alteration plus niveau carbonné dans des veinules avec pyrites automorphes	114019085-29.07-4185-1Strie de failleQtz.JPG 114019085-29.07-4185-2Fracture hématisée.JPG 114019085-29.07-4185-3Stockwerk à Mat. carbonnée.JPG 114019085-29.07-4185-4Stockwerk à Mat. carbonnée-2.JPG	plan strié	20	90	Basalte	fracture	270	80	Basalte			
1908-4186	31-Jul-08	526240	6257697	Outcrop	arénite quartzreuse silicifié et carboné (sans ordre), grains de quartz fumés et développement de cristaux de pyrite au sein de la matière carbonnée dans la matrice	Sandstone										SPP gamma			Matière carbonnée	11401908-31.07-4186-1Faille deux générations de stries.JPG	faille	0	35	Sandstone	Stries de faille	150	5	Sandstone	Stries de faille	60	
1908-4187	31-Jul-08	526256	6257750	Outcrop	arénite quartzreuse riche massive est recristallisé	Sandstone	gray									SPP gamma				11401908-31.07-4187-1Brèche hydroliqueN110.JPG 11401908-31.07-4187-2Fente en échelon à Qtz.JPG 11401908-31.07-4187-3Fente de tension métrique.JPG	Fente de tension	70		Sandstone	Fente de tension	200	50	Sandstone			
1908-4188	31-Jul-08	526272	6257819	Outcrop	arénite quartzreuse avec grain de quartz noir matrice siliceuse assez abondante 15% Pyrite automorphe abondante au sein de la matrice à proximité des zones apparaissant rouillées. Zones suivant plus ou moins de fines fractures	Sandstone	gray									SPP gamma			Hematite alteration	11401908-31.07-4188-1Fracture hématisée ds arénite.JPG 11401908-31.07-4188-2Zone hématisée.JPG 11401908-31.07-4188-3Fentes en échelon.JPG	fracture	50		Sandstone	Fente de tension	80		Sandstone			
1908-4189	31-Jul-08	526247	6257898	Outcrop	arénite quartzreuse avec deux populations de grains, 1 arrondis millimétriques et une autre 0,1 à 0,5 mm anguleux, matrice siliceuse	Quartzite										SPP gamma						Bedding	290	70	Quartzite						
1908-4190	31-Jul-08	526316	6267991	Outcrop	Sandstone: Arénite quartzreuse à qtz noir (au N du contact entre les deux lithologies dans le stockwerk)	Quartzite	gray	Sandstone								SPP gamma			Quartzite: Hematite alteration, hématisation en surface, probablement par oxydation supergène de pyrites. De plus la silicification est certainement postérieure à la bréchification. Car veines de qtz recristallisée et contour comme estompés de ces dernières;	11401908-31.07-4190-1Stockwerk à qtz ds arénite quartzreuse.JPG 11401908-31.07-4190-2Zone de contact arénite noir quartzite dans le stockwerk.JPG Contact entre les deux lithologies N130 (subverticate?)											

Tableau 7 - Tableau synoptique des traverses géologiques de Minowean 2008

No. Station géologique	Date	Coord. NAD83 Nordant	Coord. NAD83 Estant	Affleurement ou Bloc	Description de(s) la lithologie(s)	Pendage/ Plongée 3	Réf. 3	Type de structure 4	Azimuth 4	Pendage/ Plongée 4	Réf. 4	Type de structure 5	Azimuth 5	Pendage/ Plongée 5	Réf. 5	Type de structure 6	Azimuth 6	Pendage/ Plongée 6	Réf. 6	Type de structure 7	Azimuth 7	Pendage/ Plongée 7	Réf. 7	Échantillon(s)	Photo(s)
1908-4181	30-Jul-08	525244	6256656	Outcrop	arénite quartzreuse matrice < 10 %, niveau recristallisé et qtz automorphe centripètes sur plan ouverture	85	Sandstone																	1908-4181/1	114019-30.07.08-4181/1 & /2
1908-4182	30-Jul-08	525202	6256804	Outcrop	arénite quartzreuse à matrice dolomitique et siliceuse																			1908-4182/1	114019-30.07.08-4182/1
1908-4183	30-Jul-08	524951	6257096	Boulder	siltite rouge brique, blocs anguleux																				114019-30.07.08-4183/1
1908-4184	30-Jul-08	524697	6257198	Boulder																					114019-30.07.08-4184/1
1908-4185	30-Jul-08	524530	6257414		basalte ou roche a determiner dolomitisé avec une fracturation importante,																			1908-4185/1 & /2	114019-30.07.08-4185/1 à /5
1908-4186	31-Jul-08	526240	6257697	Outcrop	arénite quartzreuse silicifié et carboné (sans ordre), grains de quartz fumés et developement de cristaux de pyrite au sein de la matière carbonnée dans la matrice	35	Sandstone																	1908-4186/1	114019-31.07.08-4186/1
1908-4187	31-Jul-08	526256	6257750	Outcrop	arénite quartzreusen riche massive est recristallisé																			1908-4187/1	114019-31.07.08-4187/1, /2 & /3
1908-4188	31-Jul-08	526272	6257819	Outcrop	arénite quartzreuse avec grain de quartz noir matrice siliceuse assez abondante 15% Pyrite automorphe abondante au sein de la matrice à proximité des zones apparaissant rouillées. Zones suivant plus ou moins de fines fractures																			1908-4188/1	114019-31.07.08-4188/1, /2 & /3
1908-4189	31-Jul-08	526247	6257898	Outcrop	arénite quartzreuse avec deux populations de grains, 1 arrondis millimétriques et une autre 0,1 à 0,5 mm anguleux, matrice siliceuse																				
1908-4190	31-Jul-08	526316	6267991	Outcrop	Sandstone: Arénite quartzreuse à qtz noir (au N du contact entre les deux lithologies dans le stockwerk)																			1908-4190/1	114019-31.07.08-4190/1 & /2

Tableau 7 - Tableau synoptique des traverses géologiques de Minowean 2008

No. Station géologique	Date	Coord. NAD83 Nordant	Coord. NAD83 Estant	Affleurement ou Bloc	Description de(s) la lithologie(s)	Lithologie A	Couleur A	Lithologie B	Couleur B	Lithologie C	Couleur C	Lithologie D	Couleur D	Lithologie E	Couleur E	Radiomètre utilisé	Rad. Bruit de fond (cps)	Rad. Max. (cps)	Altération(s)	Minéralisation(s)	Type de structure 1	Azimuth 1	Pendage/ Plongée 1	Réf. 1	Type de structure 2	Azimuth 2	Pendage/ Plongée 2	Réf. 2	Type de structure 3	Azimuth 3
1908-4191	31-Jul-08	526316	6258066	Outcrop	arénite ou wacke quartzéux à matrice dolomitique du fait de la matrice relativement abondante. Présence de pyrite oxydée. Egalement avec des grains de quartz noirs, ces dernières zones apparaissent en creux sur l'affleurement (plus altéré, - cohésive)	Sandstone	brown									SPP gamma				11401908-31.07-4191-1Brèche à matrice sombre (C) dans wacke quartzéux.JPG 11401908-31.07-4191-2Brèche à matrice sombre (C) dans wacke quartzéu.JPG 11401908-31.07-4191-3Brèche à matrice sombre (C) dans wacke quartzéux vue ensemble.JPG 11401908-31.07-419	Shear zone	130	80	Sandstone	Fente de tension	70	85	Sandstone		
1908-4192	31-Jul-08	526358	6258335	Outcrop	quartzite blanche = arénite recristallisé avec pyrite entre les grains	Quartzite	gray									SPP gamma			Quartzite: Patine gris blanc		mesure incertaine	40	20	Quartzite						
1908-4193	31-Jul-08	526398	6258450	Outcrop	arénite quartzéuse avec grain de quartz noir et pyrite automorphe	Quartzite										SPP gamma					faille	260	70	Quartzite	Stries de faille	90	35			
1908-4194	31-Jul-08	526530	6258808	Boulder	arénite quartzéuse à matrice dolomitique	Sandstone										SPP gamma				champ de bloc plurimétrique 11401908-31.07-4194-1Zone de bloc d'arénite.JPG										
1908-4195	31-Jul-08	526571	6258714	Outcrop		Sandstone	gray									SPP gamma				11401908-31.07-4195-1Statification obliques dans arénite dolomitique.JPG	Bedding	70	45	Sandstone						
1908-4196	04-Aug-08	526926	6258150	Boulder												SPP gamma	40			Intalative de reconnaissances des formations sous jacentes au recouvrement quaternaire (Lace lake) zone avec fond plus élevé de radiométrie, et fragment de argillites dans le sol sous la mousse										
1908-4197	04-Aug-08	527272	6257963	Boulder												SPP gamma				Champ de bloc métriques d'Arénite Quarzéuse à Matrice Dolomitique avec pyrite (fraiche et oxydée) et grès dolomitiques avec interlits de dolomie. Dans l'AQMD grain qtz noirci avec altération guidée par strati obliques photo 11401908-04.08-4197-1Champ de										
1908-4198	04-Aug-08	527832	6257729	Boulder												SPP gamma				vérification d'anomalie de géophysique photo 11401908-04.08-4198-1Vérification anomalie géophy_champ de bloc subaffleurants.JPG 11401908-04.08-4198-1Vérification anomalie géophy_champ de bloc subaffleurants_2.JPG										



Tableau 7 - Tableau synoptique des traverses géologiques de Minowean 2008

No. Station géologique	Date	Coord. NAD83 Nordant	Coord. NAD83 Estant	Affleurement ou Bloc	Description de(s) la lithologie(s)	Pendage/ Plongée 3	Réf. 3	Type de structure 4	Azimuth 4	Pendage/ Plongée 4	Réf. 4	Type de structure 5	Azimuth 5	Pendage/ Plongée 5	Réf. 5	Type de structure 6	Azimuth 6	Pendage/ Plongée 6	Réf. 6	Type de structure 7	Azimuth 7	Pendage/ Plongée 7	Réf. 7	Échantillon(s)	Photo(s)
1908-4191	31-Jul-08	526316	6258066	Outcrop	arénite ou wacke quartzeux à matrice dolomitique du fait de la matrice relativement abondante. Présence de pyrite oxydée. Egalement avec des grains de quartz noir, ces dernières zones apparaissent en creux sur l'affleurement( plus altéré, - cohésive																			1908-4191/1 & /2	114019-31.07.08-4191/1 à /4
1908-4192	31-Jul-08	526358	6258335	Outcrop	quartzite blanche = arénite recristallisé avec pyrite entre les grains																			1908-4192/1	
1908-4193	31-Jul-08	526398	6258450	Outcrop	arénite quartzeuse avec grain de quartz noir et pyrite automorphe																				114019-31.07.08-4193/1, /2 & /3
1908-4194	31-Jul-08	526530	6258808	Boulder	arénite quartzeuse à matrice dolomitique																				114019-31.07.08-4194/1
1908-4195	31-Jul-08	526571	6258714	Outcrop																					114019-31.07.08-4195/1 & /2
1908-4196	04-Aug-08	526926	6258150	Boulder																					
1908-4197	04-Aug-08	527272	6257963	Boulder																				1908-4197/1	114019-04.08.08-4197/1
1908-4198	04-Aug-08	527832	6257729	Boulder																					114019-04.08.08-4198/1 & /2

Tableau 7 - Tableau synoptique des traverses géologiques de Minowean 2008

No. Station géologique	Date	Coord. NAD83 Nordant	Coord. NAD83 Estant	Affleurement ou Bloc	Description de(s) la lithologie(s)	Lithologie A	Couleur A	Lithologie B	Couleur B	Lithologie C	Couleur C	Lithologie D	Couleur D	Lithologie E	Couleur E	Radiomètre utilisé	Rad. Brut de fond (cps)	Rad. Max. (cps)	Altération(s)	Minéralisation(s)	Type de structure 1	Azimuth 1	Pendage/ Plongée 1	Réf. 1	Type de structure 2	Azimuth 2	Pendage/ Plongée 2	Réf. 2	Type de structure 3	Azimuth 3	
1908-4199	04-Aug-08	527675	6258658	Boulder	grain de quartz sombres et brillants	Siltstone	black									SPP gamma				reconnaissance d'anomalie géophysique, siltite / grès très fins dans zone de blocs subaffleurements avec un couvert végétal plus faible que dans l'environnement immédiat photo 11401908-04.08-4199-1Vérification anomalie géophys_champ de bloc subaffleurements.JPG											
1908-4200	04-Aug-08	528165	6259658	Outcrop	réaction avec HCl prononcée mais localisée et brève sur certaines petite zones sur la cassures fraîches, grains micrométriques de calcite?	Siltstone	black									SPP gamma				photo 11401908-04.08-4200-1siltite noires.JPG	Cleavage (s1)	350	60	Siltstone							
1908-4201	04-Aug-08	528053	6259786	Outcrop		Siltstone	black									SPP gamma				photo 11401908-04.08-4201-1siltite avec linéation développée.JPG	Cleavage (s1)	340	50	Siltstone	Linéation	80	50	Siltstone			
1908-4202	05-Aug-08	528298	6259919	Outcrop	Siltstone: Siltite interlitée avec des niveaux gréseux centimétriques, on remarque des zones plus schisteuses (p à mylonitisées); Sandstone: Grès à matrice dolomitique;	Siltstone	gray	Sandstone	white							SPP gamma				11401908-05.08-4202-1pils dans siltite et niveau grès.JPG 11401908-05.08-4202-2pils dans siltite et niveau grès2.JPG	Cleavage (s1)	330	90	Siltstone	Fold	0	85	Siltstone & Sandstone	Axe de pli	170	
1908-4203	05-Aug-08	528339	6260012	Outcrop	Gabbro: Grain moyen cristaux 1mm	Siltstone	gray	gabbro	gray							SPP gamma			Siltstone: Patine gris blanchâtre; Gabbro: Saussuritization	11401908-05.08-4203-1Contact siltite gabbro.JPG	faille	135	90	Siltstone & gabbro	Cleavage (s1)	170	90	Siltstone	fracture	165	
1908-4204	05-Aug-08	528429	6260158	Outcrop	gabbro à grains moyen	gabbro	gray									SPP gamma				11401908-05.08-4204-1Affleurement gabbro.JPG											
1908-4205	05-Aug-08	528427	6260318	Outcrop	gabbro à grain moyen (1mm) présence de quelques veinules de quartz cisailé N90E?	gabbro	gray									SPP gamma															
1908-4206	05-Aug-08	528287	6260414	Outcrop	gabbro à grain moyen	gabbro	gray									SPP gamma				11401908-05.08-4206-1Affleurement butte de gabbro.JPG 11401908-05.08-4206-2Plan strié quartz.JPG 11401908-05.08-4206-3Plan strié serpentinisé.JPG  Par endroit quelques réseaux de fractures anastomosés	faille	260	50	gabbro	Stries de faille	340	50	gabbro	faille2	170	
1908-4207	05-Aug-08	528333	6260609	Outcrop		gabbro	gray									SPP gamma				11401908-05.08-4207-1Pseudo pli.JPG	Fold	160									
1908-4208	05-Aug-08	528217	6260631		Siltstone: Alternance de niveaux gréseux blanc et de siltite noir; Sandstone: Niveaux centimétriques de grès quartzéuse en alternances avec de minces lits de de siltite noir;	Siltstone	black	Sandstone								SPP gamma				11401908-05.08-4208-1Affleurement de siltite qq dizaines de mètres en contrebas du gabbro.JPG 11401908-05.08-4208-2Détail siltite et banc de grès, N à gauche.JPG 11401908-05.08-4208-3Détail siltite et banc de grès, N à gauche.JPG 11401908-05.08-4208-5Déta	Cleavage (s1)	190	80	Siltstone & Sandstone	Fold	70	90	Siltstone & Sandstone	Axe de pli	70	

Tableau 7 - Tableau synoptique des traverses géologiques de Minowean 2008

No. Station géologique	Date	Coord. NAD83 Nordant	Coord. NAD83 Estant	Affleurement ou Bloc	Description de(s) la lithologie(s)	Pendage/ Plongée 3	Réf. 3	Type de structure 4	Azimuth 4	Pendage/ Plongée 4	Réf. 4	Type de structure 5	Azimuth 5	Pendage/ Plongée 5	Réf. 5	Type de structure 6	Azimuth 6	Pendage/ Plongée 6	Réf. 6	Type de structure 7	Azimuth 7	Pendage/ Plongée 7	Réf. 7	Échantillon(s)	Photo(s)
1908-4199	04-Aug-08	527675	6258658	Boulder	grain de quartz sombres et brillants																				114019-04.08.08-4199/1
1908-4200	04-Aug-08	528165	6259658	Outcrop	réaction avec HCl prononcée mais localisée et brève sur certaines petite zones sur la cassures fraiches, grains micrométriques de calcite?																			1908-4200/1	114019-04.08.08-4200/1
1908-4201	04-Aug-08	528053	6259786	Outcrop																					114019-04.08.08-4201/1
1908-4202	05-Aug-08	528298	6259919	Outcrop	Siltstone: Siltite interlitée avec des niveaux gréseux centimétriques, on remarque des zones plus schisteuses (p é mylonitisée); Sandstone: Grès à matrice dolomitique;	70		Siltstone & Sandstone																1908-4202/1	114019-05.08.08-4202/1 & /2
1908-4203	05-Aug-08	528339	6260012	Outcrop	Gabbro: Grain moyen cristaux 1mm	85		gabbro																	114019-05.08.08-4203/1
1908-4204	05-Aug-08	528429	6260158	Outcrop	gabbro à grains moyen																				114019-05.08.08-4204/1
1908-4205	05-Aug-08	528427	6260318	Outcrop	gabbro à grain moyen (1mm) présence de quelques veinules de quartz cisailé N90E?																				
1908-4206	05-Aug-08	528287	6260414	Outcrop	gabbro à grain moyen	40		gabbro																	114019-05.08.08-4206/1 à /4
1908-4207	05-Aug-08	528333	6260609	Outcrop																					114019-05.08.08-4207/1
1908-4208	05-Aug-08	528217	6260631		Siltstone: Alternance de niveaux gréseux blanc et de siltite noir; Sandstone: Niveaux centimétriques de grès quartzeuse en alternances avec de minces lits de de siltite noir;	80		Siltstone & Sandstone																	114019-05.08.08-4208/1 à /5



Tableau 7 - Tableau synoptique des traverses géologiques de Minowean 2008

No. Station géologique	Date	Coord. NAD83 Nordant	Coord. NAD83 Estant	Affleurement ou Bloc	Description de(s) la lithologie(s)	Lithologie A	Couleur A	Lithologie B	Couleur B	Lithologie C	Couleur C	Lithologie D	Couleur D	Lithologie E	Couleur E	Radiomètre utilisé	Rad. Brut de fond (cps)	Rad. Max. (cps)	Altération(s)	Minéralisation(s)	Type de structure 1	Azimuth 1	Pendage/ Plongée 1	Réf. 1	Type de structure 2	Azimuth 2	Pendage/ Plongée 2	Réf. 2	Type de structure 3	Azimuth 3	
1908-4209	08-Aug-08	530313	6260455	Outcrop	gabbro à grain moyen cristaux millimétriques	gabbro	gray									SPP gamma			Saussuritization plus zones blanches(mm) et rouillés (qq cm) en surface, correspondant à Py millimétrique à proximité de microfractures.	photo 11401908-08.08-4209-1 Zones rouillées le long de fractures ds gabbro.JPG 11401908-08.08-4209-2 Zone affleurement.JPG	fracture	50	45	gabbro	fracture	130	60	gabbro			
1908-4210	08-Aug-08	529981	6260490	Outcrop	siltite interlamainée avec des niveau blanchâtres	Siltstone	gray									SPP gamma				photo 11401908-08.08-4210-1 Siltites au contact avec gabbro(recouvert).JPG	Bedding	70	80	Siltstone							
1908-4211	08-Aug-08	530005	6260427	Outcrop	gabbro à grain moyen cristaux mm	gabbro	gray									SPP gamma															
1908-4212	08-Aug-08	529898	6260319	Outcrop	gabbro à grain moyen (mm) rayable assez facilement	gabbro	gray									SPP gamma			Saussuritization	nombreux plans striés mais de petites tailles et de continuité réduite photo 11401908-08.08-4212-1 plan striés enstre normal avec mx fibreux N80E60S.JPG 11401908-08.08-4212-2 plan serpentinisé.JPG 11401908-08.08-4212-3 myt normal N110E65S.JPG	faille	80	60	gabbro	faille	210	30	gabbro	faille	110	
1908-4213	08-Aug-08	529899	6260240	Outcrop	gabbro à grain moyen (mm) avec cristaux de pyrite automorphe ou en amas plus ou moins oxydés	gabbro	gray									SPP gamma			Saussuritization	la dolomie viens cimenter le qtz au niveau de la zone broyée, avec une réorientation des qtz et des fragements photo 11401908-08.08-4213-1 Zone broyée de qtz dolomitisé.JPG 11401908-08.08-4213-2 Zone broyée avec qtz.JPG 11401908-08.08-4213-3 fluage de la dol	Shear zone	40	50	gabbro	faille	25	85	gabbro	Fente de tension	305	
1908-4214	08-Aug-08	529614	6259966		Gabbro à grain moyen avec pyrite automorphe millimétriques; Lentille de siltite riche en matière carbonnée, (Lace Lake);	gabbro	gray	Siltstone	gray							SPP gamma				photo 11401908-08.08-4214-1 Zone d'affleurement.JPG											
1908-4215	08-Aug-08	529511	6259353	Outcrop	Gabbro schistosé et mylonitisé, on observe de la carbonatation par endroits; Siltstone: Riche en matière carbonnée, + sigmoïde avec blaste ou claste de grenat?	gabbro	gray	Siltstone	black							SPP gamma				photo 11401908-08.08-4215-1 Siltite ou mylonite avec qtz déformé.JPG 11401908-08.08-4215-2 Lentille de siltite préservé dans la schistosité.JPG 11401908-08.08-4215-3 Siltite.JPG 11401908-08.08-4215-4 Ombre de pression autour claste ou blaste de grenat.JPG	Cleavage (s1)	340	30	gabbro	Cleavage (s2)	5	70	gabbro	Shear zone	5	
1908-4216	08-Aug-08	529515	6259267	Outcrop	Gabbro schisteux avec éléments de dolomie gris sombre; Dolomie gris sombre pris dans le gabbro schistosé;	gabbro	gray	Dolomie	gray							SPP gamma			Siltstone: Hématite alteration sur les plans de stratification/schistosité		Cleavage (s1)	25	60	gabbro							

Tableau 7 - Tableau synoptique des traverses géologiques de Minowean 2008

No. Station géologique	Date	Coord. NAD83 Nordant	Coord. NAD83 Estant	Affleurement ou Bloc	Description de(s) la lithologie(s)	Pendage/ Plongée 3	Réf. 3	Type de structure 4	Azimuth 4	Pendage/ Plongée 4	Réf. 4	Type de structure 5	Azimuth 5	Pendage/ Plongée 5	Réf. 5	Type de structure 6	Azimuth 6	Pendage/ Plongée 6	Réf. 6	Type de structure 7	Azimuth 7	Pendage/ Plongée 7	Réf. 7	Échantillon(s)	Photo(s)
1908-4209	08-Aug-08	530313	6260455	Outcrop	gabbro à grain moyen cristaux millimétriques																			1908-4209/1	114019-08.08.08-4209/1 & /2
1908-4210	08-Aug-08	529981	6260490	Outcrop	siltite interlaminaire avec des niveau blanchâtres																				114019-08.08.08-4210/1
1908-4211	08-Aug-08	530005	6260427	Outcrop	gabbro à grain moyen cristaux mm																				
1908-4212	08-Aug-08	529898	6260319	Outcrop	gabbro à grain moyen (mm) rayable assez facilement	65	gabbro																		114019-08.08.08-4212/1, /2 & /3
1908-4213	08-Aug-08	529899	6260240	Outcrop	gabbro à grain moyen (mm) avec cristaux de pyrite automorphe ou en amas plus ou moins oxydés	80	gabbro																		114019-08.08.08-4213/1 & /6
1908-4214	08-Aug-08	529614	6259366		Gabbro à grain moyen avec pyrite automorphe millimétriques; Lentille de siltite riche en matière carbonnée, (Lace Lake);																				114019-08.08.08-4214/1
1908-4215	08-Aug-08	529511	6259353	Outcrop	Gabbro schistosé et mylonitisé, on observe de la carbonatation par endroits; Siltstone: Riche en matière carbonnée, + sigmoïde avec blaste ou claste de grenat?	70	gabbro																	1908-4215/1, /2, /3 & /4	114019-08.08.08-4215/1 à /6
1908-4216	08-Aug-08	529515	6259267	Outcrop	Gabbro schisteux avec éléments de dolomie gris sombre; Dolomie gris sombre pris dans le gabbro schistosé;																			1908-4216/1	

Tableau 7 - Tableau synoptique des traverses géologiques de Minowean 2008

No. Station géologique	Date	Coord. NAD83 Nordant	Coord. NAD83 Estant	Affeulement ou Bloc	Description de(s) la lithologie(s)	Lithologie A	Couleur A	Lithologie B	Couleur B	Lithologie C	Couleur C	Lithologie D	Couleur D	Lithologie E	Couleur E	Radiomètre utilisé	Rad. Bruit de fond (cps)	Rad. Max. (cps)	Altération(s)	Minéralisation(s)	Type de structure 1	Azimuth 1	Pendage/ Plongée 1	Réf. 1	Type de structure 2	Azimuth 2	Pendage/ Plongée 2	Réf. 2	Type de structure 3	Azimuth 3	
1908-4217	09-Aug-08	528992	6253012	Outcrop	Grès dolomitiques avec interlits de dolomie	Sandstone	gray									SPP gamma				photo 11401908-09.08-4217-1Affit.JPG 11401908-09.08-4217-2Reseau de fracturation Qtz.JPG 11401908-09.08-4217-3Zone broyée50m à l'ouest du point 4217.JPG 11401908-09.08-4217-4Zone broyée2.JPG	fracture	315	54	Sandstone	fracture	355	51	Sandstone	Bedding	185	
1908-4218	09-Aug-08	529403	6253081	Outcrop	Sandstone: Arénite quartzreuse blanche massive avec niveau argilisé. Origine de niveau argileux de couleur verdâtre contesté (10cm) de puissance. Proba origine séd. repris pas tecto et fluide car les épontes de la zones sont peu altérées, mais? Argillite: Niveau dilacéré au sein d'une masse importante masse d'arénite;	Sandstone	white	Argillite	green							SPP gamma		25		photo 11401908-09.08-4218-1Zone argilisée dans arénite quartzreuse.JPG 11401908-09.08-4218-2Zone argilisée dans arénite quartzreuse2.JPG											
1908-4219	09-Aug-08	529482	6253205	Outcrop	gabbro à grain moyen	gabbro	gray									SPP gamma			Saussuritization	11401908-09.08-4219-1Zone broyée.JPG	faille	295	82	gabbro	zone bréchique	145	72	gabbro			
1908-4220	09-Aug-08	529536	6253212		Sandstone: Arénite quartzreuse à grain de quartz noirs; Basalte ou gabbro très recristallisé et altéré; Argillite: Niveau cisailé de couleur verdâtre.	Sandstone		Basalte	gray	Argillite	gray					SPP gamma		40	Basalte: Saussuritization	11401908-09.08-4220-1Zone cisailée.JPG	Shear zone	350	60	Argillite	Linéation	80	50	Argillite	Shear zone	70	
1908-4221	09-Aug-08	530531	6252610	Boulder												SPP gamma	50	120		Reconnaissance d'anomalie géophysique aéroporté, champ de blocs métriques à plurimétriques sub affleurants, anguleux à sub arrondis. Lithologie varées, siltite noir, basaltes gris clairs, arénite quartzreuse. Zone avec couvert végétal moins impo											
1908-4222	09-Aug-08	530624	6252758	Boulder												SPP gamma		70		Reconnaissance d'anomalie géophysique aéroporté champ de bloc polygéniques? Sub anguleux à arrondis, entièrement masqué sous la végétation( Aulnes et Thé du Labrador) photo 11401908-09.08-4222-1Anomalie géophysique.JPG											
1908-4223	09-Aug-08	530634	6252858	Outcrop	gabbro à grain moyen pas de déformation ni structures	gabbro	gray									SPP gamma			Saussuritization												
1908-4224	09-Aug-08	530492	6253101	Outcrop	gabbro à grain moyen	gabbro	gray									SPP gamma			Saussuritization	11401908-09.08-4224-1Plan de faille striés.JPG	faille	335	75	gabbro	Linéation	110	60	gabbro	faille	155	
1908-4225	09-Aug-08	530590	6253312	Outcrop	Siltite inter laminée avec des niveaux blanchâtres millimétriques	Siltstone	gray									SPP gamma				présence de bandes de cisaillement 11401908-09.08-4225-1Siltite interlamée.JPG	Bedding	10	35	Siltstone	Shear zone	100	80	Siltstone	Cleavage (s1)	40	



Tableau 7 - Tableau synoptique des traverses géologiques de Minowean 2008

No. Station géologique	Date	Coord. NAD83 Nordant	Coord. NAD83 Estant	Affleurement ou Bloc	Description de(s) la lithologie(s)	Pendage/ Plongée 3	Réf. 3	Type de structure 4	Azimuth 4	Pendage/ Plongée 4	Réf. 4	Type de structure 5	Azimuth 5	Pendage/ Plongée 5	Réf. 5	Type de structure 6	Azimuth 6	Pendage/ Plongée 6	Réf. 6	Type de structure 7	Azimuth 7	Pendage/ Plongée 7	Réf. 7	Échantillon(s)	Photo(s)
1908-4217	09-Aug-08	528992	6253012	Outcrop	Grès dolomitiques avec interlits de dolomie	47	Sandstone	Fente de tension	140	55	Sandstone										Bedding 2	120	45	Sandstone	114019-09.08.08-4217/1 à /4
1908-4218	09-Aug-08	529403	6253081	Outcrop	Sandstone: Arénite quartzreuse blanche massive avec niveau argilisé. Origine de niveau argileux de couleur verdâtre contesté (10cm) de puissance. Proba origine séd, repris pas tecto et fluide car les épontes de la zones sont peu altérées, mais? Argilite: Niveau dilacéré au sein d'une masse importante masse d'arénite;																			114019-09.08.08-4218/1 & /2	
1908-4219	09-Aug-08	529482	6253205	Outcrop	gabbro à grain moyen																			114019-09.08.08-4219/1	
1908-4220	09-Aug-08	529536	6253212		Sandstone: Arénite quartzreuse à grain de quartz noirs; Basalte ou gabbro très recristallisé et altéré; Argilite: Niveau cisallé de couleur verdâtre.	65	Argilite																	1908-4220/1 & /2	114019-09.08.08-4220/1
1908-4221	09-Aug-08	530531	6252610	Boulder																				114019-09.08.08-4221/1 & /2	
1908-4222	09-Aug-08	530624	6252758	Boulder																				114019-09.08.08-4222/1	
1908-4223	09-Aug-08	530634	6252858	Outcrop	gabbro à grain moyen pas de déformation ni structures																				
1908-4224	09-Aug-08	530492	6253101	Outcrop	gabbro à grain moyen	90	gabbro	faille	190	65	gabbro									Linéation	160	30	gabbro	114019-09.08.08-4224/1	
1908-4225	09-Aug-08	530590	6253312	Outcrop	Siltite inter laminée avec des niveaux blanchâtres millimétriques	90	Siltstone																	1908-4225/1	114019-09.08.08-4225/1

Tableau 7 - Tableau synoptique des traverses géologiques de Minowean 2008

No. Station géologique	Date	Coord. NAD83 Nordant	Coord. NAD83 Estant	Affleurement ou Bloc	Description de(s) la lithologie(s)	Lithologie A	Couleur A	Lithologie B	Couleur B	Lithologie C	Couleur C	Lithologie D	Couleur D	Lithologie E	Couleur E	Radiomètre utilisé	Rad. Brut de fond (cps)	Rad. Max. (cps)	Altération(s)	Minéralisation(s)	Type de structure 1	Azimuth 1	Pendage/ Plongée 1	Réf. 1	Type de structure 2	Azimuth 2	Pendage/ Plongée 2	Réf. 2	Type de structure 3	Azimuth 3		
1908-4226	09-Aug-08	530765	6253731	Outcrop	Gabbro à grain moyen; Siltite rouge.	gabbro	gray	Siltstone	red							SPP gamma			Siltstone: Carbonatization instense par endroit	contact à la base la La Montagne de gabbro, Déformation assez peu marquée 11401908-09-08-4226-1Siltite rouge avec stylolithes.JPG	Bedding	290	10	Siltstone								
1908-4227	09-Aug-08	529291	6253426	Outcrop	Arénite quartzreuse à grains de quartz noirs, deux population, 1 grain mm arrondis bon tri, et 2, 0,1 à 0,5mm anguleux;	Sandstone	gray									SPP gamma				11401908-09-08-4227-1Affleurement arénite.JPG												
1908-4228	11-Aug-08	525746	6253180	Outcrop	Sandstone: Wacke quartzreuse à matrice dolomitique, 25 % de matrices; Sandstone 2: Arénite quartzreuse recristallisé, 5 à 10 % de matrice. On observe des plages rouillés millimétriques, proba des crtx pyrite altérés;	Sandstone	gray	Sandstone 2	white							SPP gamma				Contact stratigraphique entre entre arénite quartzreuse à matrice dolomitique et arénite quartzreuse blanche (quartzite). On observe sur quelques metres l'alterance des deux lithologies. Une différence de dépôt pourrait expliquer la différences entre les de	Bedding	345	55	Sandstone 2								
1908-4229	11-Aug-08	525663	6253084	Outcrop	Siltstone: Aternance avec des niveaux centimétriques de grès avec des grains de quartz noircis. Des stratifications obliques millimétriques indiquent une polarité normale; Sandstone: Le grès présente une proportion importante de grains anguleux de taille 0,1 à 0,5 millimètres.	Siltstone	gray	Sandstone	gray							SPP gamma				Contact quartzite argilite	Bedding	350	40	Siltstone								
1908-4230	11-Aug-08	525658	6253152	Outcrop	siltite gris sombre finement laminée avec présence des niveaux bréchifiés avec veinules de quartz, on remarque également quelques niveaux de grès. Ripple marks avec critères de polarité inverse	Siltstone										SPP gamma				pas de radiométrie plus importante dans la zone bréchifiée	fracture	20	47	Siltstone	Bedding	20	47	Siltstone				
1908-4231	11-Aug-08	525681	6253598	Outcrop	arénite quartzreuse blanche ( quartzite ) , relief structural orienté N170	Sandstone										SPP gamma																
1908-4232	11-Aug-08	525446	6254022	Outcrop	siltite/ argilite, interlaminée, on remarque que les niveaux silteux( blanchâtes) sont boudinés. On observe également une transposition de la schistosité dans ces niveaux	Siltstone	gray									SPP gamma						filonnet	305	70	Siltstone							
1908-4233	11-Aug-08	525193	6254076	Boulder												SPP gamma		120		reconnaissance d'anomalie géophysique aéroportée zone de bloc et till Bloc métriques subaffleurants, sub anguleux à sub arrondis, épars. Dans le till mélange de bloc décicentimétriques , d'argilite/siltite noir, grès rouge et de siltite rouge. Couvert végét												
1908-4234	11-Aug-08	525085	6254534	Boulder												SPP gamma		100		reconnaissance d'anomalie géophysique, champ de blocs métriques (siltite rouge 80% et grès rouges 20 %). Peu de mousse mais aulnes denses sur la zone de blocs												
1908-4235	11-Aug-08	525450	6254683	Outcrop	arénite quartzreuse avec minéraux oxydé dans la matrice (py?) et minéraux noirs à déterminer, un peu plus haut grain de qtz noir dans les zones en creuse plus altérés par les conditions de surface.	Sandstone	gray									SPP gamma					Bedding	350	50	Sandstone								

Tableau 7 - Tableau synoptique des traverses géologiques de Minowean 2008

No. Station géologique	Date	Coord. NAD83 Nordant	Coord. NAD83 Estant	Affleurement ou Bloc	Description de(s) la lithologie(s)	Pendage/ Plongée 3	Réf. 3	Type de structure 4	Azimuth 4	Pendage/ Plongée 4	Réf. 4	Type de structure 5	Azimuth 5	Pendage/ Plongée 5	Réf. 5	Type de structure 6	Azimuth 6	Pendage/ Plongée 6	Réf. 6	Type de structure 7	Azimuth 7	Pendage/ Plongée 7	Réf. 7	Échantillon(s)	Photo(s)
1908-4226	09-Aug-08	530765	6253731	Outcrop	Gabbro à grain moyen; Siltite rouge.																			1908-4226/1 & /2	114019-09.08.08-4226/1
1908-4227	09-Aug-08	529291	6253426	Outcrop	Arénite quartzreuse à grains de quartz noirs, deux population, 1 grain mm arrondis bon tri, et 2, 0,1 à 0,5mm anguleux;																				114019-09.08.08-4227/1
1908-4228	11-Aug-08	525746	6253180	Outcrop	Sandstone: Wacke quartzreuse à matrice dolomitique, 25 % de matrice; Sandstone 2: Arénite quartzreuse recristallisé, 5 à 10 % de matrice. On observe des plages rouillés millimétriques, proba des crtx pyrite altérés;																				114019-11.08.08-4228/1, /2 & /3
1908-4229	11-Aug-08	525663	6253084	Outcrop	Siltstone: Aterrance avec des niveaux centimétriques de grès avec des grains de quartz noircis. Des stratifications obliques millimétriques indiquent une polarité normale; Sandstone: Le grès présente une proportion importante de grains anguleux de taille 0,1 à 0,5 millimètres.																			1908-4229/1	114019-11.08.08-4229/1
1908-4230	11-Aug-08	525658	6253152	Outcrop	siltite gris sombre finement laminée avec présence des niveaux bréchifiés avec veinules de quartz, on remarque également quelques niveaux de grès. Ripple marks avec critères de polarités inverse																				114019-11.08.08-4230/1 & /2
1908-4231	11-Aug-08	525681	6253598	Outcrop	arénite quartzreuse blanche ( quartzite ) , relief structural orienté N170																				
1908-4232	11-Aug-08	525446	6254022	Outcrop	siltite/ argilite, interlaminée, on remarque que les niveaux silteux( blanchâtes) sont boudinés. On observe également une transposition de la schistosité dans ces niveaux																				114019-11.08.08-4232/1
1908-4233	11-Aug-08	525193	6254076	Boulder																					114019-11.08.08-4233/1
1908-4234	11-Aug-08	525085	6254534	Boulder																					114019-11.08.08-4234/1
1908-4235	11-Aug-08	525450	6254683	Outcrop	arénite quartzreuse avec minéraux oxydé dans la matrice (py?) et minéraux noirs à déterminer, un peu plus haut grain de qtz noir dans les zones en creuse plus altérés par les conditions de surface.																			1908-4235/1	



Tableau 7 - Tableau synoptique des traverses géologiques de Minowean 2008

No. Station géologique	Date	Coord. NAD83 Nordant	Coord. NAD83 Estant	Affleurement ou Bloc	Description de(s) la lithologie(s)	Lithologie A	Couleur A	Lithologie B	Couleur B	Lithologie C	Couleur C	Lithologie D	Couleur D	Lithologie E	Couleur E	Radiomètre utilisé	Rad. Brut de fond (cps)	Rad. Max. (cps)	Altération(s)	Minéralisation(s)	Type de structure 1	Azimuth 1	Pendage/ Plongée 1	Réf. 1	Type de structure 2	Azimuth 2	Pendage/ Plongée 2	Réf. 2	Type de structure 3	Azimuth 3	
1908-4236	11-Aug-08	525609	6254678	Outcrop	Sandstone: Quartzite blanche avec présence de niveau recristallisés de puissance variable; Sandstone 2: Arénite quartzreuse à matrice dolomitique (on observe plus de grain noir dans cette roche lorsque l'on va vers l'W au sein de cette formation);	Sandstone	white	Sandstone 2	gray							SPP gamma				contact stratigraphique entre l'arénite quartzreuse blanche (quartzite) et l' arénite/wacke quartzreuse à matrice dolomitique	Bedding	350	40	Sandstone & Sandstone 2							
1908-4237	11-Aug-08	525731	6254861	Outcrop	arénite quartzreuse à matrice dolomitique, on remarque que les stratificatino obliques guident la dolomitisation	Sandstone	gray									SPP gamma					Bedding	350	50	Sandstone							
1908-4238	11-Aug-08	525779	6254863	Outcrop	arénite quartzreuse avec niveau de brèche sédimentaire à éléments ovoïdes apparaissant en creux, dans certains reste de la dolomie) et élément anguleux de grès dolomitiques. Les éléments sont orientés avec un grand axe N170	Sandstone	gray									SPP gamma					fracture	345	55	Sandstone	fracture	10	85	Sandstone	fracture	130	
1908-4239	11-Aug-08	525947	6254873	Outcrop	grès dolomitique avec interlits de dolomitiques	Sandstone										SPP gamma					Bedding	350	40	Sandstone							
1908-4240	11-Aug-08	526126	6254883	Outcrop	arénite quartzreuse à matrice dolomitique avec cristaux de pyrite xénomorphes	Sandstone	gray									SPP gamma					Bedding	345	45	Sandstone							
1908-4241	11-Aug-08	526184	6254906	Outcrop	grès dolomitique avec malachite	Sandstone	brown									SPP gamma															
1908-4242	12-Aug-08	531221	6254174	Outcrop	Gabbro à grain moyen avec cristaux de pyrite automorphe millimétriques. Par endroit au contact des zones les plus riches en épidote ont remarque la pénétration du réseau de veinules millimétriques d'épidote dans le gabbro; Granitoïde: Faciès pegmatitique à assemblage de Quartz, Plagioclase, Magnétite, amphibole verte et épidote, cette dernière sous forme de veinules. Mag et amas d'amphibole centimétriques. Py et Cpy sont également identifiés;	gabbro	black	Granitoïde	gray								SPP gamma			Granitoïde: Epidote alteration sous la forme de veinules recoupant les plagiote et amphiboles, et parfois de zones bréchiques et de stockwerkes.	identification d'un faciès supplémentaire de gabbro à plage d'amphiboles centimétriques et épidote. Les amphiboles sont bréchiliés et recoupées par l'épidote dans cette roche. La relation entre ces différents faciès est complexes, plusieurs hypothèse: 1	fracture	85	90		Stries de faille	85	40			
1908-4243	12-Aug-08	531161	6254143	Hand Sample		gabbro	black									SPP gamma					fracture	180	50	gabbro	Zone broyée	345	50	gabbro			
1908-4244	12-Aug-08	531099	6254111	Outcrop		gabbro	black									SPP gamma				11401908-12.08-4244-1Plan strié.JPG	fracture	110	40	gabbro	Linéation	135	40	gabbro			
1908-4245	12-Aug-08	531064	6254102	Outcrop		gabbro										SPP gamma					fracture	160	90	gabbro	fracture	55	62	gabbro	Stries	62	
1908-4246	12-Aug-08	531045	6254203	Outcrop	Gabbro à grain moyen; Gabbro 2: Gabbro à grain plus grossier avec latte millimétriques de plagioclase;	gabbro	black	gabbro 2								SPP gamma			Gabbro2: Epidote alteration veinules de quelques millimètres de puissance	11401908-12.08-4246-1Veinule d'épidote.JPG											
1908-4247	12-Aug-08	531045	6254299			gabbro	black									SPP gamma					fracture	110	75	gabbro	Stries	110	15	gabbro	fracture	100	
1908-4248	12-Aug-08	531043	6254360	Outcrop		gabbro										SPP gamma					fracture	350	35	gabbro	Stries	165	15	gabbro			
1908-4249	12-Aug-08	531081	6254476	Outcrop	gabbro à grain grossier avec lattes de plagioclases millimétriques	gabbro	black									SPP gamma				au niveau d'une grande dépression topographique	fracture	85	85	gabbro	Stries	135	35	Stries	Stries	315	
1908-4250	13-Aug-08	530977	6254544	Outcrop	Granitoïde: Filonets de pegmatite à quartz, plagioclase et amphibole. Croissance plus ou moins centripète de samphibole au niveau des épontes; Gabbro à grain moyen;	Granitoïde		gabbro	black							SPP gamma				11401908-12.08-4250-1Filon pegmatite.JPG 11401908-12.08-4250-2Filon pegmatite détail.JPG 11401908-12.08-4250-3Filon pegmatite détail orientation centripète des amphiboles.JPG											
1908-4251	12-Aug-08	530703	6254450	Outcrop	gabbro à grain grossier avec lattes millimétriques de plagioclase	gabbro										SPP gamma				prolongement d'un plan N50 qui découpe la topo de la colline	fracture	2115	80	gabbro							
1908-4252	12-Aug-08	530706	6255110	Outcrop	gabbro à grain grossiers	gabbro	green									SPP gamma			Epidote alteration	on retrouve dans la topographie de nombreux plans ayant l'orientation du plan mesuré	fracture	80	90	gabbro							

Tableau 7 - Tableau synoptique des traverses géologiques de Minowean 2008

No. Station géologique	Date	Coord. NAD83 Nordant	Coord. NAD83 Estant	Affleurement ou Bloc	Description de(s) la lithologie(s)	Pendage/ Plongée 3	Réf. 3	Type de structure 4	Azimuth 4	Pendage/ Plongée 4	Réf. 4	Type de structure 5	Azimuth 5	Pendage/ Plongée 5	Réf. 5	Type de structure 6	Azimuth 6	Pendage/ Plongée 6	Réf. 6	Type de structure 7	Azimuth 7	Pendage/ Plongée 7	Réf. 7	Échantillon(s)	Photo(s)
1908-4236	11-Aug-08	525609	6254678	Outcrop	Sandstone: Quartzite blanche avec présence de niveau recristallisés de puissance variable; Sandstone 2: Arénite quartzreuse à matrice dolomitique ( on observe plus de grain noir dans cette roche lorsque l'on va vers l'W au sein de cette formation);																				114019-11.08.08-4236/1
1908-4237	11-Aug-08	525731	6254861	Outcrop	arénite quartzreuse à matrice dolomitique, on remarque que les stratificatino obliques guident la dolomitisation																				114019-11.08.08-4237/1
1908-4238	11-Aug-08	525779	6254863	Outcrop	arénite quartzreuse avec niveau de brèche sédimentaire à éléments ovoïdes apparaissant en creux, dans certains reste de la dolomie) et élément anguleux de grès dolomitiques. Les éléments sont orientés avec un grand axe N170	85		Sandstone																	114019-11.08.08-4238/1
1908-4239	11-Aug-08	525947	6254873	Outcrop	grès dolomitique avec interlits de dolomitiques																				
1908-4240	11-Aug-08	526126	6254883	Outcrop	arénite quartzreuse à matrice dolomitique avec cristaux de pyrite xénomorphes																				
1908-4241	11-Aug-08	526184	6254906	Outcrop	grès dolomitique avec malachite																				1908-4241/1
1908-4242	12-Aug-08	531221	6254174	Outcrop	Gabbro à grain moyen avec cristaux de pyrite automorphe millimétriques. Par endroit au contact des zones les plus riches en épidote ont remarque la pénétration du réseau de veinules millimétriques d'épidote dans le gabbro; Granitoïde: Faciès pegmatitique à assemblage de Quartz, Plagioclase, Magnétite, amphibole verte et épidote, cette dernière sous forme de veinules. Mag et amas d'amphibole centimétriques. Py et Cpy sont également identifiés;																			1908-4242/1, /2 & /3	114019-12.08.08-4242/1 à /5
1908-4243	12-Aug-08	531161	6254143	Hand Sample																					
1908-4244	12-Aug-08	531099	6254111	Outcrop																					114019-12.08.08-4244/1
1908-4245	12-Aug-08	531064	6254102	Outcrop		35		gabbro																	
1908-4246	12-Aug-08	531045	6254203	Outcrop	Gabbro à grain moyen; Gabbro 2: Gabbro à grain plus grossier avec latte millimétriques de plagioclase;																				114019-12.08.08-4246/1
1908-4247	12-Aug-08	531045	6254299			40		gabbro	Stries	130	40		gabbro												
1908-4248	12-Aug-08	531043	6254360	Outcrop																					
1908-4249	12-Aug-08	531081	6254476	Outcrop	gabbro à grain grossier avec lattes de plagioclases millimétriques	45		Stries																	
1908-4250	13-Aug-08	530977	6254544	Outcrop	Granitoïde: Filonets de pegmatite à quartz, plagioclase et amphibole. Croissance plus ou moins centripète de samphibole au niveau des épontes; Gabbro à grain moyen;																				114019-12.08.08-4250/1, /2 & /3
1908-4251	12-Aug-08	530703	6254450	Outcrop	gabbro à grain grossier avec lattes millimétriques de plagioclase																				
1908-4252	12-Aug-08	530706	6255110	Outcrop	gabbro à grain grossiers																				



Tableau 7 - Tableau synoptique des traverses géologiques de Minowean 2008

No. Station géologique	Date	Coord. NAD83 Nordant	Coord. NAD83 Estant	Affleurement ou Bloc	Description de(s) la lithologie(s)	Lithologie A	Couleur A	Lithologie B	Couleur B	Lithologie C	Couleur C	Lithologie D	Couleur D	Lithologie E	Couleur E	Radiomètre utilisé	Rad. Brut de fond (cps)	Rad. Max. (cps)	Altération(s)	Minéralisation(s)	Type de structure 1	Azimuth 1	Pendage/ Plongée 1	Réf. 1	Type de structure 2	Azimuth 2	Pendage/ Plongée 2	Réf. 2	Type de structure 3	Azimuth 3	
1908-4253	12-Aug-08	530682	6255105		gabbro à grain moyen	gabbro	black									SPP gamma				11401908-12.08-4253-1 Escarpement ds alignement plan strié.JPG 11401908-12.08-4253-2 Escarpement ds alignement plan strié2.JPG 11401908-12.08-4253-3détail plan strié W à gauche.JPG	fracture	280	80	gabbro							
1908-4254	12-Aug-08	530787	6255237	Outcrop	gabbro à grain grossier avec plagioclases millimétriques et pyrite automorphe	gabbro										SPP gamma				11401908-12.08-4254-1 Plan strié avec epidoteNW à gauche.JPG	fracture	130	60	gabbro	Stries	135	35	gabbro			
1908-4255	12-Aug-08	530518	6255750	Outcrop	petro à confirmer	gabbro										SPP gamma					fracture	245	45	gabbro							
1908-4256	12-Aug-08	530468	6256337	Outcrop	gabbro à grain moyen	gabbro	green									SPP gamma			Epidote alteration: Alteration intense												
1908-4257	14-Aug-08	528258	6274789	Outcrop	schistosité bien développé (pê éventuellement un basalte schistosé), présences de lentilles dà quartz, feldspath potassique et minéral noir à éclat brillant	Argilite										SPP gamma		130		champ de blocs subaffleurants, subarrondis, de basalte et basalte schisteux ( gris non)											
1908-4258	14-Aug-08	527871	6274933	Boulder	argilite/ siltite ou bien basalte schistosé mais roche dans un champ de blocs donc difficile à replacer dans son contexte	Argilite										SPP gamma		85		reconnaissance d'anomalie géophysique aéroportée 11401908-14.08-4258-1Lentilles à Qtz, FK et Mx noir.JPG											
1908-4259	14-Aug-08	528029	6275076	Boulder												SPP gamma	60	100		reconnaissance d'anomalie de geophysique aéroporté champ de bloc avec till, blocs métriques à décimétriques sub anguleux à arrondis( grès quartzeux et basalte schisteux/argilite) sur une petite butte avec végétation peu dense 11401908-14.08-4259-1Ano											
1908-4260	14-Aug-08	527808	6275533	Boulder												SPP gamma				Petite colline de quelques metres de hauteur avec bloc décimétriques de siltite/argilite et granitoïde du socle emballé dans un till à graviers et à matrice argileuse. Au moins 3à cm d'épaisseur											
1908-4261	14-Aug-08	527413	6275785													SPP gamma		130		reconnaissance d'anomalie géophysique. Champ de blocs de lithologies variées, basalte, basaltes schisteux et siltite et argilites. Egalement quelques blocs arrondis de roches de socles et de quartz. Morphologie générale arrondis à subarrondis											



Tableau 7 - Tableau synoptique des traverses géologiques de Minowean 2008

No. Station géologique	Date	Coord. NAD83 Nordant	Coord. NAD83 Estant	Affleurement ou Bloc	Description de(s) la lithologie(s)	Pendage/ Plongée 3	Réf. 3	Type de structure 4	Azimuth 4	Pendage/ Plongée 4	Réf. 4	Type de structure 5	Azimuth 5	Pendage/ Plongée 5	Réf. 5	Type de structure 6	Azimuth 6	Pendage/ Plongée 6	Réf. 6	Type de structure 7	Azimuth 7	Pendage/ Plongée 7	Réf. 7	Échantillon(s)	Photo(s)	
1908-4253	12-Aug-08	530682	6255105		gabbro à grain moyen																				114019-12.08.08-4253/1, /2 & /3	
1908-4254	12-Aug-08	530787	6255237	Outcrop	gabbro à grain grossier avec plagioclases millimétriques et pyrite automorphe																				114019-12.08.08-4254/1	
1908-4255	12-Aug-08	530518	6255750	Outcrop	petro à confirmer																			1908-4255/1		
1908-4256	12-Aug-08	530468	6256337	Outcrop	gabbro à grain moyen																					
1908-4257	14-Aug-08	528258	6274789	Outcrop	schistosité bien développé (pe éventuellement un basalte schistosé), présences de lentilles de quartz, feldspath potassique et minéral noir à éclat brillant																					
1908-4258	14-Aug-08	527871	6274933	Boulder	argilite/ siltite ou bien basalte schistosé mais roche dans un champ de blocs donc difficile à replacer dans son contexte																			1908-4258/1	114019-14.08.08-4258/1	
1908-4259	14-Aug-08	528029	6275076	Boulder																						114019-14.08.08-4259/1
1908-4260	14-Aug-08	527808	6275533	Boulder																						
1908-4261	14-Aug-08	527413	6275785																							

Tableau 7 - Tableau synoptique des traverses géologiques de Minowean 2008

No. Station géologique	Date	Coord. NAD83 Nordant	Coord. NAD83 Estant	Affleurement ou Bloc	Description de(s) la lithologie(s)	Lithologie A	Couleur A	Lithologie B	Couleur B	Lithologie C	Couleur C	Lithologie D	Couleur D	Lithologie E	Couleur E	Radiomètre utilisé	Rad. Bruit de fond (cps)	Rad. Max. (cps)	Altération(s)	Minéralisation(s)	Type de structure 1	Azimuth 1	Pendage/ Plongée 1	Réf. 1	Type de structure 2	Azimuth 2	Pendage/ Plongée 2	Réf. 2	Type de structure 3	Azimuth 3
1908-4262	14-Aug-08	527334	6276070		ou basalte très schistosé( mais hypothèse, car protolith difficile à identifier)	Argilite	gray									SPP gamma				11401908-14.08-4262-1Niveaux de quartz plissés.JPG	Cleavage (s1)	10	85	Argilite	Fold	135	90	Argilite		
1908-4263	14-Aug-08	527265	6276263	Boulder	siltite gris avec des interlits verdâtres	Siltstone										SPP gamma				reconnaissance d'anomalie géophysique, champ de bloc et roches a l'affleurement 11401908-14.08-4263-1Zone d'affleurement sur localité d'anomalie geophy.JPG	Cleavage (s1)	345	50	Siltstone	Linéation	45	35	Siltstone		
1908-4264	14-Aug-08	527940	6276586													SPP gamma	100			reconnaissance d'anomalie de géophysique aéroportée. Champe de bloc avec un fort couvert végétal d'aunhes basses et de thé du Labrador. Présence de blocs de gabbro(40cps) et de siltite (100cps) 11401908-14.08-4264-1anomalie géophysique aéroportée.JPG										
1908-4265	14-Aug-08	528275	6276195	Outcrop	gabbro à grain fin. On remaque un zone plus fine et legèrement moins sombre que l'on rencontre au contact avec une zone rouillée en surface avec chalcopryrite et malachite	gabbro	gray									SPP gamma			Supergene alteration rouille en surface	11401908-14.08-4265-3Vue générale de la zone affleurement.JPG 11401908-14.08-4265-2Détail zone rouillée.JPG 11401908-14.08-4265-1Veinules à Cpy rouillée en surface.JPG										
1908-4266	15-Aug-08	527983	6277230	Outcrop	gabbro à grain moyen quelques zones rouillés en surface, mais pas de sulfure en quantité abondante à proximité et pas d'évidence de guide par les fractures de cette altération	gabbro	gray									SPP gamma				11401908-15.08-4266-1Affleurement.JPG	fracture	160		gabbro	Zone broyée	165		gabbro		
1908-4267	15-Aug-08	527722	6277065	Outcrop												SPP gamma	35	110		reconnaissance d'anomalie de géophysique aéroporté. Zone d'anomalie difficile à localiser du fait de la végétation d'aunhes et Thé du Labrador extremement dense; On remarque dans la pente des zones de blocs métriques à décimétriques(70 à 110) 11401908-15.0										
1908-4268	15-Aug-08	527789	6277349	Boulder												SPP gamma		110		bloc de gabbro à grain fins à moyen parfois Parcouru de veinules de quartz et de calcite. Blocs sub anguleux métriques 11401908-15.08-4268-1Anomalie géophysique.JPG										
1908-4269	15-Aug-08	528124	6277593		gabbro à grain fin à moyen (cristaux millimétriques)	gabbro	gray									SPP gamma				11401908-15.08-4269-1 Zone avec gabbro schistosé.JPG	Shear zone	160	90	gabbro	Cleavage (s1)	130	90	gabbro	fracture	170

Tableau 7 - Tableau synoptique des traversés géologiques de Minowean 2008

No. Station géologique	Date	Coord. NAD83 Nordant	Coord. NAD83 Estant	Affleurement ou Bloc	Description de(s) la lithologie(s)	Pendage/ Plongée 3	Réf. 3	Type de structure 4	Azimuth 4	Pendage/ Plongée 4	Réf. 4	Type de structure 5	Azimuth 5	Pendage/ Plongée 5	Réf. 5	Type de structure 6	Azimuth 6	Pendage/ Plongée 6	Réf. 6	Type de structure 7	Azimuth 7	Pendage/ Plongée 7	Réf. 7	Échantillon(s)	Photo(s)
1908-4262	14-Aug-08	527334	6276070		ou basalte très schistosé( mais hypothèse, car protolith difficile à identifier)																			1908-4262/1	114019-14.08.08-4262/1
1908-4263	14-Aug-08	527265	6276263	Boulder	sillite gris avec des interlits verdâtres																			1908-4263/1	114019-14.08.08-4263/1
1908-4264	14-Aug-08	527940	6276586																						114019-14.08.08-4264/1
1908-4265	14-Aug-08	528275	6276195	Outcrop	gabbro à grain fin. On remarque un zone plus fine et légèrement moins sombre que l'on rencontre au contact avec une zone rouillée en surface avec chalcopyrite et malachite																			1908-4265/1 & /2	114019-14.08.08-4265/1, /2 & /3
1908-4266	15-Aug-08	527983	6277230	Outcrop	gabbro à grain moyen quelques zones rouillées en surface, mais pas de sulfure en quantité abondante à proximité et pas d'évidence de guide par les fractures de cette altération																				114019-15.08.08-4266/1
1908-4267	15-Aug-08	527722	6277065	Outcrop																					114019-15.08.08-4267/1
1908-4268	15-Aug-08	527789	6277349	Boulder																					114019-15.08.08-4268/1
1908-4269	15-Aug-08	528124	6277593		gabbro à grain fin à moyen (cristaux millimétriques)	80	gabbro																	1908-4269/1, /2 & /3	114019-15.08.08-4269/1



Tableau 7 - Tableau synoptique des traverses géologiques de Minowean 2008

No. Station géologique	Date	Coord. NAD83 Nordant	Coord. NAD83 Estant	Affeuement ou Bloc	Description de(s) la lithologie(s)	Lithologie A	Couleur A	Lithologie B	Couleur B	Lithologie C	Couleur C	Lithologie D	Couleur D	Lithologie E	Couleur E	Radiomètre utilisé	Rad. Bruit de fond (cps)	Rad. Max. (cps)	Altération(s)	Minéralisation(s)	Type de structure 1	Azimuth 1	Pendage/ Plongée 1	Réf. 1	Type de structure 2	Azimuth 2	Pendage/ Plongée 2	Réf. 2	Type de structure 3	Azimuth 3		
1908-4270	15-Aug-08	528179	6277710	Outcrop	gabbro ou basalte très schistosé avec quelque cristaux de pyrite; Présence d'une lentille schisteuse gris sombre (Lace lake)	gabbro	gray									SPP gamma					Cleavage (s1)	165	85	gabbro	Fente de tension	110	60	gabbro	Bedding	170		
1908-4271	15-Aug-08	528314	6277736	Outcrop	Basalte: Dans le basalte le plus "frais" radiométrique à 20 dans son équivalent à quelques mètres de là avec veinules de quartz et à proximité d'une zone schistosé 80; Basalte 2: Basalte schistosé avec lentilles de quartz.	gabbro	black	Basalte	gray	Basalte 2						SPP gamma		80			faille	355	85	gabbro	Stries		90	gabbro	Cleavage (s1)	350		
1908-4272	15-Aug-08	528248	6277776	Outcrop	basalte ou gabbro très schistosé, la roche initiale est difficile à identifier	Basalte	gray									SPP gamma		175			Shear zone	350	65	Basalte	faille	330	75	Basalte	Stries	315		
1908-4273	15-Aug-08	528466	6277521		gabbro à grain moyen	gabbro	gray									SPP gamma																
1908-4274	15-Aug-08	528539	6277341	Outcrop	siltite interlamainée avec des niveau plus blanchâtres	Siltstone										SPP gamma	40	90		reconnaissance d'anomalie géophysique	Bedding	350	70	Siltstone								
1908-4275	15-Aug-08	528653	6277264	Outcrop	calcaire intensément déformé avec fluage, + cristaux de pyrite	Limestone										SPP gamma				11401908-15.08-4275-1Calcaire avec déformation ductile.JPG	Shear zone	330	75	Limestone								
1908-4276	20-Aug-08	529484	6276141	Outcrop	très schistosé, on observe des alternances entre des niveaux + préservés mais néanmoins recristallisés et des zones très schistosés et cisailés. Des horizons silicifiés sont également présents (puissance 20 cm à 1m), couleur gris clair, 20 cps vs 90 ds Sx	Basalte	gray									SPP gamma			Silicification		Cleavage (s1)	340	55	Basalte	Linéation	320	45	Basalte	Shear zone	340		
1908-4277	20-Aug-08	529418	6276228	Outcrop	basalte schisteux avec veines de quartz plissés	Basalte	gray									SPP gamma					Cleavage (s1)	355	65	Basalte	Fold	320	70	Basalte				
1908-4278	20-Aug-08	529330	6276370	Outcrop	basalte schisteux (affleurement situé à la limite avec une zone de recouvrement quaternaire	Basalte	gray									SPP gamma	30			zone d'affleurement à proximité d'une zone déterminée comme anomalie géophysique; Veinules de quartz avec Hematite. Vers l'ouest bande quaternaire avec nombreux galets suivant une butte d'orientation N160, esker probable, blocs de lithologie variés avec gr												
1908-4279	20-Aug-08	529280	6276462	Outcrop	cristaux de magnétite sous forme millimétrique au niveau des plans de schistosités	Basalte										SPP gamma					Cleavage (s1)	350	70	Basalte								
1908-4280	20-Aug-08	529121	6276709													SPP gamma				reconnaissance d'anomalie géophysique aéroportée, zone colline étroite avec de nombreux galets de lithologies variées mais surtout des roches de socle et de formations de fer, décimétriques, qq basaltes schisteux et grès. Orientatin de la colline N160, II												
1908-4281	20-Aug-08	529002	6277469		gabbro à grain moyen, assez altéré	gabbro	gray									SPP gamma					Cleavage (s0/1)	30	90	gabbro								
1908-4282	20-Aug-08	529137	6277444	Outcrop	basalte très schistosé, la roche présente également un aspect broyé, la roche est pulvérolente	Basalte	gray									SPP gamma					Cleavage (s1)	350	70	Basalte								

Tableau 7 - Tableau synoptique des traverses géologiques de Minowean 2008

No. Station géologique	Date	Coord. NAD83 Nordant	Coord. NAD83 Estant	Affleurement ou Bloc	Description de(s) la lithologie(s)	Pendage/ Plongée 3	Réf. 3	Type de structure 4	Azimuth 4	Pendage/ Plongée 4	Réf. 4	Type de structure 5	Azimuth 5	Pendage/ Plongée 5	Réf. 5	Type de structure 6	Azimuth 6	Pendage/ Plongée 6	Réf. 6	Type de structure 7	Azimuth 7	Pendage/ Plongée 7	Réf. 7	Échantillon(s)	Photo(s)	
1908-4270	15-Aug-08	528179	6277710	Outcrop	gabbro ou basalte très schistosé avec quelque cristaux de pyrite; Présence d'une lentille schisteuse gris sombre (Lace lake)	60		gabbro																	1908-4270/1, /2 & /3	114019-15.08.08-4270/1 & /2
1908-4271	15-Aug-08	528314	6277736	Outcrop	Basalte: Dans le basalte le plus "frais" radiométrie à 20 dans son équivalent à quelques mètres de là avec veinules de quartz et a proximité d'une zone schistosé 80; Basalte 2: Basalte schistosé avec lentilles de quartz.	85		Basalte																	1908-4271/1, /2 & /3	114019-15.08.08-4271/1 & /2
1908-4272	15-Aug-08	528248	6277776	Outcrop	basalte ou gabbro très schistosé, la roche initiale est difficile à identifier	45		Basalte																		114019-15.08.08-4272/1, /2 & /3
1908-4273	15-Aug-08	528466	6277521		gabbro à grain moyen																					114019-15.08.08-4273/1
1908-4274	15-Aug-08	528539	6277341	Outcrop	sillite interlamainée avec des niveau plus blanchâtres																					
1908-4275	15-Aug-08	528653	6277264	Outcrop	calcaire intensément déformé avec fluage, + cristaux de pyrite																				1908-4275/1	114019-15.08.08-4275/1
1908-4276	20-Aug-08	529484	6276141	Outcrop	très schistosé, on observe des alternances entre des niveaux + préservés mais néanmoins recristallisé et des zones très schistosés et cisailées. Des horizons silicifiés sont également présents (puissance 20 cm à 1m), couleur gris clair, 20 cps vs 90 ds Sx	50		Basalte																	1908-4276/1 & /2	114019-20.08.08-4276/1 à /6
1908-4277	20-Aug-08	529418	6276228	Outcrop	basalte schisteux avec veines de quartz plissés																					114019-20.08.08-4277/1 à /4
1908-4278	20-Aug-08	529330	6276370	Outcrop	basalte schisteux (affleurement situé a la limite avec une zone de recouvrement quaternaire																					
1908-4279	20-Aug-08	529280	6276462	Outcrop	cristeaux de magnétite sous forme millimétrique au niveau des plans de schistosités																					
1908-4280	20-Aug-08	529121	6276709																							114019-20.08.08-4280/1
1908-4281	20-Aug-08	529002	6277469		gabbro à grain moyen, assez altéré																				1908-4281/1	
1908-4282	20-Aug-08	529137	6277444	Outcrop	basalte très schistosé, la roche présente également un aspect broyé, la roche est pulvérulente																					114019-20.08.08-4282/1



Tableau 7 - Tableau synoptique des traverses géologiques de Minowean 2008

No. Station géologique	Date	Coord. NAD83 Nordant	Coord. NAD83 Estant	Affleurement ou Bloc	Description de(s) la lithologie(s)	Lithologie A	Couleur A	Lithologie B	Couleur B	Lithologie C	Couleur C	Lithologie D	Couleur D	Lithologie E	Couleur E	Radiomètre utilisé	Rad. Brut de fond (cps)	Rad. Max. (cps)	Altération(s)	Minéralisation(s)	Type de structure 1	Azimuth 1	Pendage/ Plongée 1	Réf. 1	Type de structure 2	Azimuth 2	Pendage/ Plongée 2	Réf. 2	Type de structure 3	Azimuth 3	
1908-4283	20-Aug-08	529226	6277358	Outcrop	basalte / gabbro schistosé. On observe sur la surface de poli glaciaire des zones en creux "dissoutes"?	Basalte	gray									SPP gamma															
1908-4284	20-Aug-08	529261	6277323	Outcrop	basalte schisteux	Basalte	gray									SPP gamma				reconnaissance d'anomalie géophysique aéroportée? Basalte schisteux à proximité d'une zone de marécage avec un fond au alentour de 30. La zone apparaît comme anormale de fait du contraste fort de radiométrie											
1908-4285	20-Aug-08	529406	6277151	Outcrop	gabbro à grain fin isotrope sans schistosité développé dans la roche, quelques fracture superficielles	gabbro	gray									SPP gamma															
1908-4286	20-Aug-08	529292	6277392	Outcrop	basalte à grain fin schistosé	Basalte	gray									SPP gamma					Cleavage (s1)	40	90	Basalte							
1908-4287	20-Aug-08	529216	6277546	Outcrop		Basalte	gray									SPP gamma				tentative de reconnaissance d'anomalie de géophysique aéroportée mais impossible a atteindre du fait de l'ascarpement très important.											
1908-4288	21-Aug-08	526523	6277979	Boulder												SPP gamma	40	90		reconnaissance d'anomalie de géophysique aéroportée Zone de bloc de granitoides avec feldspath potassique abondants. Subaffleurants dans la mousse. Morphologie assez arrondie											
1908-4289	21-Aug-08	527498	6278012	Outcrop	gabbro à grain moyen, on trouve a proximité sans observer les continuités et le contact directement une roche très schistosé(certainement de pétrologie identique)	gabbro	gray									SPP gamma		110	Saussuritization: Roche assez facilement rayable		Cleavage (s1)	10	70	gabbro	Linéation	180	40	gabbro			
1908-4290	21-Aug-08	527766	6278023	Outcrop	Basalte ou gabbro mais difficile à déterminer la roche état très pulvérulente à la cassure, donnant une poudre blanchâtre et douce sous les doigts = talc. Déformatio et métasomatisme important	Basalte	gray									SPP gamma	40	170	Talc alteration: Roche talcifiée	reconnaissance d'anomalie de géophysique aéroportée; Zone d'affleurement à proximité d'une étendu de quaternaire ce qui donne un contraste de radiométrie fort.	Cleavage (s1)	10	75	Basalte	Linéation	180	40	Basalte			
1908-4291	21-Aug-08	527776	6278267	Outcrop	Gabbro ou basalte avec schistosité très développée avec présence de veines de quartz avec feldpath potassique et hématite. Présence de niveau verdâtres clair dans la schistosité	gabbro	gray									SPP gamma		170		reconnaissance d'anomalie géophysique aéroportée											
1908-4292	21-Aug-08	527839	6278172	Outcrop	gabbro à grain moyen, pas de déformation. On observe un niveau très silicifié concordant avec la schistosité dans une zone que l'on peu plus ou moins définir comme la transition entre la roche schisteuse et celle plus préservée	gabbro	gray									SPP gamma															
1908-4293	21-Aug-08	527910	6278230	Outcrop	roche très schistosée par endroit avec niveau carbonatisé et silicifiés. Plus au nord sur le même accident la roche n'est pas schistosé et l'on remarque des évidence de déformation cassante ( ainsi qu'une radiométrique bcp plus faible = 10)	gabbro	gray									SPP gamma				zone de faille marquée par un creux topographique d'environ 5 mètres. A l'ouest de cet accident gabbro à grain moyen non déformé ( 20cps) et à l'est gabbro très schistosé ( 90 cps)	Cleavage (s1)	340	60	gabbro	faille	340	60	gabbro	Stries de faille	0	



Tableau 7 - Tableau synoptique des traverses géologiques de Minowean 2008

No. Station géologique	Date	Coord. NAD83 Nordant	Coord. NAD83 Estant	Affleurement ou Bloc	Description de(s) la lithologie(s)	Pendage/ Plongée 3	Réf. 3	Type de structure 4	Azimuth 4	Pendage/ Plongée 4	Réf. 4	Type de structure 5	Azimuth 5	Pendage/ Plongée 5	Réf. 5	Type de structure 6	Azimuth 6	Pendage/ Plongée 6	Réf. 6	Type de structure 7	Azimuth 7	Pendage/ Plongée 7	Réf. 7	Échantillon(s)	Photo(s)
1908-4283	20-Aug-08	529226	6277358	Outcrop	basalte / gabbro schistosé. On observe sur la surface de poli glaciaire des zones en creux "dissoutes"?																			1908-4283/1	114019-20.08.08-4283/1
1908-4284	20-Aug-08	529261	6277323	Outcrop	basalte schisteux																				
1908-4285	20-Aug-08	529406	6277151	Outcrop	gabbro à grain fin isotrope sans schistosité développé dans la roche, quelques fracture superficielles																				
1908-4286	20-Aug-08	529292	6277392	Outcrop	basalte à grain fin schistosé																				
1908-4287	20-Aug-08	529216	6277546	Outcrop																					
1908-4288	21-Aug-08	526523	6277979	Boulder																					114019-21.08.08-4288/1 & /2
1908-4289	21-Aug-08	527498	6278012	Outcrop	gabbro à grain moyen, on trouve a proximité sans observer les continuités et le contact directement une roche très schistosé(certainement de pétrologie identique)																			1908-4289/1	114019-21.08.08-4289/1 & /2
1908-4290	21-Aug-08	527766	6278023	Outcrop	Basalte ou gabbro mais difficile à déterminer la roche état très pulvérulente à la cassure, donnant une poudre blanchâtre et douce sous les doigts = talc. Déformatio et métasomatisme important																			1908-4290/1	114019-21.08.08-4290/1 & /2
1908-4291	21-Aug-08	527776	6278267	Outcrop	Gabbro ou basalte avec schistosité très développée avec présence de veines de quartz avec feldpath potassique et hématite.Présence de niveau verdâtres clair dans la schistosité																			1908-4291/1 & /2	114019-21.08.08-4291/1 à /4
1908-4292	21-Aug-08	527839	6278172	Outcrop	gabbro à grain moyen, pas de déformation. On observe un niveau très silicifié concordant avec la schistosité dans une zone que l'on peu plus ou moins définir comme la transition entre la roche schisteuse et celle plus préservée																				114019-21.08.08-4292/1
1908-4293	21-Aug-08	527910	6278230	Outcrop	roche très schistosée par endroit avec niveau carbonatisé et silicifiés. Plus au nord sur le même accident la roche n'est pas schistosé et l'on remarque des évidence de déformation cassante ( ainsi qu'une radiométrique bcp plus faible = 10)	85	gabbro																	1908-4293/1 & /2	114019-21.08.08-4293/1

Tableau 7 - Tableau synoptique des traverses géologiques de Minowean 2008

No. Station géologique	Date	Coord. NAD83 Nordant	Coord. NAD83 Estant	Affleurement ou Bloc	Description de(s) la lithologie(s)	Lithologie A	Couleur A	Lithologie B	Couleur B	Lithologie C	Couleur C	Lithologie D	Couleur D	Lithologie E	Couleur E	Radiomètre utilisé	Rad. Brut de fond (cps)	Rad. Max. (cps)	Altération(s)	Minéralisation(s)	Type de structure 1	Azimuth 1	Pendage/ Plongée 1	Réf. 1	Type de structure 2	Azimuth 2	Pendage/ Plongée 2	Réf. 2	Type de structure 3	Azimuth 3	
1908-4294	21-Aug-08	528478	6278369	Boulder												SPP gamma		70		reconnaissance d'anomalie géophysique aéroportée. Champ de galets décimétriques arrondis organisé selon une butte d'orientation N S. Esker. Lithologie dominée par les granitoides, c'est également cette litho qui donne le maximum de radiométrie enregistrée											
1908-4295	22-Aug-08	525572	6279207	Boulder												SPP gamma	40			reconnaissance d'une zone avec pt d'échantillonnage de ruisseau du Ministère, 50pp. Or sur le terrain ruisseau inexistant et fond riométrique au alentour de 40 cps											
1908-4296	22-Aug-08	525599	6279360	Outcrop	Argilite: Tâche les doigts, riche en matière carbonnée. La roche est dense; Sandstone: Grains de quartz arrondis qui apparaissent comme des reliques dans une roche très silicifiée. Riche pyrite celle-ci est localisée au joints des grains de quartz. La roche apparaît rouillée a la surface; Sandstone 2: Grès fin de couleur légèrement rosée à matrice carbonnée; Argilite 2: Schistosité très développée, présence de pyrite automorphe oxydée, la roche est verdâtre (chlorite/séricite)On remarque des qtz anguleux, conglomérat tectonisé, plus perméable donc altération plus développée.	Argilite	gray	Sandstone	gray	Sandstone 2	pink	Argilite 2	green				SPPgamma	400		Sandstone: Silicification	zone d'anomalie mise au jour. Difficile de déterminer la lithologie hôte des plus fortes valeurs radiométriques. La zone la plus radioactive se limite à une zone de deux centimètres de puissance au niveau de l'éponte d'une fracture fortement argilisée	Cleavage (s0/1)	180	70	Argilite, Sandstone, Sandstone 2, Argilite 2	Bedding	50	90	Sandstone 2	fracture	190
1908-4297	22-Aug-08	525628	6279372		grès fin rose à matrice carbonnaté. La roche est assez fortement broyée et présence de niveau cisailée avec des plans marqués par micas. La carbonnatation intense complique l'identification pétrologique.	Sandstone	pink									SPP gamma					Shear zone	30	85	Sandstone							
1908-4298	22-Aug-08	527080	6279872	Boulder												SPP gamma	110			reconnaissance d'anomalie géophysique aéroportée, till et blocs décimétriques de lithologies variés les blocs avec les plus fortes radiométriques											
1908-4299	22-Aug-08	527257	6280088	Boulder												SPP gamma				reconnaissance anomalie géophysique aéroportée, zone de till et blocs centimétriques. Pas de blocs subaffleurrants, mais végétation moins dense sur la zone.											
1908-4300	22-Aug-08	526816	6280190													SPP gamma				reconnaissance d'anomalie géophysique. Pas de blocs nin même de till zone de marécage avec végétation très clairsemée											
1908-4301	22-Aug-08	526041	6280962	Outcrop	Niveau plus sombre riche en matière	Argilite	gray									SPP gamma	150				Cleavage (s1)	240	70	Argilite	faille	220	60	Argilite	Stries de faille	40	

Tableau 7 - Tableau synoptique des traverses géologiques de Minowean 2008

No. Station géologique	Date	Coord. NAD83 Nordant	Coord. NAD83 Estant	Affleurement ou Bloc	Description de(s) la lithologie(s)	Pendage/ Plongée 3	Réf. 3	Type de structure 4	Azimuth 4	Pendage/ Plongée 4	Réf. 4	Type de structure 5	Azimuth 5	Pendage/ Plongée 5	Réf. 5	Type de structure 6	Azimuth 6	Pendage/ Plongée 6	Réf. 6	Type de structure 7	Azimuth 7	Pendage/ Plongée 7	Réf. 7	Échantillon(s)	Photo(s)
1908-4294	21-Aug-08	528478	6278369	Boulder																					114019-21.08.08-4294/1
1908-4295	22-Aug-08	525572	6279207	Boulder																					114019-22.08.08-4295/1
1908-4296	22-Aug-08	525599	6279360	Outcrop	Argilite: Tâche les doigts, riche en matière carbonnée. La roche est dense; Sandstone: Grains de quartz arrondis qui apparaissent comme des reliques dans une roche très silicifiée. Riche pyrite celle-ci est localisée au joints des grains de quartz. La roche apparaît rouillée à la surface; Sandstone 2: Grès fin de couleur légèrement rosée à matrice carbonnée; Argilite 2: Schistosité très développée, présence de pyrite automorphe oxydée, la roche est verdâtre (chlorite/sénécite) On remarque des qtz anguleux, conglomérat tectonisé, plus perméable donc altération plus développée.	70	Argilite 2																	1908-4296/1, /2, /3, /4 & /5	
1908-4297	22-Aug-08	525628	6279372		grès fin rose à matrice carbonnée. La roche est assez fortement broyée et présence de niveau cisailée avec des plans marqués par micas. La carbonnatation intense complique l'identification pétrologique.																			1908-4297/1	114019-22.08.08-4297/1
1908-4298	22-Aug-08	527080	6279872	Boulder																					114019-22.08.08-4298/1
1908-4299	22-Aug-08	527257	6280088	Boulder																					114019-22.08.08-4299/1
1908-4300	22-Aug-08	526816	6280190																						
1908-4301	22-Aug-08	526041	6280962	Outcrop	Niveau plus sombre riche en matière	20	Argilite																		114019-22.08.08-4301/1



Tableau 7 - Tableau synoptique des traverses géologiques de Minowean 2008

No. Station géologique	Date	Coord. NAD83 Nordant	Coord. NAD83 Estant	Affleurement ou Bloc	Description de(s) la lithologie(s)	Lithologie A	Couleur A	Lithologie B	Couleur B	Lithologie C	Couleur C	Lithologie D	Couleur D	Lithologie E	Couleur E	Radiomètre utilisé	Rad. Brut de fond (cps)	Rad. Max. (cps)	Altération(s)	Minéralisation(s)	Type de structure 1	Azimuth 1	Pendage/ Plongée 1	Réf. 1	Type de structure 2	Azimuth 2	Pendage/ Plongée 2	Réf. 2	Type de structure 3	Azimuth 3
1908-4302	22-Aug-08	525971	6281069	Outcrop		Argilite	gray									SPP gamma					Cleavage (s1)	280	70	Argilite	Fold	330	60	Argilite	Plan axial	150
1908-4303	23-Aug-08	524570	6276687	Boulder												SPP gamma		120		reconnaissance d'anomalie géophysique aéroportée. Champ de blocs arrondis à sub anguleux. Essentiellement des blocs de granites à mégacristaux de feldspath potassique avec peu de ferro magnésiens. Quelques blocs d'arénite quartzose										
1908-4304	23-Aug-08	524998	6277155	Boulder												SPP gamma		85		reconnaissance d'anomalie de géophysique aéroportée Champ de blocs arrondis à sub anguleux. Essentiellement des blocs de granites à mégacristaux de feldspath potassique avec peu de ferro magnésiens. Quelques blocs d'arénite quartzose. Quelques blocs plu										
1908-4305	23-Aug-08	525263	6277494	Boulder												SPPgamma	50	100		reconnaissance d'anomalie géophysique aéroportée blocs métriques de granitoides sub affleurants sur le sommet d'une butte de till et de blocs										
1908-4306	23-Aug-08	525388	6277912	Boulder												SPP gamma	50	85		reconnaissance d'anomalie de géophysique aéroportée Blocs plurimétriques subaffleurants de granitoides avec mégacristaux de feldspath potassique. Autout de ces blocs mousse en surface et till										
1908-4307	23-Aug-08	525975	6278466	Boulder												SPP gamma				Affleurement de quaternaire le long de la rivière Swampy bay. Till avec blocs(jusqu'à des dimensions plurimétriques) et galets sur une puissance de 10 à 15 mètres										
1908-4308	23-Aug-08	525473	627889	Outcrop	evidence de transposition de schistosité par fluage de l'argilite, la dolomie est cisailée.Effervescence modéré sur la roche et plus intense dans les veinules de calcite qui la parcour	Dolomie	gray									SPP gamma					Cleavage (s1)	220	85	Dolomie	?	40	10	Dolomie		
1908-4309	23-Aug-08	525340	6278960	Outcrop		Argilite	gray									SPP gamma					Cleavage (s1)	210	45	Argilite	Linéation	30	40	Argilite		

Tableau 7 - Tableau synoptique des traverses géologiques de Minowean 2008

No. Station géologique	Date	Coord. NAD83 Nordant	Coord. NAD83 Estant	Affleurement ou Bloc	Description de(s) la lithologie(s)	Pendage/ Plongée 3	Réf. 3	Type de structure 4	Azimuth 4	Pendage/ Plongée 4	Réf. 4	Type de structure 5	Azimuth 5	Pendage/ Plongée 5	Réf. 5	Type de structure 6	Azimuth 6	Pendage/ Plongée 6	Réf. 6	Type de structure 7	Azimuth 7	Pendage/ Plongée 7	Réf. 7	Échantillon(s)	Photo(s)
1908-4302	22-Aug-08	525971	6281089	Outcrop				Argilite	Axe de pli	90	60	Argilite													114019-22.08.08-4302/1
1908-4303	23-Aug-08	524570	6276687	Boulder																					114019-23.08.08-4303/1
1908-4304	23-Aug-08	524998	6277155	Boulder																					114019-23.08.08-4304/1
1908-4305	23-Aug-08	525263	6277494	Boulder																					114019-23.08.08-4305/1
1908-4306	23-Aug-08	525388	6277912	Boulder																					
1908-4307	23-Aug-08	525975	6278466	Boulder																					114019-23.08.08-4307/1
1908-4308	23-Aug-08	525473	627889	Outcrop	evidence de transposition de schistosité par fluage de l'argilite, la dolomie est cisailée. Effervescence modérée sur la roche et plus intense dans les veinules de calcite qui la parcourent																			1908-4308/1	114019-23.08.08-4308/1 à /4
1908-4309	23-Aug-08	525340	6278960	Outcrop																					

Tableau 7 - Tableau synoptique des traverses géologiques de Minowean 2008

No. Station géologique	Date	Coord. NAD83 Nordant	Coord. NAD83 Estant	Affurement ou Bloc	Description de(s) la lithologie(s)	Lithologie A	Couleur A	Lithologie B	Couleur B	Lithologie C	Couleur C	Lithologie D	Couleur D	Lithologie E	Couleur E	Radiomètre utilisé	Rad. Brut de fond (cps)	Rad. Max. (cps)	Altération(s)	Minéralisation(s)	Type de structure 1	Azimuth 1	Pendage/ Plongée 1	Réf. 1	Type de structure 2	Azimuth 2	Pendage/ Plongée 2	Réf. 2	Type de structure 3	Azimuth 3		
1908-4310	23-Aug-08	525296	6279108	Outcrop	Argilite avec niveau de pyrite très finement cristallisé de puissance jusqu'à pluricentimétrique. On observe également des phanômes de pyrites automorphes dans l'argilite. La roche est roche matière carbonnée, trace noir sur les doigts; Dolomie avec présence de stockwerk de calcite. Les niveaux de dolomie sont boudinés dans le plan de schistosité. On observe également le boudinage sur les niveau de pyrite massive qui donnent même des forme de book shelf;	Argilite	black	Dolomie	gray							SPP gamma					Débit en crayon (Linéation)	30	30		Argilite	Crenulation & fold	210	65		Argilite	Axe de pli	310
1908-5056	12-Jul-08	529262	6251708	Outcrop	Grains très fin. Les quartz sont angulaires et les feldspaths sont arrondis. Peut-être des sédiments éoliens.	Sandstone	Gris à noir									SPP2	45	55	Limonite alteration: En taches orangées	Minéraux: Dolomite 30% , Feldspath plagioclase 40%, Quartz noir 30% L'affairement n'est pas d'une qualité très bonne.	Schistosité	300	53		Sandstone							
1908-5057	12-Jul-08	528674	6251089	Outcrop	Veines de quartz centimétriques présentes. Veines et taches noire sembleraient être du graphite. La brèche est composée de fragments de dolomie et de graphite en taches. Cassures du à des fluides sont présentes.	Brèche tectonique (matrix-support)	Gris à noir									SPP2	10	20	Limonite alteration: Couleur orangée. surface altérée: charnois à noir	Minéraux: Dolomite 70% Quartz 10% Graphite 15%												
1908-5058	12-Jul-08	529368	6251073	Outcrop		Grès quartzeux	Noir									SPP2	30	55	Limonite alteration: Surface altérée: brun pâle à gris. Orangé sur des taches	Minéraux: Quartz 55% Matrice siliceuse 20% Quartz noir 5%, 20% micas (botille)												
1908-5059	12-Jul-08	529784	6251160	Outcrop	Matrice semble être mafique ou peut-être siliceuse noire. Quelques petites veines de quartz sont présentes.	Grès quartzeux	Noir									SPP2	25	30	Limonite alteration: Orangé sur des taches. Surface altérée: brun pâle à gris.	Minéraux: Quartz 70% Matrice mafique ou siliceuse noire 30%.												
1908-5060	12-Jul-08	529963	6250997	Outcrop	Matrice semble être mafique ou peut-être siliceuse noire. Quelques petites veines de quartz sont présentes. L'affairement présente des strates en étage qui font penser à différentes couches d'un pli.	Grès quartzeux	Noir									SPP2	20	25	Limonite alteration: Orangé sur des taches. Surface altérée: brun pâle à gris.	Minéraux: Quartz 70% Matrice mafique ou siliceuse noire 30%. Photos: 114019-12juillet2008-19-08-5060-VueGénéraleAffiurementCouchesPis.jpg et 114019-12juillet2008-19-08-5060-VueGénéraleAffiurementCouchesPis2.jpg	Bedding	8	14		Grès quartzeux							
1908-5061	13-Jul-08	529506	6252796	Outcrop	Grès quartzeux: Veines de quartz présentes. Les morceaux noirs au travers des quartz blanc sont des quartz noirs; Grès dolomitique: À matrice dolomitique mais quartzeux quand même. En morceaux anguleux dans la brèche tectonique. 70% grains 30% de matrice; Brèche tectonique (matrix-support): Les morceaux sont de 10cm de diamètre. Avec veines de quartz multi-directionnelles.	Grès quartzeux	Gris foncé	Grès dolomitique	Gris foncé	Brèche tectonique (matrix-support)	Gris foncé						SPP2	20	25	Grès quartzeux: Undefined, surface altérée: charnois à noir; Grès dolomitique: Undefined; Brèche tectonique (matrix-support): Undefined, brun pâle à noir.	Minéraux: Grès fin quartzeux :70% quartz , 30% matrice noire (quartz noir.) Grès quartzeux à matrice dolomitique: 70% quartz 20% dolomite et 10% quartz noir Brèche tectonique: grès matrice dolomitique dans grès fin quartzeux. 1 photo : 1											
1908-5062	13-Jul-08	529544	6252833	Outcrop	Veines de quartz présentes. Les morceaux noirs au travers des quartz blanc sont des quartz noirs.	Grès quartzeux	Gris foncé									SPP2	20	25	Limonite alteration: Orangé en taches. Surface altérée: charnois à noir.	Minéraux: Grès fin quartzeux : 70% quartz , 30% matrice noire (quartz noire.) 1 photo du plan de faille: 114019-13juillet08-19-08-5061-Contact2LithoFailleNormaleEtDextre.jpg	fault	298	72		Grès quartzeux	Stries	118	25		Grès quartzeux		



Tableau 7 - Tableau synoptique des traverses géologiques de Minowean 2008

No. Station géologique	Date	Coord. NAD83 Nordant	Coord. NAD83 Estant	Affleurement ou Bloc	Description de(s) la lithologie(s)	Pendage/ Plongée 3	Réf. 3	Type de structure 4	Azimuth 4	Pendage/ Plongée 4	Réf. 4	Type de structure 5	Azimuth 5	Pendage/ Plongée 5	Réf. 5	Type de structure 6	Azimuth 6	Pendage/ Plongée 6	Réf. 6	Type de structure 7	Azimuth 7	Pendage/ Plongée 7	Réf. 7	Échantillon(s)	Photo(s)
1908-4310	23-Aug-08	525296	6279108	Outcrop	Argilite avec niveau de pyrite très finement cristallisé de puissance jusqu'à pluricentimétrique. On observe également des phanômes de pyrites automorphes dans l'argilite. La roche est roche matière carbonnée, trace noir sur les doigts; Dolomie avec présence de stockwerk de calcite. Les niveaux de dolomie sont boudinés dans le plan de schistosité. On observe également le boudinage sur les niveau de pyrite massive qui donnent même des forme de book shelf;	50	Argilite	Fold	240	60	Dolomie	Axe de pli	280	50	Dolomie	Fold	220	60	Argilite	Axe de pli	350	50	Argilite	1908-4310/1, /2, /3 & /4	114019-23.08.08-4310/1 à /13
1908-5056	12-Jul-08	529282	6251708	Outcrop	Grains très fin. Les quartz sont angulaires et les feldspaths sont arrondis. Peut-être des sédiments éoliens.																			1908-5056/1	
1908-5057	12-Jul-08	528674	6251089	Outcrop	Veines de quartz centimétriques présentes. Veines et taches noire sembleraient être du graphite. La brèche est composée de fragments de dolomie et de graphite en taches. Cassures du à des fluides sont présentes.																			1908-5057/1	
1908-5058	12-Jul-08	529368	6251073	Outcrop																				1908-5058/1	
1908-5059	12-Jul-08	529784	6251160	Outcrop	Matrice semble être mafique ou peut-être siliceuse noire. Quelques petites veines de quartz sont présentes.																				
1908-5060	12-Jul-08	529963	6250997	Outcrop	Matrice semble être mafique ou peut-être siliceuse noire. Quelques petites veines de quartz sont présentes. L'affleurement présente des strates en étage qui font penser à différentes couches d'un pli.																				114019-12juillet2008-19-08-5060/1 & /2
1908-5061	13-Jul-08	529506	6252796	Outcrop	Grès quartzeux: Veines de quartz présentes. Les morceaux noirs au travers des quartz blanc sont des quartz noirs; Grès dolomitique: À matrice dolomitique mais quartzeux quand même. En morceaux anguleux dans la brèche tectonique. 70% grains 30% de matrice; Brèche tectonique (matrix-support): Les morceaux sont de 10cm de diamètre. Avec veines de quartz multi-directionnelles.																			1908-5061/1 & /2	114019-13juillet08-19-08-5061/1 & /2
1908-5062	13-Jul-08	529544	6252833	Outcrop	Veines de quartz présentes. Les morceaux noirs au travers des quartz blanc sont des quartz noirs.																				

Tableau 7 - Tableau synoptique des traverses géologiques de Minowean 2008

No. Station géologique	Date	Coord. NAD83 Nordant	Coord. NAD83 Estant	Affleurement ou Bloc	Description de(s) la lithologie(s)	Lithologie A	Couleur A	Lithologie B	Couleur B	Lithologie C	Couleur C	Lithologie D	Couleur D	Lithologie E	Couleur E	Radiomètre utilisé	Rad. Brut de fond (cps)	Rad. Max. (cps)	Altération(s)	Minéralisation(s)	Type de structure 1	Azimuth 1	Pendage/ Plongée 1	Réf. 1	Type de structure 2	Azimuth 2	Pendage/ Plongée 2	Réf. 2	Type de structure 3	Azimuth 3	
1908-5063	13-Jul-08	529725	6253216	Outcrop	Les morceaux de chert rouge semblent assez anguleux et la magnétite se présente en veinules et semble former la matrice de cette brèche. Les fragments peuvent être arrondis aussi. On remarque que les feldspaths sont près des chert.	Brèche tectonique (matrix-support)	gris charcoai à rouge									SPP2	20	25	Limonite alteration: Orangé à noir	Au contact du Groupe de Montagnais Minéraux: hématite (15%), magnétite (30%), chert rouge (25%), quartz (10%), calcite (10%) et feldspaths (10%). La roche a été broyé d'abord puis cimenté par de la magnétite. Les fragments vont de granules											
1908-5064	13-Jul-08	530253	6253184	Outcrop	Se débite en feuillets. Veines de quartz sont présentes à certains endroits sur l'affleurement.	Siltstone	Noire									SPP2	60	75	Limonite alteration: Taches orangées	Minéraux: Indiscernables											
1908-5065	13-Jul-08	530820	6253285	Outcrop	Se débite en feuillets. Veines de quartz sont présentes à certains endroits sur l'affleurement.	Siltstone	Noire									SPP2	55	60	Limonite alteration: Taches orangées	Minéraux: Indiscernables											
1908-5066	15-Jul-08	529097	6251136	Outcrop	La brèche contient un grès quartzeux, des morceaux de dolomie, des plages de quartz noir, des plages de graphite et des veines de plagioclase de couleur crème. La brèche contient aussi des morceaux de quartzite. La dolomie est fine.	Brèche tectonique (matrix-support)	Gris foncé									SPP gamma	15	25	Limonite alteration: Surface altérée: brun à noir	Morceaux de roches dans la brèche: 30% dolomie, 15% quartz, 15% graphite, 35% grès et 5% plagio. Le grès quartzueux est à grains fins et a des grains subarrondis et subanguleux. L'affleurement ressemble à un pli (forme de demi-cylindre)											
1908-5067	15-Jul-08	529257	6251139	Outcrop	Très fin et dolomitique.	Grès quartzueux	Noir									SPP gamma	15	25	Limonite alteration: Couleur altérée: brun à orangé	Minéraux: Dolomite 20%, quartz 50% 30% matrice siliceuse											
1908-5068	15-Jul-08	529328	6250661	Outcrop	Dolomitique aussi. 70% clastes et 30% de matrice	Grès quartzueux	Gris									SPP gamma	15	25	Limonite alteration: Couleur altérée: noir à brun orangé	L'affleurement fait le tour d'une presqu'île en bordure d'un lac. Il y a des synformes de chaque côté de l'anticlinal mais ils tombent dans le lac. À la pointe le pli change de direction et de pendage. Minéraux: 60% quartz, 20% dolomite,	Anticline (f1)	214	23	Grès quartzueux	Anticline (f1)	300	30	Grès quartzueux	Anticline (f1)	30	
1908-5069	15-Jul-08	529325	6251194	Outcrop	Et dolomitique. Veines de chlorite aussi dans la roche. 70% claste et 30% de matrice.	Grès quartzueux	Gris									SPP gamma	15	30	Limonite alteration: Couleur altérée: brun orangée et chamois	Minéraux: 70% quartz, 20% matrice siliceuse, 10% de dolomite et trace de chlorite.											
1908-5070	15-Jul-08	529149	6251258	Outcrop	Et dolomitique. Veines de chlorite aussi dans la roche. 70% claste et 30% de matrice. Veines de plagioclases sont aussi présente de 2 à 3 cm d'épais.	Grès quartzueux	Gris									SPP gamma	15	25	Limonite alteration: Couleur altérée: brun orangée et chamois	Minéraux: 70% quartz, 20% matrice siliceuse, 10% de dolomite et trace de chlorite.											
1908-5092	19-Jul-08	527496	6251803	Outcrop		Gabbro	Gris verdâtre									SPP gamma	5	15	Limonite alteration: Brun orangée en surface altérée	Minéraux: Olivine 10%, Serpentine 25%, talc 10%, plagio 55%.	Schistosité	347	90	Gabbro							
1908-5093	19-Jul-08	527928	6251342	Outcrop	Présence de veines de calcite et de calcite un peu autour des grains.	Gabbro	Gris verdâtre									SPP gamma	5	35	Limonite alteration: Couleur surface altérée: brun orangé	Minéraux: Plagio 65%, Calcite 15%, Serpentine 15%, micas blancs 5%, pyrite en trace											

Tableau 7 - Tableau synoptique des traverses géologiques de Minowean 2008

No. Station géologique	Date	Coord. NAD83 Nordant	Coord. NAD83 Estant	Affleurement ou Bloc	Description de(s) la lithologie(s)	Pendage/ Plongée 3	Réf. 3	Type de structure 4	Azimuth 4	Pendage/ Plongée 4	Réf. 4	Type de structure 5	Azimuth 5	Pendage/ Plongée 5	Réf. 5	Type de structure 6	Azimuth 6	Pendage/ Plongée 6	Réf. 6	Type de structure 7	Azimuth 7	Pendage/ Plongée 7	Réf. 7	Échantillon(s)	Photo(s)	
1908-5063	13-Jul-08	529725	6253216	Outcrop	Les morceaux de chert rouge semblent assez anguleux et la magnétite se présente en veinules et semble former la matrice de cette brèche. Les fragments peuvent être arrondis aussi. On remarque que les feldspaths sont près des chert.																			1908-5063/1		
1908-5064	13-Jul-08	530253	6253184	Outcrop	Se débite en feuillets. Veines de quartz sont présentes à certains endroits sur l'affleurement.																					
1908-5065	13-Jul-08	530820	6253285	Outcrop	Se débite en feuillets. Veines de quartz sont présentes à certains endroits sur l'affleurement.																					
1908-5066	15-Jul-08	529097	6251136	Outcrop	La brèche contient un grès quartzeux, des morceaux de dolomie, des plages de quartz noir, des plages de graphite et des veines de plagioclase de couleur crème. La brèche contient aussi des morceaux de quartzite. La dolomie est fine.																					
1908-5067	15-Jul-08	529257	6251139	Outcrop	Très fin et dolomitique.																				1908-5067/1	
1908-5068	15-Jul-08	529328	6250681	Outcrop	Dolomitique aussi. 70% clastes et 30% de matrice	30	Grès quartzeux	Axe de pli	214	2	Grès quartzeux	Axe de pli	30	7	Grès quartzeux	Anticline (f1)	20	45	Grès quartzeux	Anticline (f1)	190	24	Grès quartzeux		114019-15juillet2008-19-08-5068/1 à /4	
1908-5069	15-Jul-08	529325	6251194	Outcrop	Et dolomitique. Veines de chlorite aussi dans la roche. 70% claste et 30% de matrice.																				1908-5069/1	
1908-5070	15-Jul-08	529149	6251258	Outcrop	Et dolomitique. Veines de chlorite aussi dans la roche. 70% claste et 30% de matrice. Veines de plagioclases sont aussi présente de 2 à 3 cm d'épais.																					
1908-5092	19-Jul-08	527496	6251803	Outcrop																					1908-5092/1	
1908-5093	19-Jul-08	527928	6251342	Outcrop	Présence de veines de calcite et de calcite un peu autour des grains.																				1908-5093/1	



Tableau 7 - Tableau synoptique des traverses géologiques de Minowean 2008

No. Station géologique	Date	Coord. NAD83 Nordant	Coord. NAD83 Estant	Affleurement ou Bloc	Description de(s) la lithologie(s)	Lithologie A	Couleur A	Lithologie B	Couleur B	Lithologie C	Couleur C	Lithologie D	Couleur D	Lithologie E	Couleur E	Radiomètre utilisé	Rad. Brut de fond (cps)	Rad. Max. (cps)	Altération(s)	Minéralisation(s)	Type de structure 1	Azimuth 1	Pendage/Plongée 1	Réf. 1	Type de structure 2	Azimuth 2	Pendage/Plongée 2	Réf. 2	Type de structure 3	Azimuth 3
1908-5094	19-Jul-08	528020	6251318	Outcrop	Présence de veines de calcite et de calcite un peu autour des grains.	Gabbro	Gris verdâtre									SPP gamma	5	15	Limonite alteration: Couleur surface altérée: brun orangé	Minéraux: Plagio 65%, Calcite 15%, Serpentine 15%, micas blancs 5%, pyrite en trace										
1908-5095	19-Jul-08	527790	6250918	Outcrop	Présence de veines de calcite et de calcite un peu autour des grains.	Gabbro	Gris verdâtre									SPP gamma	10	15	Limonite alteration: Couleur surface altérée: brun orangé	Minéraux: Plagio 65%, Calcite 15%, Serpentine 15%, micas blancs 5%, pyrite en trace										
1908-5096	19-Jul-08	527724	6250875	Outcrop		Gabbro	Gris verdâtre									SPP gamma	5	10	Limonite alteration: Brun orangée en surface altérée	Minéraux: Olivine 10%, Serpentine 35%, talc 10%, plagio 45%										
1908-5097	19-Jul-08	527847	6250783			Gabbro	Gris verdâtre									SPP gamma	5	10	Limonite alteration: Brun orangée en surface altérée	Minéraux: Olivine 10%, Serpentine 25%, talc 10%, plagio 55%										
1908-6013	11-Jul-08	528877	6253601	Outcrop	Gabbro Px-Pl porphyritique, matrice homogène, pyrite dessiminé	Gabbro	Gris-vert									SPP gamma		20	Pyrite alteration		Fracture	282	46	Gabbro	Fracture	255	66	Gabbro	Banding/Platy Alignment	170
1908-6014	11-Jul-08	529055	6253635	Outcrop	arénite quartzeuse	Sandstone	Gris-clair avec fines couches gris foncé									SPP gamma		18	Taches et bandes irrégulières de silification couleur blanc											
1908-6015	11-Jul-08	529056	6253692	Outcrop		Arénite quartzeuse	Gray									SPP gamma		16	Pyrite alteration		Shear zone	182	90	Arénite quartzeuse	Shear zone	225	90	Arénite quartzeuse	Bedding	140
1908-6016	11-Jul-08	528661	6253756	Outcrop	Grès quartzeux et dolomitiques	Sandstone	Gris foncé (Qz) et gris clair (Do)									SPP gamma		28			Bedding	306	31	Sandstone						
1908-6017	11-Jul-08	528675	6253682	Outcrop	Px-Pl	Basalte	Gray									SPP gamma		17												
1908-6018	11-Jul-08	528754	6253721	Outcrop	Px-PL filons-couches bien développés avec le litage S0	Gabbro	Gray									SPP gamma		20			Bedding	75	42	Gabbro	Fault	352	78	Gabbro	Stries	180
1908-6019	11-Jul-08	528766	6253733	Outcrop	Px-Pl, en filons-couches	Gabbro	Gray									SPP gamma		20			Bedding	70	41	Gabbro	Fault	75	34	Gabbro	Stries	163
1908-6020	11-Jul-08	528804	6253760	Outcrop	Lamination parallèle fine	Dolomite	Gris foncé									SPP gamma		20	Carbonatization (veines)		Bedding	351	14	Dolomite						
1908-6021	11-Jul-08	528416	6253827	Outcrop	Grès quartzeux dolomitiques, lamination oblique; brèche, dolomie	Sandstone										SPP gamma		20			Bedding	264	54	Sandstone						
1908-6022	11-Jul-08	529043	6253103	Outcrop	Sandstone: Grès quartzeux, matrice dolomitique, lamination oblique; Brèche: Fragments de grès quartzeux	Sandstone	Light brownish gray	Siltstone	black	Breccia	gray					SPP gamma		55	Sandstone et brèche: Pyrite alteration; Brèche: Veine Quartz, hématite, calcite		Bedding Overturned	8	50	Sandstone	Fault	142	44	Sandstone	Stries	136
1908-6023	12-Jul-08	527751	6255411	Outcrop	Sandstone: Arénite quartzeuse, lamination entrecroisée et oblique; Brèche hydrolique de grès dans le ciment de grès carbonaté	Sandstone	Dark gray	Breccia	Clastes gris foncés, matrice gris clair							SPP gamma		5000			Bedding Overturned	305	65	Sandstone	Fracture	275	72	Sandstone	Fracture	275
1908-6024	12-Jul-08	527743	6255433	Outcrop	Arénite quartzeuse, lamination oblique,	Sandstone	Dark gray									SPP gamma		14	Veines de carbonate											
1908-6025	12-Jul-08	527748	6255409	Outcrop		Sandstone	Dark gray									SPP gamma		3425	Carbonatization dans le ciment		Bedding Overturned	315	56	Sandstone	Fracture	258	62	Sandstone		
1908-6026	12-Jul-08	527760	6255461	Outcrop	Banc de grès 1.5 m, lamination entrecroisée	Sandstone	Dark gray									SPP gamma		18	Carbonatization veine (30 cm d'épaisseur) de carbonate massif, gris clair, blanchâtre sur la surface altérée		Veine	34	16	Sandstone						
1908-6027	12-Jul-08	527830	6255507	Outcrop	arénite quartzeuse ciment légèrement dolomitique, bancs épais 60-70 cm-1m, lamination oblique	Sandstone	Medium gray									SPP gamma		24	Carbonatization dans le ciment		Bedding Overturned	312	62	Sandstone	Joint	125	22	Sandstone		

Tableau 7 - Tableau synoptique des traverses géologiques de Minowean 2008

No. Station géologique	Date	Coord. NAD83 Nordant	Coord. NAD83 Estant	Affleurement ou Bloc	Description de(s) la lithologie(s)	Pendage/ Plongée 3	Réf. 3	Type de structure 4	Azimuth 4	Pendage/ Plongée 4	Réf. 4	Type de structure 5	Azimuth 5	Pendage/ Plongée 5	Réf. 5	Type de structure 6	Azimuth 6	Pendage/ Plongée 6	Réf. 6	Type de structure 7	Azimuth 7	Pendage/ Plongée 7	Réf. 7	Échantillon(s)	Photo(s)
1908-5094	19-Jul-08	526020	6251318	Outcrop	Présence de veines de calcite et de calcite un peu autour des grains.																				
1908-5095	19-Jul-08	527790	6250918	Outcrop	Présence de veines de calcite et de calcite un peu autour des grains.																				
1908-5096	19-Jul-08	527724	6250875	Outcrop																					
1908-5097	19-Jul-08	527847	6250783																						
1908-6013	11-Jul-08	528877	6253601	Outcrop	Gabbro Px-Pl porphyritique, matrice homogène, pyrite dessiminé	90	Gabbro	Fracture	128	90	Gabbro													1908-6013/1	114019-11juillet2008-1908-6013/1 & /2
1908-6014	11-Jul-08	529055	6253635	Outcrop	arénite quartzeuse																				114019-11juillet2008-1908-6014/1 à /4
1908-6015	11-Jul-08	529056	6253692	Outcrop				Arénite quartzeuse																1908-6015/1 & /2	114019-11juillet2008-1908-6015/1 à /5
1908-6016	11-Jul-08	528681	6253756	Outcrop	Grès quartzeux et dolomitiques																				
1908-6017	11-Jul-08	528675	6253682	Outcrop	Px-Pl																			1909-6017/1	114019-11juillet2008-1908-6017/1 à /3
1908-6018	11-Jul-08	528754	6253721	Outcrop	Px-PL filons-couches bien développés avec le litage S0	52	Gabbro																		114019-11juillet2008-1908-6018/1 à /3
1908-6019	11-Jul-08	528766	6253733	Outcrop	Px-Pl, en filons-couches	17	Gabbro	Fault	85	41	Gabbro	Stries	172	8	Gabbro										114019-11juillet2008-1908-6019/1 à /3
1908-6020	11-Jul-08	528804	6253760	Outcrop	Lamination parallèle fine																			1908-6020/1	114019-11juillet2008-1908-6020/1
1908-6021	11-Jul-08	528416	6253827	Outcrop	Grès quartzeux dolomitiques, lamination oblique; brèche, dolomie																				114019-11juillet2008-1908-6021/1 à /5
1908-6022	11-Jul-08	529043	6253103	Outcrop	Sandstone: Grès quartzeux, matrice dolomitique, lamination oblique; Brèche: Fragments de grès quartzeux	44	Sandstone	Fault	2	30	Sandstone	Stries	77	77	Sandstone									1908-6022/1 & /2	114019-11juillet2008-1908-6022/1 à /10
1908-6023	12-Jul-08	527751	6255411	Outcrop	Sandstone: Arénite quartzeuse, lamination entrecroisée et oblique; Brèche hydrolique de grès dans le ciment de grès carbonaté	60	Sandstone & breccia																	1908-6023/1	114019-12juillet2008-1908-6023/1 à /9
1908-6024	12-Jul-08	527743	6255433	Outcrop	Arénite quartzeuse, lamination oblique.																				
1908-6025	12-Jul-08	527748	6255409	Outcrop																				1908-6025/1 & /2	114019-12juillet2008-1908-6025/1 à /3
1908-6026	12-Jul-08	527760	6255461	Outcrop	Banc de grès 1.5 m, lamination entrecroisée																				114019-12juillet2008-1908-6026/1
1908-6027	12-Jul-08	527830	6255507	Outcrop	arénite quartzeuse ciment légèrement dolomitique, bancs épais 60-70 cm-1m, lamination oblique																				114019-12juillet2008-1908-6027/1



Tableau 7 - Tableau synoptique des traverses géologiques de Minowean 2008

No. Station géologique	Date	Coord. NAD83 Nordant	Coord. NAD83 Estant	Affleurement ou Bloc	Description de(s) la lithologie(s)	Lithologie A	Couleur A	Lithologie B	Couleur B	Lithologie C	Couleur C	Lithologie D	Couleur D	Lithologie E	Couleur E	Radiomètre utilisé	Rad. Brut de fond (cps)	Rad. Max. (cps)	Altération(s)	Minéralisation(s)	Type de structure 1	Azimuth 1	Pendage/ Plongée 1	Réf. 1	Type de structure 2	Azimuth 2	Pendage/ Plongée 2	Réf. 2	Type de structure 3	Azimuth 3	
1908-6028	12-Jul-08	527857	6255532	Outcrop	Sandstone: Grès quartzeux contient fines couches d'arénite quartzreuse; lamination oblique; Brèche hydraulique de grès quartzeux dolomitiques dans la matrice carbonatée, galets et cailloux de grès anguleux, non-triés	Sandstone	Gris clair arénite	Breccia	Clastes, gris clair - ciment							SPP gamma		3500	Sandstone: carbonatation, taches et veines de carbonate d'une forme irrégulière; Brèche: Carbonatation		Bedding	304	62	Sandstone	Veine	182	60	Sandstone	Shear zone	170	
1908-6029	12-Jul-08	528008	6255637	Outcrop	Arénite quartzreuse, lamination fine parallèle	Sandstone	Light gray, qq couches de gris foncé									SPP gamma		20			Bedding	334	66	Sandstone	Veine	300	29	Sandstone			
1908-6030	12-Jul-08	528037	6255646	Outcrop	À grain moyen-grossier	Sandstone	Dark gray									SPP gamma		20			Fault	352	60	Sandstone	Stries	100	48	Sandstone			
1908-6031	12-Jul-08	528116	6255706	Outcrop	Sandstone: Contient des grains de quartz très foncé, presque noir, transparent; Siltstone: Greenish gray	Sandstone	Dark gray	Siltstone	Greenish gray							SPP gamma		107			Bedding	315	44		Fracture	312	75		Fracture	210	
1908-6032	12-Jul-08	527770	6255585	Outcrop	Grès quartzeux dolomitique, lamination oblique	Sandstone										SPP gamma		20													
1908-6033	12-Jul-08	527727	6255550	Outcrop	Grès quartzeux, bancs 15-25 cm	Sandstone	Medium gray									SPP gamma		20	Chloritisation, linses de clorite dans la matrice		Bedding	310	68	Sandstone	Veine	352	8	Sandstone			
1908-6034	12-Jul-08	527685	6255523	Outcrop	Sandstone: Grès quartzeux dolomitique, lamination oblique; Conglomérat contient des fragments tabulaires de couches (1-2 cm x 5x7 cm) de grès dolomitique dans les grès quartzeux, forme un horizon (25-30 cm) dans la matrice (50%) les grès quartzeux	Sandstone	Light gray	Conglomerate	Light gray: fragments, dark gray ciment							SPP gamma		25	Sandstone: carbonatation dans le ciment		Bedding Overturned	328	70	Sandstone	Veine	300	30	Sandstone			
1908-6035	12-Jul-08	527671	6255571	Outcrop	Sandstone: Grès quartzeux dolomitique; Conglomérat contient des fragments abulaires de couches (1-2 cm x 5x7 cm) de grès dolomitique dans les grès quartzeux, forme un horizon (15-20 cm) dans la matrice (50%) les grès quartzeux	Sandstone	Dark gray	Conglomerate	Light gray: fragments, dark gray matrix							SPP gamma		17			Bedding	350	46	Sandstone	Veine	232	68	Sandstone			
1908-6036	12-Jul-08	527665	6255591	Outcrop	Grès quartzeux	Sandstone	Dark gray									SPP gamma		25			Bedding	350	46	Sandstone	Veine	232	68	Sandstone			
1908-6037	12-Jul-08	527756	6255691	Outcrop	Grès quartzeux	Sandstone	Dark gray									SPP gamma		40000			Bedding	335	55	Sandstone	Shear zone Wide	340	60	Sandstone	Fracture	295	
1908-6038	13-Jul-08	527583	6255657	Outcrop	Grès quartzeux	Sandstone	Dark gray									SPP gamma		45			Fault	318	44	Sandstone	Stries	120	27	Sandstone			
1908-6039	13-Jul-08	527660	6255815	Outcrop	Sandstone: Grès quartzeux, lamination oblique et parallèle; Brèche à cailloux avec les fragments anguleux de dolomie et de grès dolomitique dans la matrice de grès quartzeux carbonatés à grain moyen, matrice 10-15% pyrite et, grains de quartz noir dissimulés dans la matrice; Sandstone laminated: Lamination parallèle, au-dessus de la brèche	Sandstone	Dark gray: grès, light gray - bandes de grès carbonatés	Breccia	Dark gray: matrice, gris clair fragments	Sandstone laminated	Medium gray						SPP gamma		20	Sandstone: Carbonatation, bandes (1-2 cm) de grès avec la matrice carbonatée, % de matrice élevé; Brèche: Pyrite alteration		Bedding Overturned	339	77	Sandstone	Veine	264	90	Sandstone	Veine	70
1908-6040	13-Jul-08	527704	6255818	Outcrop	Sandstone: Grès quartzeux, fins (nm) niveaux noirs de concentration de grains de quartz noir; Brèche fragments (4-7 cm) anguleux de grès dolomitique, ciment de grès des grains de quartz noir, enrichi en charbon, contient la minéralisation de uranopillite (?), liée à l'anomalie gamma 800 cps	Sandstone	Light gray: légèrement beige	Breccia	Light gray: fragments, noir, rouille, jaune vil (citron) ciment							SPP gamma		800	Sandstone: Carbonatation dans le ciment, distribution hétérogène; Brèche: Matière de charbon		Veine	118	35	Sandstone							
1908-6041	13-Jul-08	527763	6255822	Outcrop	Sandstone: Grès quartzeux; Brèche de fragments (1-4 cm) anguleux de grès quartzeux dans le ciment silicifié, épaisseur de niveaux de brèche 2-5 cm	Sandstone	Dark gray	Breccia	Light gray et blanc, fragments noirs							SPP gamma		20	Brèche: Silicification dans le ciment		Breccia zone	2		Breccia							
1908-6042	13-Jul-08	527806	6255799	Outcrop	Grès quartzeux, grain de pyrite altérée en chemise rouge	Sandstone	Dark gray									SPP gamma		20			Fault	253	50	Sandstone	Stries	90	40	Sandstone			
1908-6043	13-Jul-08	527800	6255858	Outcrop		Sandstone	Dark gray									SPP gamma		20													



Tableau 7 - Tableau synoptique des traverses géologiques de Minowean 2008

No. Station géologique	Date	Coord. NAD83 Nordant	Coord. NAD83 Estant	Affleurement ou Bloc	Description de(s) la lithologie(s)	Pendage/ Plongée 3	Réf. 3	Type de structure 4	Azimuth 4	Pendage/ Plongée 4	Réf. 4	Type de structure 5	Azimuth 5	Pendage/ Plongée 5	Réf. 5	Type de structure 6	Azimuth 6	Pendage/ Plongée 6	Réf. 6	Type de structure 7	Azimuth 7	Pendage/ Plongée 7	Réf. 7	Échantillon(s)	Photo(s)
1908-6028	12-Jul-08	527857	6255532	Outcrop	Sandstone: Grès quartzeux contient fines couches d'arénites quartzenses; lamination oblique; Brèche hydraulique de grès quartzeux dolomitiques dans la matrice carbonatée, galets et cailloux de grès anguleux, non-triés	68	Sandstone																	1908-6028/1 /2 & /3	114019-12juillet2008-1908-6028/1 à /10
1908-6029	12-Jul-08	528008	6255537	Outcrop	Arénite quartzeuse, lamination fine parallèle																				114019-12juillet2008-1908-6029/1 & /2
1908-6030	12-Jul-08	528037	6255646	Outcrop	À grain moyen-grossier																			1908-6030/1	114019-12juillet2008-1908-6030/1 à /6
1908-6031	12-Jul-08	528116	6255706	Outcrop	Sandstone: Contient des grains de quartz très foncé, presque noir, transparent; Siltstone: Greenish gray	82																			114019-12juillet2008-1908-6031/1 à /5
1908-6032	12-Jul-08	527770	6255585	Outcrop	Grès quartzeux dolomitique, lamination oblique																				
1908-6033	12-Jul-08	527727	6255550	Outcrop	Grès quartzeux, bancs 15-25 cm																				114019-12juillet2008-1908-6033/1 à /3
1908-6034	12-Jul-08	527685	6255523	Outcrop	Sandstone: Grès quartzeux dolomitique, lamination oblique; Conglomérat contient des fragments tabulaires de couches (1-2 cm x 5x7 cm) de grès dolomitique dans les grès quartzeux, forme un horizon (25-30 cm) dans la matrice (50%) les grès quartzeux																				114019-12juillet2008-1908-6034/1 à /3
1908-6035	12-Jul-08	527671	6255571	Outcrop	Sandstone: Grès quartzeux dolomitique; Conglomérat contient des fragments abulaires de couches (1-2 cm x 5x7 cm) de grès dolomitique dans les grès quartzeux, forme un horizon (15-20 cm) dans la matrice (50%) les grès quartzeux																				114019-12juillet2008-1908-6035/1 & /2
1908-6036	12-Jul-08	527665	6255591	Outcrop	Grès quartzeux																				114019-12juillet2008-1908-6036/1
1908-6037	12-Jul-08	527756	6255691	Outcrop	Grès quartzeux	54	Sandstone	Veine	120	73	Sandstone	Veine	40	73	Sandstone	Fault	284	36	Sandstone	Stries	75	15	Sandstone	1908-6037/1 & /2	114019-12juillet2008-1908-6037/1 à /7
1908-6038	13-Jul-08	527583	6255657	Outcrop	Grès quartzeux																				114019-13juillet2008-1908-6038/1 à /5
1908-6039	13-Jul-08	527660	6255815	Outcrop	Sandstone: Grès quartzeux, lamination oblique et parallèle; Brèche à cailloux avec les fragments anguleux de dolomie et de grès dolomitique dans la matrice de grès quartzeux carbonatés à grain moyen, matrice 10-15% pyrite et, grains de quartz noir dissimulés dans la matrice; Sandstone laminated: Lamination parallèle, au-dessus de la brèche	78	Sandstone																	1908-6039/1 & /3	114019-13juillet2008-1908-6039/1 à /4
1908-6040	13-Jul-08	527704	6255818	Outcrop	Sandstone: Grès quartzeux, fins (mm) niveaux noirs de concentration de grains de quartz noir; Brèche fragments (4-7 cm) anguleux de grès dolomitique, ciment de grès des grains de quartz noir, enrichi en charbon, contient la minéralisation de uranopillite (?), liée à l'anomalie gamma 800 cps																			1908-6040/1 & /2	114019-13juillet2008-1908-6040/1 à /4
1908-6041	13-Jul-08	527763	6255822	Outcrop	Sandstone: Grès quartzeux; Brèche de fragments (1-4 cm) anguleux de grès quartzeux dans le ciment silicifié, épaisseur de niveaux de brèche 2-5 cm																			1908-6041/1	114019-13juillet2008-1908-6041/1 à /7
1908-6042	13-Jul-08	527806	6255709	Outcrop	Grès quartzeux, grain de pyrite attérrée en chemise rouge																				114019-13juillet2008-1908-6042/1 & /2
1908-6043	13-Jul-08	527800	6255858	Outcrop																					

Tableau 7 - Tableau synoptique des traverses géologiques de Minowean 2008

No. Station géologique	Date	Coord. NAD83 Nordant	Coord. NAD83 Estant	Affleurement ou Bloc	Description de(s) la lithologie(s)	Lithologie A	Couleur A	Lithologie B	Couleur B	Lithologie C	Couleur C	Lithologie D	Couleur D	Lithologie E	Couleur E	Radiomètre utilisé	Rad. Brut de fond (cps)	Rad. Max. (cps)	Altération(s)	Minéralisation(s)	Type de structure 1	Azimuth 1	Pendage/ Plongée 1	Réf. 1	Type de structure 2	Azimuth 2	Pendage/ Plongée 2	Réf. 2	Type de structure 3	Azimuth 3	
1908-6044	13-Jul-08	527903	6255922	Outcrop	Arénite quartzeuse	Sandstone	Dark gray									SPP gamma		34			Bedding	328	68	Sandstone	Veine	125	3	Sandstone			
1908-6045	13-Jul-08	527978	6255846	Outcrop	Arénite quartzeuse, pyrite altérée en chemise rouge	Sandstone	Dark gray									SPP gamma		30													
1908-6046	14-Jul-08	525392	6258023	Outcrop	Grès quartzeux dolomitique (ciment carbonaté réagit à l'acide), grains quartz noirs; lamination oblique; Brèche de grès quartzeux dolomitiques dans la matrice de dolomie, veines de dolomie pénètrent par les fractures et puis propagent dans le grès avec les marges irrégulières, grès ciment dolomitique 15-20%; pyrite dessiminée; Dolomie, veines de dolomie pénètrent par les fractures et puis propagent dans le grès avec les marges irrégulières.	Sandstone	Medium gray	Breccia	Light brownish gray : ciment, gris moyen clastes	Dolomite	Light brownish gray :					SPP gamma		12		Sandstone: Carbonatation veines de dolomie gris-beige		Bedding	350	46	Sandstone	Veine	110	50	Dolomite		
1908-6047	15-Jul-08	525215	6258059	Outcrop	Grès quartzeux à ciment carbonaté (30-35%), lamination entrecroisée, contiennent les blocs de dolomie gris très foncé 40 cm diamètre avec des limites irrégulières	Sandstone	Medium gray									SPP gamma		20		Carbonatation (ciment)		Fault	240	80	Sandstone	Stries	158	22	Sandstone		
1908-6048	15-Jul-08	525190	6258086	Outcrop	Grès quartzeux à cailloux avec les grains de quartz noirs et de fragments ovales bien arrondis de argillites ou de dolomie (?) noirs, ciments blanc carbonaté 15-20%	Sandstone	Medium gray									SPP gamma		20		Carbonatation (ciment)		Veine	90	85	Sandstone						
1908-6049	15-Jul-08	525221	6258151	Outcrop	Brèche de grès quartzeux et de dolomie à ciment dolomitique à blocs; Sandstone: Grès quartzeux dolomitique (ciment carbonaté) - dans les blocs de brèche; Chert: Veine de silice noir ou rose-beige avec de pyrite dessiminée; Dolomie microcristallin beige bréchifié et cimenté par le dolomie gris	Breccia	Light brownish gray : ciment de dolomie, gris moyen fragments de grès quartzeux	Sandstone	Chert	Dolomite	Light brownish gray : beige dans les fragments et gris clair en ciment, blanc sur la surface altérée					SPP gamma		3002		Brèche: Silicification, veines de silice noire; Dolomie bréchifiée.		Fault	170	60		Stries	19	19			
1908-6050	15-Jul-08	525263	6258302	Outcrop	Sandstone: Grès quartzeux avec les grains noirs de quartz légèrement dolomitique dans le ciment; Chert amorphe avec cubes de pyrite et rélicts de grain de quartz noir, localement avec malachite; Brèche de dolomie beige remplacée par le chert noir dans les zones de fracturation	Sandstone	Medium gray	Chert	Black	Breccia	Light brownish gray :					SPP gamma		20		Sandstone: Silicification progressivement par chert noir avec rélict de grain noir de quartz		Fracture	100	49		Fracture	95	50			
1908-6051	15-Jul-08	525301	6258343	Boulder	Grès quartzeux dolomitiques, grains de quartz noirs	Sandstone										SPP gamma		10													
1908-6052	15-Jul-08	525684	6258246	Outcrop	Gabbro à grain moyen, Px, Pl	Gabbro	Grayish green									SPP gamma		15				Fracture	140	90	Gabbro						
1908-6053	15-Jul-08	529047	6253109	Outcrop	Sandstone: Grès quartzeux à ciment carbonaté, pyrite en chemise rouge (cubes), lamination oblique; Brèche mylonitique, fragments de grès quartzeux dans la matrice de grès quartzeux carbonaté à grain très fins;	Siltstone	Black	Sandstone	Medium gray	Breccia		Dolomite	Light brownish gray			SPP gamma		19				Fault zone breccia	10	44	Breccia	Fault	345	79		Fault	35
1908-6054	15-Jul-08	529015	6253067	Outcrop	Grès quartzeux schisteux	Sandstone	Medium gray									SPP gamma		12				Fault	40	68	Sandstone	Fault	310	64	Sandstone	Stries	82
1908-6055	15-Jul-08	528991	6253007	Outcrop	Sandstone: Grès quartzeux dolomitiques;	Sandstone	Medium gray	Dolomite	Light brownish gray							SPP gamma		12		Dolomie blanche sur la surface d'alteration		Fold limb	115	52	Dolomite	Fold limb	204	56	Dolomite	Fold axis	280
1908-6084	19-Jul-08	525590	6259702	Outcrop	Gabbro	Intrusive rock	Greenish gray									SPP gamma		13													
1908-6085	19-Jul-08	525647	6259899		Gabbro	Intrusive rock	Greenish gray									SPP gamma		30													
1908-6086	19-Jul-08	525687	6260703	Outcrop	Shale clivagé	Shale	black	Siltstone	Dark gray							SPP gamma		52													
1908-6087	19-Jul-08	525776	6260802	Outcrop	Shale clivagé	Shale	black									SPP gamma		50				Cleavage (s1)	157	72	Shale						
1908-6088	19-Jul-08	525783	6260891	Outcrop		Shale	black	Siltstone	Dark gray							SPP gamma		97				Bedding	116	12		Cleavage (s1)	4	82		Lineation (L1)	196
1908-6089	19-Jul-08	525849	6261013	Outcrop	Fragments de grès, dolomie, andésite, shala, pas triés, étirés, plissés dans la matrice de schistes	Conglomerate	Greenish gray									SPP gamma		20				Schistosity	182	70	Conglomerate	Shear zone	202	72	Conglomerate	Shear zone	212



Tableau 7 - Tableau synoptique des traverses géologiques de Minowean 2008

No. Station géologique	Date	Coord. NAD83 Nordant	Coord. NAD83 Estant	Affleurement ou Bloc	Description de(s) la lithologie(s)	Pendage/ Plongée 3	Réf. 3	Type de structure 4	Azimuth 4	Pendage/ Plongée 4	Réf. 4	Type de structure 5	Azimuth 5	Pendage/ Plongée 5	Réf. 5	Type de structure 6	Azimuth 6	Pendage/ Plongée 6	Réf. 6	Type de structure 7	Azimuth 7	Pendage/ Plongée 7	Réf. 7	Échantillon(s)	Photo(s)	
1908-6044	13-Jul-08	527903	6255922	Outcrop	Arénite quartzeuse																			114019-19juillet2008-1908-6044/1 & /2		
1908-6045	13-Jul-08	527978	6255846	Outcrop	Arénite quartzeuse, pyrite altérée en chemise rouge																					
1908-6046	14-Jul-08	525392	6258023	Outcrop	Grès quartzeux dolomitique (ciment carbonaté réagit à l'acide), grains quartz noirs; lamination oblique; Brèche de grès quartzeux dolomitiques dans la matrice de dolomie, veines de dolomie pénètrent par les fractures et puis propagent dans le grès avec les marges irrégulières, grès ciment dolomitique 15-20%; pyrite dessiminé; Dolomie, veines de dolomie pénètrent par les fractures et puis propagent dans le grès avec les marges irrégulières.																		1908-6046/1 & /2	114019-15juillet2008-1908-6046/1 à /8		
1908-6047	15-Jul-08	525215	6258059	Outcrop	Grès quartzeux à ciment carbonaté (30-35%), lamination entrecroisée, contiennent les blocs de dolomie gris très foncé 40 cm diamètre avec des limites irrégulières																			1908-6047/1	114019-15juillet2008-1908-6047/1 à /7	
1908-6048	15-Jul-08	525190	6258086	Outcrop	Grès quartzeux à cailloux avec les grains de quartz noirs et de fragments ovales bien arrondis de argillites ou de dolomie (?) noirs, ciments blanc carbonaté 15-20%																			1908-6048/1	114019-15juillet2008-1908-6048/1	
1908-6049	15-Jul-08	525221	6258151	Outcrop	Brèche de grès quartzeux et de dolomie à ciment dolomitique à blocs; Sandstone; Grès quartzeux dolomitique (ciment carbonaté) - dans les blocs de brèche; Chert; Veine de silice noir ou rose-beige avec de pyrite dessiminée; Dolomie microcristalin beige bréchifié et cimenté par le dolomie gris																			1908-6049/1 à /5	114019-15juillet2008-1908-6049/1 à /10	
1908-6050	15-Jul-08	525263	6258302	Outcrop	Sandstone: Grès quartzeux avec les grains noirs de quartz légèrement dolomitique dans le ciment; Chert amorphe avec cubes de pyrite et rélicts de grain de quartz noir, localement avec malachite; Brèche de dolomie beige remplacée par le chert noir dans les zones de fracturation																			1908-6050/1 à /4	114019-15juillet2008-1908-6050/1 à /3	
1908-6051	15-Jul-08	525301	6258343	Boulder	Grès quartzeux dolomitiques, grains de quartz noirs																					
1908-6052	15-Jul-08	525684	6258246	Outcrop	Gabbro à grain moyen, Px, Pl																			1908-6052/1	114019-15juillet2008-1908-6052/1 à /4	
1908-6053	15-Jul-08	529047	6253109	Outcrop	Sandstone: Grès quartzeux à ciment carbonaté, pyrite en chemise rouge (cubes), lamination oblique; Brèche mylonitique, fragments de grès quartzeux dans la matrice de grès quartzeux carbonaté à grain très fins;	48		Stries	45	2		Bedding Overturned	8	50	Sandstone									1908-6053/1 à /4	114019-15juillet2008-1908-6053/1 à /11	
1908-6054	15-Jul-08	529015	6253067	Outcrop	Grès quartzeux schisteux	82	Sandstone	Schistosity	298	30	Sandstone	Lineation	35	42	Sandstone	Shear zone	84	90	Sandstone	Shear zone	138	90	Sandstone	1908-6054/1	114019-15juillet2008-1908-6054/1 à /8	
1908-6055	15-Jul-08	528991	6253007	Outcrop	Sandstone: Grès quartzeux dolomitiques;		Dolomite	Fold axis	300	16	Dolomite														114019-15juillet2008-1908-6055/1 à /15	
1908-6084	19-Jul-08	525590	6258702	Outcrop	Gabbro																					
1908-6085	19-Jul-08	525647	6259899		Gabbro																					
1908-6086	19-Jul-08	525687	6260703	Outcrop	Shale clivagé																			1908-6086/1	114019-19juillet2008-1908-6086/1 à /3	
1908-6087	19-Jul-08	525776	6260802	Outcrop	Shale clivagé																			1908-6087/1	114019-19juillet2008-1908-6087/1	
1908-6088	19-Jul-08	525783	6260891	Outcrop		17																		1908-6088/1	114019-19juillet2008-1908-6088/1 à /7	
1908-6089	19-Jul-08	525849	6261013	Outcrop	Fragments de grès, dolomie, andésite, shale, pas triés, étirés, plissés dans la matrice de schistes	60	Conglomerate	Schistosity	187	90	Conglomerate													1908-6089/1 à /8	114019-19juillet2008-1908-6089/1 à /15	



Tableau 7 - Tableau synoptique des traverses géologiques de Minowean 2008

No. Station géologique	Date	Coord. NAD83 Nordant	Coord. NAD83 Estant	Affleurement ou Bloc	Description de(s) la lithologie(s)	Lithologie A	Couleur A	Lithologie B	Couleur B	Lithologie C	Couleur C	Lithologie D	Couleur D	Lithologie E	Couleur E	Radiomètre utilisé	Rad. Brut de fond (cps)	Rad. Max. (cps)	Altération(s)	Minéralisation(s)	Type de structure 1	Azimuth 1	Pendage/Plongée 1	Réf. 1	Type de structure 2	Azimuth 2	Pendage/Plongée 2	Réf. 2	Type de structure 3	Azimuth 3	
1908-6090	19-Jul-08	525827	6261001		Shale: Contact tectonisé entre shale noires et conglomérat mylonitisé, linse de conglomérat dans les shales schisteux avec le microplissement intense; Conglomérat: Contact tectonisé entre shale noires et conglomérat mylonitique, linse de conglomérat dans les shales schisteux avec le microplissement intense.	Shale	black	Conglomerate	Light gray							SPP gamma		52			Schistosity	182	86	Shale							
1908-6091	19-Jul-08	525818	6260984	Outcrop		Conglomerate	Greenish gray									SPP gamma		15			Schistosity	344	80	Conglomerate							
1908-6092	19-Jul-08	525848	6260999	Outcrop		Conglomerate	Greenish gray									SPP gamma		15			Schistosity	172	79	Conglomerate							
1908-6093	19-Jul-08	525845	6261106	Outcrop		Conglomerate	Greenish gray									SPP gamma		13			Schistosity	180	62	Conglomerate							
1908-6094	19-Jul-08	525892	6261098	Outcrop		Conglomerate	Greenish gray									SPP gamma		12			Schistosity	180	76	Conglomerate	Shear zone	200	76	Conglomerate			
1908-6095	19-Jul-08	525901	6261187	Outcrop	Mylonitique	Conglomerate	Greenish gray									SPP gamma		11			Schistosity	180	76	Conglomerate							
1908-6096	19-Jul-08	526017	6261374	Outcrop	Sandstone: Grès quartzeux carbonatisé dans le ciment	Conglomerate	Greenish gray	Sandstone	Medium gray							SPP gamma		12	Sandstone: Carbonatisation dans le ciment		Schistosity	178	70	Conglomerate	Fracture	178	82		Fracture	332	
1908-6097	19-Jul-08	525583	6259950	Outcrop	Gabbro	Gabbro	Grayish green									SPP gamma															
1908-6098	19-Jul-08	525602	6259868	Outcrop	Gabbro	Gabbro	Grayish green									SPP gamma															
1908-6099	19-Jul-08	525529	6259602	Outcrop	Gabbro	Gabbro	Grayish green									SPP gamma															
1908-6192	28-Jul-08	524943	6258672	Outcrop		Gabbro	Grayish green									SPP gamma		15													
1908-6193	28-Jul-08	524858	6258716	Outcrop		Gabbro	Grayish green									SPP gamma		18			Fracture	182	64	Gabbro							
1908-6194	28-Jul-08	524792	6258725	Outcrop		Gabbro	Grayish green									SPP gamma		16			Fault	350	43	Gabbro	Fault	330	43	Gabbro	Schistosity	320	
1908-6195	28-Jul-08	524621	6258622	Outcrop		Gabbro	Grayish green									SPP gamma		17	Pyrite alteration												
1908-6196	28-Jul-08	524583	6258591	Outcrop		Gabbro	Grayish green									SPP gamma		18			Fault	200	42	Gabbro	Fault	243	40	Gabbro			
1908-6197	28-Jul-08	524588	6258556	Outcrop		Gabbro	Grayish green									SPP gamma		18			Fault	285	46	Gabbro	Fault	20	90	Gabbro			
1908-6198	28-Jul-08	524589	6258602	Outcrop	Cataclasite: Mylonitisé, composé de fragments anguleux de shale noir graphitique et de vitrinite-antracite dans la matrice siliceuse;	Shale	Black	Siltstone	Black	Cataclasite	Grayish black					SPP gamma		87	Shale, siltstone et cataclasite: Graphite alteration		Bedding	57	46	Siltstone	Shear zone	55	24		Fold axis	125	
1908-6199	28-Jul-08	524589	6258602	Outcrop		Gabbro	Grayish green	Sandstone	Grayish black							SPP gamma		30	Gabbro: Pyrite alteration		Bedding	63	73	Sandstone	Bedding	50	62	Sandstone	Fault	82	
1908-6200	28-Jul-08	524548	6258572	Outcrop	Alternance siltite-shale 2-4 mm	Basalte		Siltstone	Dark gray							SPP gamma		83	Siltstone: Graphite alteration		Bedding	24	32	Siltstone	Fault	8	30		Fault	282	
1908-6201	28-Jul-08	524569	6258605	Outcrop		Basalte	Greenish gray	Shale	Black							SPP gamma		20	Shale: Graphite alteration		Bedding	48	46	Shale							
1908-6202	28-Jul-08	524700	6258596	Outcrop		Basalte	Grayish green									SPP gamma		20													
1908-6203	28-Jul-08	525583	6258156	Outcrop		Dolomitic sandstone	Medium gray									SPP gamma		40			Bedding	32	40	Dolomitic sandstone							
1908-6278	06-Aug-08	529741	6256237	Outcrop		Gabbro	Grayish green									SPP gamma		25			Fault	134	70	Gabbro	Fault	130	72	Gabbro			
1908-6279	06-Aug-08	529700	6256224	Outcrop		Gabbro	Grayish green									SPP gamma		28													
1908-6280	06-Aug-08	529667	6256246	Outcrop		Gabbro	Grayish green									SPP gamma		30													

Tableau 7 - Tableau synoptique des traverses géologiques de Minowean 2008

No. Station géologique	Date	Coord. NAD83 Nordant	Coord. NAD83 Estant	Affleurement ou Bloc	Description de(s) la lithologie(s)	Pendage/ Plongée 3	Réf. 3	Type de structure 4	Azimuth 4	Pendage/ Plongée 4	Réf. 4	Type de structure 5	Azimuth 5	Pendage/ Plongée 5	Réf. 5	Type de structure 6	Azimuth 6	Pendage/ Plongée 6	Réf. 6	Type de structure 7	Azimuth 7	Pendage/ Plongée 7	Réf. 7	Échantillon(s)	Photo(s)
1908-6090	19-Jul-08	525627	6261001		Shale: Contact tectonisé entre shale noires et conglomérat mylonitisé, linse de conglomérat dans les shales schisteux avec le microplissement intense; Conglomérat: Contact tectonisé entre shale noires et conglomérat mylonitique, linse de conglomérat dans les shales schisteux avec le microplissement intense.																				114019-19juillet2008-1908-6090/1 à /6
1908-6091	19-Jul-08	525818	6260984	Outcrop																					114019-19juillet2008-1908-6092/1 & /2
1908-6092	19-Jul-08	525848	6260999	Outcrop																					114019-19juillet2008-1908-6094/1 à /13
1908-6093	19-Jul-08	525845	6261106	Outcrop																					114019-19juillet2008-1908-6094/1 à /13
1908-6094	19-Jul-08	525892	6261098	Outcrop																					114019-19juillet2008-1908-6096/1 à /20
1908-6095	19-Jul-08	525901	6261187	Outcrop	Mylonitique																				114019-19juillet2008-1908-6096/1 à /20
1908-6096	19-Jul-08	526017	6261374	Outcrop	Sandstone: Grès quartzeux carbonatisé dans le ciment	90		Joint	294	85		Joint	52	90		Veine	42	70		Bedding	178	72	Sandstone	1908-6096/1 à /5	114019-19juillet2008-1908-6096/1 à /20
1908-6097	19-Jul-08	525583	6259950	Outcrop	Gabbro																				
1908-6098	19-Jul-08	525602	6259868	Outcrop	Gabbro																				
1908-6099	19-Jul-08	525529	6259602	Outcrop	Gabbro																				
1908-6192	28-Jul-08	524943	6258672	Outcrop																					114019-28juillet2008-1908-6192/1
1908-6193	28-Jul-08	524858	6258716	Outcrop																					114019-28juillet2008-1908-6193/1
1908-6194	28-Jul-08	524792	6258725	Outcrop		80	Gabbro	Fault	125	45	Gabbro	Fault	250	90	Gabbro	Tension fractures en échelon	10	60	Gabbro	Tension fractures en échelon	130	20	Gabbro	1908-6194/1	114019-28juillet2008-1908-6194/1 à /24
1908-6195	28-Jul-08	524621	6258622	Outcrop																					114019-28juillet2008-1908-6195/1
1908-6196	28-Jul-08	524583	6258591	Outcrop																					114019-28juillet2008-1908-6196/1 à /9
1908-6197	28-Jul-08	524588	6258556	Outcrop																					114019-28juillet2008-1908-6197/1 à /6
1908-6198	28-Jul-08	524589	6258602	Outcrop	Cataclasite: Mylonitisé, composé de fragments anguleux de shale noir graphitique et de vitrinite-antracite dans la matrice siliceuse;	27																		1908-6198/1 à /5	114019-28juillet2008-1908-6198/1 à /13
1908-6199	28-Jul-08	524589	6258602	Outcrop		43	Gabbro																	1908-6199/1 & /2	114019-28juillet2008-1908-6199/1 à /8
1908-6200	28-Jul-08	524548	6258572	Outcrop	Alternance siltite-shale 2-4 mm	88		Fault	25	45		Schistosity	24	30	Basalte									1908-6200/1 & /2	114019-28juillet2008-1908-6200/1 à /6
1908-6201	28-Jul-08	524569	6258605	Outcrop																					114019-28juillet2008-1908-6201/1 à /3
1908-6202	28-Jul-08	524700	6258596	Outcrop																					
1908-6203	28-Jul-08	525583	6258156	Outcrop																					114019-28juillet2008-1908-6203/1 à /3
1908-6278	06-Aug-08	529741	6256237	Outcrop																					114019-6Aout2008-1908-6278/1 à /4
1908-6279	06-Aug-08	529700	6256224	Outcrop																					114019-6Aout2008-1908-6279/1 & /2.
1908-6280	06-Aug-08	529667	6256246	Outcrop																					



Tableau 7 - Tableau synoptique des traverses géologiques de Minowean 2008

No. Station géologique	Date	Coord. NAD83 Nordant	Coord. NAD83 Estant	Affleurement ou Bloc	Description de(s) la lithologie(s)	Lithologie A	Couleur A	Lithologie B	Couleur B	Lithologie C	Couleur C	Lithologie D	Couleur D	Lithologie E	Couleur E	Radiomètre utilisé	Rad. Brut de fond (cps)	Rad. Max. (cps)	Altération(s)	Minéralisation(s)	Type de structure 1	Azimuth 1	Pendage/Plongée 1	Réf. 1	Type de structure 2	Azimuth 2	Pendage/Plongée 2	Réf. 2	Type de structure 3	Azimuth 3	
1908-6281	06-Aug-08	529556	6256316	Outcrop		Shale	Dark gray	Siltstone	Dark gray							SPP gamma		100			Bedding	295	36	Gabbro	Schistosity	295	28	Gabbro	Lineation	8	
1908-6282	06-Aug-08	529578	6256319	Outcrop		Siltstone	Dark greenish gray	Shale	Dark gray							SPP gamma		60	Siltstone: Silicification		Bedding	10	33	Siltstone	Lineation	72	18	Siltstone	Fault	343	
1908-6283	06-Aug-08	529628	6256420	Outcrop		Gabbro	Grayish green									SPP gamma		30	Pyrite alteration, quartz sur le plan de cisaillement		Fault	125	70	Gabbro							
1908-6284	06-Aug-08	529638	6256424	Outcrop		Siltitic sandstone	Grayish green	Siltstone	Medium gray							SPP gamma		82	Siltitic sandstone: Amphiboles et chlorite		Shear zone	314	52		Stries	60	30				
1908-6285	06-Aug-08	529502	6256505	Outcrop		Gabbro	Grayish green									SPP gamma		35													
1908-6286	06-Aug-08	529755	6256287	Outcrop		Siltstone	Dark gray									SPP gamma		100			Schistosity	340	72	Siltstone							
1908-6287	06-Aug-08	529795	6256169	Outcrop		Gabbro	Grayish green									SPP gamma		36													
1908-6288	06-Aug-08	529718	6255695	Outcrop		Siltstone	Dark gray									SPP gamma		85			Schistosity	310	76	Siltstone							
1908-6289	06-Aug-08	529643	6255597	Outcrop		Siltitic sandstone	Gris-mauve foncé	Siltstone	Gris-mauve foncé							SPP gamma		144			Schistosity	345	34	Siltstone							
1908-6290	06-Aug-08	529687	6255368	Outcrop		Siltitic sandstone	Grayish green	Dolomite	Gray							SPP gamma		230	Siltitic sandstone et dolomie: Pyrite alteration		Fold limb	0	42	Siltitic sandstone	Fold limb	320	90	Siltitic sandstone	Cleavage (s1)	335	
1908-6291	07-Aug-08	528719	6253826	Outcrop		Arénite quartzeuse	Dark gray									SPP gamma		40000			Fault	338	76	Arénite quartzeuse	Fault	335	64		Fault	328	
1908-6292	07-Aug-08	528748	6253790	Outcrop		Arénite quartzeuse	Dark gray									SPP gamma		15000			Fault	345	80	Arénite quartzeuse	Fault	340	90	Arénite quartzeuse	Fault	122	
1908-6293	07-Aug-08	528749	6253806	Outcrop		Arénite quartzeuse	Dark gray									SPP gamma		300	Silicification		Axial plan	145		Arénite quartzeuse	Fault	85	32	Arénite quartzeuse	Fault	70	
1908-6294	07-Aug-08	528837	6253924	Outcrop	Alternance de niveaux enrichis en grains de quartz noir et de quartz gris-blanc, résultat de silicification, pas de stratification	Arénite quartzeuse	Dark gray									SPP gamma		20	Pyrite alteration et silicification		Fracture	150	82	Arénite quartzeuse							
1908-6295	07-Aug-08	528896	6253902	Outcrop	Schistosée	Arénite quartzeuse	Dark gray									SPP gamma		20			Fault	335	32	Arénite quartzeuse							
1908-6296	07-Aug-08	528823	6254131	Outcrop		Arénite quartzeuse	Dark gray									SPP gamma		20													
1908-6297	07-Aug-08	528874	6254168	Outcrop		Shale	Grayish black									SPP gamma		85			Shear zone	8	52	Shale	Shear zone	12	44	Shale	Lineation	90	
1908-6298	07-Aug-08	528919	6254242	Outcrop		Gabbro	Grayish green									SPP gamma		16	Pyrite alteration et quartz, épidote		Schistosity	328	78	Gabbro	Lineation	120	44	Gabbro	Veine	150	
1908-6299	07-Aug-08	528932	6254254	Outcrop	Graphitique	Shale	Black									SPP gamma		116	Graphite alteration		Schistosity	185	14	Shale							
1908-6300	07-Aug-08	528772	6254236	Outcrop	Sandstone: Quartzeux	Sandstone	Dark gray	Siltstone	Medium gray							SPP gamma		50			Bedding	142	70	Sandstone	Schistosity	128	70	Siltstone			
1908-6301	07-Aug-08	528746	6254225	Outcrop	Quartzeux	Sandstone	Medium gray									SPP gamma		16													
1908-6302	07-Aug-08	528514	6254207	Outcrop	Alternance grès quartzeux dolomitique gris clair et grès quartzeux gris foncé avec grains de quartz noir	Dolomitic sandstone	Dark gray									SPP gamma		17	Carbonization		Bedding	150	52	Dolomitic sandstone							
1908-6303	07-Aug-08	528481	6254214		Quartzeux	Sandstone	Dark gray									SPP gamma		17			Fault	254	45	Sandstone							



Tableau 7 - Tableau synoptique des traverses géologiques de Minowean 2008

No. Station géologique	Date	Coord. NAD83 Nordant	Coord. NAD83 Estant	Affleurement ou Bloc	Description de(s) la lithologie(s)	Pendage/ Plongée 3	Réf. 3	Type de structure 4	Azimuth 4	Pendage/ Plongée 4	Réf. 4	Type de structure 5	Azimuth 5	Pendage/ Plongée 5	Réf. 5	Type de structure 6	Azimuth 6	Pendage/ Plongée 6	Réf. 6	Type de structure 7	Azimuth 7	Pendage/ Plongée 7	Réf. 7	Échantillon(s)	Photo(s)	
1908-6281	06-Aug-08	529556	6256316	Outcrop		35		Gabbro	Schistosity	280	23	Gabbro	Lineation	355	23	Gabbro									1908-6281/1, /2 & /3	114019-6Aout2008-1908-6281/1 à /21
1908-6282	06-Aug-08	529578	6256319	Outcrop		60		Siltstone	Fault	345	42	Siltstone	Fold axis	140	22	Siltstone	Bedding	355	34	Shale	Bedding	15	34	Siltstone	1908-6282/1 à /4	114019-6Aout2008-1908-6282/1 à /33
1908-6283	06-Aug-08	529628	6256420	Outcrop																					114019-6Aout2008-1908-6283/1 à /3	
1908-6284	06-Aug-08	529638	6256424	Outcrop																				1908-6284/1 & /2	114019-6Aout2008-1908-6284/1 à /5	
1908-6285	06-Aug-08	529502	6256505	Outcrop																					114019-6Aout2008-1908-6285/1	
1908-6286	06-Aug-08	529755	6256287	Outcrop																					114019-6Aout2008-1908-6286/1 & /2	
1908-6287	06-Aug-08	529795	6256169	Outcrop																						
1908-6288	06-Aug-08	529718	6255695	Outcrop																						
1908-6289	06-Aug-08	529643	6255597	Outcrop																				1908-6289/1	114019-6Aout2008-1908-6289/1 à /3	
1908-6290	06-Aug-08	529687	6255368	Outcrop		74		Dolomite	Bedding Overturned	307	62		Bedding	332	74	Siltitic sandstone	Schistosity	308	78	Siltitic sandstone					1908-6290/1 à /4	114019-6Aout2008-1908-6290/1 à /10
1908-6291	07-Aug-08	528719	6253826	Outcrop		90		Arénite quartzeuse																	114019-7Aout2008-1908-6291/1 à /20	
1908-6292	07-Aug-08	528748	6253790	Outcrop		44		Arénite quartzeuse	Fault	133	32	Arénite quartzeuse	Fault	332	76	Arénite quartzeuse	Veine	130	90	Arénite quartzeuse					114019-7Aout2008-1908-6292/1 à /44	
1908-6293	07-Aug-08	528749	6253806	Outcrop		38		Arénite quartzeuse	Fault	324	82	Arénite quartzeuse	Veine	260		Arénite quartzeuse									114019-7Aout2008-1908-6293/1 à /19	
1908-6294	07-Aug-08	528837	6253924	Outcrop	Alternance de niveaux enrichis en grains de quartz noir et de quartz gris-blanc, résultat de silicification, pas de stratification																				114019-7Aout2008-1908-6294/1 à /4	
1908-6295	07-Aug-08	528896	6253902	Outcrop	Schistosée																				114019-7Aout2008-1908-6295/1 à /9	
1908-6296	07-Aug-08	528823	6254131	Outcrop																						
1908-6297	07-Aug-08	528874	6254168	Outcrop		45		Shale	Fold axis	90	54	Shale												1908-6297/1	114019-7Aout2008-1908-6297/1 & /2	
1908-6298	07-Aug-08	528919	6254242	Outcrop		42		Gabbro	Veine	225	72	Gabbro	Fault	260	60	Gabbro	Fault	20	75	Gabbro	Fault	312	75	Gabbro	1908-6298/1	114019-7Aout2008-1908-6298/1 à /12
1908-6299	07-Aug-08	528932	6254254	Outcrop	Graphitique																			1908-6299/1	114019-7Aout2008-1908-6299/1 à /4	
1908-6300	07-Aug-08	528772	6254236	Outcrop	Sandstone: Quartzeux																				114019-7Aout2008-1908-6300/1 à /3	
1908-6301	07-Aug-08	528746	6254225	Outcrop	Quartzeux																				114019-7Aout2008-1908-6301/1 à /6	
1908-6302	07-Aug-08	528514	6254207	Outcrop	Alternance grès quartzeux dolomitique gris clair et grès quartzeux gris foncé avec grains de quartz noir																				114019-7Aout2008-1908-6302/1 & /2	
1908-6303	07-Aug-08	528481	6254214		Quartzeux																				114019-7Aout2008-1908-6303/1	

Tableau 7 - Tableau synoptique des traverses géologiques de Minowean 2008

No. Station géologique	Date	Coord. NAD83 Nordant	Coord. NAD83 Estant	Affleurement ou Bloc	Description de(s) la lithologie(s)	Lithologie A	Couleur A	Lithologie B	Couleur B	Lithologie C	Couleur C	Lithologie D	Couleur D	Lithologie E	Couleur E	Radiomètre utilisé	Rad. Brut de fond (cps)	Rad. Max. (cps)	Altération(s)	Minéralisation(s)	Type de structure 1	Azimuth 1	Pendage/ Plongée 1	Réf. 1	Type de structure 2	Azimuth 2	Pendage/ Plongée 2	Réf. 2	Type de structure 3	Azimuth 3
1908-6304	07-Aug-08	528446	6254226	Outcrop	Quartzeux, ciment carbonaté	Dolomitic sandstone	Medium gray									SPP gamma		20			Fault	280	43	Dolomitic sandstone	Fault	290	34	Dolomitic sandstone	Fault	285
1908-6305	07-Aug-08	528474	6254191	Outcrop	Quartzeux, ciment carbonaté	Dolomitic sandstone	Medium gray									SPP gamma		20			Fault	20	55	Dolomitic sandstone						
1908-6306	08-Aug-08	528789	6256258	Outcrop	Siltstone: Couches 0,5-1 cm; Siltitic sandstone: Couches 2-5 cm	Siltstone	Dark greenish gray	Siltitic sandstone	Greenish gray							SPP gamma		125			Bedding	310	16	Siltstone	Cleavage (s1)	322	66	Siltstone	Lineation	140
1908-6307	08-Aug-08	528824	6256271	Outcrop	Siltstone: 0.4-1 cm; Siltitic sandstone: 2-5 cm	Siltstone	Dark greenish gray	Siltitic sandstone	Greenish gray							SPP gamma		150			Fold limb	148	48	Siltstone	Fold limb	3	24	Siltstone	Cleavage (s1)	348
1908-6308	08-Aug-08	529022	6256319	Outcrop	Sandstone: Quartzeux, ciment mauve	Siltstone	Gris-mauve	Sandstone	Gris-mauve							SPP gamma		120	Sandstone: Chloritization, veines de quartz, chlorite, limonite		Bedding Overturned	332	83	Sandstone	Cleavage (s1)	325	62	Siltstone		
1908-6309	08-Aug-08	528915	6256139	Outcrop		Dolomite	Light gray									SPP gamma		33	Pyrite alteration, veines calcite		Bedding Overturned	340	72	Dolomite	Bedding	150	45	Dolomite		
1908-6310	08-Aug-08	528915	6256139	Outcrop	sandstone: Ciment légèrement carbonaté	Siltstone	Dark greenish gray	Sandstone	Grayish green : patine rose							SPP gamma		90			Bedding	316	90	Siltstone	Cleavage (s1)	315	75	Siltstone	Lineation & Fold axis	142
1908-6311	08-Aug-08	528805	6256185	Outcrop		Siltstone	Greenish gray	Siltitic sandstone	Grayish green							SPP gamma		108			Fold limb	320	32	Siltstone	Fold limb	145	50	Siltstone	Cleavage (s1)	325
1908-6312	08-Aug-08	528668	6256159	Outcrop		Siltstone	Dark greenish gray	Siltitic sandstone	Grayish green							SPP gamma		108			Bedding Vertical	315	90	Siltstone	Cleavage (s1)	302	68	Siltstone		
1908-6313	08-Aug-08	528333	6256465	Outcrop		Siltstone	Dark greenish gray	Siltitic sandstone	Grayish green							SPP gamma		132			Cleavage (s1)	325	76	Siltstone	Lineation	142	18	Siltstone		
1908-6314	08-Aug-08	528201	6256520	Outcrop		Siltstone	Dark greenish gray	Siltitic sandstone	Grayish green							SPP gamma		80			Bedding Overturned	340	72	Siltstone	Cleavage (s1)	335	56	Siltstone	Bedding Overturned	320
1908-6315	08-Aug-08	528170	6256497	Outcrop		Dolomite	Light gray	Siltstone	Grayish green	Siltitic sandstone	Grayish green					SPP gamma		133			Bedding	350	88	Dolomite	Bedding	20	75	Siltstone	Cleavage (s1)	348
1908-6316	08-Aug-08	528028	6256502	Outcrop	Dolomitic sandstone: Quartzeux, dolomitique dans le ciment	Dolomitic sandstone	Medium gray									SPP gamma		30			Bedding	350	72	Dolomitic sandstone						
1908-6317	08-Aug-08	526516	6256381	Outcrop		Shale	Black	Siltstone	Medium dark gray							SPP gamma		105			Bedding	135	22	Siltstone	Cleavage (s1)	135	75		Lineation	135
1908-6318	08-Aug-08	526418	6256402	Outcrop		Shale	Black	Siltstone	Medium dark gray							SPP gamma		105			Fold limb	330	72		Fold limb	120	85		Cleavage (s1)	310

Tableau 7 - Tableau synoptique des traverses géologiques de Minowean 2008

No. Station géologique	Date	Coord. NAD83 Nordant	Coord. NAD83 Estant	Affleurement ou Bloc	Description de(s) la lithologie(s)	Pendage/ Plongée 3	Réf. 3	Type de structure 4	Azimuth 4	Pendage/ Plongée 4	Réf. 4	Type de structure 5	Azimuth 5	Pendage/ Plongée 5	Réf. 5	Type de structure 6	Azimuth 6	Pendage/ Plongée 6	Réf. 6	Type de structure 7	Azimuth 7	Pendage/ Plongée 7	Réf. 7	Échantillon(s)	Photo(s)	
1908-6304	07-Aug-08	528446	6254226	Outcrop	Quartzeux, ciment carbonaté	30		Dolomitic sandstone																	114019-7Aout2008-1908-6304/1 à /B	
1908-6305	07-Aug-08	528474	6254191	Outcrop	Quartzeux, ciment carbonaté																				114019-7Aout2008-1908-6305/1 & /2	
1908-6306	08-Aug-08	528789	6256258	Outcrop	Siltstone: Couches 0,5-1 cm; Siltitic sandstone: Couches 2-5 cm	14		Siltstone																1908-6306/1	114019-8Aout2008-1908-6306/1 à /B	
1908-6307	08-Aug-08	528824	6256271	Outcrop	Siltstone: 0.4-1 cm; Siltitic sandstone: 2-5 cm	68		Siltstone	Lineation	350	14	Siltstone	Fold limb	125	78	Siltstone	Fold limb	330	14	Siltstone	Cleavage (s1)	345	66	Siltstone	1908-6307/1	114019-8Aout2008-1908-6307/1 à /11
1908-6308	08-Aug-08	529022	6256319	Outcrop	Sandstone: Quartzueux, ciment mauve																			1908-6308/1 & /2	114019-8Aout2008-1908-6308/1 à /6	
1908-6309	08-Aug-08	528915	6256139	Outcrop																					114019-8Aout2008-1908-6309/1 à /9	
1908-6310	08-Aug-08	528915	6256139	Outcrop	sandstone: Ciment légèrement carbonaté	12		Siltstone	Bedding	316	90	Sandstone	Cleavage (s1)	325	80		Bedding	10	35	Sandstone	Cleavage (s1)	335	80		1908-6310/1	114019-8Aout2008-1908-6310/1 à /12
1908-6311	08-Aug-08	528805	6256185	Outcrop		70		Siltstone	Fold axis	145	8	Siltstone													114019-8Aout2008-1908-6311/1 à /5	
1908-6312	08-Aug-08	528668	6256159	Outcrop																					114019-8Aout2008-1908-6312/1 & /2	
1908-6313	08-Aug-08	528333	6256465	Outcrop																					114019-8Aout2008-1908-6313/1	
1908-6314	08-Aug-08	528201	6256520	Outcrop		74		Siltstone	Cleavage (s1)	312	50	Siltstone	Fault	335	45	Siltstone	Fault	335	74	Siltstone					114019-8Aout2008-1908-6314/1 à /7	
1908-6315	08-Aug-08	528170	6256497	Outcrop		70		Siltstone																1908-6315/1	114019-8Aout2008-1908-6315/1 à /5	
1908-6316	08-Aug-08	528028	6256502	Outcrop	Dolomitic sandstone: Quartzueux, dolomitique dans le ciment																				114019-8Aout2008-1908-6316/1 à /3	
1908-6317	08-Aug-08	526516	6256381	Outcrop		12			Bedding	335	25		Cleavage (s1)	310	67		Bedding	110	64		Cleavage (s1)	132	88		1908-6317/1 & /2	114019-8Aout2008-1908-6317/1 à /15
1908-6318	08-Aug-08	526418	6256402	Outcrop		72			Fault	310	90		Fold axis	125	15		Fault	320	78						114019-8Aout2008-1908-6318/1 à /23	